



CUMHURİYET ÜNİVERSİTESİ

MÜHENDİSLİK FAKÜLTESİ DERGİSİ

Bulletin of the Faculty of Engineering, Cumhuriyet University

SERİ . A - YERBİLİMLİLERİ

Serie A - Earth Sciences

İÇİNDEKİLER (CONTENTS)

Karasu Havzası'nın (Erzurum) Tektonomorfolojisi ve Mekanik Yorumu Tectonomorphology and Mechanistic Interpretation of the Karasu Basin (Erzurum)	Ali KOÇYİĞİT, Ali ÖZTÜRK, Selim İNAN, Halil GÜRSOY	3
Muratbağı - Balabantaş (Horasan) Arasında Çobandede Fay Kuşağı'nın Jeotektonik Özellikleri ve Horasan - Narman Depremi Yüzey Kırıkları Geotectonic Characteristics of Çobandede Fault Zone Between Muratbağı And Balabantaş (Horasan) And Ground Ruptures of Horasan - Narman Earthquake	Ali KOÇYİĞİT	17
Abant - Yeniçağa (Bolu) Bölgesinin Tektoniği Tectonics of The Abant - Yeniçağa (Bolu) Region	Ali ÖZTÜRK, Selim İNAN, Zeki TUTKUN	35
Toroslar'da Ofiyolitik Bir Melanj Örneği; Sülek Karmaşığı An Example for the Ophiolitic Melange in Taurus The Sülek Complex	Orhan ÖZCELİK	53
Pınarbaşı ve Yahyalı (Kayseri) Civarındaki Triyas Kayalarının Stratigrafik Özellikleri Stratigraphic Features of the Triassic Rocks in the Regions of Pınarbaşı and Yahyalı (Kayseri)	Fuat ÖNDER	63
Çakıroba (Yenice - Çanakkale) Granodioritine Bağlı Olarak Oluşan Skarnlaşmalar ve Selit Zuhuru Formation of Skarns and Schelite Mineralizations Related to Çakıroba Granodiorite (Yenice - Çanakkale)	Mesut ANIL	75
Yahyalı (Kayseri) Yöresi Demir Yataklarının Jeolojisi Oluşumu ve Kökeni Geology and Genesis of the Iron Deposits in The Yahyalı (Kayseri) Area	Erdal ŞENOZ	85
Reşadiye (Tokat) Kuzeyindeki Eosen Yaşı Hasanşeyh Platobazaltının Mineralojik - Petrografik ve Jeokimyasal İncelenmesi Mineralogical - Petrographical and Geochemical Investigation of Eocene Hasanşeyh Floatbazalt in the North of Reşadiye (Tokat, TURKEY)	M. Nuri TERZİOĞLU	105
Reşadiye (Tokat) Kuzeybatısındaki Hasandede Andezitinin Mineralojik - Petrografik ve Jeokimyasal İncelenmesi Mineralogical - Petrographical and Geochemical Investigation of Hasandede Andesite in the Northwest of Reşadiye (Tokat, TURKEY)	M. Nuri TERZİOĞLU	135

CUMHURİYET ÜNİVERSİTESİ
MÜHENDİSLİK FAKÜLTESİ DERGİSİ
Bulletin of the Faculty of Engineering, Cumhuriyet University

SERİ . A - YERBİLİMLİLERİ

Serie A - Earth Sciences

içindekiler (contents)

Karasu Havzası'nın (Erzurum) Tektonomorfolojisi ve Mekanik Yorumu Tectonomorphology and Mechanistic Interpretation of the Karasu Basin (Erzurum)	Ali KOÇYİĞİT, Ali ÖZTÜRK, Selim İNAN, Halil GÜRSOY	3
Muratbağı - Balabantaş (Horasan) Arasında Çobandede Fay Kuşağı'nın Jeotektonik Özellikleri ve Horasan - Narman Depremi Yüzey Kırıkları Geotectonic Characteristics of Çobandede Fault Zone Between Muratbağı And Balabantas (Horasan) And Ground Ruptures of Horasan - Narman Earthquake	Ali KOÇYİĞİT	17
Abant - Yeniçağa (Bolu) Bölgesinin Tektoniği Tectonics of The Abant - Yeniçağa (Bolu) Region	Ali ÖZTÜRK, Selim İNAN, Zeki TUTKUN	35
Toroslar'da Ofiyolitik Bir Melanj Örneği; Sülek Karmaşığı An Example for the Ophiolitic Melange in Taurus The Sülek Complex	Orhan ÖZCELİK	53
Pınarbaşı ve Yahyalı (Kayseri) Civarındaki Triyas Kayalarının Stratigrafik Özellikleri Stratigraphic Features of the Triassic Rocks in the Regions of Pınarbaşı and Yahyalı (Kayseri)	Fuat ÖNDER	63
Çakıroba (Yenice - Çanakkale) Granodioritine Bağlı Olarak Oluşan Skarnlaşmalar ve Şelit Zuhuru Formation of Skarns and Schelite Mineralizations Related to Çakıroba Granodiorite (Yenice - Çanakkale)	Mesut ANIL	75
Yahyalı (Kayseri) Yöresi Demir Yataklarının Jeolojisi Oluşumu ve Kökeni Geology and Genesis of the Iron Deposits in The Yahyalı (Kayseri) Area	Erdal ŞENÖZ	85
Reşadiye (Tokat) Kuzeyindeki Eosen Yaşılı Hasanşeyh Plutobazaltının Mineralojik - Petrografik ve Jeokimyasal İncelenmesi Mineralogical - Petrographical and Geochemical Investigation of Eocene Hasanşeyh Flootbazalt in the North of Reşadiye (Tokat, TURKEY)	M. Nuri TERZİOĞLU	105
Reşadiye (Tokat) Kuzeybatısındaki Hasandede Andezitinin Mineralojik - Petrografik ve Jeokimyasal İncelenmesi Mineralogical - Petrographical and Geochemical Investigation of Hasandede Andesite in the Northwest of Reşadiye (Tokat, TURKEY)	M. Nuri TERZİOĞLU	135

V. 2 N. 1 + October 1985 (1084), jaikangib ay negatibo
at iba ang nighantong subayang ngay matitakda (1985)
ayon koy nito paunsaan gampaningay obamang il
abotang na komunikador aginader pagtutukoy nia
ayon apag hain. Mandy maulund leonilis idig nit

Karasu Havzası'nın (Erzurum) Tektonomorfolojisi ve Mekanik Yorumu

TECTONOMORPHOLOGY AND MECHANISTIC INTERPRETATION OF THE KARASU

BASÍN (ERZURUM)

ALİ KOCYİĞİT, Orta Doğu Teknik Üniversitesi, Müh. Fak., Jeoloji Mühendisliği Bölümü, Ankara.

ALİ ÖZTÜRK Cumhuriyet Üniversitesi Müh. Fak. İeoloji Mühendisliği Bölümü Sivas

SELİM İNAN Cumhuriyet Üniversitesi Müh. Fak. Jeoloji Mühendisliği Bölümü, Sivas.

SELEH İNAN, Cumhuriyet Üniversitesi, Müh. Fak. Jeoloji Mühendisliği Bölümü, Sivas.
HALİL GÜRSOY, Cumhuriyet Üniversitesi Müh. Fak. Jeoloji Mühendisliği Bölümü, Sivas

ÖZ : Karasu (Erzurum) Havzası ve yakın dolayının temelini Üst Miyosen-Pliyosen yaşı, göl-akarsu ortamı tortulları ile kalkalkalen-alkalen nitelikli andezitik ile bazaltik volkanitler oluşturur. Üst Miyosen-Pliyosen yaşı temelin aşınım yüzeyi üzerine, Pliyo-Kuvaterner yaşı tortullar başlıca fay denetimli alüvyon yelpazesi, yelpaze önü ve örgülü-menderesli nehir ortamlarında gelişmiş olup, havza kenarından merkeze doğru incelen bir istif sunar. Havza temelini oluşturan kaya birimleri sıkışma-daralma, onun üzerinde gelişmiş olan Pliyo-Kuvaterner yaşı tortullar ise sıkışma-genişleme tektoniğinin denetiminde değerlendirilmiştir.

Havzanın üst dolgusunu oluşturan kaya birimleri, onlar içinde gelişmiş tektonik-tektonomorfolojik yapılar ve Karasu Havzası'nın biçimi, onun bir grabenden çok, doğrultu atımlı faylanma havzası olduğunu göstermektedir. Pliyosen-Pleyistosen'den beri sıkışma genişleme tektoniği denetiminde gelişimini sürdürmekte olan Karasu Havzası, günümüzde beş ayrı fay demeti tarafından denetlenmektedir ve depremselliği yüksek bir alandır.

ABSTRACT : The basement of the Karasu (Erzurum) Basin and its surroundings are made up lacustrine to fluvial deposits of upper Miocene to Pliocene age and calc-alkaline volcanics. Plio-Quaternary fluvial deposits and basaltic lava flows are unconformable on the erosional surface of the Upper Miocene to Pliocene basement. The Plio-Quaternary deposits, which were deposited in fault-controlled alluvial fan, alluvial fan front and braided to meandering river environments, show fining centerward sequence. Basement rocks under the control of compaction tectonics, the rocks extension tectonics have been deposited.

The upper fillings of the basin, tectonic to tectonomorphologic features and the shape of Karasu Basin identify that it is a strike-slip faulting basin rather than a graben. The Karasu Basin, which has been developing under the control of compressional to extension tectonics since the Upper Pliocene to Pleistocene time, is controlled by five different fault sets, and it is an area of high seismicity in present.

GİRİŞ

Bindokuzyüzü yillardan ilk yarısında, az sayıda araştırmacının ilgisini, özellikle petrol, kömür ve kromit gibi ekonomik değerleri büyük madenler açısından çekmiş olan Kuzeydoğu Anadolu Bölgesi, aynı yüzyılın ikinci yarısında, daha çok araştırmacının

ilgisini, özellikle jeotermal enerji ve depremsellik konularında çekmiştir. Özde ekonomik amaca yönelik ilk genel jeoloji ve gözlemlsel çalışmalar arasında Roussel (1912), Lahn (1939), Ortynski (1944), Baykal (1950) Erentöz (1954) Göttinger (1956)

Gattinger ve diğerleri (1962), İlker (1966) ve Brennich (1967) sayılabilir. Aynı yüzyılın yetmişli ve seksenli yıllarda yoğunlaşmış bulunan, daha çok bölgenin stratigrafisi, tektoniği, volkanizması ve morfolojis gibi bilimsel konulara yönelik ikinci grup çalışmalar arasında ise Pinar ve Lahn (1952), Blumenthal (1959), Sür (1964), Bingöl ve diğerleri (1969), Irrlitz (1971), İlhan (1971), Erinc (1973); Acar (1975), Arpat ve diğerleri (1977), Atalay (1978, 1982), Şengör ve Kidd (1979), Ardos (1979), Saroğlu ve Güner (1979, 1981), Şengör (1980), Bayraktutan (1982), Sıphioğlu (1983), Barka ve diğerleri (1983), Özgül ve diğerleri (1983), Toksöz ve diğerleri (1983), Koçyiğit (1983, 1985), Koçyiğit ve Rojav (1984) ve Tokel (1984) yer alır.

Genelde, Doğu Anadolu'da akaçlama (drainage), yiizey biçimini, volkanizma ve tektonik arasında yakın bir ilintinin olduğu birçok araştırmacı tarafından belirtilmiştir (Pinar ve Lahn, 1952; Irrlitz, 1971; Erinc, 1973; Acar, 1975; Ardos, 1979; Şengör ve Kidd, 1979; Şengör, 1980; Saroğlu ve Güner, 1981; Atalay, 1982; Bayraktutan, 1982; Koçyiğit, 1983, 1985; Koçyiğit ve Rojav, 1984; Tokel, 1984). Ancak sözkonusu ilişkinin yorumu yazarlara göre değişmektedir. Örneğin, dağlık ve yaylalık alanlar arasında dar-uzun çöküntüler biçiminde uzanan ve karasal volkano tortul ile doldurulup alüvyonlarla örtülü bulunan alanlar, bazı arşatıcınlara göre, kenarları basamak türü normal faylarla sınırlı grabenlerdir (Pinar ve Lahn, 1952; Erinc, 1973; Acar, 1975; Atalay, 1982; Bayraktutan, 1982; Tokel, 1984); genelde D-B uzanımlı, bir ya da her iki kenarı bindirme faylarıyla sınırlı «Dağarası Havzalar'dır» (Şengör ve Kidd, 1979; Şengör, 1980; Saroğlu ve Güner, 1981) ya da sol ve sağ yanal doğrultu atımlı etkin faylarla denetlenmekte olan «Doğrultu Atımlı Faylanma Havzaları»dır (Koçyiğit, 1983; Koçyiğit ve Rojav, 1984).

Bu yazında, yukarıda sözü edilen alanlardan biri olan «Karasu (Erzurum) Havzası»nın ve havzayı denetleyen fay kuşaklarının (Aşkale ve Dumlu Fay Kuşakları) tektonomorfolojik özellikleri ve mekanik yorumu açıklanmıştır.

GENELLEŞTİRİLMİŞ BÖLGESEL TEKTONO-STRATİGRAFİ

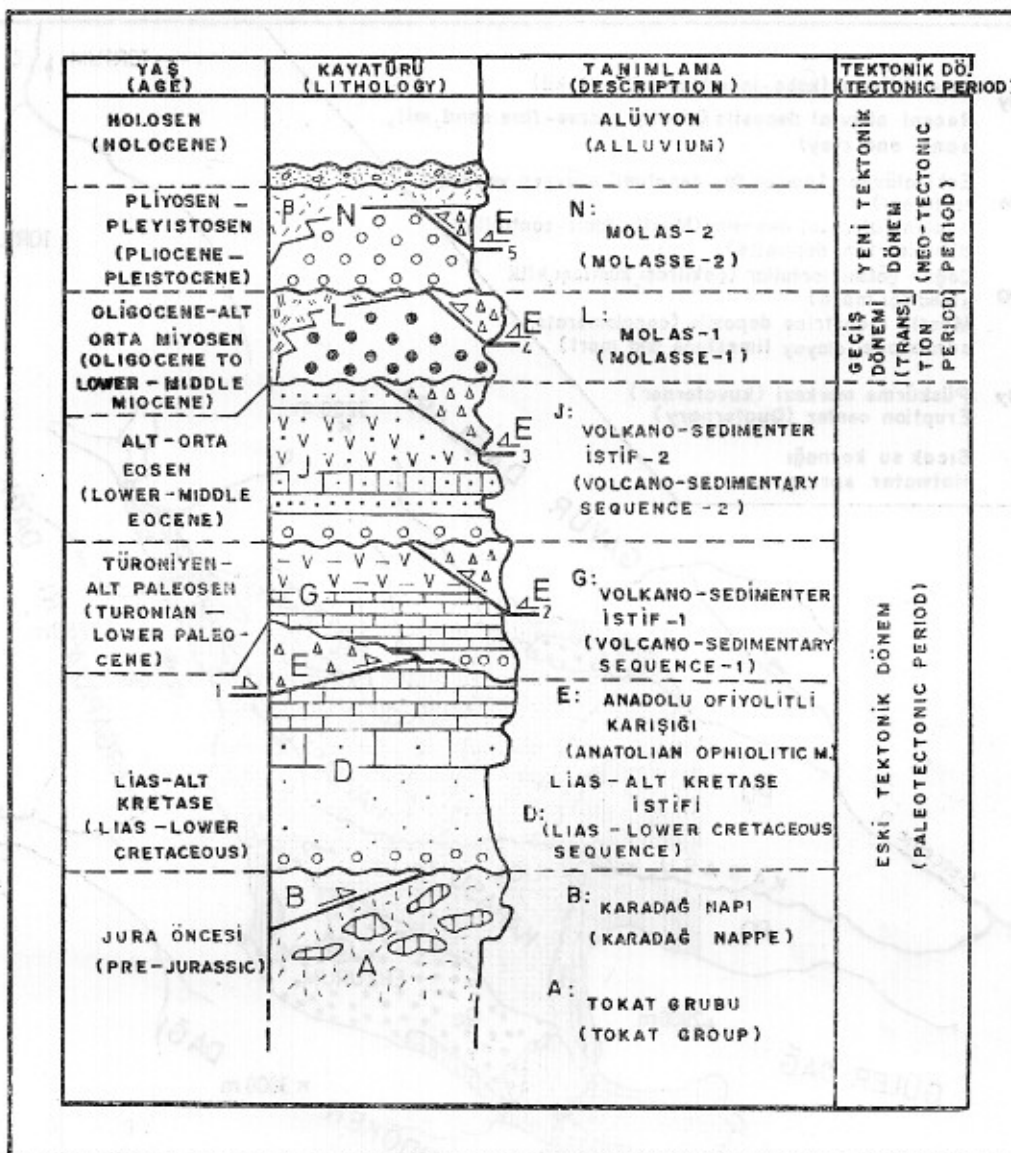
Kuzeydoğu Anadolu Bölgesi'nde tektonik ve normal istifler aşağıdaki şekilde genelleştirilebilir : A) Tokat Grubu; B) Karadağ napı; D) Liyas-Alt Kre-

tase istifi; E) Anadolu ofiyolitli Karışığı; G) Volkan-Tortul istif-1; J) Volkano - Tortul istif-2; L) Molas-1 ve N) Molas-2 (Şekil 1).

Kuzeydoğu Anadolu Bölgesi'nde temeli iki tektonik birim oluşturur. Bunlardan ilkى granit-granodiyot ile kesilmiş gnays, yeşilşist, fillat, mermer ve metaofiyolit bloklarının bir karışımı olan **Metamelanj** (Tokat Grubu ya da Karakaya Formasyonu); diğeri ise Malm öncesi, olasılıkla Jura öncesi (?) yaşı mikrogarbo dayaklarıyla kesilmiş, çoğun serpentinleşmiş peridotittir «Karadağ napı» (Koçyiğit, 1985). Sözü edilen bu tektonik birimler, birbirleriyle tektonik ilişkili olup, Jura-Alt Kretase yaşı, düzenli bir tortul istifle açılı uyumsuz olarak örtülü (Şekil 1 : A,B). Kuzey Neotetis kolumnun kitä kenarını (continental margin) temsil eden Jura-Alt Kretase yaşı düzenli tortul istif, tabanda akarsu ortamı ürünü çakıltası ve bitkili kumtaşlarıyla başlayıp, üstte doğru sig denizel kumtaşı, bazık volkanit ve bol Ammonit içeren **Ammonitiko-Rosso** fasiyesi ardışımıyla sürer. Daha üstte doğru fliş fasiyesi niteliğine bürünen istif, en üstte, yer yer Malm-Valanjiniyen yaşı, çörtlü bol **Calpionella**'lı pelajik kireçtaşlarıyla; yer yer de Berriyaziyen-Albiyen yaşı, kalın katmanlı sig denizel kireçtaşlarıyla temsil edilir. Bu düzenli istifin en üst dokanağı, normal sedimanter ilişkide görülmez, çünkü Neotetis ürünü ofiyolitli karışıkla «Anadolu ofiyolitli Karışığı» tektonik olarak üstlenir (Şekil 1:1). Buraya degen belirtilmiş olan değişik yaşı tektonik istifler ve Jura-Alt Kretase istifi, Karasu Havzasının batı ve kuzeyinde (Erzincan-Kelkit, Bayburt, İspir, Yusufeli) yaygın olarak yüzeyler. Bu tektonik ve tektonik olmayan istifler, ayrıca, ilki Turonyen-Alt Paleosen, diğeri ise Alt-Orta Eosen yaşı ve transgresif nitelikli iki volkano-tortul istif tarafından da açılı uyumsuzlukla örtülü (Şekil 1 : G, J). Diğerinden daha genç olan ikinci tektonik birim «Anadolu Ofiyolit-Karışığı» tabanda Liyas-Albiyen yaşı istifin üzerinde, tavanda ise Turonyen-Paleosen yaşı istifin altında yer alır (Ketin, 1983). Dolayısı ile, Anadolu Ofiyolit-Karışığının ilkyerleşim yaşı Turonyen öncesi ile Albiyen sonrası bir yaş konağıdır (Koçyiğit, 1983); belki de Senomaniyen öncesidir (Akyürek ve diğerleri, 1979).

Yaklaşık Üst Eosen'den başlayarak, Doğu Anadolu Bölgesi'nin hemen hemen tüm kesimleri, aynı ya da benzer tektono-sedimanter rejiminin denetimine girmiş ve tektono-stratigrafik gelişim aşağıdaki biçimde gelişmiş olabilir.

Orta Eosen sonuna degen, genelde denizel ortam olarak kalan Doğu Anadolu Bölgesi, ilkin Üst Eosen'

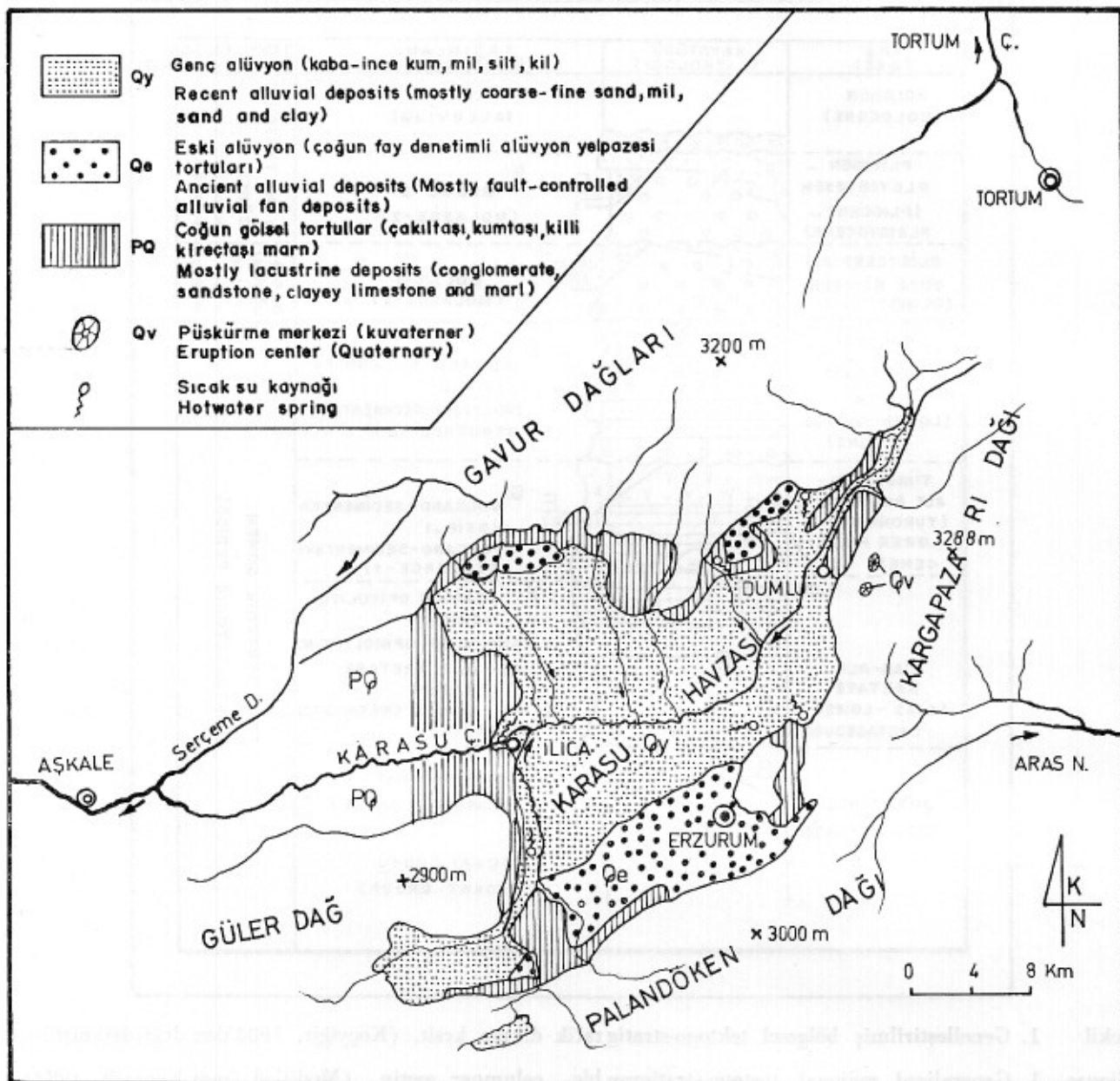


Şekil 1. Genelleştirilmiş bölgesel tektono-stratigrafik dikme kesit. (Koçyiğit, 1983'den değiştirilmiştir).

Figure 1. Generalized regional tectono-stratigraphic columnar section (Modified from Koçyiğit, 1983).

den başlayan ve Miyosen sonuna deðin etkinlik gösteren kısa süreli deniz ilerlemeleri ve çekilmelerine sahne olmuş ve sıkışip-kalınlaşarak yükselmiştir (Şaroðlu ve Güner, 1981). Bu dönemin özgün kayatürü olarak, birbirleriyle yanal-düþey geçişli, sıg denizel, göl ve akarsu ortamında gelişmiş, egemen olarak kaba kıritılı ve kalın yığışımlar «Molas-1» olmuştur (Şekil 1:1). Orta Miyosen sonuna doğru başlayan genel deniz çekimlesiyle, bölge tümüyle suüstü olmuş ve bölgeyi yaygın biçimde etkileyen alkali nitelikli bazaltik-andezitik volkanizma gelişmiştir (Tokel, 1980). Pliyosen-Günümüz arasında ise, karasal niteliðini tümüyle koruyan bölge, bir taraftan sıkışip-ka-

linlaşarak yükselimini sürdürmüþ, diğer taraftan da hızla aşınmıştır. Bu sırada volkanik etkinlik yinelenmiş ve bölge yer yer kalk-alkalen nitelikli bazaltik-andezitik örtü lavlarıyla kaplanmıştır. Buna koþut olarak, dar ve uzun çöküntüler içinde de kömür ve volkanit aradüzyeleri kapsayan, yaklaşık 1000 m. kadar kalınlıkla, tümüyle karasal kaba kıritılardan kuruþlu ikinci bir karasal istif «Üst Pontus Formasyonu» (Irrlitz, 1971) ya da «Molas-2» gelişmiştir (Şekil 1:N). Bu istif altta daha yaþlı tüm birimleri açlı uyumsuzlukla üstlerken, üste doğru, Üst pliyosen-Pleyistosen yaþlı, bölgenin en yaygın ve genç kalk-alkalen nitelikli volkanitleriyle yanal-düþey geçişlidir. Bu istifler



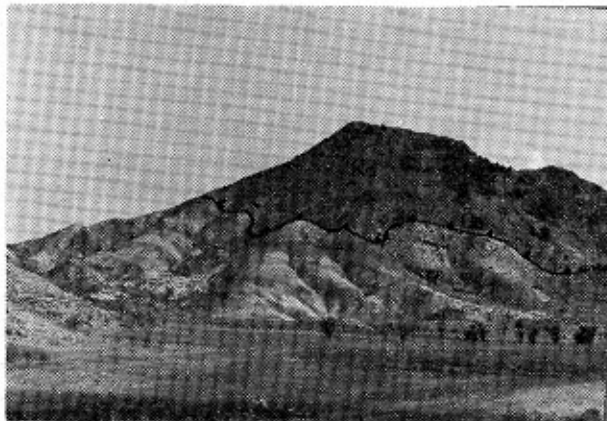
Şekil 2. Karasu Havzasının konumu, Pliyo-Ku-vaterner ve Kuvaterner yaşı birimlerin dağılımı.

Figure 2. Locahiton of the Karasu Basin and the distribution of plio-Quaternary and Quaternary deposits.

Karasu, Horasan ve Narman havzaları ile yakın çevresinde oldukça yaygındır.

Yaklaşık Apsiyen-Albiyen sonu ya da sırasında başlamış olan kuzey-güney yönlü sıkışma, günümüzde degen, değişik zaman ve yoğunlukte süreçlemiştir. Bu nın sonucu olarak, özellikle Anadolu ofiyolitli Karşığı, her iki volkano-tortul istif ve Molas-1 istifi üzerine, tektono-sedimanter yolla yinelenerek taşınmış (Şekil 1:2,3,4) ve yer yer büyük boyutlu nap ve klipper oluşmuştur (Koçyigit, 1985). Bunların en güzel

örneklerinden birisi, Karasu havzasının yakın kuzeyindeki Tortum-Artvin karayolu üzerinde görülür (Şekil 3). Üst Pliyosen-Günümüz arasında ise, bölge yine sıkışma gerilimi altında olmakla birlikte, faylama mekânîindeki değişim (Orta gerilim ekseni düşey konumlu) nedeniyle, bölgede sağ ve sol yanal doğrultu atımlı fayların oluşumu ve etkinliği egemen duruma geçmiş, dolaylı olarak da bindirmeler yerel, küçük boyutlu ve büyük açıda gelişmiştir. Bu ilişkî ve yapıların tip yerî ise, Erzincan doğrultu atımlı faylan-



Şekil 3. Alt Kretase yaşı Anadolu Ofiyolithi Karışığı (Ka) ile Oligo-Miyosen yaşı Ördekdüzü formasyonu (Tö) arasındaki sürüklenenimden (Ös) bir görünüm (Tortum-Artvin yolu batı kenarı).

Figure 3. View of the Ördekdüzü overthrust (Ös) between Lower Cretaceous Anatolian Ophiolitic mélange (Ka) and Oligo-Miocene Ördekdüzü formation (Tö) (West side of the Tortum to Artvin road).

ma havzasının kuzey-kuzeybatı kenarıdır (Koçyiğit, 1985). Yukarıda özetlenen tektono-stratigrafik gelişim nedeniyle Üst Miyosen öncesi Eskitektonik, Üst Miyosen-pliyosen aralığı Geçiş, özellikle Üst pliyosen-Günümüz arası ise Yenitektonik Dönemler olarak adlandırılmıştır (Şekil 1).

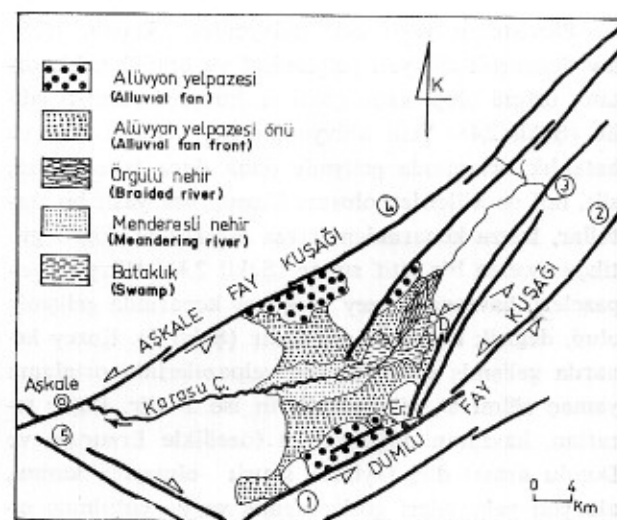
KARASU (ERZURUM) HAVZASI

Havzanın konumu ve bazı morfolojik özellikleri

Karasu Havzası, Kuzeydoğu Anadolu Bölgesi'ndeki büyük boyutlu çöküntülerden biri olup, yaklaşık 50 km uzunluğunda ve 28 km genişliğindedir. Uzun eksen KD-GB doğrultu ve orta kesmi şıklıkla bir merceği andıran havza, kuzey-kuzeybatıdan Gavur dağları (3200m), güneybatıdan Güler dağı (2900m), güneyden Palandöken dağı (3000m) ve doğudan da Kargapazarı dağı (3288) ile çevrilir (Şekil 2). Kargapazarı dağı dışında, havzayı çevreleyen dağlar genelde KD-GB uzanımlıdır. Havzayı doğudan sınırlayan Kargapazarı dağı KKD gidişli olup, diğer dağlara, az da olsa verev konumludur. Antesedent Karasu çayı'nın yukarı eğrinden kurulmuş olan havzanın, deniz düzeyinden ortalama yüksekliği 1800m dir. Havza tabanı ile çevre dağlar arasındaki yükseklik farkı

1100m ile 1480m arasında değişir. Diğer taraftan, havzanın kuzey kesminin ortalama yamaç eğimi 7° , güney kesmin 8° , doğu kesmin ise $6-7^{\circ}$ dir.

Havzayı çevreleyen dağlardan Palandöken ile Kargapazarı, Gavur dağı ile yine Kargapazarı dağlarının birbirlerine yaklaşığı yerler (Erzurum ili yakın doğusu ve Tortum ilçesi güneybatısı), aynı zamanda, Karasu, Hasankale ve Tortum havzaları arasındaki suayırdım çizgileridir (Şekil 2). Karasu Havzası'ni besleyip boşaltan ana akarsu, Karasu çayı, havzanın kuzeydoğusundan doğup, Erzurum ili yakın kuzeyine degen KKD-GGB doğrultulu bir ryo lizledikten sonra, havzanın merkezine yakın bir yerde, doksan dereceye yakın bir dönüşle batıya doğru akmasını sürdürür.



Şekil 4. Çökelme ortamlarının dağılımı ve ana fay takımları 1) Palandöken fay takımı; 2) Başveren fay takımı; 3) Dumlu fay takımı; 4) Serçeme fay takımı ve 5) Tabye fay takımı.

Figure 4. Distribution of the depositional environments and main fault sets. 1) Palandöken fault set; 2) Başveren fault set; 3) Dumlu fault set; 4) Serçeme fault set; and 5) Tabye fault set.

Çayı özellikle Dumlu bucağındaki kesimi örgülü nehir, merkezi ve batı kesmi ise menderesli nehir niteliğindedir (Şekil 4). Karasu çayı'nın ana kolları, ona kuzeyden karışan Serçeme deresi ile güneyden karışan Polur deresidir. Karasu çayı ve onun değişik boyutlu yan kollarının genel ağaçlama biçimini (drainage patterns) kafes türü (trellis) olup, bu durum, fay denetiminin özgün bir belirticidir (Şekil 1).

Havza tortulları ve çökelme ortamları

Karasu Havzası temelinin üst kesimleri ve onu çevreleyen dağlar, egemen olarak kalk-alkalen ve alkalen nitelikli volkanitler ile oligosen, Miyosen ve Pliyosen yaşlı karasal tortullardan oluşmaktadır. Volkanitler alta trakti-andezit üstte ise bazaltik lavlarla; karasal tortullar ise jips-tuz, kömür kapsamlı kil, kaba çakıltaşı-kumtaşı ve sıç denizel kireçtaşları arasımlıyla temsil edilir. Temel üzerinde yer alan ve havza dolgusu olarak genelleştirilebilen daha genç tortullar ise pliyo-Kuvaterner yaşı, göl-akarsu ortamı ürünü kaba çakıltaşı, kumtaşı, marn, *Dreissensia*'lı killi kireçtaşları (Şekil 2 : PQ) ile yeni ve eski alüvyonlarından oluşur (Şekil 2 : Qe, Qy).

Pleyistosen yaşlı eski alüvyonlar (Atalay, 1978) fay denetimli alüvyon yelpazeleri ve örgülü nehir ortamı ürünü olup, kaba çakıl ve kumlarla temsil edilir (Şekil 2,4). Yeni alüvyonlar ise, yelpaze önü ve bataklık ortamında gelişmiş daha önce taneli kum, silt, mil ve killerden oluşur. Kuvaterner yaşı bu tortullar, havza kenarından havza merkezine doğru gitmekçe incelen bir istif sunar (Şekil 2,4). Alüvyon yelpazeleri, havzanın kuzey ve güney kenarında gelişmiş olup, değişik boyut ve sayiadır (Şekil 5). Kuzey kenarda gelişmiş olan alüvyon yelpazelerinin ortalama yamaç eğimi 6° , güneydekilerin ise 5° dir. Diğer tarafından, havzanın doğu kenarı (özellikle Erzurum ve Dumlu arası) diri faylarla sınırlı olmasına karşın, alüvyon yelpazeleri gözlenmemiş ya da yutulmuş olmalıdır (Atalay ve Koçman 1979).

Gerek Karasu gerekse Hasankale havzalarında, dolgu tortullarının alt düzeyi, egemen olarak Pliyo-Kuvaterner yaşı gölsel kaya birimleriyle temsil edilmektedir. Havza dolgusunun üst düzeyleri ise, yaklaşık 100m kalınlığındaki akarsu ortamı tortullarından oluşmakta ve bunlar, alt düzeyin aşınım yüzeyi tızebine uyumsuz olarak oturmaktadır. Havza dolgu birimlerinin alt ve üst düzeylerinin ortamsal farklılığı ve iki düzey arasında bir aşınım yüzeyinin varlığı, Pliyosen sonu ya da Kuvaterner başında, ortam ve ortam koşullarını denetleyen tektono-sedimenter rejimdeki önemli bir değişikliği yansımaktadır. Bu yeni tektonik rejim değişikliği ile kurulan akarsu ağları (Karasu ve Aras nehirleri), Karasu ve Hasankale havzalarındaki göl ortamlarını karşıt yönden kaparak boşalmış ve havza dolgusunun üst düzeyini oluşturan kaba kıritıntıları, Kuvaterner boyunca değişik ortamlarda (alüvyon yelpazesesi, yelpaze önü, örgülü nehir ve bataklık) yükselmiştir (Şekil 4). Diğer tarafından sözü edilen her iki havzannın pliyosen

sırasında birbirleriyle bağlantılı olduğu kuvvetle olasıdır ((Atalay ve Koçman, 1979). Yine aynı şekilde, günümüzde bu iki havzanın, birbirlerinden, KKD gidişli bir yükselti ya da eşikle ayrılmış bulunmasının nedeni de, Pliyosen tektono-sedimenter rejim değişikliği ile ilintili olmalıdır. Bu durumu destekleyen veriler arasında, Karas uve Aras nehirlerinin, her iki havzasındaki göl ortamlarını karşıt yönlerde boşaltmış olması ve aynı akarsu rejimlerinin, daha gelişmiş olarak günümüzde de etkinliklerini sürdürmesi; her iki havzayı ayıran eşigin KKD gidişli, önemli verev bileseni olan diri faylarla yükseltilmiş bulunması ve yine aynı eşik üzerinde (Dumlu bucağının yakın doğusunda) Kuvaterner yaşı püskürme merkezlerinin bulunması (Şekil 2,5) sayılabilir.

Havzayı denetleyen faylar

Karasu havzası ve yakın çevresindeki önemli tektonik ve tektonomorfolojik yapılar (faylar, alüvyon yelpazeleri, ağaçlama biçimleri, volkan konileri, sıcak ve soğuksu kaynakları, uzamış tepeler, çöküntü alanları vb.), gerek bölgenin 1/35 000 ölçekli hava fotoğraflarının çalışması, gerekse 1/25 000 ölçekli jeoloji harita alımı çalışmalarıyla ayrıntılı olarak ortaya konmuştur (Şekil 5). Şekilde belirgin biçimde görüldüğü gibi, Karasu Havzası güneyden yaklaşık K 55° - 60° D, doğudan K 30° - 40° D, kuzey-kuzeybatıdan K 55° - 60° D doğrultulu ve sol yanal doğrultu atımlı fay demetleriyle; güneybatıdan ise, yine yaklaşık K 60° - 65° B gidişli, daha çok sağ yanal doğrultu atımlı fay demetleriyle çevrelenmiş durumdadır (Şekil 5). Sözü edilen bu fay demetlerinin genel doğrultusu ile, havzayı çevreleyen önemli dağların uzanımları arasında da bir uyumluluk gözlenir (Şekil 2).

Karasu havzasını güney, doğu ve kuzey-kuzeybatıdan sınırlayan sol yanal doğrultu atımlı fay demetleri ilkin Koçyiğit ve Rojay (1984) tarafından sırayla **Aşkale** ve **Dumlu Fay Kuşakları** olarak adlandırılmıştır. Bu yeni çalışma ile, bu kuşakları oluşturan önemli fay ve tektono-morfolojik yapılar ayrıntılı olarak haritalanıp, ayrı ayrı adlandırılmıştır (Şekil 5). Önemli fayların özelliklerini anlatmadan önce, Karasu Havzası'ni sınırlayan fay demetlerinin genel gidişleri arasındaki ilişkiye kısaca değinmek yararlı olacaktır. Havza güneyindeki Palandöken dağında ve doğusundaki Kargapazarı dağında sol yanal doğrultu atımlı üç fay demeti «Dumlu Fay Kuşağı» gelişmiştir (Şekil 4 : 1,2,3) Bu üç demetten güneyde yeralanı K 55° - 60° D, doğrultulu olup her üç demet Erzurum ili yakın doğusundaki yükselti alanında (Karasu ve Hasan-

kale havzalarını ayıran eşiğin güney ucunda) birbirlerine yaklaşımdır ve aralarında açısal bir ilişki oluşturmaktadır (Şekil 4,5). Benzer açısal ilişki 4 ile 3,1 ile 5 ve 4 ile 5 nolu fay demetleri arasında da vardır. Fay demetleri arasındaki bu açısal ilişki, yazının tartışma ve sonuç bölümünde ayrıntılı olarak açıklanacağı gibi, Karasu Havzası'nın oluşumundaki önemli mekanik nedenlerden biri olmalıdır. Çünkü bu açısal ilişki nedeniyle, 3 nolu fay demeti, diğerlerine oranla önemli miktarda verev bileşen kazanmıştır. Bu durumun kanıtı olarak, Karasu Havzası'nın doğu kenarını sınırlayan faylar boyunca alüvyon yelpazelerinin yutulmuş olması (Atalay, 1982) sıcaksu kaynaklarının yoğunlaşması, Karasu ve Hasankale havzalarını birbirlerinden ayıran yükseltinin gelişmesi ve Kuvaterner yaşı bazaltik püskürtmelerin yer olması gösterilebilir (Şekil 5).

Dumlu Fay Kuşağı

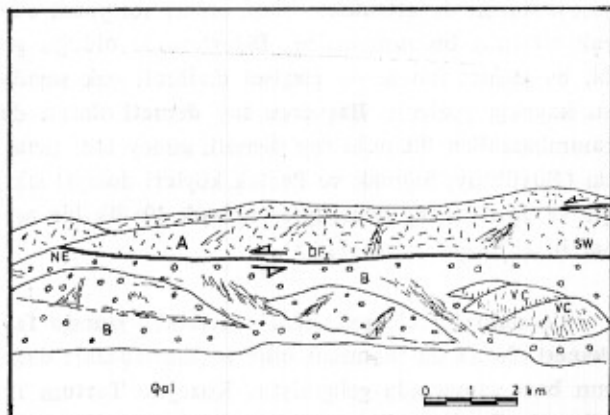
Genelde KD-GB doğrultu, egemen sol yanal doğrultu ataklı, yaklaşık 15 km genişliğinde bir fay kuşağı olup (Koçyiğit ve Rojat, 1984), birbirleriyle açısal ilişki sunan üç fay demetinden oluşur (Şekil 4 : 1,2,3.). Bir nolu fay demeti ortalama $K\ 55^{\circ} - 60^{\circ}D$ doğrultulu olup, Karasu Havzası'nı güneyden sınırlar. Bu fay demetinin içindeki önemli faylar Eğerli ve Palandöken faylarıdır (Şekil 5). Eğerli-1 ve Eğerli-2 fayları boyunca, büyük boyutlu, fay denetimli alüvyon yelpazeleri gelişmiştir (Şekil 5). Bu demeti oluşturan faylardan en kuzeyde yer alan boyunca, genç alüvyon dolguları bile kesilmiştir (Atalay, 1982). Ayrıca Polur, Teke, Eğerli, Karagöz, Deveuçurarı ve Fakırıçmez gibi birçok derefay denetimi altındadır. Bir nolu fay demeti, Erzurum ili doğusunda iki ve üç nolu fay demetleriyle $20^{\circ} - 30^{\circ}$ lik açılarla kesişir (Şekil 4; 5).

İki nolu fay demeti, Kargapazarı dağının doğu yamacında gelişmiş olup, ortalama doğrultu $K\ 43^{\circ}D$ dur. Bu demet başlıca Pertek ve Başveren faylarından oluşur (Şekil 5). Yaklaşık 5 km genişlikte olan bu fay demeti, birkaç km ile 70 - 80 km uzunluğunda ve birbirlerine koşut uzanımlı faylar kapsar. Bunlardan en iyi tectono-morfolojik görünümü sahip olanı **Pertek fayıdır**. Pertek köyü yakın güneyinden başlayıp kuzeydoğuya Narman'a doğru $K\ 42^{\circ}D$ doğrultusunda uzanan bu fay, pertek ve Açıköy arasında Pliyosen yaşı karasal tortullar ile bazalt-andezit lavlarından oluşan volkanitlerin dokanğını belirler ve bu arada Kayırılı ve Büyük dereyi denetler (Şekil 5). Ayrıca 1952 Hasankale depreminin episantırı da bu fay üz-

erine düşer. İki nolu fay demeti çok sayıda dere ve yan kollarını denetlemekte olup, onları sol yanal olarak bükmüş bulunmaktadır. Diğerlerinde olduğu gibi, bu demet içinde de çizgisel dizilişli çok sayıda su kaynağı gözlenir. **Başveren fay demeti** olarak da tanımlanabilen iki nolu fay demeti, güney batı ucunda (Büyüktüy, Sığnak ve Pertek köyleri dolay) sıkışır ve üç nolu fay demetiyle yaklaşık 10° lik bir açısal ilişki oluşturur (Şekil 5).

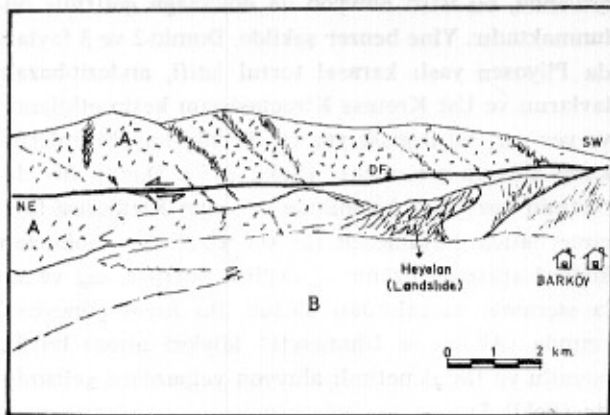
Üç nolu fay demeti, aynı zamanda, **Dumlu fay demeti** olarak da tanımlanabilir ve Kargapazarı dağının batı yamacında gelişmiştir. Kuzeyde Tortum ile güneyde Erzurum ili arasında, yaklaşık $K\ 30^{\circ}D$ doğrultusunda uzanır ve Karasu havzasını doğudan sınırlar (Şekil 5). Kuzeybatıdan güneydoğuya doğru başlıca **Kızılkilise, Aktaş, Dumlu ve Kargapazarı faylar**ından oluşan **Dumlu fay demeti**, yaklaşık 8 km genişliğinde bir kuşak oluşturur. Fay demeti içinde çok sayıda uzamış tepe, çöküntü alanı-göl, çizgisel dizişim sıcak ve soğuksu kaynakları ile genç püskürme konileri gözlenir (Şekil 5 : EH, DA, VC). Fay demetini oluşturan fayların hemen hepsi çok belirgin tectono-morfolojik görünüm sunar. Bazıları, örneğin, Kızılkilise fayı gibi, dikçe eğimli (78°) fay düzlemi de sergiler (Şekil 5). Bu faylardan diğer bazıları, örneğin Kargapazarı fayları gibi, yalnızca andezit ve bazaltlar içinde gelişmiş olup, diğer bazıları da değişik yaş ve türdeki kayabirimlerini kesmiş ve karşı karşıya getirmiştir. Örneğin Dumlu-1 fayı, Pliyosen yaşı karasal tortul, tuf ve volkanik breş ardaşımından oluşan bir istifi kesmekte ve Kelevür istifi ile Dumlu arasında, bu istifi alüvyon ile dokanağa getirmiş bulunmaktadır. Yine benzer şekilde, Dumlu-2 ve 3 fayları da Pliyosen yaşı karasal tortul istifi, andezit-bazalt lavlarını ve Üst Kretase Kireçtaşlarını kesip etkilemiş ve yer yer, bu değişik yaş ve türdeki kayabirimlerini karşı karşıya getirmiştir (Şekil 6, 7). Dumlu fay demetinin kuzeybatı kesiminde yer alan Kızılkilise fayı, güneybatıda Ulumescit ile kuzeydoğuda Nohurtap köyleri arasında uzanır ve değişik boyutlu, sağ ve sola sıçramış parçalardan oluşur. Bu fayın güneybatı ucunda (Akdağ ve Ulumescit köyleri arası) büyük boyutlu ve fay denetimli alüvyon yelpazeleri gelişmiştir (Şekil 5).

Özet olarak, Karasu Havzası'nın güney, doğu ve kuzeydoğu kesiminde Dumlu Fay Kuşağı birbirleriyle açısal ilişki sunan, Pliyo-Kuvaterner yaşı karasal tortul, volkanit ve alüvyonu etkilemiş bulunan üç ayrı fay demetinden (Palandöken, Başveren ve Dumlu fay demetleri) oluşmaktadır.



Sekil 6. Andezitik-bazaltik lavları (A) Pliyosen yaşılı karasal tortullardan (B) ayıran tektonik dokanağın (Dumlu fay-2) ve yaklaşık K-G gidişli açık tansiyon çatıtlarından çıkışmış Pliyo-Kovarterner yaşı volkan konilerinin (VC) görünümü. (Taşlıgüney ve Keçidüzü tepeleri dolayı).

Figure 6. View of tectonic boundary (Dumlu fault-2) separating the andesitic-bazaltic lavas (A) from the Pliocene continental deposits (B) and N-S oriented cones (VC) of Plio-Quaternary age (near the Taşlıgüney and Keçidüzü Zülls).



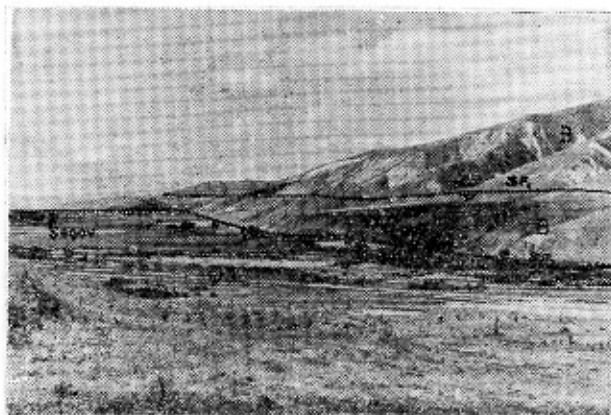
Sekil 7. Andezitik bazaltik volkanitler (A) içinde gelişmiş Dumlu-3 fayı ve fay tarafından öteleşmiş dereeler (B) Pliyosen yaşılı karasal tortullar.

Figure 7. Dumlu fault-3 developed in the andezitic to bazaltic volcanics (A) and offset creeks. B) Pliocene continental deposits.

Aşkale Fay Kuşağı

Genelde KD-GB doğrultulu ($K 55^{\circ}D$), 2 - 4 km genişliğinde sol yanal doğrultu atımlı bir fay kuşağı olup, ilkin Koçyiğit ve Rojav (1984) tarafından adlandırılmıştır. Karasu Havzası'ni batı-kuzeybatıdan sınırlayan Aşkale Fay Kuşağı, başlıca Ermecik, Simoklu ve Serçeme faylarından oluşur (Şekil 5). Ayrıca İlica Evreni ve Pırtın arasında da daha kısa (2-10 km uzunluklu) ve birbirine koşut uzanımlı birçok fay ve 1939 Tercan depreminin episantırı yine Aşkale Fay Kuşağı içinde yer alır. Bu kuşağın, tektono morfolojik görünümü en belirgin olan fayları Serçeme ve Ermecik faylarından (Şekil 5). **Serçeme fayları**, Karasu çayıının en büyük kollarından biri olup Küçükağdariç dolaylarında Karasu çayına katılan Serçeme deresini denetleyen, birbirine az çok koşut uzanımlı ve 2-20 km uzunluklu faylardan oluşmuş bir fay demetidir (fault set). Bu demet içinde büyük boyutlu olan üç tanesi Serçeme 1, 2 ve 3 fayı olarak adlandırılmıştır (Şekil 5). **Serçeme-1 fayı**, kuzeydoğu Ortuzu dere ile güneybatıda Şihveren köyü arasında, sağa ve sola sıçramalar yaparak uzanır. Aşkale güneyinde (Küçükağdariç-Şihveren arasında), Karasu çayıını sol yanal olarak 6 km kadar öteler ve Aşkale ilçesinin hemen güneyinde (Kabandağ tepe kuzey yamacı) Miyosen yaşılı kayaları keserek dikçe fay düzlemi sunar. Ergemansur köyü dolayında, Pliyosen yaşılı karasal tortullarla alüvyonların dokanağını oluştururken, daha kuzeydoğuda (Ortuzu dere dolayı) andezit ve bazaltik volkanitleri keser. **Serçeme-2 fayı** güneybatıda Küçükağdariç ile kuzeydeğuda Sırılı arasında uzanır. Fay oldukça belirgin bir tektomorfolojiye sahip olup, Küçükağdariç - Zuvanç köyleri arasında Pliyosen yaşılı karasal tortullarla (tuf, kiltaşı, kumtaşlı ardaşımı) alüvyonların dokanağını oluşturur (Şekil 8). Sırılı ile Zuvanç köyleri arasında ise, Sermece deresini denetler ve Alt Kretase yaşılı kireçtaşlarını keser. Zuvanç köyünün hemen yakın kuzeydoğusunda, bu faya ait dikçe eğimli fay düzlemi gözlenir.

Serçeme faylarının güneydoğusunda yer alan ve Aşkale Fay Kuşağı'ını oluşturan önemli faylardan birisi de Ermecik fayıdır. **Ermecik fayı** güneybatıda Kabandağ tepe ile kuzeydoğuda Çardaklı köyü arasında, sağa ve sola sıçramalar yaparak uzanır. Bu fay, uzanımı boyunca çok sayıda dere ve onların yan kollarını denetlemekte olup, onları sola bükmuştur. Bunnardan bazıları Alikol dere, Pişinkar dere ve Tortum çayıının bazı kollarıdır (Şekil 5). Ermecik fayının hemen güney eteğinde (Ortuzu-İğdasur köyleri dolayı) çok sayıda ve değişik boyutlu alüvyon yelpazesi de gelişmiş bulunmaktadır (Şekil 5). Ermecik fayı



Şekil 8. Serçeme faylarının (SF₁, 2) genel görünümü. B) Pliyosen yaşlı karasal tortullar; Qal) Alüvyon.

Figure 8. General view of the Serçeme faults (SF₁, 2). B) Pliocene continental deposits; Qal) Alluvium.

çok değişik yaşı ve türde kayabirimini etkilemiştir. Örneğin, Kabandağ tepe dolayında Miyosen yaşlı tortulları, Ergemansur-Ermecik köyleri arasında Pliyosen yaşlı karasal tortulları, Ortuzu köyü ile Karaçığlı tepe arasında andezit ve bazaltları, Güney tepe ve Kaledibi köyü dolayında Anadolu Ofiyolitli Karışığını, Pişinkar dere boyunca da Üst Jura yaşlı kireçtaşlarını kesmektedir.

Dumlu ve Aşkale Fay Kuşakları dışında, Karasu Havzası'nın özellikle güneybatısında (Aşkale'nin güney-güneydoğusu), birbirine koşut uzanılmış (ortalama K 60°B), sağ yanal doğrultu atımlı bir fay demeti daha yer alır (Şekil 4 : 5). Bu demet içinde en belirgin tektono morfolojik görünümü sahip olan faylar Evreni, Tabye, Bağırsak ve Yeniköy fayları olarak haritalanıp adlandırılmıştır (Şekil 5). Sağ yanal doğrultu atımlı bu fay demeti boyunca, birçok çöküntü alanı, göl, çizgisel dizimli soğuksu ve sıcaksu kaynağı yer alır. Örneğin, Pırtın köyü dolayındaki sıcaksu kaynağı gibi. Çok sayıda dere ve onların yan kolları da, bu sağyanal fay demetinin denetimi altında, örneğin Harabalar dere, Göllerin dere, Dikboğaz dere ve Kapı dere gibi (Şekil 5). **Yeniköy fayı** Pliyosen yaşlı karasal tortulları (kiltaşı, kumtaşı, çakıltaşrı arası) onun hemen kuzeyinde yer alan **Bağırsak fayı** ise Yeniköyün yakın kuzeyinde yüzeyleyen Miyosen yaşlı tortulları, Bağırsak köyü dolayında da Pliyosen yaşlı karasal tortulları etkilemiştir. Tabye dağının hemen kuzey yamacında gelişmiş olan **Tabye fayı** Göllerin dereyi denetlemekte olup, Pırtın köyü

dolayında bu fay boyunca sıcaksu kaynağı yer alır. Bu fay ayrıca, Tabye dağı ile Pırtın köyü arasında Anadolu Ofiyolitli Karışığını, Göllerin dere boyunca da Pliyosen yaşlı karasal tortulları keser. Sağ yanal fay demetinin diğer önemli bir fayı da **Evreni fayı** olup, bu fay Evreni köyünün yakın güneydoğusunda çok belirgin bir fay düzlemi (K 72 B, 75 KD) sunar. Evreni köyünün batısında Pliyosen tortullarını kesten fay, aynı köyün güneyinde Pliyosen tortullarıyla andezit-bazalt dokanağını izler.

Karasu Havzası'nın tektonik etkinliği ve depremselliği

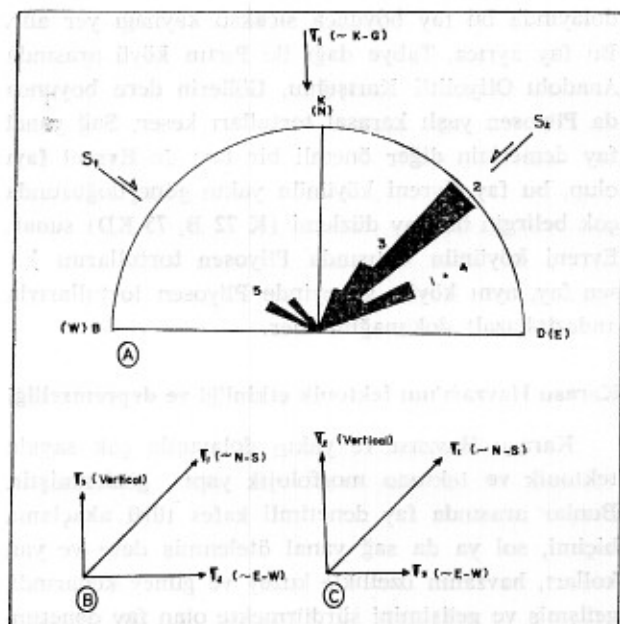
Karasu Havzası ve yakın dolayında çok sayıda tektonik ve tektono morfolojik yapı gözlenmiştir. Bunlar arasında fay denetimli kafes türü ağaçlama biçimi, sol ya da sağ yanal ötelenmiş dere ve yan kolları, havzanın özellikle kuzey ve güney kenarında geilmiş ve gelişimini sürdürmekte olan fay denetimli alüvyon yelpazeleri, asılı vadiler, çok sayıda sıcaksu kaynağı, Kuvaterner yaşlı volkanizma ürünü volkan konileri, çok sayıda uzamış tepe çöküntü-göl ve faylanmış **Dreissenia**'lı Kuvaterner depoları sayılabilir (Şekil 5). Diğer taraftan, Erzurum ili yakın dolayı çok sayıda tarihsel ve güncel yıkıcı depremlere de sahne olmuştur. Örneğin, 1040, 1045, 1268, 1458, 1482, 1584, 1659, 1766, 1804, 1840, 1850, 1852, 1859, 1861, 1866, 1868, 1886, 1887, 1901, 1906, 1912, 1924, 1928, 1937, 1939, 1941, 1943, 1947, 1948, 1950, 1952, 1964, 1983, 1984 gibi.

Yukarıda belirtilen tektonik, tektono morfolojik ve sismik veriler, bir taraftan Karasu Havzasını sınırlayan fayların varlığını, diğer taraftan da onların çoğunun etkin (diri) olduğunu ortaya koymaktadır.

Karasu Havzası'nın mekanik yorumu

Havzayı sınırlayan ve çoğunun etkin olduğu bilinen fayların doğrultuları kullanılarak hazırlanan gül diyagramıyla beş egemen fay demeti (fault sets) saptanmıştır (Şekil 9A). Bunlardan 1 ve 4 nolu fay demetlerinin ortalama doğrultusu K 65°D, 2 nolu sunun K 45°D, 3 nolu sunun K 35°D ve 5 nolu sunun ise K 60°B dir (Şekil 4, 9A). Bu fay demetlerinde 1, 2 ve 3 nolu olanları sol yanal doğrultu atımlı Dumlu Fay Kuşağının; 4 nolu olanı Aşkale Fay Kuşağının, 5 nolu olanı da sağ yanal doğrultu atımlı Tabye fay demetini temsil etmektedir.

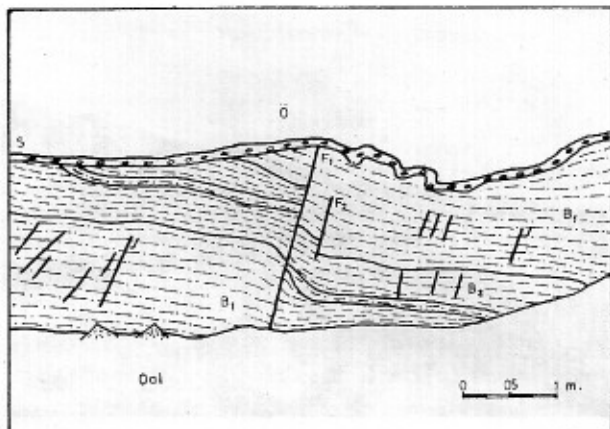
Karasu Havzası ve yakın dolayı, Pliyosen'den günümüzə degen, yaklaşık K-G yönelimli bir sıkışma geriliğiyle deñetlene gelmiştir. Pliyosen yaşlı karasal tortullarda gelişmiş küçük boyutlu tektonik yapılar



Şekil 9. Fay takımlarının genel gidişlerini ve faylanma mekanğini gösteren diyagramlar A1) Palandöken fay takımı; A2) Başveren fay takımı; A3) Dumlu fay takımı; A4) Serçeme fay takımı ve A5) Tabye fay takımı. B) Pliyosen öncesi ve sırasında ters faylanma; C) Pliyosen sonrası doğrultu atımlı faylanma.

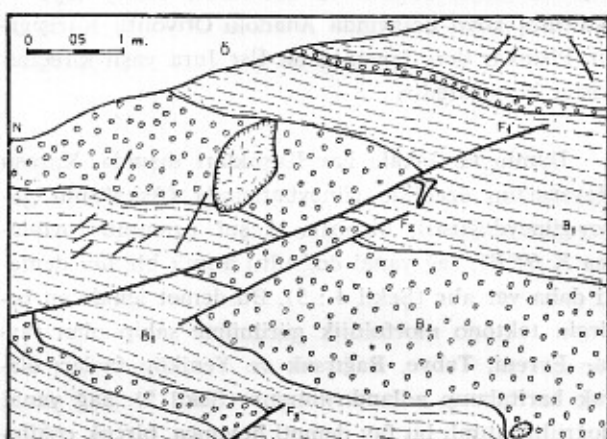
Figure 9. Diagrams illustrating the general trends of the fault sets and fault mechanisms. A1) Palandöken fault set; A2) Başveren fault set; A3) Dumlu fault set; A4) Serçeme fault set and A5) Tabye fault set. B) Thrust faulting mechanism before and during the Pliocene time; C) Strike slip faulting after the Pliocene time.

(kırımlar, bindirme fayları ve kesme türü çatlaklar) Pliyosen sırasında sıkışma geriliminin ve aynı zamanda mekanik bakımından en küçük sıkışma gerilimi ekseninin düşey konumda bulunduğu en güzel kanıtıdır (Şekil 9B, 10, 11). Günümüzde ise Karasu Havzası, Pliyo-Kuvaterner dönemde gelişmiş ya da etkinlik kazanmış çok sayıda sol ve daha az sayıda sağ yanal doğrultu atımlı fayların denetiminde olup, havzayı etkileyen gerilim türü yine sıkışma olmasına karşın, orta sıkışma gerilimi eksenin düşey konum kazanmıştır (Şekil 9C).



Şekil 10. Pliyosen yaşı karasal tortullar (B1, B2) içinde gelişmiş küçük boyutlu ters faylar (F1, 2) ve çatlaklar (J). Ö) Alüvyon örtü; Qal) Alüvyon (Kazeris köyü 700 m. güneyinde yol yarması boyunca).

Figure 10. Small-scaled thrust faults (F1, F2) and joints (J) within the Pliocene continental deposits. Ö) Alluvial cover; Qal) Alüvyon along the road cut 700 m. south of Kazeris village).



Şekil 11. Pliyosen yaşı karasal tortullar (B1, B2) içinde gelişmiş küçük boyutlu ters faylar (F1, F2, F3) ve çatlaklar. (J) B1) Kumtaşı; B2) Çakıltaş; (Ö) Alüvyon örtü (Kazeris köyü 500 m. güneyinde, yol yarması boyunca).

Figure 11. Small-scaled thrust faults (F₁, F₂, F₃) and joints (J) within the Pliocene continental deposits, Ö) Alluvial cover B₁) Sandstone, B₂) Conglomerate. (along the road cut 500 m. south of Kazeris village).

SONUÇ VE TARTIŞMA

Faylar, ötenmiş dereler, uzamiş tepeler, çokkuntü alanları, göller, çizgisel dizilimli sıcak ve soğuksu kaynakları, akaçlama biçimleri, fay denetimli alüvyon yelpazeleri, faylarla kesilmiş Kuvarterner dolgular, açılma çatlaklarından yüzeşenmiş volkan konileri, uzun eksenli egemen sol yanal doğrultu atımlı fayların doğrultusuna koşut uzanımlı havza, havza içinde merkeze doğru tane boyu azalan tortul istif gibi tectonik ve tectonomorphologic yapıları. Karasu Havzasının bazı araştırmacılar (Pınar ve Lahn, 1952; Erinç, 1973; Acar, 1975; Atalay ve Koçman, 1979; Atalay, 1982; Bayraktutan, 1982; Tokel, 1984) tarafından öne sürüldüğü gibi graben olmayıp, bir sol yanal doğrultu atımlı faylanma havzası olduğunu desteklemektedir. (Koçyiğit ve Rojav, 1984). Karasu Havzası aynı zamanda, bütün olarak, kenarları bindirme faylarıyla sınırlı bir dağarası havzası da (Şengör and Kidd, 1979; Şengör, 1980; Saroğlu ve Güner, 1981) değildir.

Diğer taraftan, Dumlu Fay Kuşağı'ni oluşturan fay demetleri (Şekil 4 : 1, 2, 3) arasındaki açısal fark, özellikle 3 nolu fay demetinin doğrultusu ile diğer ikisinin doğrultusu arasındaki fark, eğer devinim (hareket) yönünün değişmediği kabul edilirse, havzanın doğu kenarında, özellikle Erzurum ile Dumlu arasında yerel bir çekme gerilimine yol açabilir (Mann ve diğerleri, 1983). Bu yerel çekme gerilimi ise, Karasu Havzası'nı doğudan sınırlayan üç nolu fay demetine önemli miktarda verev atım kazandırabilir (Şekil 4 : 3). Buna benzer bir özellik, havzanın güneybatı kenarında da (İlaca-Söğütlü arası) söz konusudur. Sözü edilen ve doğrultu atımlı faylanma mekanından doğan bu yerel çekme gerilimini destekleyen veriler arasında: 1) Havzanın doğu ve güneybatı kenarındaki sıcaksu kaynakları; 2) Havzanın doğu kenarında alüvyon yelpazelerinin yutulmuş olması; 3) Yine havzanın doğu kenarında gelişmiş K-G gidişli açık tansiyon çatlaklarının sonuçlandığı volkan konileri; 4) İlaca-Söğütlü arasında sismik verilerle saptanmış, yaklaşık K-G doğrultu gömülü bir normal fayın varlığı (Çuhadar, 1978) ve 5) Uzun eksenli KD-GB gidişli bir havzanın, **Karasu Havzası**, gelişmiş olması gösterilebilir.

Karasu Havzası, günümüzde gelişimini sürdürmen bir sol yanal doğrultu atımlı faylanma havzasıdır. Havzanın mekanik gelişiminde, yerel çekme gerilimi önemli bir etken olup, bu ise havzayı güney ve doğu kenarından sınırlayan sol yanal doğrultu atımlı fay demetleri arasındaki açısal ilişkiden kaynaklanabilir (Şekil 4 : 1, 2, 3).

Diger taraftan, tarihsel ve güncel depremlerle de kanıtlanmış olduğu gibi, Karasu Havzası depremselliği yüksek bir alandır. Hayzanın kuzeydoğu ucu (Tortum dolayı), doğu ucu (Erzurum ili, Toparlak ve Pertek köyleri arası) ve güneybatı ucu (Palandöken dağlarının batı ucu) etkin sıkışma gerilimi altında bulunabilir. Çünkü, sözü edilen bu alanlar, fay demetlerinin birbirleriyle kesiştiği yerlerdir. Buna karşın Erzurum - Dumlu arası ve İlaca - Söğütlü arası da büyük olasılıkla gerilim enerjisinin serbestlediği yerlerdir. Bu nedenle, jeotermal enerji potansiyeli bu iki yörede, gelecekteki depremler ise, Tortum güneyi, Erzurum ili doğusu ve Palandöken dağının batı ucunda beklenmelidir.

CONCLUSION AND DISCUSSION

Some tectonic and tectonomorphologic features, like active strike-slip faults, offset streams, elongated hills, depressions, sag-ponds, alignments of hot and cold water springs, drainage patterns, fault-controlled alluvial fans, fault-cut Quaternary deposits, volcanic cones created by the fissure eruptions, the basin with its long axis is parallel to the general trend of the active left-lateral strike slip faults and the fining centerward sequence in the basin support the Karasu Basin is a left-lateral strike slip faults and the fining centerward sequence in the basin support the Karasu Basin is a left-lateral strike slip fault basin rather than a graben suggested by Pınar and Lahn (1952), Erinç (1973), Acar (1975), Atalay and Koçman (1979), Atalay (1982), Bayraktutan (1982), and Tokel (1984). It is not also a typical intramountain basin bounded by thrust faults suggested by Şengör and Kidd (1979), Şengör, (1980), and Saroğlu and Güner (1981). The Karasu depression is a kind of strike-slip fault basin lasting to be developed in the present. One of the main factors in the mechanical development of this basin in the local tensional stress resulting from the angular relations among the left lateral strike-slip fault sets bounding the south and east margins of the Karasu Basin (Fig. 4 : 1, 2, 3).

On the other hand, the Karasu Basin is an area of high seismicity as proved by both historical and recent earthquakes. The northeaster margin (near Tortum town), eastern margin (the area among Erzurum City, Toparlak and Pertek villages) and the southwestern margin (Western part of Palandöken mountains) of the basin may be the local areas, where the compressive stress energy is being stored. Because, these areas are the gaps among the fault

sets. On the contrary of this, the eastern margin (the part between Erzurum and Dumlu) and southwestern margin (the part between İlca and Söğütlü village) of the Karasu Basin are mostly the localities where the stress energy is released from time to time. Therefore, the potential geothermal energy in these last two localities, and the future earthquakes in the first three localities may be expected.

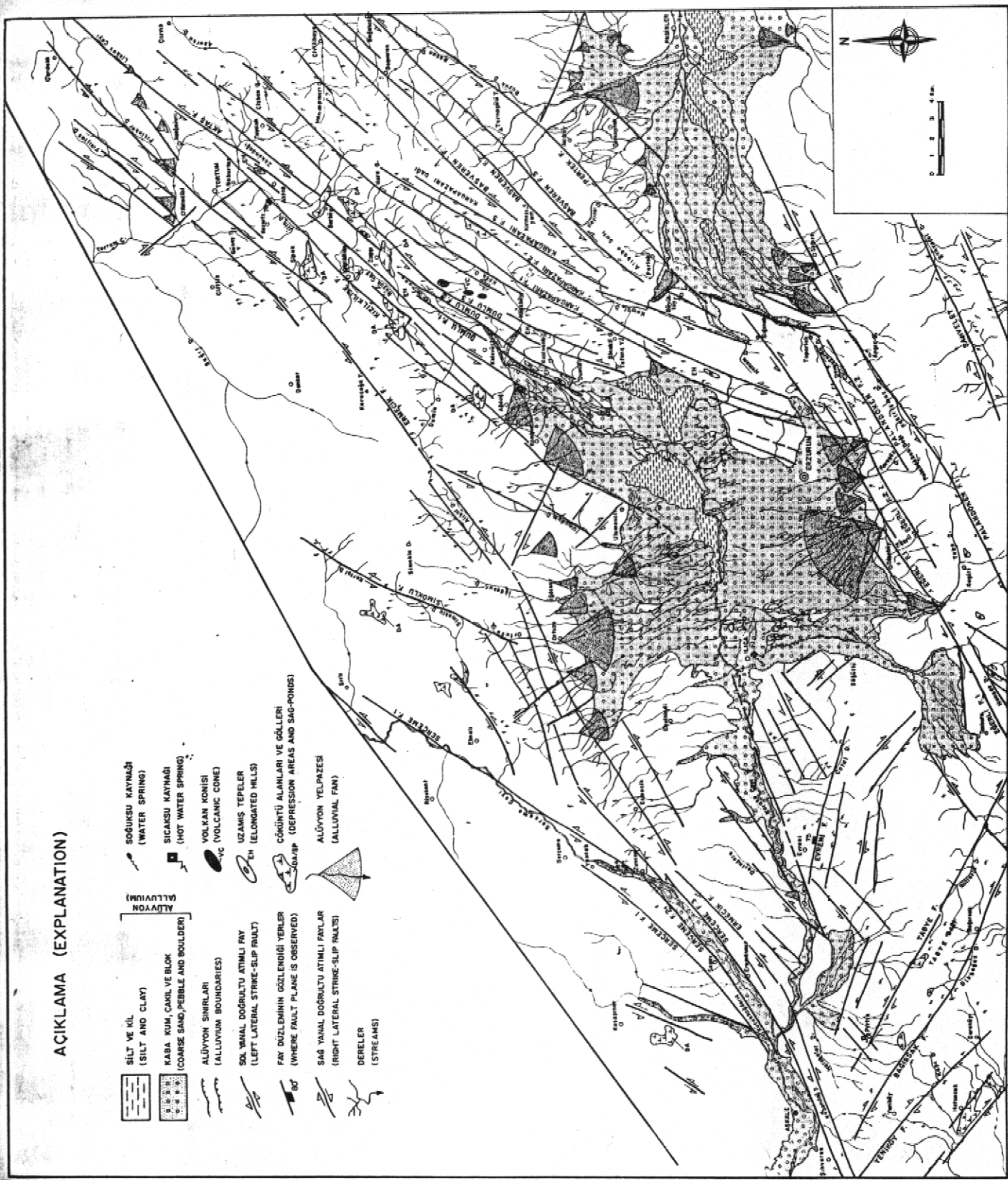
DEĞİNİLEN BELGELER

- Acar, A. 1975, *Tortum ve çevresinin jeolojisi ve jeomorfolojisi üzerine bir araştırma* : Atatürk Univ. Doçentlik tezi, Erzurum.
- Akyürek, B., Bilginer, E., Çatal, E., Değer, Z., Soyosal, Y. ve Sunu, O., 1979, *Eldivan Şabanözü (Çankırı) dolayının ofiyolit yerleşmesine ilişkin bulgular* : Jeoloji Mühendisliği, 9, 5-11.
- Ardos, M. 1979, *Türkiye Jeomorfolojisinde Neotektonik* : İ. Üniv. Coğ. Enst. Yayıntı, No: 113.
- Arpat, E., Saroğlu, F. ve İz, H.B., 1977, 1976 Çaldıran depremi : *Yeryuvarı ve İnsan*, 2, 1, 29-41.
- Atalay, İ. 1978, *Erzurum ovası ve çevresinin jeolojisi ve jeomorfolojisi* : Atatürk Univ., Ed. Fak. Yayıntı, No: 81.
- Atalay, İ. 1982, *Türkiye Jeomorfolojisine giriş* : Ege Üniv. Sos. Bil. Fak. Yayınları, No. 9, 284 s.
- Atalay, İ. ve Koçman, A. 1979, *Kuzeydoğu Anadolu'nun jeotektonik ve morfotektonik evriminin ana çizgileri* : Jeomorfoloji Derg. 8, 41-76.
- Barka, A., Saroğlu, F. ve Güner, Y. 1983, *Horasan-Narman depremi ve bu depremin Doğu Anadolu neotektoniğindeki yeri* : *Yeryuvarı ve İnsan* 8, 16-20.
- Baykal, F., 1950, *Şerafettin ve Çotela dağları dolaşında jeolojik görüşler (Doğu Anadolu)*: İst. Üniv. Fen Fak. Mecmuası, 15-12.
- Bayraktutan, S., 1982, *Narman (Erzurum) Havzasının Miyosen'deki Sedimentoloji evrimi*: Atatürk Univ. Fen Ed. Fak. Doktora tezi, 282 s.
- Bingöl, E., Baydar, O., Erdoğan, B., Akyürek, B., Topçam, B., Kengil, A., Korkmazer, B., Kaynar, A. ve Selim, M. 1969, *Yusufeli-Öğdem-Madenköy-Tortum gölü ve Ersis arasında kalan bölgenin jeolojisi*: M.T.A., Derleme Rap. No. 5202.
- Brennich, G., 1967, *Erzurum vilayeti jips yatakları*: M.T.A., Derleme Rap. No. 4862.
- Cuhadar, G., 1978, *Erzurum ovası hidrojeolojik etüt raporu: Enerji ve Tabii Kaynaklar Bakanlığı, Devlet Su İşleri Genel Müdürlüğü*, 55 s.
- Erentöz, C., 1953, *Aras havzasının jeolojisi*: Türkiye Jeol. Kur. Bült. 5, 1-54.
- Erinç, S., 1973, *Türkiye'nin şekillenmesinde neotektonogenin rolü ve Jeomorfoloji-Jeodinamik ilişkileri*: Jeomorfoloji Derg., 5, 11-25.
- Gattinger, T.G. 1956, *Trabzon, Rize, Gümüşhane, Erzurum, Artvin, Kars jeolojik Leve, ikmal ve Revizyon çalışmaları*: M.T.A., Derleme Rap. No. 2380.
- Gattinger, T.G., Erentöz, C. ve Ketin, I., 1962, *Türkiye Jeoloji Haritası, Trabzon paftası açıklaması*: M.T.A. Yayıntı, Ankara,
- Irrlitz, W., 1971, *Newsl. Stratigr*, 1, 3, 33-36.
- İlhan, E., 1971, *Earthquakes in Turkey* In: *Geology and History of Turkey* (Ed. by A.B. Campbell), Tripoli, Libya.
- İlker, S., 1966, *Erzurum Bölgesinde Erzurum İ 47-c1, İ 47-c4, İ 47-d2 ve İ 47-d3 paftalarının detay petrol etüdü hakkında rapor*: M.T.A., Der. Rap. No. 4236.
- Ketin, I. 1983, *Türkiye Jeolojisine genel bakış*: İstanbul Teknik Üniv. yayını No. 1259, 595 s.
- Koçyiğit, A., 1983, *Doğu Anadolu Bölgesi'nin depremselliği ve gerekli çalışmaları*: *Yeryuvarı ve İnsan*, 8, 3, 25-29.
- Koçyiğit, A., 1985, *Çatalçam (Zevker) - Erzincan arasında Kuzey Anadolu Fay Kuşağı'nın sisimo-tektonik incelemesi*: O.D.T. Üniv., Jeoloji Müh. Bölümü.
- Koçyiğit, A. ve Rajay, B., 1984, *Doğu Anadolu Bölgesi'nin yeni tektonik çatıştı ve Horasan-Narman depremi-1983; Kuzeydoğu Anadolu I. Ulusal Deprem Simpozyumu'nda*: Atatürk Üniversitesi Fen Ed. Fak. 248-265.

- Lahn, E., 1939, Karasu-Çoruh nehri arasındaki müntakada yapılan Jeolojik araştırma: M.T.A., Der. Rap. No. 838.*
- Mann, P., Hempton, M.R., Bradley, D.C. ve Burke, K., 1983, Development of pull-apart basins: Journal of Geology, 91, 529-554.*
- Ortynski, I.I., 1944, Kars ve Erzurum vilayetlerine yapılan bir seyahat üzerine jeolojik rapor: M.T.A., Der. Rap. No. 1634.*
- Özgül, N., Seymen, İ. ve Arpat, E., 1983, Horasan-Narman depreminin makroismik ve tektonik özellikleri : Yeryuvarı ve İnsan, 8, 3, 21-24.*
- Pınar, N. ve Lahn, E., 1952, Türkiye depremleri izahlı kataloğu: T.C. Bayındırlık Bakanlığı, Ankara.*
- Roussel, J., 1912, Erzurum vilayeti linyitleri: M.T.A. Der. Rap. No. 58.*
- Sipahioglu, S., 1983, Horasan-Narman depreminden önce yörenin deprem etkinlik özellikleri hakkında yapılan bir değerlendirme: Yeryuvarı ve İnsan, 8, 3, 12-15.*
- Sür, Ö., 1964, Pasinler ovası ve çevresinin jeomorfolojisi: Ankara Univ. Dil ve Tarih-Coğrafya Fak. yayınları: 154, Ankara.*
- Şaroğlu, F. ve Güner, Y., 1979, Tutak Diri Fayı Özellikleri ve Çaldıran Fayı ile ilişkisi: Yeryuvarı ve İnsan, 4, 1, 11-14.*
- Şaroğlu, F. ve Güner, Y., 1981, Doğu Anadolunun Jeomorfologik gelişimine etki eden öğeler: Jeomorfoloji, tektonik, volkanizma ilişkileri: Türkiye Jeol. Kur. Bült, 24, 2, 39-50.*
- Sengör, A.M.C., 1980, Türkiye'nin neotektoniğinin esasları: Türkiye Jeoloji Kurumu Yayıncılık.*
- Sengör, A.M.C. ve Kidd, W.S.F., 1979, Post collision tectonics of the Turkish-Iranian plateau and a comparison with Tibet: Tectonophysics, 55, 361-376.*
- Tokel, S., 1980, Orta Anadolu'da Neojen Volkanizmasının Jeokimyası: 34. Türkiye Jeoloji Bilimsel ve Teknik Kurultayı Bildiri Özeti.*
- Tokel, S., 1984, Doğu Anadolu'da kabuk deformasyonu mekanizması ve genç volkanitlerin petrojenezi: Türkiye Jeol. Kur. Keticin Simpozyumu'nda, 121-130.*

ACIKLAMA (EXPLANATION)

SILT VE KIL (SILT AND CLAY)	SOGUSU KAYNAĞI (WATER SPRING)
KABA KUM, ÇAKIL VE BÖLÜM (COARSE SAND, PEBBLE AND BOULDER)	SICAKSU KAYNAĞI (HOT WATER SPRING)
VOLCANIC CONE	VOLCANIC CONE
ALÜYON SINIRLARI (ALLUVIUM BOUNDARIES)	UZAMIS TEPELER (ELONGATED HILLS)
SOL YANAL DOKRULTU ATIMLI FAY (LEFT LATERAL STRIKE-SLIP FAULT)	SAĞ YANAL DOKRULTU ATIMLI FAYLAR (RIGHT LATERAL STRIKE-SLIP FAULTS)
FAY DÜZLEMİNİN GÖZLENDİRİLDİĞİ YERLER (WHERE FAULT PLANE IS OBSERVED)	QARP (DEPRESSION AREAS AND SAC-PONICS)
DERELER (STREAMS)	ALÜYON YELPAZESİ (ALLUVIAL FAN)



Şekil - 5 Karasu Havzası ve yuvarla dolayının tektonik ve tectonomorfolojik haritası.
Figure - 5 Tectonic and geomorphologic map of the Karasu Basin and its surroundings.

Sekil - 5 Karasu Havzası ve yuvarla dolayının tektonik ve tectonomorfolojik haritası.

Muratbağı-Balabantaş (Horasan) arasında Çobandede Fay Kuşağının Jeo-tektonik Özellikleri ve Horasan-Narman Depremi Yüzey Kırıkları

GEO-TECTONIC CHARACTERISTICS OF ÇOBANDEDE FAULT ZONE BETWEEN MURATBAĞI AND BALABANTAŞ (HORASAN), AND GROUND RUPTURES OF HORASAN-NARMAN EARTHQUAKE

ALİ KOÇYİĞİT, Orta Doğu Teknik Üniversitesi, Mühendislik Fakültesi, Ankara.

ÖZ : Güneybatıda Tekman, kuzeydoğuda Çıldır arasında uzanan, sol yanal doğrultu atımlı, günümüzde etkin jeo-tektonik kırık, Çobandede Fay Kuşağı olarak adlandırılmıştır. Fay kuşağı, sol ve sağ yanal nitelikli, bazıları günümüzde de etkin eşlenik fay takımlarını içermektedir. Kuşak içinde sol yanal nitelikli faylar egemendir. Çobandede köprüsü-Horasan ve Balabantaş üçgeni içinde ve Çobandede Fay Kuşağı'nın güneydoğu bloku üzerinde, fayın oluşumuyla eş yaşı, sol yanal doğrultu atımlı küçük bir fay havzası gelişmiştir. Havzanın temeli ve kuzeybatı kenarı (fay kuşağıının kuzeybatı bloku), Alt Kretase yaşı Anadolu ofiyolitli karışığı ile Lüteslien yaşı Gerek formasyonundan oluşmaktadır. Fay denetimli bu karsal havzada, daha yaşı temel üzerine, Üst Miyosen-Pliyosen aralığında Muratbağı, Çayırdüzü ve Horasan formasyonlarını temsil eden, volkanit ardaşılı kalın karasal bir istif yapılmıştır. Tortullardaki birencil sedimanter yapılar, havzanın tektonik denetimli olduğunu belirlemektedir. Diğer taraftan, faylar ve Horasan-Narman Depremi yüzey kırıklarının geometrisi de, gerek fayların gerekse yüzey kırıklarının, yaklaşık K-G yönelikli sıkışma gerilimine bağlı olarak, değişik zamanlarda gelişmiş olduklarını, başka bir deyişle aynı kökenli olduklarıı kanıtlamaktadır.

ABSTRACT : The geo-tectonic fracture zone which is left lateral in character, and extends between Tekman to southwest and Çıldır to northeast has been named as Çobandede Fault Zone. It includes both right and left latera lstrike slip conjugate faults sets, some of which are active in present. The left lateral strike slip faults included in the fault zone are predominant. A small left lateral strike slip fault basin, which is the contemporaneous with the initiation of faulting, has been developed in the triangle of Çobandede bridge-Horasan and Balabantaş village on the southeastern block of the fault zone. The basement of the basin and its northwest margin (the northwestern block of Çobandede Fault Zone) have been underlain by the Lower Cretaceous aged Anatolian ophiolitic melange and the Gerek formation of Lutetian age. In this fault-controlled basin, the old basement is overlain by a thick continental sequence alternated with the volcanics which represent Muratbağı, Çayırdüzü and Horasan formations from the bottom to top. The primary sedimentary structures indicate that the basin has been controlled by the tectonic activity during its creation. On the other hand, the definite geometric patterns of both faults and ground ruptures of Horasan-Narman Earthquake prove that faults and ground ruptures have been created by an approximately N-S oriented compressive stress in different times, other words, they were of same origin.

GİRİŞ

Gerek tarihsel depremler, gerekse güncel sismik etkinlik, Doğu Anadolu Bölgesi'nin, depremselliği yüksek bir bölge olduğunu, başka bir deyişle, bölgenin,

depremselliğ simgesi olan diri fay ve fay kuşakları bakımından yoğun olduğunu ortaya koymuştur. Buna karşın, günümüzde bilinen ve bölgenin deprem-

sellığinden birinci derecede sorumlu olan fay ya da fay kuşaklarının sayısı oldukça azdır. Bunun nedeni, ne yeterli sayıda uzman yokluğuyla, ne de parasal olanaksızlıklarla ilgiliidir. Tek neden, deprem ile yer yapısı arasındaki dolaysız ilişkinin geniş kitlelere ve özellikle sorumlulara yeterince anlatılamamış olmasından kaynaklanmaktadır. Bu olgu ise, Türkiye genelinde olduğu gibi, Doğu Anadolu Bölgesinde de depremler önceden belirleme çalışmalarına, gerekli ve yeterli parasal desteği sağlanamaması sonucunu doğurmuştur.

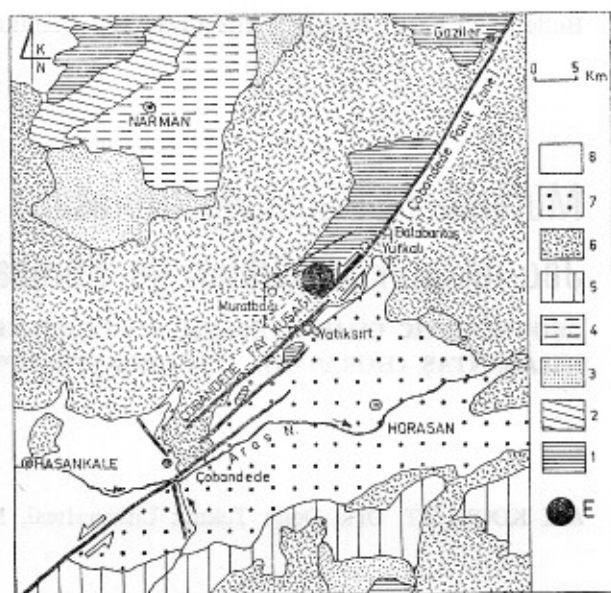
Herşeye karşın, bölgede bugüne degen, kit olanaklarla sürdürülen yersel çalışmalarla bile, bölge depremselliğinden sorumlu bazı önemli fay ve fay kuşakları saptanabilmistiir. Bunlar arasında Kuzey Anadolu, Doğu Anadolu, Çaldırı, Balık Gölü, Tutak, Aşkale, Dumlu, Çobandede ve Karayaşı fay-fay kuşakları sayılabilir (Ketin, 1968; Arpat ve Şaroğlu, 1975; Arpat ve diğerleri, 1977; Şaroğlu ve Güner, 1979; Koçyiğit, 1983b, 1984; Koçyiğit ve Rojay, 1984).

Bu yazida, 1924 Çobandede ve 1983 Horasan-Narman deprem episantırlarının da içinde yer aldığı Çobandede Fay Kuşağı'nın, Muratbağı-Balabantaş arasındaki kesiminin jeo-tektonik özellikleri ve Horasan-Norman Depremi'nde oluşan yüzey kırıkları ayrıntılı biçimde açıklanmaya çalışılacaktır (Şekil 1).

ÇOBANDEDE FAY KUŞAĞI

Bu diri fay kuşağıının adı, en iyi gözlendiği yere en yakın yerleşim alanı olan Çobandede bucagından almıştır (Şekil 1). Yaklaşık K 40-50 E doğrultulu, çok az verev bileşeni olan sol yanal doğrultu atımlı bir fay kuşağıdır. Güneybatıda Tekman dolayından başlayıp, Çobandede ve Gaziler'den geçerek kuzeydoğu Çıldır'a degen uzanır. Bu uzanım içinde sürekli değil, ancak 0.5-20 km uzunluklu ve bindirimli (en-echelon) dizilimli, 4-6 km genişlikli fay demetlerinden oluşan bir geometri sunar. Bu nitelik özellikle Gaziler-Çobandede arasında oldukça belirgindir (Şekil 1 ve Şekil 2A).

Fay kuşağıının oluşumunu izleyen zaman içinde kuzeybatı blok yukarı ve güneybatıya doğru devinirken, güneydoğu blok da aşağı ve kuzeydoğuya doğru devinegelmiştir. Bu devinim sonucu, güneydoğu blok üzerinde bir alçalım (Horasan çöküntü alanı), kuzeybatı blok üzerinde ise bir yükselm alanı gelişmiştir. Yine aynı devinime bağlı olarak, yükselm alanı boyunca, alta yer alan daha yaşlı kaya birimleri (Anadolu ofiyolitli karışığı), Çobandede Fay Kuşağı'



Şekil 1) Horasan ve yakın dolayının yalınlaştırılmış jeoloji haritası. 1) Anadolu ofiyolitli karışığı; 2) Üst Kretase yaşı volkano-tortul istif; 3) Lütetian yaşlı filiç; 4) Oligo-Miyosen yaşı ve jipslili karasal tortullar; 5) Alt Miyosen yaşlı denizel tortullar; 6) Tersiyer-Kuvatnerler yaşı ayrılmamış volkanitler; 7) Pliyosen yaşı karasal tortullar; E) Horasan-Narman depremi episantırı.

Figure 1) Simplified geological map of Horasan and adjacent area. 1) Anatolian ophiolitic melange; 2) Upper Cretaceous volcano-sedimentary sequence; 3) Lutetian flysch; 4) Oligo-Miocene continental deposits with gypsum; 5) Lower Miocene marine deposits; 6) Undifferentiated volcanics of Tertiary to Quaternary age; 7) Pliocene continental deposits; E) Epicenter of Horasan-Narman Earthquake.

nin genel gidişine koşut yüzeylemeler vermiş, hatta yer yer daha genç birimler üzerine devrilmiştir.

Dolaylı jeolojik veriler yanında, iki büyük deprem episantırmının (1924 Çobandede ve 1983 Horasan-Narman depremleri) fay kuşağı içinde bulunması, yer değiştirmiş yeni yerleşim alanları ile onların eski yakıntıları ve geçmişte olduğu gibi günümüzde de

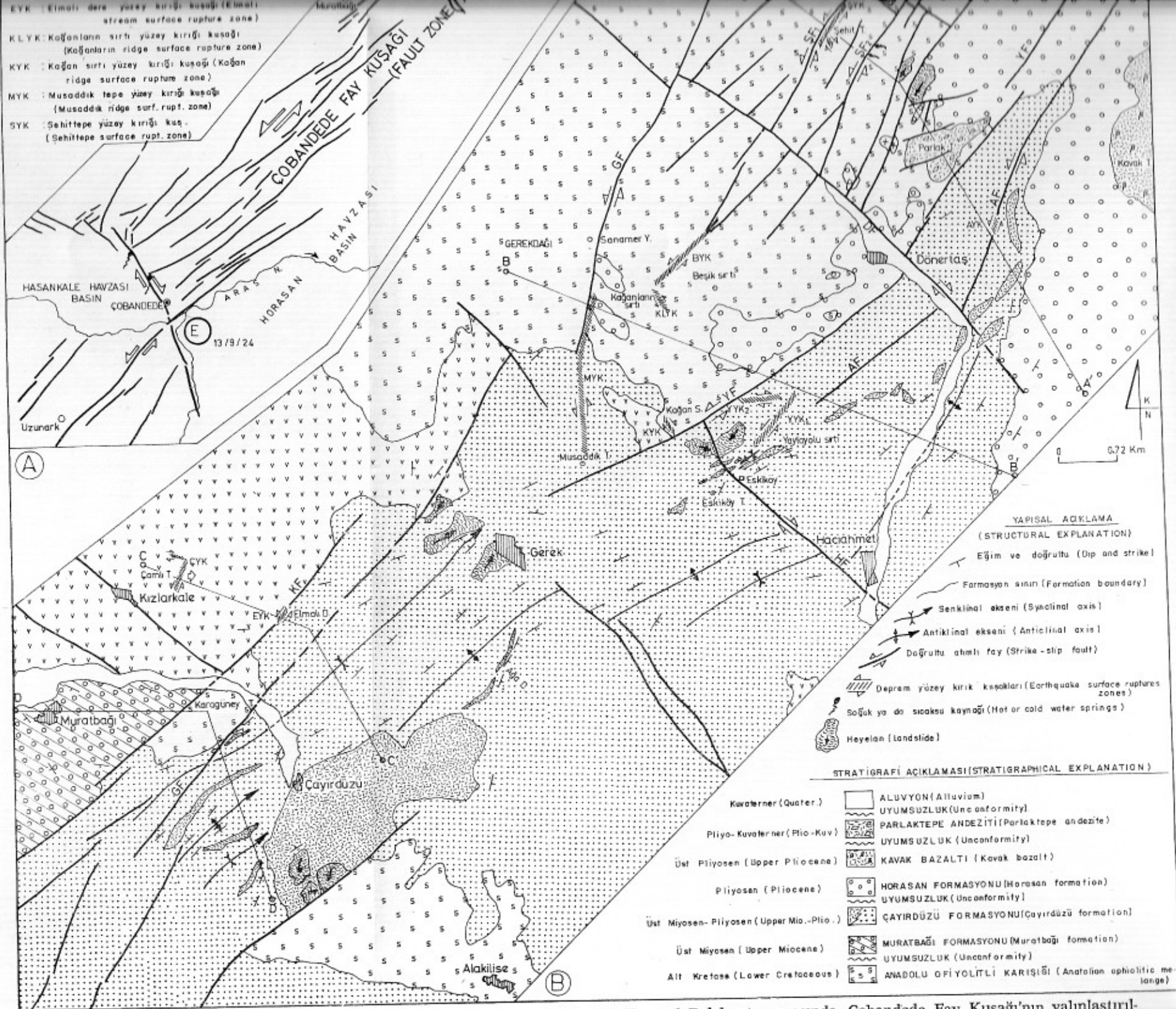


Figure 2A) Simplified fault map of Çobandede Fault zone between Uzunark-Balabantaş.

Şekil - 2A) Uzunark-Balabantaş arasında, Çobandede Fay Kuşağı'nın yalnızlaştırılmış fay haritası. E) Episantır.

sürüp giden sismik etkinlik, Çobandede Fay Kuşağı'nın diri olduğunu kanıtlamaktadır. Bu kısa tanıtımından sonra, Çobandede Fay Kuşağı'nın, Muratbağı-Balabantaş arasındaki kesiminin çeşitli jeo-tektonik özellikleri ve 30 Ekim 1983 Horasan-Narman Depremi yüzey kırıkları aşağıda daha ayrıntılı olarak anlatılacaktır.

Çalışma alanı yakın dolayında yüzeyleyen başlıca kaya birimleri, yaşıdan gence doğru aşağıdaki şekilde sıralanabilir: 1) Anadolu ofiyolitli karışığı; 2) Üst Kretase yaşı volvano-tortul istif; 3) Lütesyen yaşı filisi; 4) Oligo-Miyosen yaşı ve jipsli karasal tortullar; 5) Alt Miyosen yaşı denizel tortullar; 6) Tersiyer-Kuvaterner yaşı ayrılmamış volkanitler; 7) Pliyosen yaşı karasal tortullar ve 8) Alüvyon (Şekil 1). Bulardan çalışma alanı içinde yüzeyleyenler, biri allokon diğeri otokton olmak üzere önce iki gruba ayrılmış; daha sonra, otokton kayalar da kendi aralarında altı farklı kaya-stratigrafi birimine ayırtlanarak ayrı ayrı haritalanmıştır (Şekil 2B). Allokton kaya birimleri, Anadolu ofiyolitli karışığı, otokton kaya birimleri ise yaşıdan gence doğru **Gerek, Muratbağı, Çayırdüzü, Horasan, Kavak ve Parlaktepe** formasyonlarıyla temsil edilmektedir. Bu birimlerin genel dizilişi ve aralarındaki ilişkiler genelleştirilmiş bir dikme kesit üzerinde gösterilmiştir (Şekil 3).

Allokton kaya birimleri

Çalışma alanı içinde yüzeyleyen allokon birimler, Anadolu ofiyolitli karışığı ile temsil edilir. Bilindiği gibi, batıda Karaburun yarımadasından doğuda Kars ve Doğubeyazıt'a degen tüm Batı, İç ve Kuzey Anadolu boyunca, değişik boyut ve konumlu ofiyolitli karışık yüzleklere gözlenir. Oluşum biçimini, köken, bileşen türü, iç yapı ve ilk yerleşim yaşı gibi nitelikleri bakımından aynı olduğu varsayılan bu yüzleklere, yerel ve çok sayıda ad verilmiştir. Bu durum, bir terimler kargaşası doğmuştur. Bu nedenle yazar, Batı, İç ve Kuzey Anadolu'da yüzeyleyen, varsayımsal olarak Kuzey Neo-tetis ürüni olan tüm ofiyolitli karışık yüzleklereini **Anadolu ofiyolitli karışığı** olarak adlamayı uygun bulmuştur.

Anadolu ofiyolitli karışığı Çalışma alanında yüzeyleyen en yaşlı kaya topluluğudur. Bölgesel ölçekte Çobandede Fay Kuşağı içinde ve onun kuzeybatı沼unda, fayın genel gidişine koşut uzanımlı yüzleklere oluşturur (Şekil 1 ve Şekil 2B). En büyük yüzüğü Dönertaş köyü batisındaki Gerekdağı ile Yufkali köyü çevresinde gözlenir.

Digerleri daha küçük boyutlu olup, Karagüney tepe ve Alakilise köyü dolayında yer alır. Anadolu ofiyolitli karışığı başlıca peridotit, serpantinit, harzburjıt, gabro, diyabaz, yastık lav, tuf, granit-granodiyorit, katmanlı ve kitlelər yapıları radyolarit, siğ denizel kristalize kireçtaşı, mermer, klorit-serizit şist, çeşitli olistostromal bloklar ve Malm-Valanjiniyen yaşı çörtlü kireçtaşı gibi değişik yaşı, ortam, kayatürü ve boyuttaki blokların, yeğince makaslanmış grovak, ofiyolitik kumtaşı, seyil ve tüfetten oluşan daha ince taneli bir hamur içindeki tektono-sedimanter karışımıdır. Yeğin tektonizma nedeniyle, ofiyolitli karışığın, fay kuşağı ve ona yakın yerlerde yüzeyleyen kesimleri ezilip parçalanmış ve yer yer bresleştmiştir. Özellikle peridotitler, hemen tümüyle, beyaz-açık gri renkli ve ince uzun kuşaklar biçiminde silislesip karbonatlaşmış serpantinit, serpantinitşist, hatta talka degen varan başkalaşım geçirmiştir.

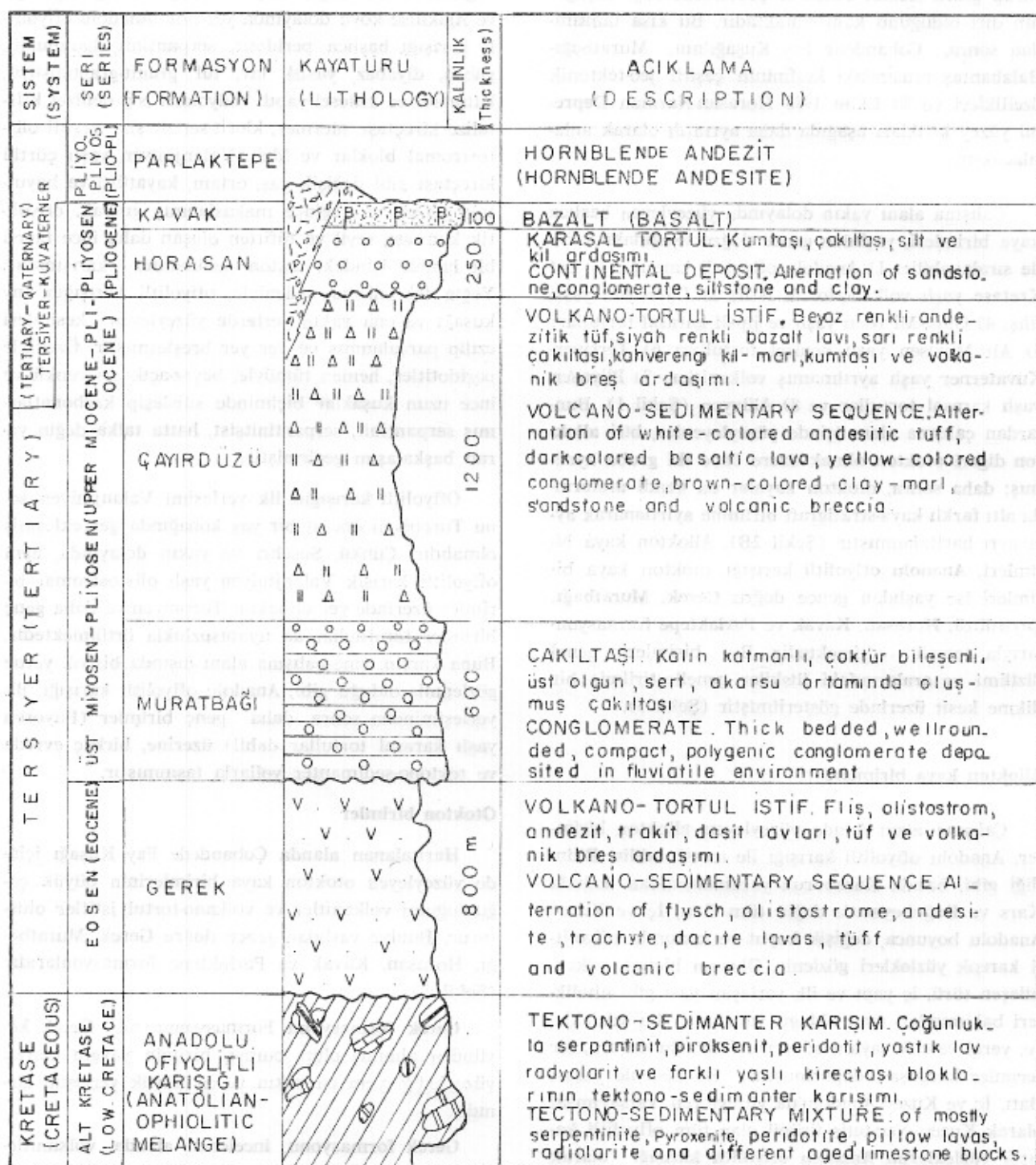
Ofiyolitli karışığın ilk yerleşimi Valanjiniyen sonu Turceniye öncesi bir yaşı konağında gerçekleşmiş olmalıdır. Çünkü, Suşehri ve yakın dolayında, aynı ofiyolitli karışık Valanjiniyen yaşı olistostromal birimler üzerinde yer almaktır; Turceniye ve daha genç birimler tarafından da uyumsuzlukla örtülmektedir. Buna karşın, yine çalışma alanı dışında birçok yerde gözlenmiş olduğu gibi, Anadolu ofiyolitli karışığı, ilk yerleşiminden sonra, daha genç birimler (Pliyosen yaşı karasal tortullar dahil) üzerine, birkaç evrede ve tektono-sedimanter yollarla taşınmıştır.

Otokton birimler

Haritalanan alanda Çobandede Fay Kuşağı içinde yüzeyleyen otokton kaya birimlerinin büyük çoğunuğu volkanitler ve volvano-tortul istifler oluşturur. Bunlar yaşıdan gence doğru Gerek, Muratbağı, Horasan, Kavak ve Parlaktepe formasyonlarıdır (Şekil 3).

Gerek formasyonu Formasyonun adı, Gerek köyünden alınmış olup, burası, birimin yaygın olarak yüzeylediği yere en yakın ve en büyük yerleşim alanıdır.

Gerek formasyonu, incelenen alanda, volkanitlerin egemen olduğu Lütesyen yaşı volvano-tortul bir istifile temsil edilir. Ancak, bu birimin bölgesel dağılımı ve normal konumu temel alındığında, onun alttan üstte doğru dört ayrı fasiyesin ardışımından oluşanluğu görülür. Bunlar, akarsu ortamında oluşmuş, çökürt bileşenli, alacalı renkli çakıltası; onun üzerine uyumlu olarak gelen bitki kıritılı kumtaşları; daha üst düzeylerde yer alan siğ denizel, kumlu ve Nummulitesli kireçtaşları ve birimin en üst kesimini



Şekil 3) Muratbağ-Balabantaş arasında, Çobandede Fay Kuşağı'nın genelleştirilmiş dikme kesiti.

Figure 3) Generalized columnar section of Çobandede Fault Zone between Muratbağı and Balabantaş.

oluşturan derin ortam ürünü volkano-tortul fasiyestir. Sözü edilen tüm bu fasiyelerin birlikte görüldüğü yer çok azdır. Genellikle, bu fasiyelerin bir ya da birkaç tanesi birlikte gözlenebilir. (Koçyiğit, 1983a). Nitekim, yukarıda da belirtilmiş olduğu gibi, incelenen alanda, istifin en üst kesimini oluşturan volkano-tortul fasiyes yüzeylemekte olup, fasiyes içinde volkanitler egemen durumdadır.

Gerek formasyonu Muratbağı, Kızlarkale ve Gerek köyleri batısında yüzeylemekte olup, daha batıda yer alan Koyunören ve Sütpınar dolayında da yaygın olarak gözlenir (Bayraktutan, 1982).

Tabanda Anadolu ofiyolitli karışığını uyumsuz olarak örten birim, tavanda, değişik yaş ve nitelikli kaya türleriyle temsil edilen Muratbağı, Çayırdüzü ve Horasan formasyonlarıyla yine açılı uyumsuzlukla örtülüdür. Birim, çok az oranda fliş fasiyesi, yaygın olarak da volkanitlerden oluşur. Fliş fasiyesi başlıca ince katmanlı türbiditik kumtaşı, koyu yeşil-mavi renkli şeyil-marn ve volkanik breş olistostromlarının ardaşımıyla temsil edilir. Volkanitler ise, dasit, hornblendeli andezit, biyotit-hornblende trakit, riyolit, latit, siyah renkli bazalt, sipilitik bazalt porfir, volkanik breşler, cam tuf ve litik tüslerden oluşmaktadır. Fliş fasiyesinin egemen olduğu yerde, örneğin, Gerek köyünün 1.5 km batısında olduğu gibi, istiflenme oldukça bellirgindir. Bunun dışında, volkanitler katmanlanması bir yığışım görünümündedir.

Birimin fliş fasiyesi içinde yer alan ince pelajik kireçtaşları katmanlarında, türleri belirlenemeyen *Globorotalia* sp. fosillerine rastlanmıştır. Diğer taraftan, Narman bölgesindeki traktitlerden alınan örneklerin radyometrik yaş belirlemeleri 46 ± 3.5 my olarak saptanmıştır (Bayraktutan, 1982). Bu durumda Gerek formasyonunun Lütesyen yaşı olduğu söylenebilir. Birimin toplam kalınlığı 800 m dolayındadır.

Volkanitlerin çoğu kalkalınlık nitelikli olması, fliş fasiyesinin andezitik olistostromlar içermesi, Gerek formasyonunun, bir yayönü havza ve onun yamaçlarında olduğunu belirler.

Muratbağı formasyonu Formasyonun adı, birimin egemen olarak yüzeylediği Muratbağı köyünden alınmış olup, birim, akarsu ortamında olmuş çakıltalarıyla temsil edilir.

Altta Anadolu ofiyolitli karışığı ve Gerek formasyonun volkanitlerini açılı uyumsuzlukla örterken, üstte Çayırdüzü formasyonuna dereceli geçiş gösterir.

Formasyon, başlıca gri-boz renkli, kalın ve dereceli-çapraz katmanlanmalı çoktür bileşenli, oldukça

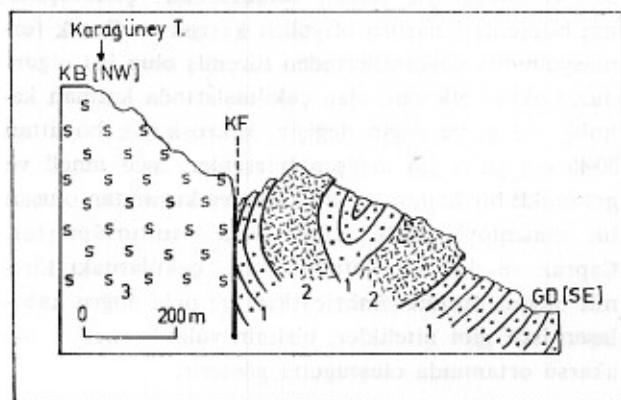
sert çakıltalarıyla temsil edilmektedir. Çakıltalarının bileşenleri başlıca ofiyolitli karışık ve Gerek formasyonun volkanitlerinden türemiş olup üst olgundur. Çoktür bileşenli olan çakıltalarında katman kalınlığı 1-2 m ye dekin deşir. Mikroskopik boyuttan 30-40 cm ye dekin deşen bileşenler, ince taneli ve gri renkli bir hamur içinde kalsit ve kuvarstan oluşan bir çimentoyla birbirlerine sıkça tutturulmuştur. Çapraz ve dereceli katmanlanma, çakıllardaki kiremit biçimli dizilim (imbrication) ve üstte doğru kabalaşan istif gibi nitelikler, birimin yüksek enerjili bir akarsu ortamında cluştuğunu gösterir.

Birim içinde yaş verecek herhangi bir fosile rastlanmamıştır. Bununla birlikte, birimin görelî yaşı Üst Miyosen-Pliyosen olabilir. Çünkü bu birim, inceleme alanı dışında, Alt Miyosen yaşı denizel birimler üzerinde uyumsuzlukla yer almaktadır. Birimin toplam kalınlığı 600 m. dolayındadır.

Çayırdüzü formasyonu Formasyonun adı, birimin en yaygın ve en iyi yüzeylediği yer olan Çayırdüzü köyünden alınmıştır. Birim egemen olarak, karasal bir ortamda olmuş kalmış volkano-tortul bir istif ile temsil edilir.

Çayırdüzü formasyonu, Çobandede Kay Kuşağı içinde ve onun genel doğrultusuna az çok koşut uzanan yüzlekler oluşturur. Birim altta, kendisinden daha yaşı olan Anadolu ofiyolitli karışığı ve Gerek formasyonunu açılı uyumsuzlukla örterken, Muratbağı formasyonuyla dereceli geçerlidir; üstte ise, iyice pekişmemiş ve akarsu-göl ortamlarında olmuş Horasan formasyonu tarafından açılı uyumsuzlukla örtülü. Fay kuşağından uzaklaşıkça katmanların eğim miktarı beş on dereceye dekin azalırken, fay kuşağı içinde kuzeybatıya doğru gidildikçe eğim miktarı doksan dereceye dekin artar, hatta yer yer devrilmeler gözlenir, örneğin, Karagüney tepe güneydoğusunda olduğu gibi (Şekil 4).

Çayırdüzü formasyonu başlıca gri-kahve renkli ve volkanik gereç bakımından zengin kumtaşı; beyaz-pembe-kahve renkli andezitik tuf; kırmızı-kahve renkli kil-marn; sarı-kahve renkli, çoktür bileşenli, üst olgun çakıltası-kumtaşı; yeşil-sarı-kahve renkli kil-tuf; koyu siyah renkli bazalt lavı; beyaz renkli, çapraz katmanlı, kömür kirintileri içeren tuf; beyaz-sarı-yeşil renkli, çapraz katmanlanmalı, ince-orta-kalın katmanlı andezitik tuf ve kırmızı renkli kil-marnın yinelenmeli ardaşımından oluşan kalın karasal bir istiftir (Şekil 5). Birimin en ayırtman niteliği, gerek birimin tanınmasında, gerekse birimi kesen fayların yanal atım miktarlarının ölçülmesinde yararlanılan



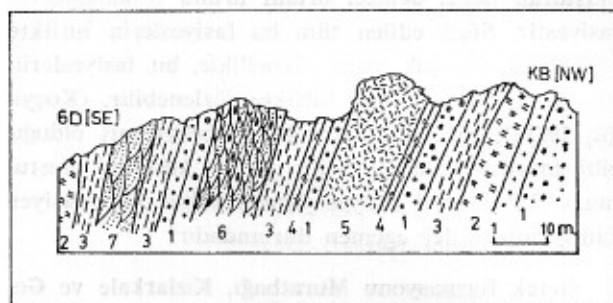
Şekil 4) Karagüney tepe doğu kesiminde, Anadolu ophiolitli melanji (3) ile Çayır düzü formasyonu (1, 2) arasındaki tektonik ilişki. 1) Tüf, kumtaşı ve volkanik breş ardaşımı; 2) Bazalt lava.

Figure 4) Teutonic relation between Anatolian ophiolitic melange (3) and Çayır düzü formation (1, 2) in the eastern part of Karagüney hill. 1) Alternation of tuff, sandstone and volcanic breccia; 2) Bazzitic lava.

ve bölgesel ölçekte çizgisel bir yapı niteliği taşıyan, 5-10 m kalınlığındaki ince-uzun koyu siyah renkli bazalt lavı akıntıları ve beyaz renkli andezitik tüf düzeyleri içermesidir (Şekil 2B ve Şekil 5).

Çayır düzü formasyonu, yeşil-mavi renkli kil ve marn düzeylerinde oldukça bol **Gastropoda** ve **Ostracoda** fosilleri içermektedir. Ancak bunların tür belirlemeleri yapılamamıştır. Diğer taraftan benzer birimler, Aras nehri güneyindeki Soğuksu ve Işık köyleri arasında da yaygın olarak yüzeylemekte olup, Rathur (1969) tarafından Üst Miyosen-Pliyosen olarak yaşlandırılmıştır. Bu nedenle, Çayır düzü formasyonunun yaşı da Üst Miyosen-Pliyosen olarak benimsenmiştir. Birimin toplam kalınlığı 1200 m dolayındadır.

Horasan formasyonu Birim ilkin Rathur Rathur (1969) tarafından Horasan formasyonu, daha sonra da Kerey ve diğerleri (1984) tarafından Aliceyrek formasyonu olarak adlandırılmıştır. Birimin Horasan yöresinde yaygın olması ve stratigrafi adlama kurallarına uygunluğu nedeniyle, yazar da ilk adlamayı benimsemiştir. Formasyon, değişik karasal ortamlarda oluşmuş, başlıca sarı renkli kumtaşı-çakıltaşları ve seyil-marn ardaşımından oluşan karasal bir istifle temsil edilir.



Şekil 5) Ağa dere boyunca, Çayır düzü formasyonu boyunca yerel enine kesit (Ayrıntı metin içinde).

Figure 5) Local cross-section through the Çayır düzü formation near Ağa stream. (The detail in text).

Horasan formasyonu, genel olarak, Çobandede Fay Kuşağının güneydoğu blokunda gelişen genç bir doğrultu atımlı fay havzasında (Horasan sol yanal doğrultu atımlı fay havzası) gelişmiş olup, alta kendisinden daha yaşlı birimleri açılı uyumsuzlukla örtterken, üstte Kuvarternler yaşlı nehir taracaları ve diğer alivyonlarla yine açılı uyumsuzlukla örtülüür. Birim egemen olarak sarı renkli, çökür billeşenli, billeşenleri üst olgun, billeşen boyutu mikroskopik boyuttan 10-15 cm ye erişen, büyük boyutlu merkeksel ve dereceli katmanlanmalı çakıltaşları; sarı renkli, ince-içi taneli kumtaşı; kök izli kömür merkekleri içeren sarı-yeşil renkli kil, şeyil ve marn ardaşımından oluşmaktadır. Birimin ayırtman niteliği, büyük boyutlu merkeksel dereceli tabakalanma, kiremit biçimli çakıl diziliimi, yük yapıları gibi zengin birincil sedimanter yapılar ve kömür merkekler içermesidir. Çakıltaşları yer yer 30-80 m ye ve üstte doğru kabalaşan istifler oluşturmaktadır. Formasyonu oluşturan kaya türleri az ya da yarı pekişmiş özellikleriyle de diğer formasyonlardan kolayca ayılır.

Horasan formasyonu, özellikle ince taneli kumtaşı ve yeşil şeyil marnlar içinde **Dreissensia** sp., **Gastropoda** ve **Congeria** sp. gibi zengin fosiller içermektedir. Birim gerek Rathur (1969) gerekse Kerey ve diğerleri (1984) tarafından Pliyosen olarak yaşlandırılmıştır. Yazar da aynı yaşı benimsemiştir.

Birim içinde gözlenen birincil sedimanter yapılar, birimin, fay denetimli değişik karasal ortamlarda (delta, fay eteği yelpazesi, menderesli nehir, taşın ovası ve göl) depolanmış olduğunu göstermektedir.

Kavak bazaltı Birimin adı, Balabantaş köyünün 1.5 - 2 km güney-güneydoğusunda yer alan Kavak tepeden alınmıştır.

Kavak bazaltı Kavak tepede, alttaki Horasan formasyonunun kumtaşı çakıltası düzeyleri üzerinde uyumlu olarak yer almaktır olup, bir şapka görünümündedir (Şekil 2B). Birimin daha üstte herhangi bir kaya birimiyle ilişkisi gözlenmemektedir.

Genel olarak koyu siyah renkli, üst düzeyleri gaz boşluklu ve oldukça taze durumdadır. Mikroskopik incelemesinde akma yapısı gösteren plajiyoklas ve titanosit içeren, ofitik dokulu iri taneli olivin bazalt olduğu belirlenmiştir.

Kavak bazaltına, Pliyosen yaşı Horasan formasyonunun en üst düzeyinde ve onunla uyumlu olarak yüzelediği için, görelî olarak en Üst Pliyosen yaşı verilmiştir.

Parlaktepe andeziti Birimin adı, Dönertaş köyünün 1 - 1,5 km kuzey-kuzeydoğusunda yer alan Parlaktepeden almıştır. Parlaktepe andeziti, Çobandede aFy Kuşağı içinde ve yaklaşık 250 - 300 metrekarelük bir alanda yüzeylemektedir. Bu yörede, Anadolu ofiyolitli karışığını kesen bir dom özelliğindedir. Başlıca pembe, gri renkli; oldukça iyi gelişmiş sütunsal eklemlidir. Çok taze durumda olan birimin mikroskop altındaki incelemesinde plajiyoklas, hornblende ve çok az kuvars içeren hornblende andezit olduğu belirlenmiştir.

Birimin çok taze durumu, Çobandede Fay Kuşağı'nın genel doğrultusuna koşut uzanması, onun genç faylar boyunca yüzeye çıkmış, Pliyo-Kuvaterner yaşı bir yarık püskürmesi biçiminde yorumlanmasına yol açmıştır (Şekil 2B).

TEKTONİK

Üst Kretase'den beri, yaklaşık K-G yönlümlü sıkışma gerilimi etkisinde bulunan Kuzeydoğu Anadolu Bölgesi'nde çok sayıda kırık gelişmiştir. Bunlar değişik boyutlu, birbirine koşut ya da yarı koşut, çoğu günümüzde de etkinliğini sürdürden diri faylardır. Bu fayların Kuzeydoğu Anadolu Bölgesi'ndeki bölgesel dağılımı temel alındığında, tüm faylar, sol ve sağ yanal doğrultu atımlı faylardan kurulu eşlenik bir sisteme indirgenebilir. Bu eşlenik sistemin gerek KB-GD gidiş sağ yanal fay takımında ya da takımlarında, gerekse KD-GB gidişli sol yanal fay takımında ya da takımlarında, geçmiş jeolojik zamanlarda olmuş olabileceği gibi, tarihsel zamanlarda günümüzde büyük depremlere neden olmuş çok sayıda diri fay vardır. Bunlardan önemli birisi de, bu yazının konusunu oluşturan Çobandede Fay Kuşağıdır. Bu kuşa-

ğın Muratbağı-Balabantaş arasındaki kesiminde yer alan önemli faylar ve bu faylardan birçoğunun günümüzde etkin olduğunu kanıtlayan 30 Ekim 1983 Horasan-Narman Depremi yüzey kırıkları, sistemli ve ayrıntılı şekilde, aşağıda açıklanacaktır.

Faylar

Bunlar jeolojik zamanlarda gelişmiş, günümüzde etkinliğini sürdürten ya da sürdürmeyen çok sayıda kırık kapsar. Başlıcaları Armutlu, Dönertaş, Gerekdağı, Hacıahmet, Karagüney, Şehitçepe ve Yaylayolu faylarıdır.

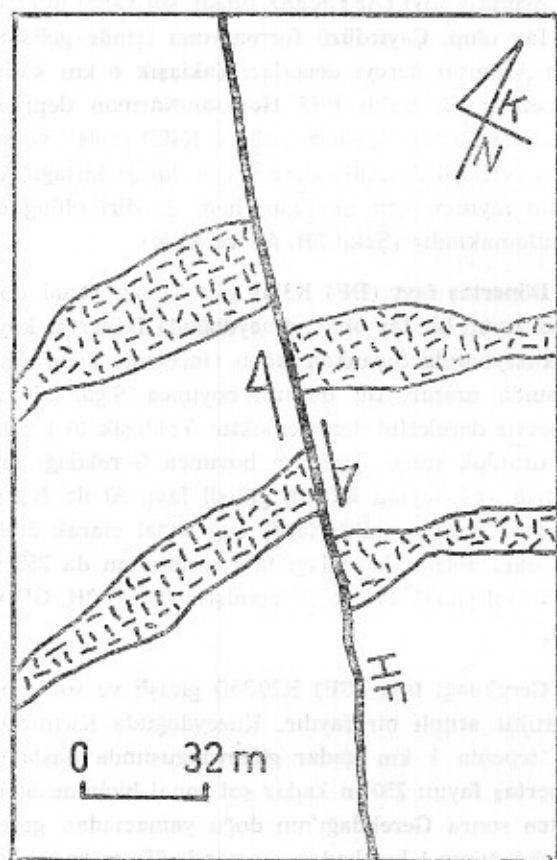
Armutlu fayı (AF) K20D gidişli, sol yanal nitelikli bir fay olup, Çayırdüzü formasyonu içinde gelişmiş olan Armutlu dereyi denetler. Yaklaşık 6 km kadar izlenebilir. 30 Ekim 1983 Horasan-Narman depremi sırasında bu fay boyunca gelişen K40D gidişli ve sol yanal nitelikli Armutlu dere Yüzey kırığı kuşağı, Armutlu fayının hem niteliğini hem de diri olduğunu kanıtlamaktadır (Şekil 2B, AF ve AYK).

Dönertaş fayı (DF) K35B gidişli, sağ yanal doğrultu atımlı bir fay olup, güneydoğuda Dönertaş köyü ile kuzeybatıda Sıçankale köyü (inceleme alanı dışı) arasında uzanır. Bu uzanım boyunca Sıçankale ve Düzçayır derelerini denetlemektir. Yaklaşık 10 km lik bir uzunluk sunar. Uzanımı boyunca Gerekdağı fayı dışında, çok sayıda KD-GB gidişli fay, 50 ile 300 m arasında değişen miktarlarda sağ yanal olarak ötelemiş olup ancak Gerekdağı fayı tarafından da 250 m kadar sol yanal olarak ötelelmıştır (Şekil 2B, GF ve DF).

Gerekdağı fayı (GF) K20-25D gidişli ve sol yanal doğrultu atımlı bir faydır. Kuzeydoğuda Kırızmızıney tepenin 1 km kadar güneydoğusunda başlayıp, Dönertaş fayını 250 m kadar sol yanal biçimde ötele dikten sonra Gerekdağı'nın doğu yamacından geçer. Gerekdağı'nın 1 km kadar güneyinde 750 m kadar sağ yanal sapma (right-lateral offset) gösterdikten sonra, yer yer belirsizleşerek Muratbağı köyünün güneydoğusuna degen uzanır. Uzanımı boyunca 13-14 km lik uzunluğa sahiptir. Gerekdağı'nın doğu yamacında fayın topografik görünümü oldukça belirgindir. Bu kesimde fayın güneydoğu bloku alçalmış olup, çay çizgisi boyunca yer yer, eğimlenmiş eski fay eteği yelpazeleri gelişmiştir. Diğer taraftan, fayın Karagüney tepenin doğu ucundaki kesiminde, Anadolu ofiyolitli karışığı ile daha genç bir birim olan Çayırdüzü formasyonu dokanağa getirilmiş olup, yer yer yaşlı birim daha genç birim üzerine devrilmiştir (Şekil 4).

Düzçayır deresi ötelemesi, fay çizgisi boyunca çizgisel dizilimli kaynakların yer alması, eğimlenmiş ve basamaklı yapı kazanmış fay eteği yelpazeleri gibi dolaylı veriler yanında, fayın sağ yanal sapma göstergesi yerde, 30 Ekim 1983 Horasan-Narman Depremi'nde oluşan ve yaklaşık 2 km ye erişen uzunluklu sol yanal Musaddik tepe yüzey kırığı kuşağı, bir taraftan Gerekdağı fayının nitelğini, diğer taraftan da onun günümüzde etkin olduğunu kanıtlamaktadır (Şekil 2B, GF ve MYK).

Hacıahmet fayı (HF) K45B gidişli, sağ yanal doğrultu atımlı bir faydır. Hacıahmet köyü güneyindeki Eskiköyün deresi boyunca uzanmakta olan fay,



Şekil 6) Hacıahmet fayı (HF) tarafından öteleme做的 bazalt lavi düzeyleri.

Figure 6) Basaltic lava levels displaced by Hacıahmet fault (HF).

yaklaşık 4 km uzunluktadır. Fay, kuzeydeki kesiminde, Yaylayolu fayı tarafından kesilerek sonlandırılır. «Eskiköy harabesi» olarak bilinen yerde, Çayırüstü formasyonu içinde ayrılmış düzeyler oluşturan ve çizgisel uzanım sunan bazalt lavlarını 33 m kadar sağ yanal olarak ötelemiştir (Şekil 6).

«Eskiköy Harabesi» olarak bilinen yıkıntı, Yayla-yolu fayı ile Hacıahmet fayının kesişme noktasında yer almaktır olup, bu yer, bugün yerdeğişirmiştir ve Hacıahmet adıyla yeniden kurulmuş olan köyün, tarihsel depremlerden arta kalan bir yıkıntı olmalıdır. Bu veri, aynı zamanda Hacıahmet fayının dırı olduğunu da kanıtlamaktadır (Şekil 2B, HF).

Karagüney fayı (KF) K50D gidişli, sol yanal doğrultu atımlı bir faydır. Başlıca Anadolu ofiyolitli karışığı, Gerek ve Çayırüstü formasyonlarını kesmekte olup, değişik yaş ve ortamlara özgü bu birimleri karşı karşıya getirmiştir. Fayın kuzeydoğu kesiminde oluşan sol yanal nitelikli Elmalı dere yüzey kırığı kuşağı, bu fayın dırı olduğunu kanıtlamıştır (Şekil 2B, KF ve EYK).

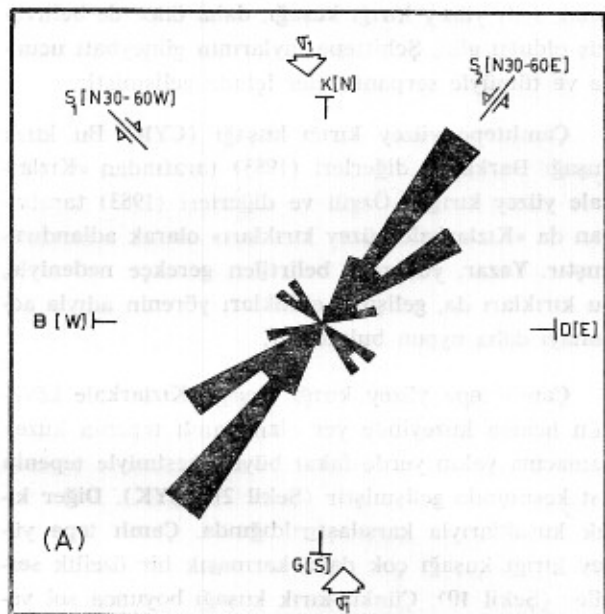
Şehittepe fayları (SF) Yaklaşık K30D gidişli, sol yanal doğrultu atımlı faylar olup, tümüyle peridotit ve serpantinleşmiş peridotitler (Anadolu ofiyolitli karışığı) içinde gelişmiştir. Güneybatı Dönertaş köyünün batısından başlayıp, Şehittepenin her iki, doğu ve batı yamacından geçerek Yufkalı (Çimli) köyü boyunca uzanır. Uzanimları boyunca yer yer sağa ya da sola 50-200 m lik sapmalar gösterir, bazan da kollara ayrılır (Şekil 2B).

Şehittepe fayları boyunca çok sayıda çizgisel dizilimli kaynak yer alır. Diğer taraftan, 30 Ekim Horasan-Narman Depremi sırasında, fayların güneybatı ucunda Beşik sırtı yüzey kırığı kuşağı, kuzeydoğu kesimi içinde Şehittepe yüzey kırığı kuşağı gelişmiş olup, bunlar fayın nitelğini ve günümüzde dırı olduğunu kanıtlamaktadır (Şekil 2B, SF, BYK, SYK).

Yaylayolu fayı (YF) Yaklaşık K50-60D gidişli, sol yanal doğrultu atımlı bir faydır. Güneybatıda Musaddik tepeden başlayıp, Dönertaş köyü yakın doğusundan geçerek kuzeydoğuda Balabantaş köyüne degen uzanır. Bu uzanım boyunca yaklaşık 10 km uzunlukta olup, yer yer 120 ile 250 m kadar sol yanal sapmalar gösterir (Şekil 2B).

Hacıahmet köyünün 2-2.5 km kuzeybatısında, bir taraftan Armutlu fayı sökülmektedir, diğer taraftan da sol yanal Yaylayolu fayı ile sağ yanal Hacıahmet fayı kesişerek eşlenik bir sistem oluşturmaktadır. Nitekim, 30 Ekim 1983 Horasan-Narman Depremi sırasında da aynı yörede sağ ve sol yanal nitelikli yüzey kırıkları (Musaddik tepe yüzey kırığı ve Yaylayolu yüzey kırığı kuşakları) gelişmiştir (Şekil 2B, YF, HF, MYK, YYK, KYK). Bu yüzey kırıkları, bir taraftan her üç fayın da dırı olduğunu, diğer taraftan da eşlenik fay sisteminin varlığını kanıtlamaktadır.

Özet olarak, incelenen alanda haritalanabilmiş tüm fayların (diri ve diri olmayan) doğrultuları kullanılarak hazırlanan gül diyagramında, fayların ortalaması K30-60D gidişli sol yanal doğrultu atımlı ve K30-60B gidişli sağ yanal doğrultu atımlı bileşenler kapsadıkları; yaklaşık K-G yönelimli sıkışma gerilimi altında ve değişik yaş konaklarında gelişmiş eşlenik bir sistem oluşturdukları sonucuna varılmıştır (Şekil 7). İnceleme alanı içinde ve onun güneybatı ile kuzeydoğu uzanımı içinde Çobandede Fay Kuşağı olarak adlandırılan bu eşlenik sistem, bölgede önemli depremsellik riski taşıyan ve günümüzde etkin olan sol ve sağ yanal nitelikli faylar kapsamaktadır.



Şekil 7) Fayların egemen doğrultularını gösterir gül diyagramı. C1) En büyük sıkışma eksenini.

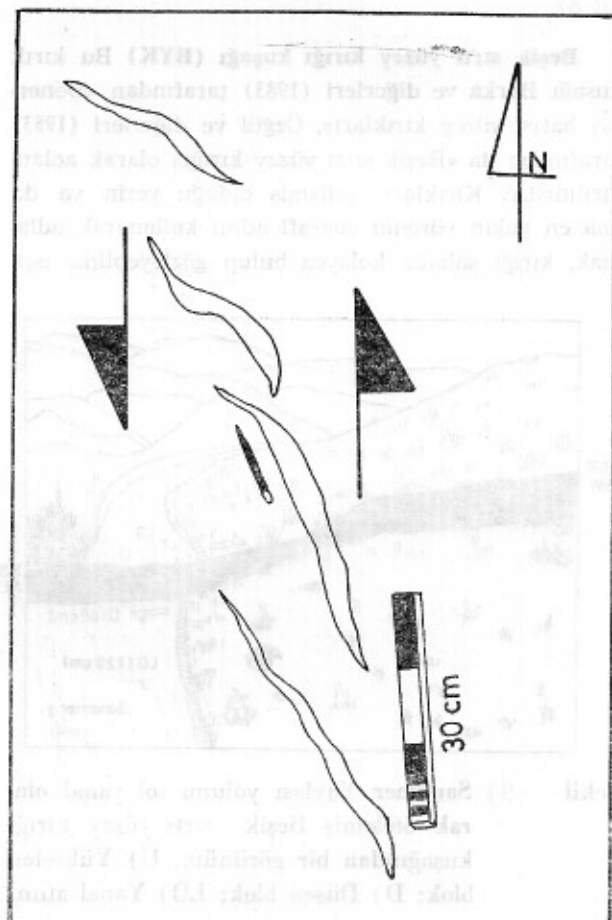
Figure 7) Rose diagram illustrating the predominant trends of faults. C1) Principal compressive stress axis.

30 Ekim 1983 Horasan-Narman Depremi yüzey kırıkları

Horasan-Narman depremi sırasında, genişlikleri birkaç metre ile 50 m arasında, uzunlukları ise yine birkaç metre ile yaklaşık 2 km arasında, değişen çok sayıda yüzey kırığı kuşağı gelişmiştir. Bunların çoğunuğu sol yanal, az bir kısmı da sağ yanal niteliklidir. Hemen hemen tümü, Muratbağı ve Balabantaş köyleri arasında uzanan inceleme alanı içinde oluşmuştur (Şekil 2B).

Horasan-Narman Depremi yüzey kırıkları, varsa gelişmiş oldukları yerin, yoksa ona en yakın yörenin coğrafi adı temel alınarak adlandırılmış olup, başlıklarları Armutlu dere, Aşağıbademözü, Beşiktaş sırtı, Çamlı tepe, Elmalı dere, Kağanların sırtı, Kağan sırtı, Musaddık tepe, Şehitçepe ve Yaylayolu yüzey kırığı kuşaklarıdır (Şekil 2B).

Armutlu dere yüzey kırığı kuşağı (AYK) Gelişmiş olduğu yerin coğrafi adı kullanılarak adlandırılmış olan kırık kuşağı, Dönertaş köyünün 1.5 km güneydoğusundaki Armutlu derede, Armutlu fayı boyunca gelişmiştir. Ortalaması K40D doğrultulu ve sol yanal niteliklidir. 120 m uzunlığında ve 8 m genişliğinde olan kırık kuşağı, uzunlukları 1.2 m ile 10.8 m arasında değişen ve bindirimli (en echelon) dizilim sunan açık çekme kırıklarından oluşur. Genelde kırıklärın batı blokları düşmüş olup, düşey atım miktarı 15-20 cm dolayındadır. Sol yanal doğrultu atım saptanamamakla birlikte, kırıklärın dizilim biçimini, sol



Şekil 8) Sol yanal devinimi gösteren bindirimli açık çekme çatlakları.

Figure 8) En echelon open gashes indicating a left-lateral movement.

yanal doğrultu atımlı bir devinimi belirtmektedir (Şekil 2B, AYK).

Aşağıbademözü yüzey kırığı kuşağı (ABYK) İnceleme alanı dışında fakat Horasan ilçesinin yakın kuzyeyinde yer alan Aşağıbademözü ve Yukarıbademözü köylerinin batısındaki sırt boyunca gelişmiştir. Tümyle Horasan formasyonunun az pekişmiş çakıltaşlı-kumtaşı birimleri içinde oluşmuş olan kırık kuşağı, Aşağıbademözü köyünün 200-250 m batısındaki eski karayolundan başlayıp, bir sırt boyunca, 2-2.5 km kadar Yukarıbademözü köyünün 1 km batısına deðin uzanır. Tüm uzanımı boyunca sürekli olmayıp, yer yer kesintilidir. Yaklaşık K-G doğrultulu, sol yanal nitelikli olan kırık kuşağının genişliği birkaç metre ile 40 m arasında değişir. Kırıklar boyunca doğu blok batı blok'a göre 10-20 cm arasında değişen miktarlarda alçalmıştır. Sol yanal doğrultu atım gözlenmemiş olmakla birlikte, açık çekme kırıklarının diziliimi sol yanal bir devinimi göstermektedir (Şekil 8).

Beşik sırtı yüzey kırığı kuşağı (BYK) Bu kırık kuşağı Barka ve diğerleri (1983) tarafından «Dönertaş batısı yüzey kırıkları», Özgül ve diğerleri (1983) tarafından da «Beşik sırtı yüzey kırığı» olarak adlandırılmıştır. Kırıkları, gelişmiş olduğu yerin ya da ona en yakın yörenin coðrafi adını kullanarak adlamak, kırığı sahada kolayca bulup gözleyebilme açı-

sından son derece yararlıdır. Bu noktayı temel alan yazar da, ikinci adlamayı kullanmayı yeðlemiştir.

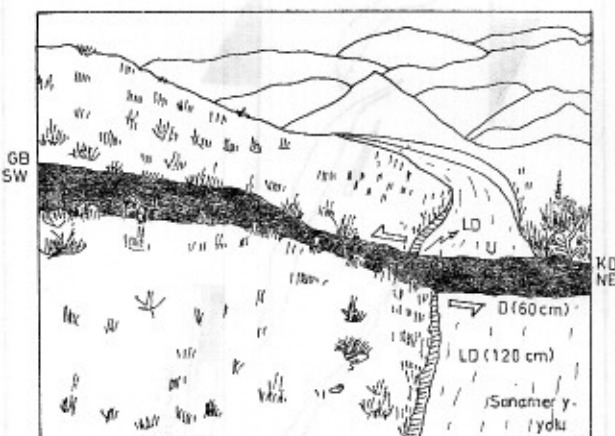
Beşik sırtı yüzey kırığı kuşağı, Dönertaþ köyünün yaklaşık 2.5 km kadar batısında yer alan Beşik sırtı yöresinde gelişmiştir (Şekil 2B). K45-60D doğrultulu, sol yanal doğrultu atımlı bir kırık kuşağı olup, yaklaşık 1100 m uzunluðundadır. Kırık kuşağı, Dönertaþ ve Hacıahmet köylerinin sınırını oluþtururan ve Sanamer yaylasına giden dað yolunu keserek sol yanal yönde 120 cm kadar ötelemiþtir (Şekil 9). Aynı yerde kırığın doğu blok'u da 50-60 cm kadar düşmüştür. 20 cm ile 100 m arasında değişen uzunluklu ve bindirimli diziliimli açık çekme kırıklarından oluşan Beşik sırtı yüzey kırığı kuşağı, daha önce de belirtilmiş olduğu gibi, Şehitçepe faylarının güneybatı ucunda ve tümyle serpantinitler içinde gelişmiştir.

Çamlıtepe yüzey kırığı kuşağı (ÇYK) Bu kırık kuşağı Barka ve diğerleri (1983) tarafından «Kızlarkale yüzey kırığı», Özgül ve diğerleri (1983) tarafından da «Kızlarkale yüzey kırıkları» olarak adlandırılmıştır. Yazar, yukarıda belirtilen gerekçe nedeniyle, bu kırıkları da, gelişmiş oldukları yörenin adıyla adlamayı daha uygun bulmuştur.

Çamlı tepe yüzey kırığı kuşağı, Kızlarkale köyünün hemen kuzeyinde yer alan Çamlı tepenin kuzey yamacına yakın yerde fakat büyük kesimiyle tepenin üst kesiminde gelişmiştir (Şekil 2B, ÇYK). Diğer kırık kuşaklarıyla karşılaşıldığında, Çamlı tepe yüzey kırığı kuşağı çok daha karmaþık bir özellik sergiler (Şekil 10). Çünkü, kırık kuşağı boyunca sol yanal, sağ yanal, açılma ve bindirme türünde değişik nitelikli yapılar gözlenmektedir (Şekil 10).

Çamlı tepenin güney-güneydoðu yamacından başlayan kırık kuşağı, hemen iki kola ayrıldıktan sonra, kuzey-kuzeybatı doğrultuda 450 m kadar izlenir. Daða sonra birleşen bu iki kol, K70-80B doğrultusuna dönerek yeniden iki kola ayrılır ve 150 m kadar izlen dikten sonra gözden kaybolur. Böylece, Çamlı tepe yüzey kırığı kuşağının toplam uzunluğu 600 m dolayındadır. Bu kırık kuşağı, kırıkların doğrultu ve nitelikleri temel alırsa üç alt bölüme ayrılabilir. Bunnar, Şekil 10 da görüldüğü gibi A, B ve C ile belirtilmiş olan alt bölgelerdir.

A-bölümünde, kırık ilkin K20-25D doğrultusunda ve sol yanal nitelikte başlayıp, daha sonra iki kola ayrılır. Her iki kol da bindirimli diziliimli ve birkaç cm ile 125 m ye erişen uzunluklu açık çekme kırıklarından oluşmaktadır. Doðudaki kol daha karışık, batıdaki kol ise daha yaln ve daha uzun kırıklardan

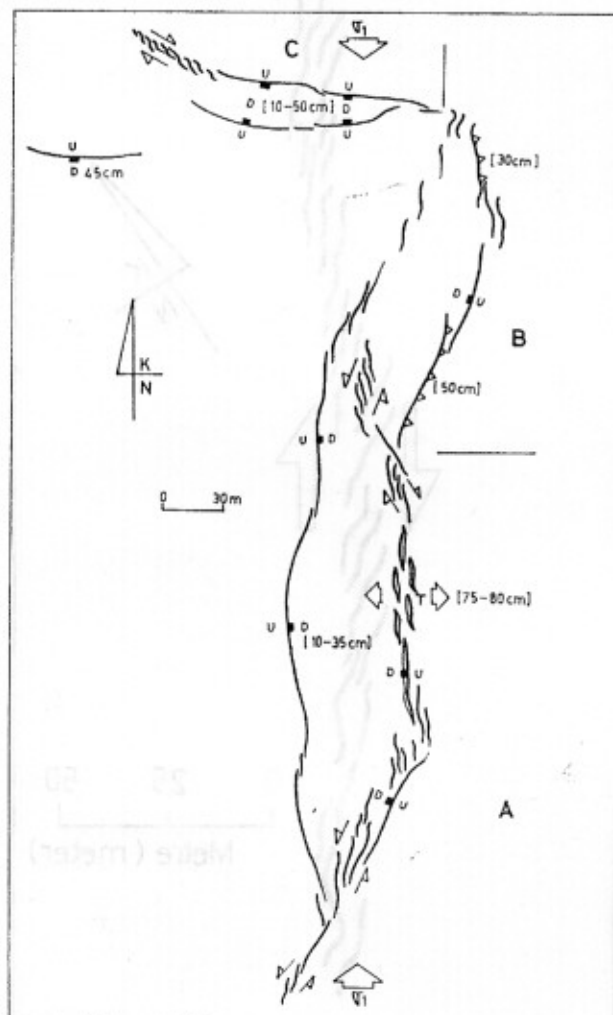


Şekil 9) Sanamer Yaylası yolunu sol yanal olarak ötelemiþ Beşik sırtı yüzey kırığı kuşağından bir görünüm. U) Yukselen blok; D) Düşen blok; LD) Yanal atım.

Figure 9) A view from the Beşik ridge surface rupture zone which displaced left laterally the Sanamer Yayla path. U) Upthrown block; D) Downthrown block; LD) Left-lateral displacement.

oluşmuştur. Doğu kolun batı blok'u, batı kolun ise doğu blok'u 10-35 cm arasında değişen miktarlarda göreli olarak alçaldığından, kırık kuşağının A-bölümünde yaklaşık 5-50 m arasında değişen genişlikte bir graben yapısı oluşmuştur. Bu kesimde hem sağ, hem sol, hem de çekme niteliğinde kırıklar gözlenir. Bu bölümdeki en büyük açılma miktarı D-B doğrultusunda olup 75-80 cm dolayındadır (Şekil 10).

B-alt bölümünde ise, kuzeye gidildikçe her iki kol arasındaki uzaklık daralmakta ve iki kol birleş-



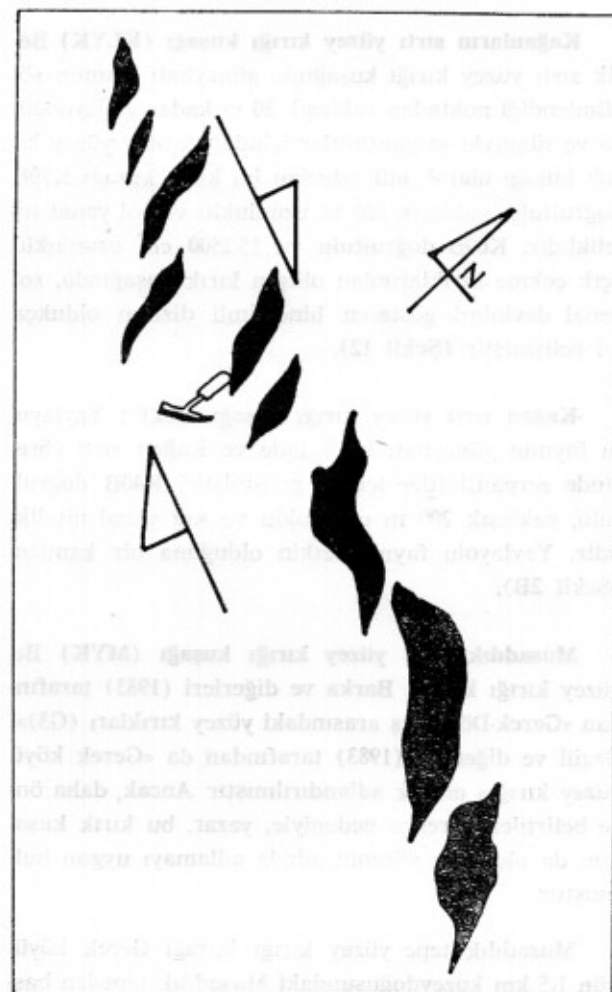
Şekil 10) Çamlı tepe yüzey kırığı kuşağının yaklaşık ölçekli harita görünümü. C1) En büyük sıkışma gerilimi eksen; T) Açılmaya yönü; U) Yükselen blok; D) Düzen blok.

Figure 10) Sketch map of Çamlı hill surface rupture zone. C1) Principal compressive axis; T) Extension direction; U) Upthrown block; D) Downthrown block.

mektedir. Ancak doğudaki kolun uzantısında ve Çamlı tepenin kuzey yamacında, yamaç yukarı yönde ve bindirme türünde kırıklar gelişmiştir (Şekil 10). Bir başka deyişle, doğu ve yamaç aşağı taraftaki blok 30 cm kadar yükselerek, batı ve yamaç yukarı taraftaki blok'un üzerine büyük bir açıyla bindirmiştir (Şekil 10).

C-alt bölümünde, Çamlı tepe yüzey kırığı kuşağı K70-80B ya dönerken yeniden iki kola ayrılmakta ve aralarında 5-35 m genişlikte bir graben yapısı oluşmaktadır. Bu bölümde 150 m kadar izlenebilen kırık kuşağı, en sonunda sağ yanal devinimi belgeleyen türde bindirimli dizilim gösteren açık çekme kırıklarıyla sonlanmaktadır (Şekil 10, 11).

A ve B alt bölümlerinin ortalama doğrultusu K20D, C alt bölümünün ise K80B olan Çamlı tepe



Şekil 11) Sağ yanal devinimi gösteren bindirimli dizilimli açık çekme kırıkları.

Figure 11) En echelon open gashes indicating right-lateral movement.

yüzey kırığı kuşağı, tümüyle, Gerek formasyonunu temsil eden volkanitler içinde gelişmiş olup, bir bütün olarak bakıldığında, belli bir şekilde K-G sıkışmayı ve ona koşut olarak da D-B doğrultusunda bir açılmayı belgelemektedir (Şekil 10).

Elmalı dere yüzey kırığı kuşağı (EYK) Kızlarkale köyünün yaklaşık 2 km doğusunda ve Elmalı derenin sol yamacında gelişen K45D gidişli, 3-4 m genişlikli, 150 m uzunluklu ve sol yanal nitelikli bir yüzey kırığı kuşağıdır. Karagüney fayının kuzeydoğu kesiminde ve fay çizgisi boyunca gelişmiş olup, Karagüney fayının etkin olduğuna dolaysız bir kanittır (Şekil 2B). Bindirimli dizilimli ve değişik boyutlu açık çekme çatlaklarından oluşan Elmalı dere yüzey kırığı kuşağı, aynı zamanda, Çayırdüzü formasyonu ile Gerek formasyonunun dokanağında gelişmiştir.

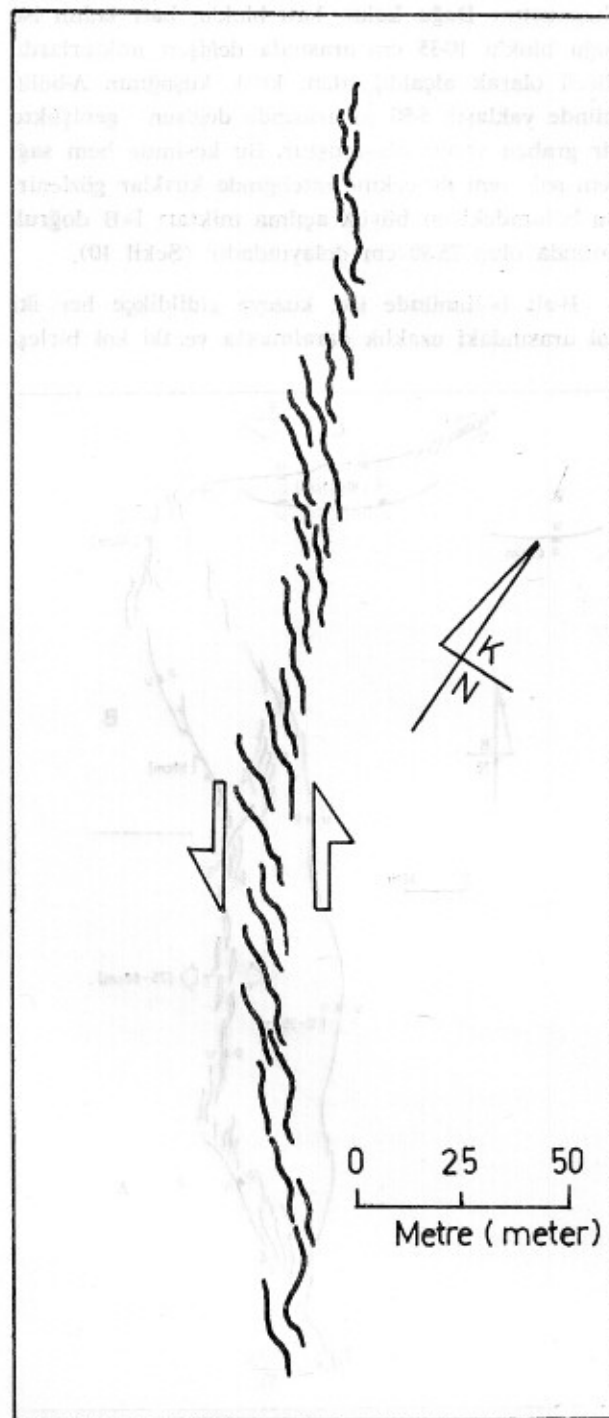
Kağanlarım sırtı yüzey kırığı kuşağı (KLYK) Beşik sırtı yüzey kırığı kuşağıının güneybatı ucunun sökünlendiği noktadan yaklaşık 30 m kadar güneydoğuda ve tümüyle serpentinitler içinde yeni bir yüzey kırığı kuşağı olarak adlandırılan bu kırık kuşağı K30B doğrultulu, yaklaşık 300 m uzunluklu ve sol yanal niteliklidir. K60B doğrultulu ve 15-2500 cm uzunluklu açık çekme kırıklarından oluşan kırık kuşağında, sol yanal devinimi gösteren bindirimli dizilim oldukça iyi gelişmiştir (Şekil 12).

Kağan sırtı yüzey kırığı kuşağı (KYK) Yaylayolu fayının güneybatı kesiminde ve Kağan sırtı yöresinde serpentinitler içinde gelişmiştir. K40B doğrultulu, yaklaşık 200 m uzunluklu ve sağ yanal niteliklidir. Yaylayolu fayının etkin olduğuna bir kanittır (Şekil 2B).

Musaddık tepe yüzey kırığı kuşağı (MYK) Bu yüzey kırığı kuşağı Barka ve diğerleri (1983) tarafından «Gerek-Dönertaş arasındaki yüzey kırıkları (G3)», Özgül ve diğerleri (1983) tarafından da «Gerek köyü yüzey kırığı» olarak adlandırılmıştır. Ancak, daha önce belirtilen gerekçe nedeniyle, yazar, bu kırık kuşağıını da oluştugu yörenin adıyla adlamayı uygun bulmuştur.

Musaddık tepe yüzey kırığı kuşağı Gerek köyünün 1.5 km kuzeydoğusundaki Musaddık tepeden başlamakta ve K-K15D arasında değişen doğrultularda Gerekdağı'nın doğu etegine kadar yaklaşık 2 km boyunca izlenebilmektedir (Şekil 2B, MYK).

Horasan-Narman Depremi sırasında gelişen en uzun kırık kuşaklarından biri olmasına karşın, kırı-



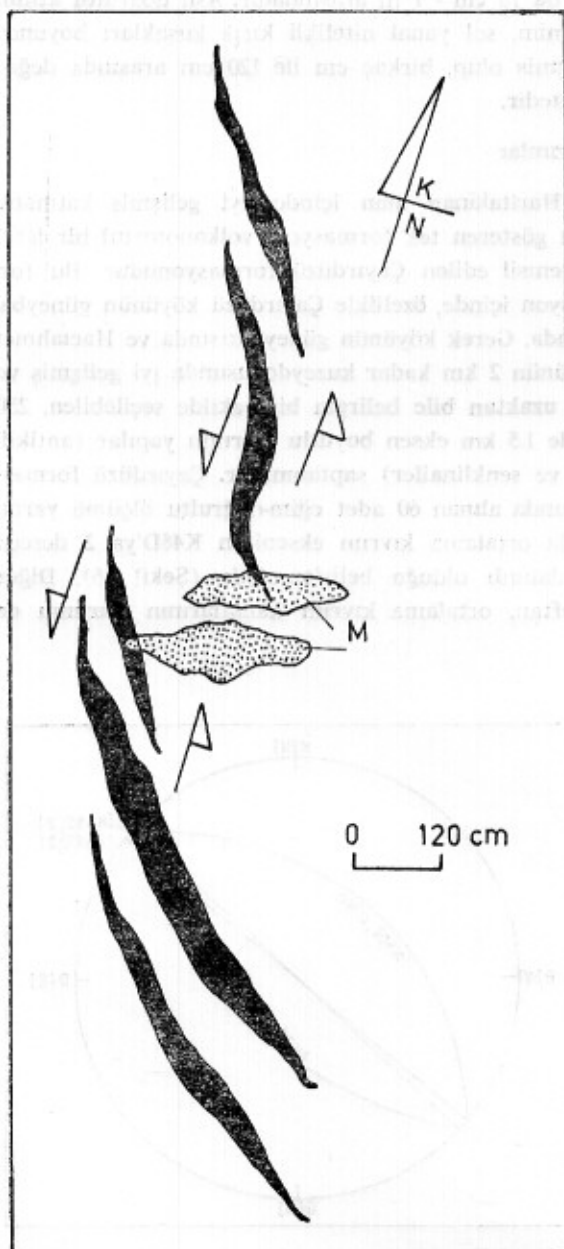
Şekil 12) Kağanların sırtı yüzey kırığı kuşağıının yaklaşık ölçekli harita görünümü.

Figure 12) Sketch map of Kağanların ridge surface rupture zone.

ğın boyutu ile uyumlu miktarda sol yanal atım ölçülememiştir. Ölçülebilen miktar 60 cm dolayındadır. Ancak, Barka ve diğerleri (1983), bu kırık kuşağı bo-

yunca gelişmiş olan sol yanal atım miktarının 80 cm ile 1 m olduğunu belirtmektedir. Bu kırık kuşağının diğer bir özelliği de, Gerekdağı fayının sağ yanal sapma gösterdiği yerde gelişmiş olmasıdır (Şekil 2B, MYK).

Çayırdüzü formasyonunu temsil eden volkano-torul istif içinde gelişen Musaddık tepe yüzey kırığı kuşağı, birkaç m ile 20-25 m arasında değişen uzun-



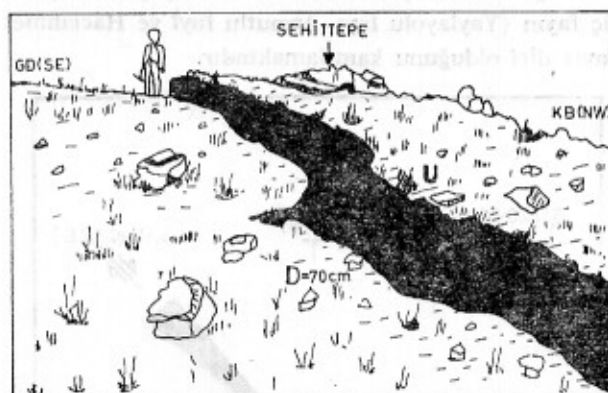
Şekil 13) Sol yanal devinimi gösteren bindirimli dizilimli açık çekme kırıkları ve basınç sırtları (M).

Figure 13) En echelon open gashes indicating left-lateral movement, and mounds (M)

luklu ve bindirimli dizilimli, K20-25B doğrultulu açık çekme kırıklarından oluşmaktadır. Bu kırık kuşağında, özellikle basınç sırtları oldukça iyi gelişmiştir (Şekil 13).

Şehittepe yüzey kırığı kuşağı (SYK) Bu kırık kuşağı Barka ve diğerleri (1983) tarafından «Çimli yüzey kırıkları (Ç2)» Özgül ve diğerleri tarafından da (1983) «Kızıl (Şehit) tepe yüzey kırığı» olarak adlandırılmış olup, yazar küçük bir değişiklikle ikinci adlamayı benimsemiştir.

Şehittepe yüzey kırığı kuşağı, Yufkalı (Çimli) köyünün güneybatisındaki Şehittepenin kuzeye bakan yamacında 2660 kotunda başlayıp, tepeyi doruk çizgisi boyunca güneybatıya doğru kat etmektedir (Şekil 14). Kırık kuşağı hemen tümüyle serpentinitler içinde gelişmiş olup, değişik uzunluklu ve bindirimli dizilimli açık çekme kırıklarından oluşur. Genel olarak, kırıkların doğu bloğu göreli olarak alçalmış olup, en büyük düşey atım miktarı 70 cm kadardır (Şekil 14). Yaklaşık K35D doğrultulu ve sol yanal ni-



Şekil 14) Şehittepe yüzey kırığı kuşağından bir görünüm. U) Yükselen blok; D) Düşen blok.

Figure 14) View from Şehittepe surface rupture zone. U) Upthrown block; D) Downthrown block.

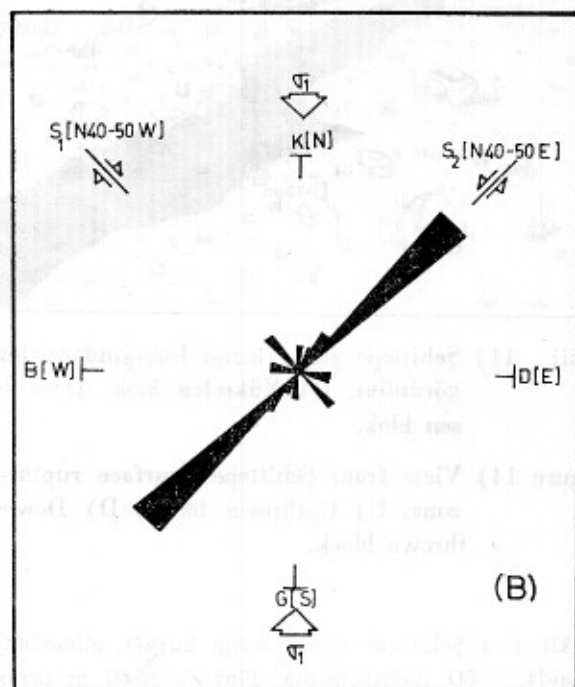
telikli olan Şehittepe yüzey kırığı kuşağı, güneybatı ucunda, G40D doğrultusuna dönerken 50-60 m uzunluklu ve sağ yanal nitelikli eşlenik bir kırık kuşağıyla sonlanır. Kırık kuşağı içinde, özellikle Şehittepenin doruk kesiminde çok iyi gelişmiş basınç sırtları gözlenir.

Kırık kuşağıının hemen 30-40 m batısından hemen aynı doğrultuda Şehittepe fayı geçmekte olup, fay ile yeni yüzey kırığı arasında yakın ilişki vardır.

Kırık kuşağının izlenebilen uzunluğu 600 m dolayındadır (Şekil 2B, SYK).

Yaylayolu yüzey kırığı kuşağı (YYK) Hacıahmet köyünün yaklaşık 2 km kuzeybatısında Yaylayolu fayı, Armutlu fayı ve Hacıahmet fayı arasında, dikdörtgen biçiminde bir alan bulunmakta olup, bu alan içinde, Hacıahmet köyünün eski yıkıntısı da yer almaktadır. Bu alan içinde biri D-B gidişli sağ yanal, diğeri ise K40D gidişli sol yanal iki yüzey kırığı kuşağı gelişmiştir (Şekil 2B, YYK_{1,2}). Eşlenik bir takım oluşturan bu iki kırık kuşağından sol yanal nitelikli olan yaklaşık 800 m uzunluklu olup, genel olarak kırıkların doğu blokları düşmüştür. En büyük düşey atım miktarı 70 cm ile 1 m arasında, yatay açılma miktarı ise birkaç cm ile 1 m arasında değişmektedir. Diğer taraftan, sağ yanal nitelikli kırık kuşağı da yaklaşık 500 m uzunluklu olup, kuzey blok 15-20 cm kadar düşmüştür. Her iki kırık kuşağı da Çayır düzü formasyonu içinde gelişmiştir.

Gerek Yaylayolu yüzey kırığı kuşakları, gerekse yine aynı alanda yer alan eski bir köy yıkıntısı, her üç fayın (Yaylayolu fayı, Armutlu fayı ve Hacıahmet fayı) diri olduğunu kanıtlamaktadır.



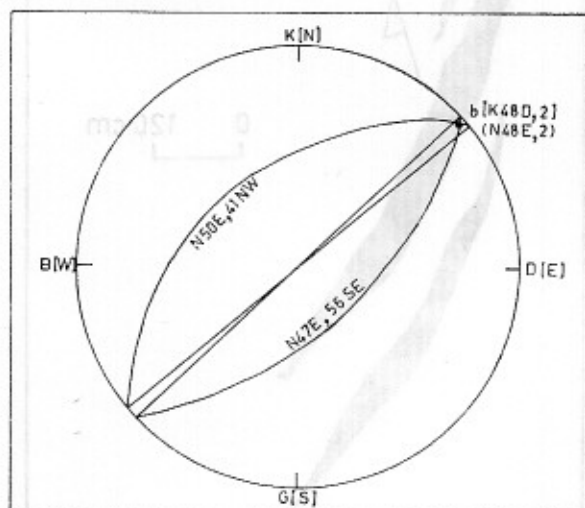
Şekil 15) Deprem yüzey kırıklarının egemen doğrultularını gösteren gül diyagramı. C1) En büyük sıkışma gerilimi eksenini.

Figure 15) Rose diagram illustrating the predominant trends of earthquake surface ruptures. (C1) Principal compressive stress axis.

Özet olarak, 30 Ekim 1983 Horasan-Narman Depremi sırasında gelişmiş olan yüzey kırıklarının, ortalama K40-50D doğrultulu sol yanal ve K40-50B doğrultulu sağ yanal nitelikli kırıklar içeren eşlenik bir sistem olduğu söylenebilir (Şekil 15). Bu eşlenik sisteme, genel olarak, sol yanal kırık kuşakları boyunca güneydoğu blok, sağ yanal kırık kuşakları boyunca da kuzey-kuzeydoğu blok göreli olarak alçalmıştır. En büyük düşey atım 1 m, yine en büyük yatay açılma da 70 cm - 1 m arasındadır. Asıl doğrultu atımlı devinim, sol yanal nitelikli kırık kuşakları boyunca gelişmiş olup, birkaç cm ile 120 cm arasında değişmektedir.

Kıvrımlar

Haritalanan alan içinde, iyi gelişmiş katmanlı yapı gösteren tek formasyon, volkanotortul bir istifle temsil edilen Çayır düzü formasyonudur. Bu formasyon içinde, özellikle Çayır düzü köyünün güneybatısında, Gerek köyünün güneybatısında ve Hacıahmet köyünün 2 km kadar kuzeydoğusunda jyi gelişmiş ve çok uzaktan bile belirgin bir şekilde seçilebilen, 250 m ile 1.5 km eksen boyutlu kıvrımlı yapılar (antiklinal ve senklinaller) saptanmıştır. Çayır düzü formasyonunda alınan 60 adet eğim-doğrultu ölçümlü yardımcıyla ortalama kıvrım ekseniinin K48D'ya 2 derece ile dalmış olduğu belirlenmiştir (Şekil 16). Diğer taraftan, ortalama kıvrım kanatlarının durumu da



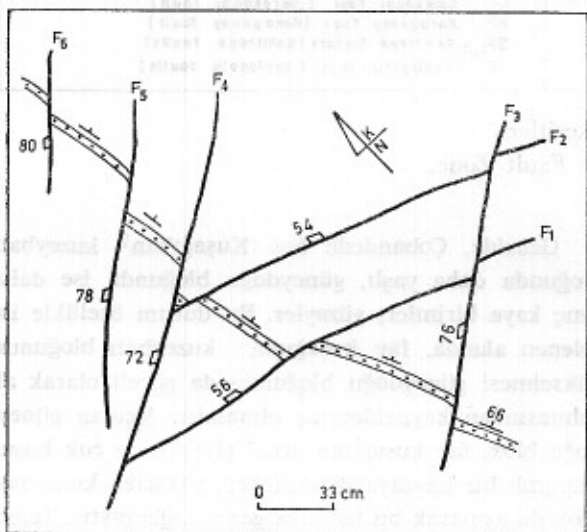
Şekil 16) Kırım eksenlerinin ortalama yönelmini gösteren stereografik izdüşüm. b) Ortalama kıvrım eksenini.

Figure 16) Stereographic projection illustrating average orientation of fold axes. b) Average fold axis.

K50D, 41KB, ve K47D, 56GD dur. Bu ortalama değerden açıkça görüldüğü gibi, kıvrımların iki kanadının eğim miktarları arasında 15 derecelik bir eğim açısı farklılığı vardır. Bu ise kıvrımların bakışsız olduğunu gösterir. Saha gözlemleri ve haritalama sonucu saptanın kıvrımların güneydoğuya eğimli olan kanatları bakışsız olup, bazan bu kanadın eğim miktarı 90 dereceye dekin değişmekte (Şekil 2B). Yer yer de, örneğin Karagüney tepenin güneydoğu ucunda olduğu gibi, yine aynı kanat devrik konumludur (Şekil 4, 18).

TEKTONİK YAPILAR ARASINDAKI İLİŞKİLER

Çobandede Fay Kuşağı'nın, özellikle Muratbağı-Balabantaş arasındaki kesiminde, fay kuşağı içinde ve onun güneydoğu bloğunda yüzeyleyen Çayırdüzü ve Horasan formasyonları önemli tektono-sedimanter yapılar sunarlar. Bunlar arasında çapraz katmanlanma, üste doğru kalınlaşıp incelen tortul düzeyler arası, küçük ölçekli büyümeye fayları (Şekil 17), fay-



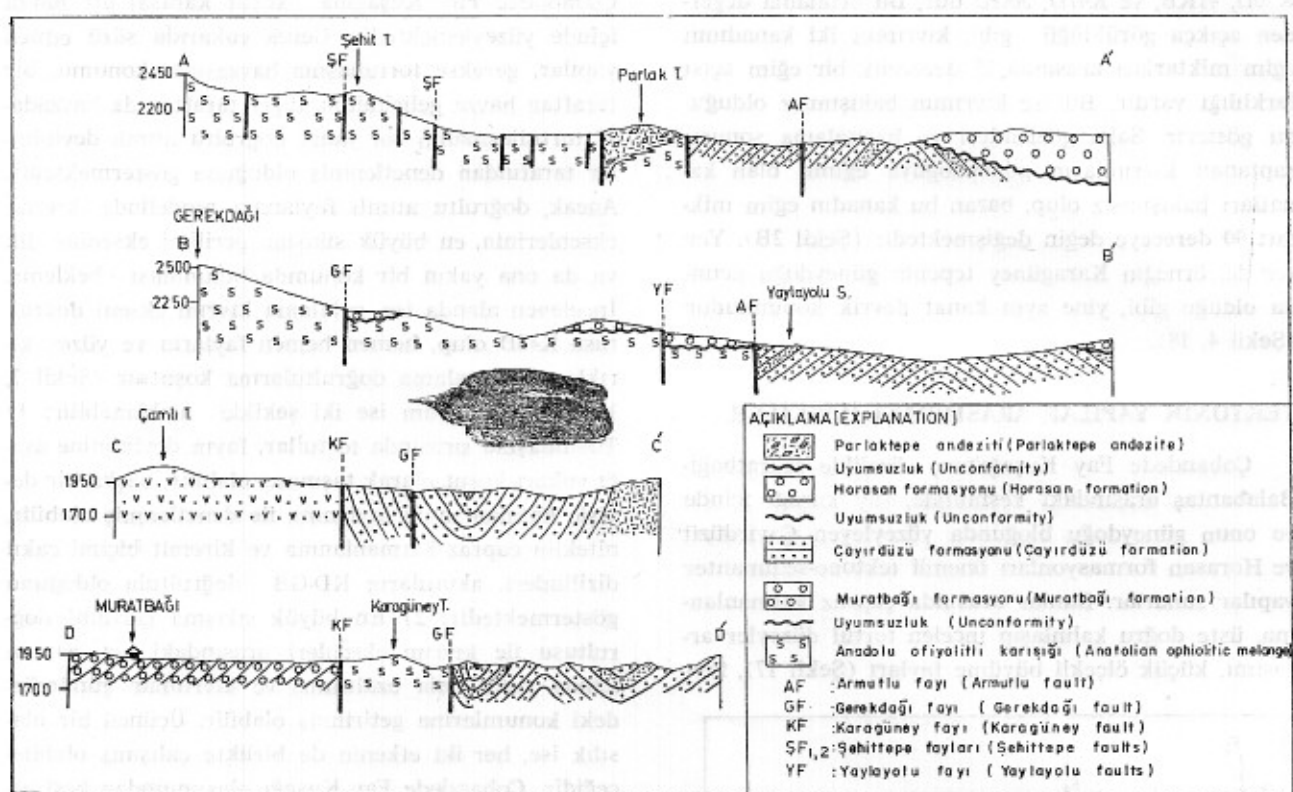
Şekil 17) Andezitik tüfler (Çayırdüzü formasyonu) içinde gelişmiş büyümeye fayları (F₁ F₆).

Figure 17) Growth faults (F₁ F₆) developed in andesitic tuffs (Çayırdüzü formation).

lara bakan kanatları bakımsız-devrik konumlu antiklinaller ve senklinaller (Şekil 2B) ve tortullaşma ile yaşlı volkanizma sayılabilir. Diğer taraftan, Üst Miyosen (?) - Pliyosen yaşı Çayırdüzü ve Pliyosen yaşı Horasan formasyonları, yaklaşık KD-GB eksen konumlu ve daha yaşlı birimler (Anadolu ofiyolitli karışığı, Gerek formasyonu) üzerinde gelişmiş, yaklaşık

Çobandede Fay Kuşağına koşut karasal bir havza içinde yüzeylemektedir. Gerek yukarıda sözü edilen yapılar, gerekse tortullaşma havzasının konumu, bir taraftan havza gelişiminin, diğer taraftan da havzadaki tortullaşmanın sol yanal doğrultu atımlı devinimler tarafından denetlenmiş olduğunu göstermektedir. Ancak, doğrultu atımlı faylanma modelinde, kıvrım eksenlerinin, en büyük sıkışma gerilimi eksenine dik ya da ona yakın bir konumda bulunması beklenir. İncelenen alanda ise, ortalama kıvrım ekseni doğrultusu K48D olup, hemen hemen fayların ve yüzey kırıklarının ortalama doğrultularına koşuttur (Şekil 7, 15, 16). Bu durum ise iki şekilde açıklanabilir: 1) Tortullaşma sırasında tortullar, fayın devinimine aşağı yukarı koşut olarak taşınmış olabilir, başka bir deyişle katmanlanma faylanma ile denetlenmiş olabilir, nitekim çapraz katmanlanma ve kiremit bliçimi çakıl dizilimleri, akıntıların KD-GB doğrultulu olduğunu göstermektedir; 2) En büyük sıkışma gerilimi doğrultusu ile kıvrım eksenleri arasındaki açı, zaman içinde, rotasyonla azaltılmış ve kıvrımlar günümüzdeki konumlarına getirilmiş olabilir. Üçüncü bir olasılık ise, her iki etkenin de birlikte çalışmış olabileceğiidir. Çobandede Fay Kuşağı oluşumundan beri etkin ise, bu olasılık daha gerçekçi bir varsayımlıdır.

Benzer şekilde, faylarla deprem yüzey kırıkları arasında da, özellikle köken ve ortam koşulları bakımından yakın bir ilişkinin bulunduğu açıklıktır. Bu ilişkiye kanıtlayan gözlemler özetlenecek olursa: 1) Deprem yüzey kırıkları sol ve sağ yanal nitelikli olup, ortalama doğrultuları sırayla K40-50D ve K40-50B dir (Şekil 15). Faylar da her iki sol ve sağ yanal nitelikli olup, ortalama doğrultuları sırayla K30-60B dir (Şekil 7), 2) Deprem yüzey kırıklarının çoğu sol yanal, daha az sayıdaki bir kısmı sağ yanal niteliklidir. Aynı şekilde, fayların çoğu sol yanal olup, sağ yanal olanlar ikinci derecede kahr (Şekil 7); 3) Yüzey kırıklarının çoğu, özellikle büyük boyutlu olanlar, fayların sönümlendiği yerde (fayların üç kesimlerinde) ya da onlara yakın kesimlerde gelişmiştir (Şekil 2B); 4) Gerek deprem yüzey kırıkları gerekse faylar, sol yanal bileşenleri egemen olan eşlenik sistemler oluşturmaktadır (Şekil 7, 15); 5) Deprem yüzey kırıklarının boyut ve geometrileriyle, fayların hemen hemen aynıdır. Her ikisinde de, kırıkların boyutu beklenenden küçük olup (faylarda birkaç yüz metre ile 15 km, yüzey kırıklarında ise birkaç m ile 2 km) bindirimli dizilim izlenir; 6) Faylar ve deprem yüzey kırıklarının içinde gelişikleri kaya türleri aynıdır; 7) Doğrultu atımlı faylanma modeline göre,



Şekil 18) Çobandede Fay Kuşağı boyunca jeoloji enine kesitleri.

Figure 18) Geological cross-sections through Çobandede Fault Zone.

gerçek deprem yüzey kırıklarının, gerekse fayların oluşumunu sağlayan en büyük sıkışma gerilimi yaklaşık K-G yönelimlidir (Şekil 7 ve 15).

Yukarıda kısaca sözü edilen ilişkiler, geçmişte fayları oluşturmuş olan mekanizma ile, 30 Ekim 1983 Horasan-Narman Depremi yüzey kırıklarını oluşturan mekanizmanın aynı olduğunu kanıtlamaktadır. Bu mekanizma ise, yaklaşık K-G yönelimli sıkışma geriliminin, kayaçların yenilme sınırını aşarak, daha yaşlı faylar ya da yeni sol ve sağ kırıklar boyunca serbestlemesi olusudur. Bu olgu da, Arap levhasının kuzey-kuzeydoğuya doğru deviniminden kaynaklanmaktadır.

SONUÇ

Çobandede Fay Kuşağı, yaklaşık K-G sıkışmanın sonuçladığı, sol yanal doğrultu atılı, günümüzde etkin, bölgenin depremselliğinde önemli rol oynayan, büyük boyutlu bir jeko-tektonik yapıdır. Egemen olarak sol yanal fakat daha az sayıda da sağ yanal dırı ve dırı olmayan eşlenik fay takımlarından oluşur.

Genelde, Çobandede Fay Kuşağı'nın kuzeybatı bloğunda daha yaşlı, güneydoğu bloğunda ise daha genç kaya birimleri yüzeyler. Bu durum özellikle incelenen alanda, fay kuşağıının kuzeybatı bloğunun yükselmesi güneydoğu bloğunun da görelî olarak alçalmasından kaynaklanmış olmalıdır. Alçalan güneydoğu blok, fay kuşağıının genel gidişine az çok koşut uzanımlı bir havzaya dönüşürken, yükselen kuzeybatı blok da aşınarak bu havzaya gereç sağlamıştır. Temeli Anadolu ofiyolitli karışığı ve Gerek formasyonunun oluşturduğu doğrultu atılı faylanma havzasında (Çobandede Fay Kuşağı'nın güneydoğu blok'u), faylanma ile denetlenen tortullaşma sırayla Muratbağı, Cayırdüzü ve Horasan formasyonlarının oluşumunu sağlamıştır. Bu formasyonların gittikçe artan kalınlığı ve etkin faylanma nedeniyle, havza temelinde yer alan daha yaşlı birimler gittikçe daha derine gömüllerken, aynı birimler, havzanın kuzeybatı kenarındaki (fay kuşağıının kuzeybatı blok'u) yükselme ve aşınım nedeniyle yüzeye deigin çıkmışlardır.

Arap Levhasının kuzey-kuzeydoğuya doğru deviniminden kaynaklanan yaklaşık K-G yönelimli sıkışma gerilimi, Pliyosen başından günümüze deigin geçen süre içinde ve değişik zamanlarda serbestleyerek Ço-

bandede Fay Kuşağı'ını sonuçlamıştır. Jeolojik ve tarihsel zamanlarda olduğu gibi, en son 30 Ekim 1983 Horasan-Narman Depremi, deprem ile birlikte gelişen yüzey kırıkları ve 18 Eylül 1984 Şenkaya Depremi de aynı sıkışma geriliminin günümüzde yarattığı olay ve yapılardır.

DEĞİNİLEN BELGELER

- Arpat, E. ve Saroğlu, F., 1975, Türkiye'deki bazı önemli genç tektonik olaylar: Türkiye Jeol. Kur. Bült., 18, 91-101.*
- Arpat, E., Saroğlu, F. ve İz, H.B., 1977, Çaldıran depremi: Yeryuvarı ve İnsan, 2, 29-41.*
- Barka, A., Saroğlu, F. ve Güney, Y., 1983, Horasan-Narman depremi ve bu depremin Doğu Anadolu neotektoniğindeki yeri: Yeryuvarı ve İnsan, 8, 16-21.*
- Bayraktutan, S., 1982, Narman (Erzurum) Havzasının Miyosen'deki Sedimentoloji Evrimi: Atatürk Üniversitesi, Doktora tezi, 282 s.*
- Kerey, E., Bozkuş, C. ve Emre, T., 1984, Erzurum, Horasan Havzasında Pliyosen yaşılı gölsel kömür seviyeli Aliçeyrek formasyonunun stratigrafik, sedimentolojik ve tektonik özellikleri : Kuzeydoğu Anadolu I. Ulusal Deprem Simpozyumu Bildiri Özeti, 29-30.*
- Ketin, İ., 1968, Türkiye'nin genel tektonik durumu ile başlıca deprem bölgeleri arasındaki ilişkiler: Maden Tetkik ve Arama Genel Müdürlüğü Derg., 71,*
- Koçyiğit, A., 1983a, Kuzey Anadolu Fayı Kuşağı ve Erzincan Depreminde oluşmuş kırıklar: 37. Türkiye Jeol. Bilimsel ve Teknik Kurultayı Bildiri Özeti, 73-74.*
- Koçyiğit, A., 1983b, Doğu Anadolu Bölgesi'nin depremselliği ve gerekli çalışmalar: Yeryuvarı ve İnsan, 8, 25-29.*
- Koçyiğit, A., 1984, Karayazı Fayı ve batı kesiminin jeolojisi: Türkiye Jeol. Kur. Bült. (Baskıda).*
- Koçyiğit, A. ve Rojay, B., 1984, Doğu Anadolu Bölgesi'nin yeni tektonik çatısı ve Horasan-Narman depremi 1983: Kuzeydoğu Anadolu I. Ulusal Deprem Simpozyumu Bildiri Özeti, 31-32.*
- Özgül, N., Seymen, İ. ve Arpat, E., 1983, 30 Ekim 1983 Horasan-Narman depreminin makrosismik ve tektonik özellikleri: Yeryuvarı ve İnsan, 8, 21-25.*
- Rathur, A.Q., 1969, Pasinler-Horasan (Erzurum) sahasına ait genel jeolojik rapor: Maden Tetkik ve Arama Genel Direktörlüğü Der. Rap. No. 52, 66 s.*
- Saroğlu, F. ve Güner, Y., 1979, Tutak Diri Fayı özellikleri ve Çaldıran Fayı ile ilişkisi: Yeryuvarı ve İnsan, 4, 11-14.*

Abant - Yeniçağa (Bolu) Bölgesinin Tektoniği

TECTONICS OF THE ABANT - YENİÇAĞA (BOLU) REGION

ALİ ÖZTÜRK, Cumhuriyet Üniversitesi, Jeoloji Mühendisliği Bölümü, Sivas.

SELİM İNAN, Cumhuriyet Üniversitesi, Jeoloji Mühendisliği Bölümü, Sivas.

S. ZEKİ TUTKUN, Cumhuriyet Üniversitesi Jeoloji Mühendisliği Bölümü, Sivas.

ÖZ : Kuzey Anadolu Fay Zonu'nun bir bölümünü içine alan, Kaledoniyen, Hersiniyen ve Alpin devinimlerinin etkisinde kalarak oldukça kırıklı ve kıvrımlı bir yapı kazanmıştır. Kuzey Anadolu Fay Zonu'nun kuzeyinde ve güneyinde yer alan bölgeler, Üst Miyosen başına kadar farklı tektonik rejimlerin etkisinde ve Üst Miyosen'den günümüze kadar geçen dönemde ise aynı tektonik rejimin etkisi altında kalmıştır. Bu nedenle birinci evre «Paleotektonik Dönem» ve ikinci evre de «Neotektonik Dönem» adı altında incelenmiştir.

Paleotektonik dönemde, genellikle çekme ve sıkıştırma türü tektonik evreler birbirini izlemiştir. Bölgede Liyas başında egemen olan çekme tektoniği nedeniyle başlayan riftleşme, okyanusal kabuğun olmasını sağlamıştır. Derinleşme Üst Kretase ortalarına kadar sürmüştür ve Üst Kretase sonunda artan sıkışma tektoniği nedeniyle aradaki okyanus (Neotetis), kapanmaya başlamıştır. Sonuçta Anatolit ve Pontitler çarpışmış ve bunun sonucu olarak da ofiyolitli karışıklar oluşmuştur.

İnceleme alanındaki en önemli yapılardan biri de Kuzey Anadolu Deprem Fayıdır. Sağ yönlü olan fayın bugüne kadar ölçülebilen toplam atımı, 85 Km. dir. Halen diri olan fay, hareketliliğini Arap plakasının Anadolu Plakasını batıya doğru itmesi sonucunda kazanmıştır.

ABSTRACT : The study area including a part of the North Anatolian Fault Zone has gained a severe fractured and folded structure due to the Caledonian, Hercynian and Alpine orogenies. The northern and southern block of the North Anatolian Fault Zones were under the influence of different tectonic regimes up to the Upper Miocene time, but those of the same tectonic regime during the time between Upper Miocene and present. So, the tectonic regime prevailed during the elapsed time up to the Upper Miocene has been named as the Paleotectonic period and the tectonic regime has been prevailing since the Upper Miocene as the Neotectonic period.

During the Paleotectonic period, generally the tensional and compressional tectonic regimes have followed each others. The tensional tectonic regime, which was predominant at the beginning of Liassic time, caused the rifting which led the formation of oceanic crust. The continued deeping of ocean has lasted to the middle of Upper Cretaceous and then its closure has been initiated due to the increasing compressional tectonic regime at the end of Upper Cretaceous. Ultimately, the Anatolit and Pontit have collided to each other, therefore the ophiolitic melange has been obducted.

One of the main structures in the study area is North Anatolian Earthquake Fault, on which the measurable right lateral displacement amount known until now, is 85 Km. The motion along the fault, which is still active, has been caused by that the Arabian Plate pushes the Anatolian Plate westward.

GİRİŞ

Türkiye sınırları içerisindeki uzunluğu 1150 Km, genişliği 5-10 Km, arasında değişen, genellikle doğubatı uzanımlı Kuzey Anadolu Fay Zonu, aktivitesi ve oluşumu bakımından günümüze kadar birçok araştırmacının ilgisini çekmiş ve değişik kesimlerinde çeşitli amaçlara yönelik çalışmaların yapılmasına neden olmuştur. Özellikle son yıllarda gelişen levha tektoniği kuramı nedeniyle bu çalışmalar daha da artmıştır.

Bu çalışmalar arasında, Blumenthal (1945, 1948), Abdüsselamoğlu (1959), Pavoni (1961), Canitez (1962, 1969, 1973), Engin (1966), Ketin (1969), Nawrazi (1976), Ataman ve diğerleri (1975), Tokay (1973), Seymen (1974), Öztürk (1976), Yılmaz ve diğerleri (1981), Şengör (1981), Tutkun ve İnan (1982), Koçyiğit (1983, 1984), Öztürk ve diğerleri (1984) ten söz edilebilir.

Bu çalışma, Kuzey Anadolu Fay Zonu'nun Abant-Yeniçağa arasında kalan bölümünün tektonik özelliklerini aydınlatmayı amaçlamaktadır. Ayrıca son yıllarda güncelik kazanan «Türkiye'nin yeni tektoniği» konusunda da bölgede saptanan özellikler sergilenecektir.

Bu amaca uygun olarak yaklaşık 1800 Km² lik bir alanı kapsayan bölgenin 1/25 000 ölçekli jeoloji haritası yapılmıştır (Şekil. 1). Haritalar üzerine yöredeki tüm eski ve diri faylar, volkan merkezleri, sıcak

su kaynakları ve travertenlerin konumları ayrıntılı olarak çizilmiştir. Ayrıca, katman ve eklem ölçüleriley hazırlanan kontur diyagramlarına dayanılarak, bölgeyi etkileyen sıkışma geriliminin yönelimi saptanmıştır.

TEKTONİZMA

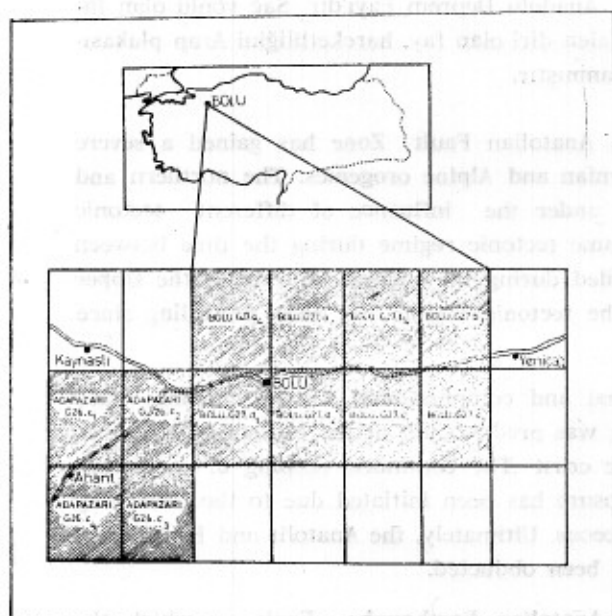
İnceleme alanı ve yakın çevresi, Kaledoniyen, Hersiniyen ve Alpin devinimlerinin etkisi altında kalmıştır. Bu devinimler, Kuzey Anadolu Fay Zonu'nun kuzeyinde ve güneyinde yer alan (Pontitler ve Anatolitler) bloklarda değişik gerilmelere ve yapısal oluşumlara neden olmuştur. Özellikle Kuzey Anadolu Fay'ın oluşumuna kadar geçen (Üst Miyosen) tektonik devrede, fayın kuzeyinde ve güneyinde yer alan bölgelerin farklı tektonik özellikte, bu devreden sonra her iki bölgenin aynı tektonik rejimin etkisinde olduğu düşünülerek ya da varsayılarak ilk evre «Eski Tektonik Dönem (Paleotektonik Periyod)», ikinci evre ise «Yeni Tektonik Dönem (Neotektonik Periyod)» olarak adlandırılmıştır.

Eski Tektonik Dönem

Eski dönemde etkin olan gerilmeler, yukarıda sözü edildiği üzere, Kuzey Anadolu Fay Zonu'nun kuzeyinde ve güneyinde değişik yapısal oluşumlara neden olmuştur. Bu nedenle her iki bloğun (Anatolit ve Pontit) geçirdiği tektonik devreler burada ayrı ayrı başlıklar altında anlatılacaktır.

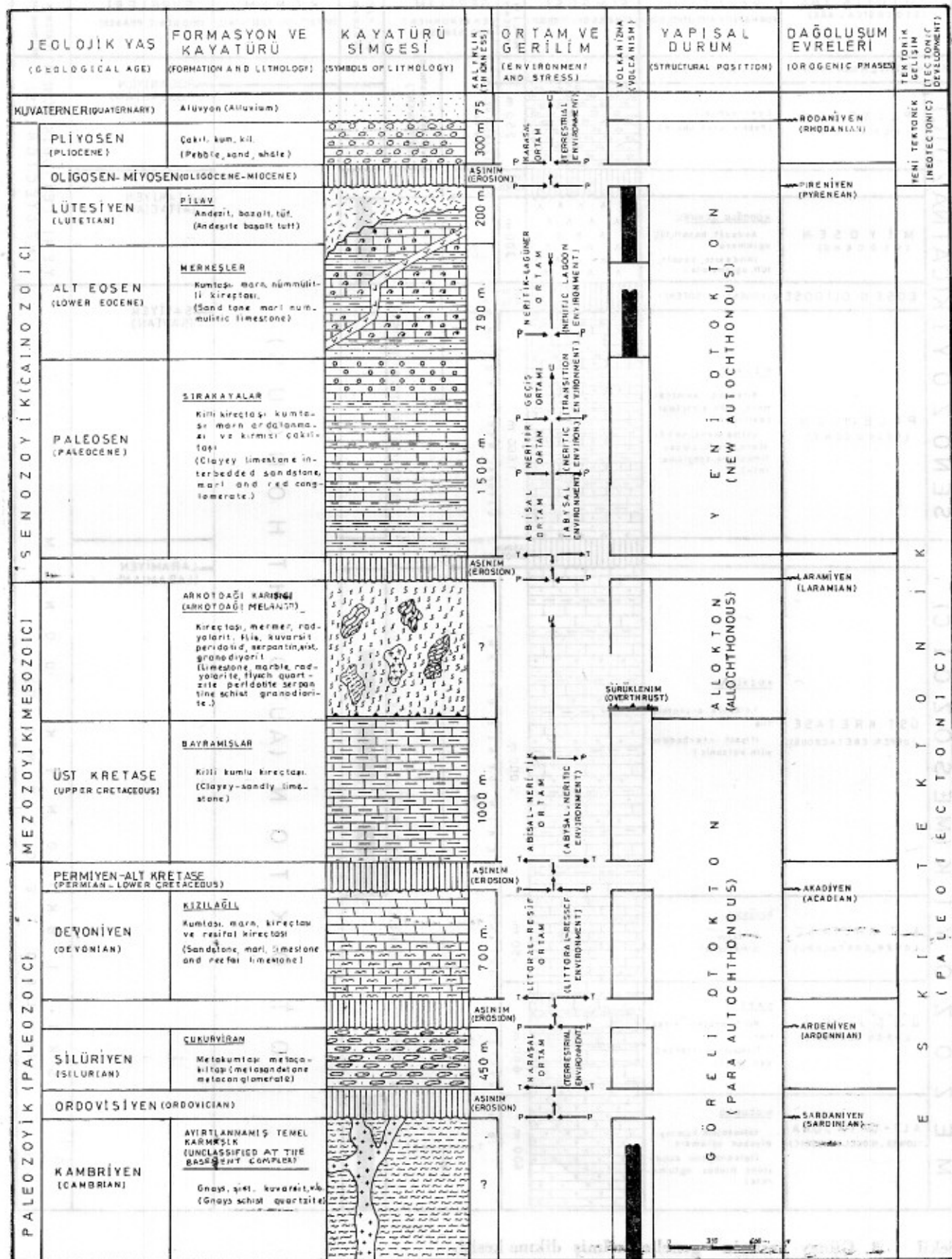
Kuzey Kesimde Eski Tektonik Dönem : Burada temeli Kambriyen yaşı gnays, sist, kuvarsit ve onları yer yer kesen granodioritler oluşturmaktadır. Bu temel üzerine Silüriyen yaşı karasal metakumtaşları ve metaçakıltaşları gelir ve bu kaya türleri, Kambriyen ile Silüriyen arasında bir uyumsuzluğu belgeler (Sardiniyen orojenik fazı). Silüriyen boyunca karasal nitelikte olan ortam, Silüriyen sonlarında doğu çökme tektoniğinin etkisiyle alçalmış ve deniz basmasına uğrayarak (Ardeniyan orojenik fazı) kumtaş, marn ve resifal kireçtaşlarının (Kızılıağıl formasyonu) çökeldiği şiddetli ve sıcak bir ortama dönüştürülmüştür. Çökme tektoniği Devoniyen boyunca devam etmiş ve Devoniyen sonunda bölge tekrar sıkışma tektoniğinin etkisine girerek su üstü olmuştur (Akadiyen orojenik fazı) (Şekil 2).

Permilen-Alt Kretase boyunca su üzerinde kalan bölge, şiddetli ve uzun bir aşım dönemi geçirmiştir.



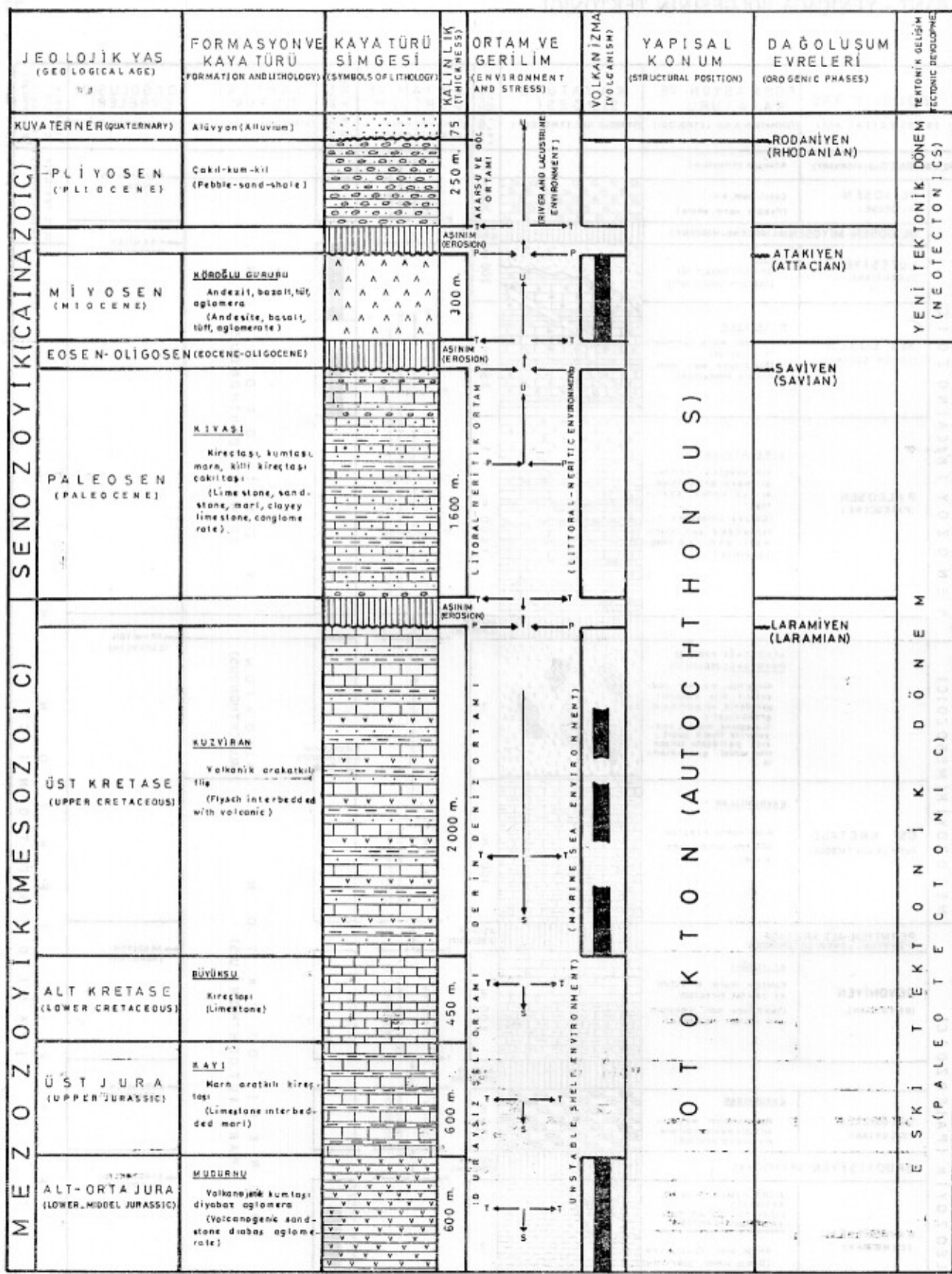
Şekil 1. Yer bulduru haritası.

Figure 1. Location map.



Sekil 2. Kuzey kesimin genelleştirilmiş dikme kesiti.

Figure 2. The generalized columnar section of the northern block.



Sekil 3. Güney kesiminin genelleştirilmiş dikme kesiti.

Figure 3. The generalized columnar section of the southern block.

Üst Kretase başında bölge tekrar çekme tektoniğinin etkisinde kalarak çökmüş ve çökme Üst Kretase sonlarına kadar devam etmiştir. Bu durum, planktonik fosilli, kumlu, marnlı-kireçli, denizaltı kayma ve türbiditik akıntılarının egemen olduğu derin fasayı (Bayramışlar formasyonu) ile kanıtlanmaktadır.

Blok faylanmanın başlangıcı olarak nitelendirilebilecek bu şiddetli çökme, bölgesel tektonizma ile yakından ilintilidir. Çünkü tüm Kuzey Anadolu Fay Zonu boyunca gözlenen ve Neotetis'in kapanım evresini işaret eden ofiyolitli melanjların (bu kesimde Arkotdağı Karışığı) Pontitlerin güney kenarı boyunca yerlestiği bilinmektedir (Tokay, 1973; Seymen, 1974; Yılmaz ve diğerleri, 1981; Öztürk ve diğerleri, 1984).

Üst Kretase sonunda bölge, sıkışma tektoniği ile yükselserek su üstü olmuş (Laramyen orojenik fazı) ve kısa bir aşının döneminden sonra yeniden çekme tektoniği ve ona bağlı olarak gelişen blok faylanmaların etkisiyle çökmüştür. Bu ortamda da killi kireçtaşısı, marn, çakıltaşı ve kireçtaşısı ardalanmaları ile temsil edilen fliş özellikleindeki birimler depolanmıştır. Kısmi çökme, Paleosen ortalarına kadar devam etmiş, daha sonra sıkışma rejimiyle tekrar yükselmeye başlayarak neritik ve geçiş ortamlarının ürünlere çökelmiştir (Sırakayalar formasyonu). Eosen başında bölgede, sıkışma rejimine bağlı olarak gelişen dağarası havzalarda, neritik ortamı karakterize eden Nümmülitli kireçtaşısı, marn ve kumtaşları depolanmıştır.

Güney Kesimde Eski Tektonik Dönem : Burada temeli, Liyas-Doger (?) yaşılı koyu yeşil renkli bazik lav akıntıları içeren, yer yer altere diyabaz daykları ile kesilmiş tortul istiflerle temsil edilen Mudurnu formasyonu (Gözübol, 1976; Yılmaz ve diğerleri, 1981; Öztürk ve diğerleri, 1984) oluşturmaktadır. Yılmaz ve diğerleri (1981), bu birimi, Neotetis'in açılım evresini gösteren bir istif olarak yorumlamaktadır. Formasyonun genellikle toleyitik kökenli volkanik kayaçlardan oluşması, bu yorumu desteklemektedir. Dolayısıyla, Liyas başında, kuzyey kesim (Pontitler) ile güney kesim (Anatolitler) arasında bir okyanusun açılmasına başladığı söylenebilir. Okyanusun ilk ürünü olarak ta yukarıda sözü edilen birim çökelmiştir. Güney ve kuzyey kesim arasında bir okyanusun varlığını, Yılmaz ve diğerleri (1981), Dokurcun (Sakarya) yöresinde yaptığı çalışmalarla, okyanusal kabuğa ait ofiyolitik kayaçların düzenli istiflenmelerinden ortaya çıkmışlardır.

Okyanusun açılmasıyla başlayan çekme tektoniği ve ona bağlı olarak gelişen blok faylanmalar ile bölge, çökmeye başlamıştır. Bu durum, şelf ortamının

ürünü olan Üst Jura yaşılı Kayı formasyonu; şelf öbü tortullarından oluşan Alt Kretase yaşı Büyüksu formasyonu ve derin deniz ortamında çökelen, bol miktarda *Globotruncana* sp. ve planktonik foraminifera içeren, volkaniklerle ardalanmalı tipik fliş özellikleindeki Üst Kretase yaşı Kuzviran formasyonunun düzenli olarak istiflenmeleriyle belgelenmektedir.

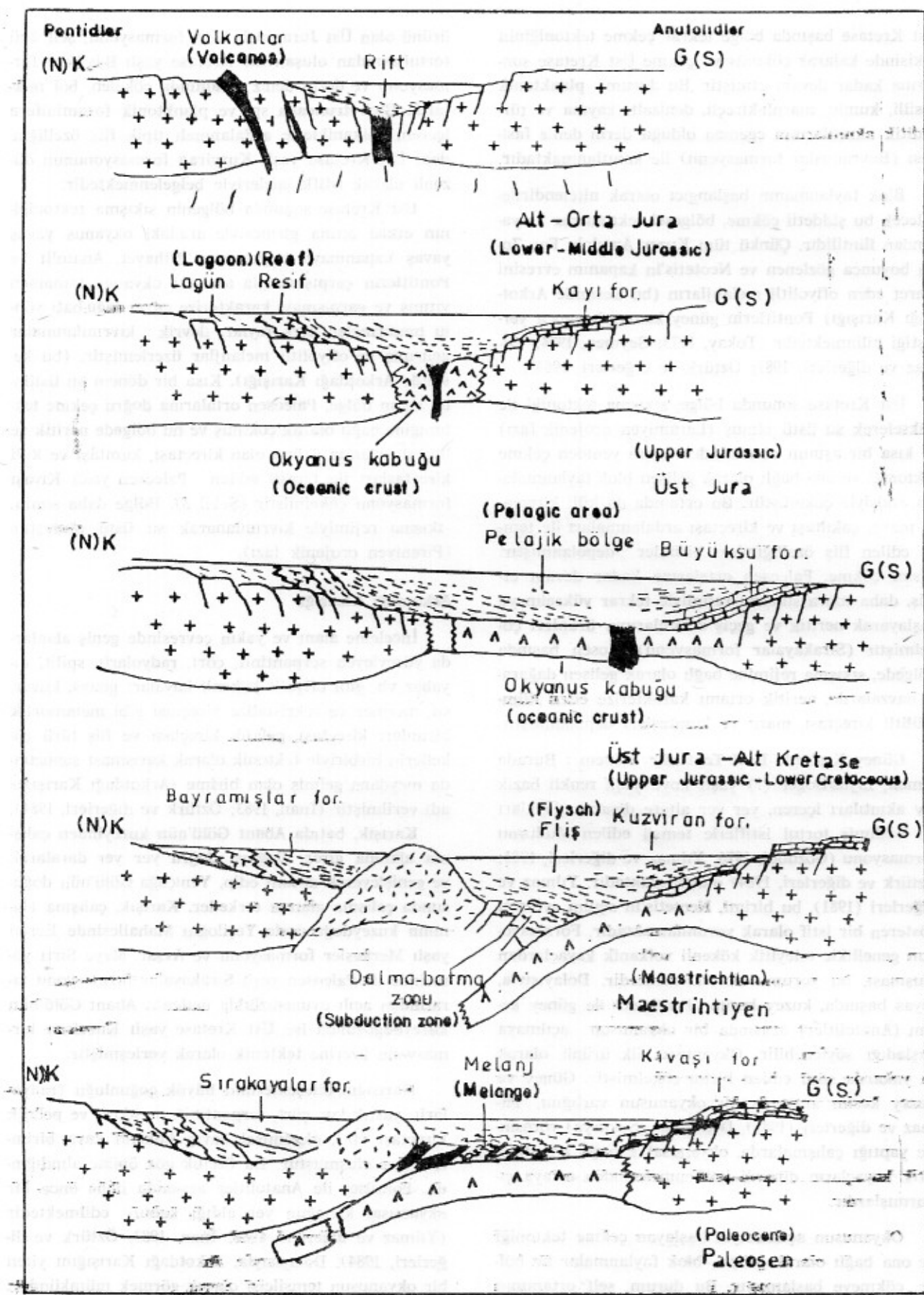
Üst Kretase sonunda bölgenin sıkışma tektonığının etkisi altına girmesiyle aradaki okyanus yavaş yavaş kapanmaya başlamıştır. Nihayet, Anatolit ve Pontitlerin çarpışmasıyla aradaki okyanus tamamen yitmiş ve çarpışmayı karakterize eden doğu-batı yönlü bindirmeler, ters faylar, devrik kıvrımlanmalar gelişmiş ve ofiyolitli melanjlar üzerlemiştir. (bu kesimde Arkotdağı Karışığı). Kısa bir dönem su üstünde kalan bölge, Paleosen ortalarına doğru çekme tektonигine bağlı olarak çökmüş ve bu bölgede neritik ve litoral ortamın ürünü olan kireçtaşısı, kumtaşı ve killi kireçtaşları ile temsil edilen Paleosen yaşı Kıvaşı formasyonu çökelmiştir (Şekil 3). Bölge daha sonra, sıkışma rejimiyle kıvrımlanarak su üstü olmuştu (Pireniyen crojenik fazı).

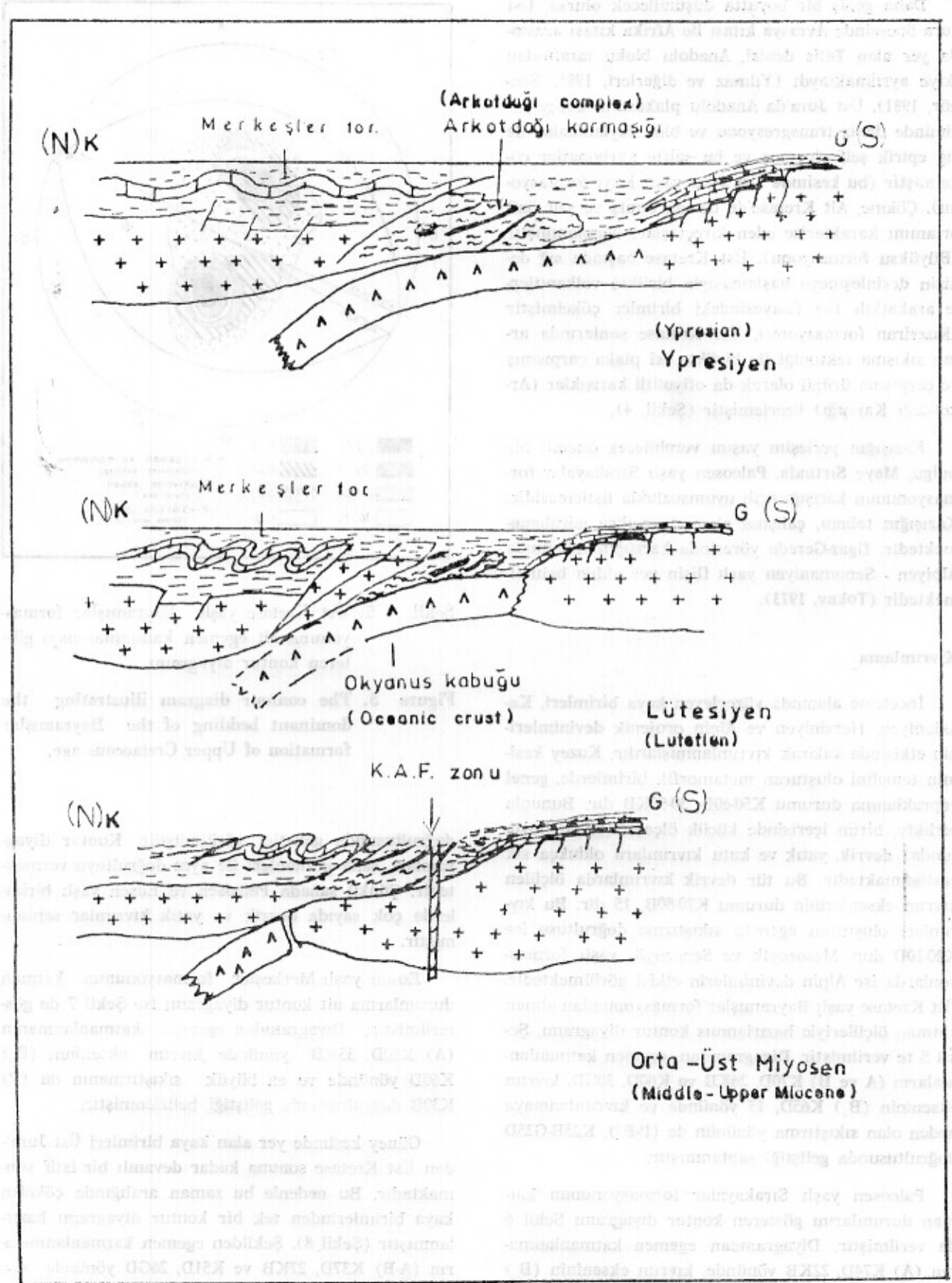
Arkotdağı Karışığı

İnceleme alanı ve yakın çevresinde geniş alanlarda yüzeyleyen serpantinit, çört, radyolarit, spilit, diyabaz vb. gibi ofiyolit kökenli kayalar; gnays, kuvarsit, mermer ve rekristalize kireçtaşısı gibi metamorfik birimler; kireçtaşısı, pelajik kireçtaşısı ve fliş türü çökellerin birbirile tektonik olarak karışması sonucunda meydana gelmiş olan birime «Arkotdağı Karışığı» adı verilmiştir (İnan, 1983; Öztürk ve diğerleri, 1984).

Karışık, batıda Abant Gölü'nün kuzyeyinden çalışma alanına girer. Doğuya doğru yer yer daralarak ve genişleyerek devam edip, Yeniçağa Gölü'nün doğusunda çalışma alanını terkeder. Karışık, çalışma alanının kuzyeydoğusunda Yeşiloğlu Mahallesinde Eosen yaşı Merkeşler formasyonu ve Avşar, Meye Sırtı yöresinde de Paleosen yaşı Sırakayalar formasyonu tarafından açılı uyumsuzlukla üstlenir. Abant Gölü'nün kuzyeydoğusunda ise Üst Kretase yaşı Kuzviran formasyonu üzerine tektonik olarak yerleşmiştir.

Karışığın bileşenlerinin büyük çoğunluğu (radyolarit, yastık lav, çört, serpantinit, peridotit ve pelajik kireçtaşısı vb.), okyanusal havza kökenli kaya birimlerinden oluşmuştur. Bu özellik göz önüne alındığında, Pontitler ile Anatolitler arasında daha önce bir okyanusal kabuğun yer aldığı kabul edilmektedir (Yılmaz ve diğerleri, 1981; İnan, 1983; Öztürk ve diğerleri, 1984). Dolayısıyla, Arkotdağı Karışığını yitiren bir okyanusun temsilcisi olarak görmek mümkündür.





Şekil 4. İnceleme alanının jeolojik evrimi.

Figure 4. Geological evolution of the investigated area.

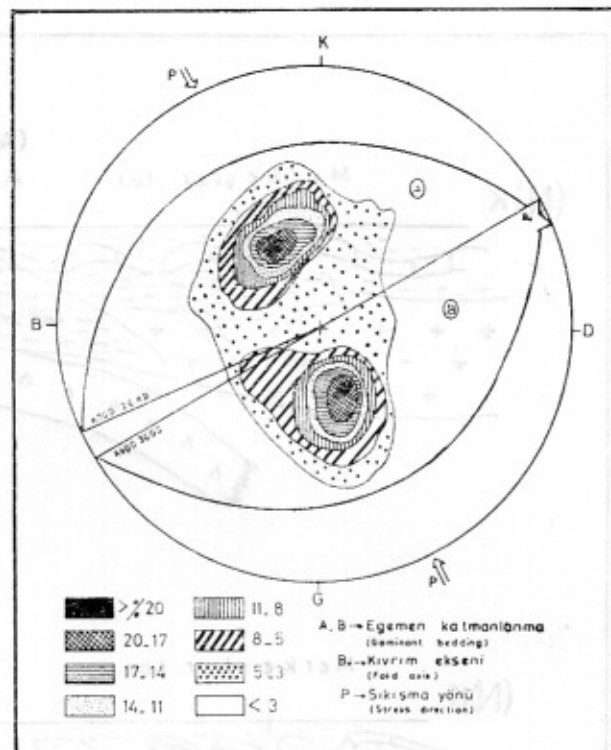
Daha geniş bir boyutta düşünülecek olursa, Üst Jura öncesinde Avrasya kıtası ile Afrika kıtası arasında yer alan Tetis denizi, Anadolu bloku tarafından ikiye ayrılmaktaydı (Yılmaz ve diğerleri, 1981; Şengör, 1981). Üst Jura'da Anadolu plakasının kuzey kesiminde deniz transgresyonu ve blok faylanmalar ile sık epirik şelf oluşmuş ve bu şelfte karbonatlar çökelmiştir (bu kesimde Üst Jura yaşı Kayı formasyonu). Çökme, Alt Kretase'de devam etmiş ve şelf öünü ortamını karakterize eden kireçtaşları depolanmıştır (Büyüksu formasyonu). Üst Kretase başında sık denizin derinleşmeye başlamasıyla birlikte volkanitlerle arakatkılı fliş fasiyesindeki birimler çökelmiştir (Kuzviran formasyonu). Üst Kretase sonlarında artan sıkışma tektoniği ile birlikte iki plaka çarpışmış ve çarpışma ürünü olarak da ofiyolitli karışıklar (Arktodagi Karışığı) üzerlemiştir (Şekil. 4).

Karışığın yerleşim yaşını verebilecek önemli bir bulgu, Meye Sırtında, Paleosen yaşı Sırankayalar formasyonunun karışığı açılı uyumsuzlukla üstlenmesidir. Karışığın tabanı, çalışma alanında açıkça görülememektedir. İlgaç-Gerede yöresinde karışığın tabanında Albiyen - Senomaniyen yaşı flişin yer aldığı belirtilmektedir (Tokay, 1973).

Kırımlama

İnceleme alanında yüzeyleyen kaya birimleri, Karbonatik, Hersiniyen ve Alpin orojenik devinimlerinin etkisinde kalarak kıvrımlanmışlardır. Kuzey kesimin temelini oluşturan metamorfik birimlerde, genel yapraklanması durumu K50-60D, 30-50KB dir. Bununla birlikte, birim içerisinde küçük ölçekli (cm-m boyutunda) devrik, yatık ve kutu kıvrımlara oldukça sık rastlanmaktadır. Bu tür devrik kıvrımlarda ölçülen kıvrım eksenlerinin durumu K70-80B, 15 dir. Bu kıvrımları oluşturan egemen sıkıştırma doğrultusu ise K20-10D dur. Mesozoyik ve Senozoyik yaşı formasyonlarda ise Alpin devinimlerin etkisi görülmektedir. Üst Kretase yaşı Bayramışlar formasyonundan alınan katman ölçülerile hazırlanmış kontur diyagramı, Şekil 5 te verilmiştir. Diyagramdan, egemen katmanlanmaların (A ve B) K70D, 26KB ve K60D, 30GD, kıvrım ekseninin (B_o) K65D, 15 yönünde ve kıvrımlanmaya neden olan sıkıştırma yönünün de (P-P'), K25B-G25D doğrultusunda geliştiği saptanmıştır.

Paleosen yaşı Sırankayalar formasyonunun katman durumlarını gösteren kontur diyagramı Şekil 6 da verilmiştir. Diyagramdan egemen katmanlanmanın (A) K74D, 22KB yönünde, kıvrım ekseninin (B_o) K74D yönünde ve en büyük sıkışmanın da (P) K16B



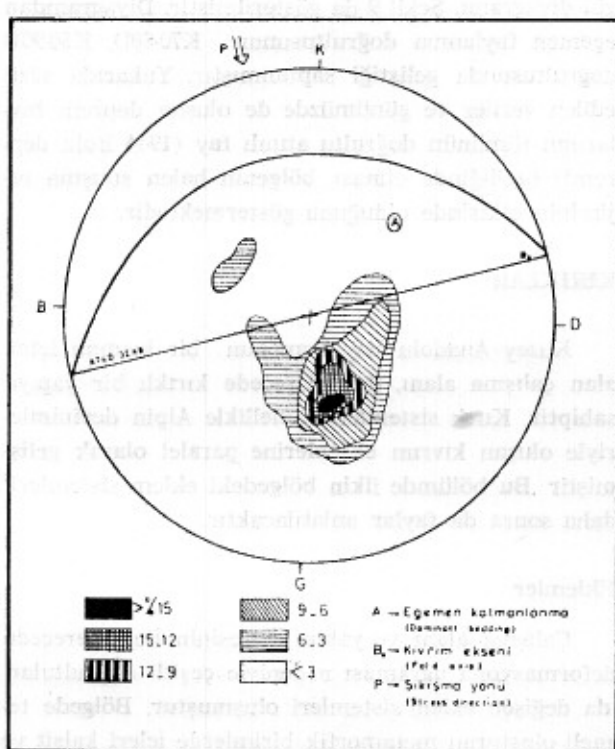
Şekil 5. Üst Kretase yaşı Bayramışlar formasyonuna ait egemen katmanlanmayı gösteren kontur diyagramı.

Figure 5. The contour diagram illustrating the dominant bedding of the Bayramışlar formation of Upper Cretaceous age.

doğrultusunda geliştiği görülmüştür. Kontur diyagramları, saha gözlemleri ile aynı doğrultuyu vermektedir. Çünkü sahada Paleosen ve Eosen yaşı birimlerde çok sayıda devrik ve yatık kıvrımlar saptanmıştır.

Eosen yaşı Merkeşler formasyonunun katman durumlarına ait kontur diyagramı ise Şekil 7 de gösterilmiştir. Diyagramdan egemen katmanlanmanın (A) K60D, 35KB yönünde kıvrım ekseninin (B_o) K60D yönünde ve en büyük sıkışmanın da (P) K30B doğrultusunda geliştiği belirlenmiştir.

Güney kesimde yer alan kaya birimleri Üst Jura- dan Üst Kretase sonuna kadar devamlı bir istif sunmaktadır. Bu nedenle bu zaman aralığında çökelten kaya birimlerinden tek bir kontur diyagramı hazırlanmıştır (Şekil 8). Şekilden egemen katmanlanmaların (A-B) K37D, 27KB ve K51D, 26GD yönünde, kıvrım ekseninin (B_o) K44D, 15GB yönünde ve egemen



Şekil 6. Paleosen yaşlı Sırankayalar formasyonuna ait egemen katmanlanmayı gösteren kontur diyagramı.

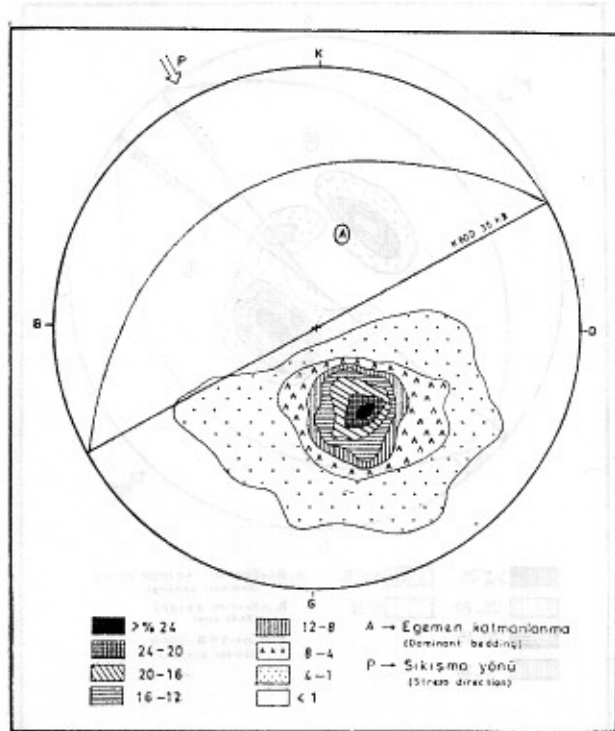
Figure 6. The contour diagram illustrating the dominant bedding of the Sırankayalar formation of Paleocene age.

sıkıştırmanın da (P-P') K46B-G46D doğrultusunda geliştiği saptanmıştır.

Paleosen yaşlı Kivaşı formasyonunda ise egemen katmanlanmaların, saha gözlemleri ışığında K30D, 32KB ve K50D, 40GD yönünde gelişikleri belirlenmiştir. Ayrıca sahada gözlenen küçük ölçekteki kıvrım eksenlerinin doğrultusu K40-60D yönündedir. Bu kıvrımları oluşturan egemen sıkıştırma doğrultusu da K50B-G50D dur.

Yeni Tektonik Dönem

Bölgede Kuzey Anadolu Fay Zonu'nun oluşumundan günümüze kadar devam etmiş olan yapı, olay ve bunlara bağlı oluşumları kapsayan dönem «Yeni Tektonik Dönem (Neotektonik)» olarak adlandırılmış ve incelenmiştir. Burdigalyen'de Arap Plakası bir burun şeklinde kuzeye doğru ilerleyerek Anadolu plakasıyla çarpışmış ve bunu izleyen evrede, çarşışma zonunda

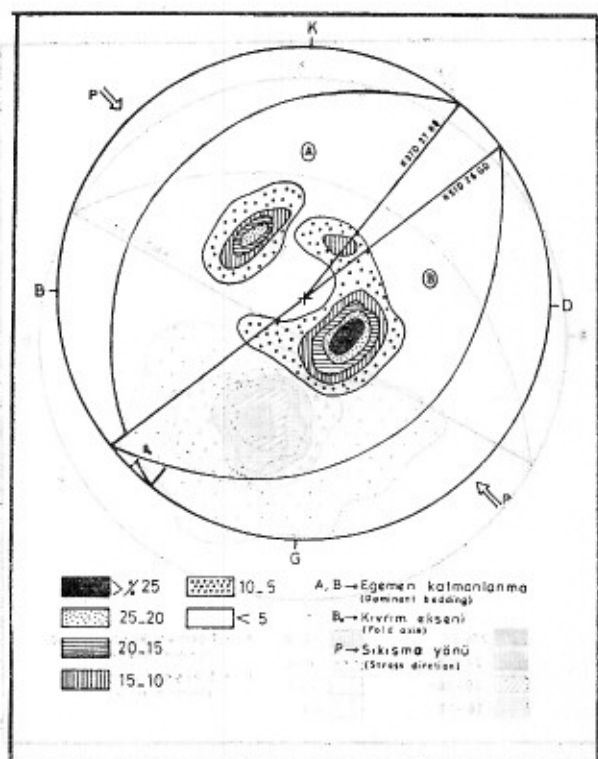


Şekil 7. Eosen yaşlı Merkeşler formasyonuna ait egemen katmanlanmayı gösteren kontur diyagramı.

Figure 7. The contour diagram illustrating the dominant bedding of the Merkeşler formation of Eocene age.

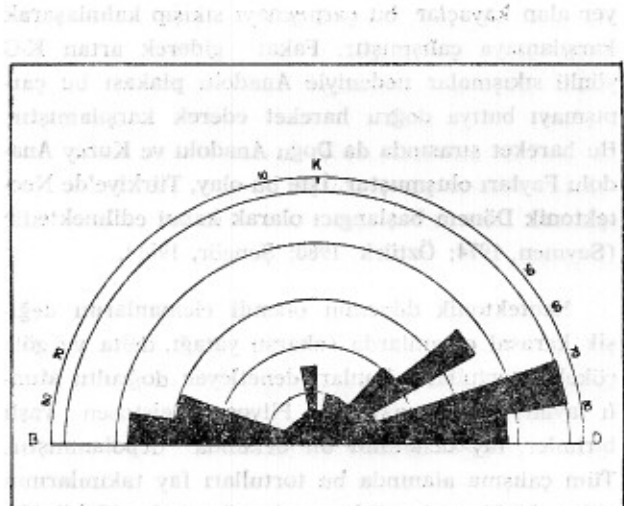
yer alan kayaçlar, bu çarpışmayı sıkışıp kalınlaşarak karşılamaya çalışmıştır. Fakat giderek artan K-G yönlü sıkışmalar nedeniyle Anadolu plakası bu çarpışmayı batıya doğru hareket ederek karşılamıştır. Bu hareket sırasında da Doğu Anadolu ve Kuzey Anadolu Fayları oluşmuştur. İşte bu olay, Türkiye'de Neotektonik Dönem başlangıcı olarak kabul edilmektedir (Seymen, 1974; Öztürk, 1980; Şengör, 1981).

Neotektonik dönemin önemli elemanlarını değişik karasal ortamlarda (akarsu yatağı, delta ve göl) çökelen tortullarla bunları denetleyen doğrultu atılımlı faylar oluşturmaktadır. Pliyosen-Pleistosen yaşlı birimler, fay denetimli bir ortamda depolanmıştır. Tüm çalışma alanında bu tortulları fay takımlarının çöken bloklarında gözleme olanağı vardır (Şekil 18). Sahada travertenlerin, sıcaksu kaynaklarının, maden sularının ve küçük gölcüklerin birbirini izleyen doğrultularda sıralanması, neotektonik dönemde oluşan faylanmaları karakterize etmektedir. Bu dönemde oluşmuş yüzden fazla fayın doğrultusuyla hazırlanan



Şekil 8. Güney kesimde yer alan Üst Jura'dan Üst Kretase'ye kadar yaşlı kaya birimlerine ait egemen katmanlanmayı gösteren kontur diyagramı.

Figure 8. The contour diagram illustrating the dominant bedding of Upper Jurassic to Upper Cretaceous rock units exposing in the southern block.



Şekil 9. Neotektonik dönemde oluşan faylara ait gül diyagramı.

Figure 9. The rose diagram of faults developed in the neotectonic period.

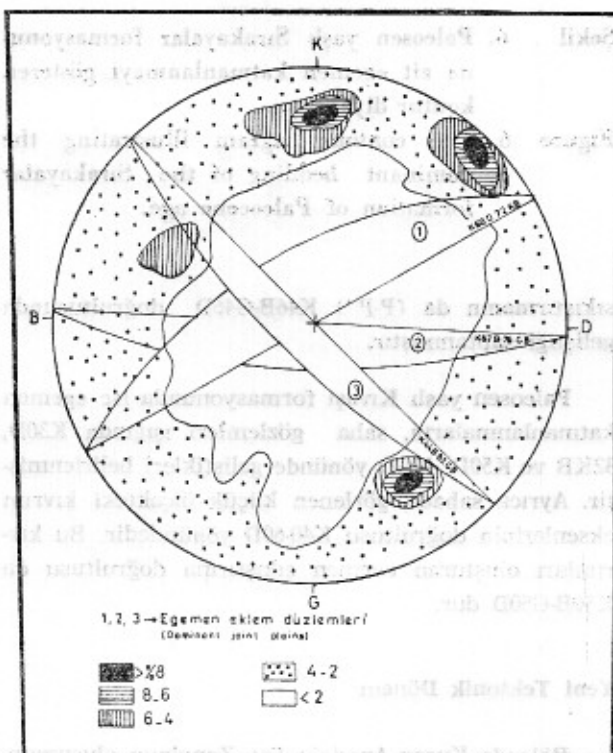
gül diyagramı, Şekil 9 da gösterilmiştir. Diyagramdan egemen faylanma doğrultusunun K70-80D, K80-90B doğrultusunda geliştiği saptanmıştır. Yukarıda sözü edilen veriler ve günümüzde de oluşan deprem faylarının tümünün doğrultu atımlı fay (1944 Bolu depremi) özelliğinde olması, bölgein halen sıkışma rejiminin etkisinde olduğunu göstermektedir.

KIRIKLAR

Kuzey Anadolu Fay Zonu'nun bir kısmını içine alan çalışma alanı, ileri derecede kırıklı bir yapıya sahiptir. Kırık sistemleri, genellikle Alpin devinimle-riyle oluşan kıvrım eksenlerine paralel olarak gelişmiştir. Bu bölümde ilkin bölgedeki eklem sistemleri, daha sonra da faylar anlatılacaktır.

Eklemler

Çalışma alanı ve yakın çevresinin ileri derecede deformasyona uğraması nedeniyle çeşitli doğrultularda değişen eklem sistemleri oluşmuştur. Bölgede temeli oluşturan metamorfik birimlerde içeri kalsit ve

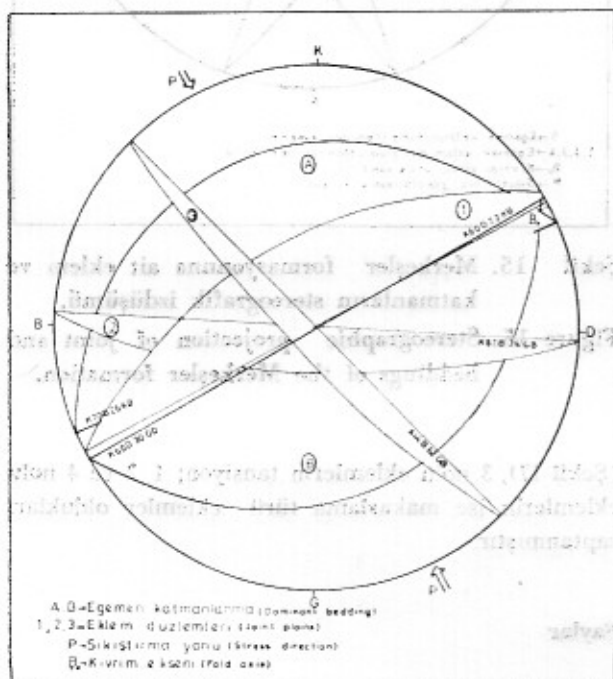


Şekil 10. Üst Kretase yaşı Bayramışlar formasyonuna ait egemen eklem takımlarını gösteren kontur diyagramı.

Figure 10. The contour diagram illustrating the dominant joint sets of the Bayramışlar formation of Upper Cretaceous age.

kuvars damarlarıyla doldurulmuş çok sayıda tansiyon eklemeleri gelişmiştir. Bunlar, çoğunlukla küçük ölçekteki kıvrımların eksenlerine diktir. Metamorfik birimlerin yüzeylediği alanların sık orman örtüsü ile kaplı olması, bu birimlerden ölçü alınmasını engellemiştir.

Kuzey kesimde metamorfik birimleri açılı uyum-suzlukla üstleyen Üst Kretase yaşı Bayramışlar formasyonundan alınan katman ölçüleriyle hazırlanmış kontur diyagramlarından, eklem takımlarının (1, 2, 3) K60D, 72KB; K87B, 76GB ve K44D, 83GB yönünde gelişikleri saptanmıştır (Şekil 10). Şekil 11 de aynı

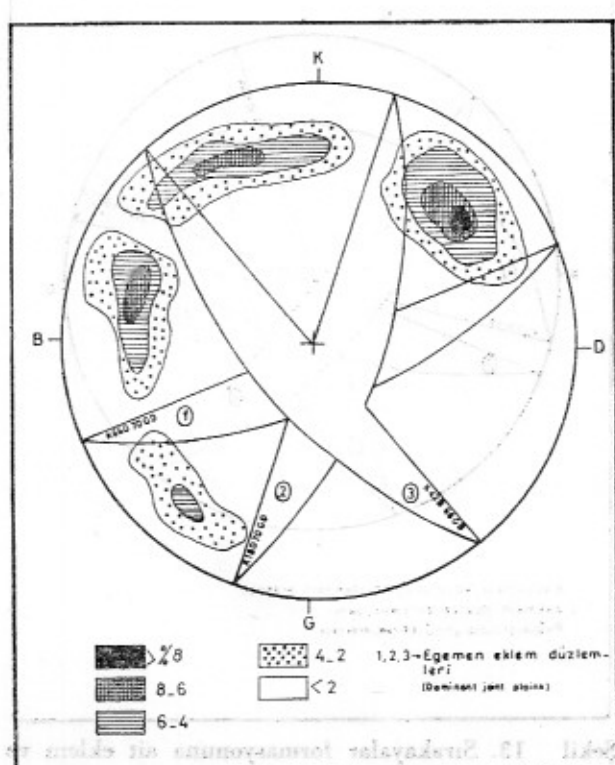


Şekil 11. Üst Kretase yaşı Bayramışlar formasyonuna ait eklem ve katmanların stereografik izdüşümü.

Figure 11. Stereographic projection of joint and beddings of the Bayramışlar formation of Upper Cretaceous age.

formasyona ait katman durumlarıyla eklem sistemlerinin topluca stereografik izdüşümleri verilmiştir. Bu diyagrama göre, sıkışma yönüne paralel olarak gelişen eklem (3), tansiyon; sıkışma yönü ile 45-60 derece arasında açı yapan eklemler (1 ve 2), makaslama veya kesme eklemleri olarak tanımlanmıştır.

Paleosen yaşı Sıräkayalar formasyonundan alınan eklem ölçüleri kontur diyagramından, eklem takımlarının (1, 2, 3), K66D, 70GD; K18D, 70GD ve K42B, 68GB yönünde geliştiği belirlenmiştir (Şe-



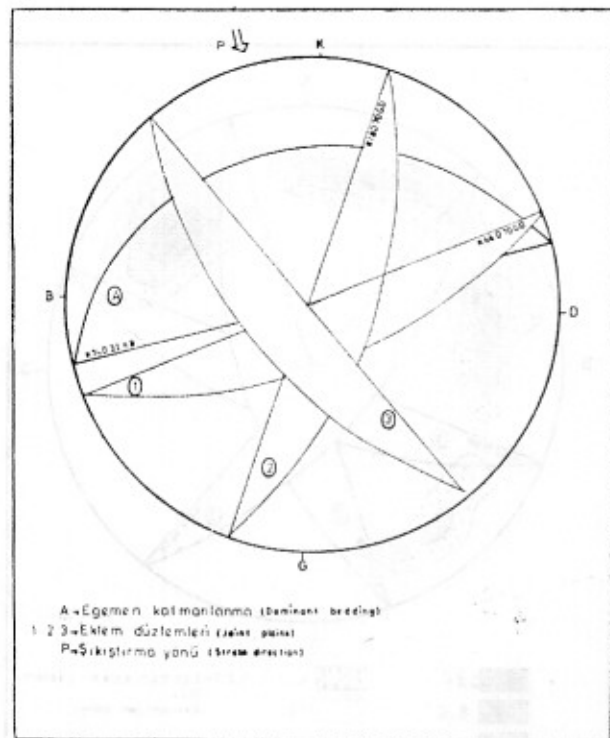
Şekil 12. Paleosen yaşı Sıräkayalar formasyonuna ait egemen eklemeleri gösteren kontur diyagramı.

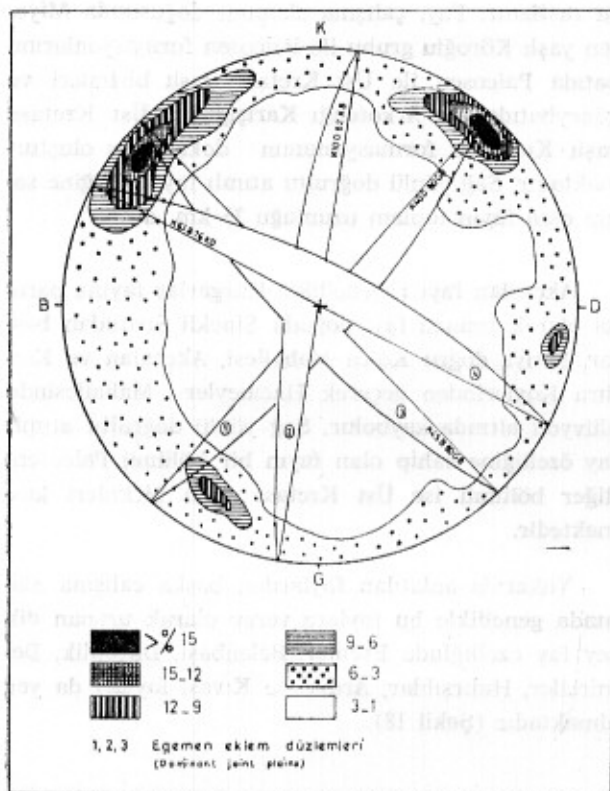
Figure 12. The contour diagram illustrating the dominant joints of the Sıräkayalar formation of Paleocene age.

kil 12). Şekil 13 ise aynı formasyona ait katman durumlarıyla eklem takımlarının stereografik izdüşümünü göstermektedir. Burada sıkışma yönü verev olarak gelişen eklemler (1, 2, 3), makaslama eklemleri olarak tanımlanmıştır.

Eosen yaşı Merkeşler formasyonuna ait eklemelerin kontur diyagramında eklem takımlarının (1, 2, 3, 4) K49D, 83KB; K18D, 75GD; K20B, 70GB ve K53B, 78KD yönünde geliştiği görülmüştür (Şekil 14). Şekil 15 te görülen katman durumları ile eklem takımlarının stereografik izdüşümünden 1, 2 ve 4 nolu eklemlerin makaslama, 3 nolu eklemde tansiyon eklemi şeklinde geliştiği saptanmıştır.

Güney kesimde yer alan kaya birimlerinde gelişmiş eklemelerin kontur diyagramından eklem takımlarının (1, 2, 3, 4) K40D, 80GD; K10D, 82KB; K45B, 80GD ve K63B, 76KD yönünde olduğu belirlenmiştir (Şekil 16). Aynı birimlere ait katman durumlarıyla eklem takımlarının stereografik izdüşümüne göre





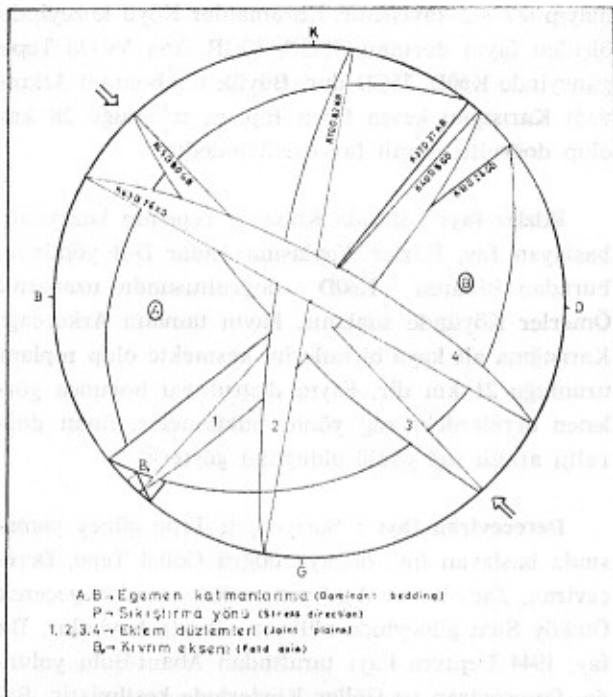
Şekil 16. Güney kesimde yer alan kaya birimlerine ait egemen eklemleri gösteren kontur diyagramı.

Figure 16. The contour diagram illustrating the dominant joints of rock units exposing in the southern block.

dükleminin durumu D-B, 80G olup, güneyi kuzeye oranla aşağı düşmüştür.

Kayserler fayı : Hacıgülzel fayının güneyinde yer alan fay, batıya doğru Kuğum ve Çılgınlık Tepe'den geçerek Akgöynük Tepe güneyinde sonlanır. Madenlent Köyü kuzeyinde ölçülen fayın durumu K55D, 80GD olup yaklaşık 1 Km uzunluğundadır. Aynı fayın Kayserler Köyü güneyindeki durumu ise K55B, 80GB dir. Özellikle Akgöynük Tepe ve Kayserler Köyü yöresinde fayın doğrultusu boyunca gelişmiş breşik zonlar, uzamış küçük tepeler ve çok sayıda bir sırada dizilmiş su kaynaklarına sıkça rastlanır. Bu kesimde fay, Pliyosen yaşı gölgesel birimleri denetmektedir.

İslamlar fayı : Yukarıköy ile Seydiler Mahallesi arasında yüzeyleyen fayın büyük bölümü, Arkotağı Karışığı içersinden geçmekte olup toplam uzunluğu 12 km dir. Fay doğrultusu boyunca gözlenen dere-



Şekil 17. Güney kesime ait eklem ve katmanların stereografik izdüümü.

Figure 17. Stereographic projection of joint and beddings of the southern block.

lerdeki sağ yönlü büklümlerden fayın doğrultu atımlı sağ yönlü özelliğe sahip olduğu belirlenmiştir.

Çukurvıran fayı : Doğu Kadıköy Mahallesinden başlayan fay, batıya doğru Vayslar, Küçük Tepe, Harmanbaşı ve Uzunburun Tepe'den geçerek Çukurvıran Köyünde sonlanır. Vayslar Köyünde ölçülen fayın durumu K65D, 77KB olup doğrultu atımlı fay özelliğindedir. Fay metamorfik birimler ile Pliyosen yaşı karsal tortulların dokanlığını oluşturur.

Çakmaklar fayı : Doğrultu atımlı fay özelliğine sahip Çakmaklar fayı, doğuda Pelitözü Köyünden başlar, batıya doğru Dodurgu ve Taşlıburun Tepeden geçerek Taşlı Tepe'de sonlanır. Bolu Ovası çöküntü havzasının oluşumunu denetleyen bu fayın durumu D-B, 75G olup, genellikle Üst Kretase ve Paleosen formasyonlarını kesmektedir. Fayın uzanımı boyunca uzamış tepeler, su kaynakları ve küçük gölcüklerde sıkça rastlanmaktadır.

Karamanlar fayı : Doğu Kındırı Mahallesinden başlayan fay, batıya doğru Ulumescit, Yaka ve Karamanlar Köylerinden geçerek Çırıklar Mahallesinde sonlanır. Fayın uzanımı, tek bir doğrultu halinde ol-

mayıp sık sık kavislenir. Karamanlar Köyü kuzeyinde ölçülen fayın durumu, K85B, 80GB iken Yüklü Tepe güneyinde K60D, 75GD dur. Büyük bir bölümü Arkot-dağı Karışığını kesen fayın toplam uzunluğu 28 km olup doğrultu atımlı fay özellikleindedir.

İkizler fayı : Batıda Koparca Tepe'nin kuzeyinde başlayan fay, İkizler Yaylasına kadar D-B yönünde, buradan itibaren K60D doğrultusunda uzanarak Ömerler Köyünde sonlanır. Fayın tamamı Arkotdağı Karışığına ait kaya birimlerini kesmekte olup toplam uzunluğu 21 km dir. Fayın doğrultusu boyunca gözlenen derelerdeki sağ yönlü büükülmeler, fayın doğrultu ataklı sağ yönlü olduğunu gösterir.

Dereceviran fayı : Sarıyerçalı Tepe güney yama-
sında başlayan fay, doğuya doğru Göbel Tepe, Dere-
ceviran, Zadırlar ve Aşağıyenice Köylerinden geçerek
Öteköy Sırtı güneyinde alüvyon altında kaybolur. Bu
fay, 1944 Deprem Fayı tarafından Abant-Bolu yolun-
da, Dereceviran ve Göller Köylerinde kesilmiştir. Ba-
tında, Arkotdağı Karışığını, doğuda Paleosen formas-
yonlarını kesen fay, doğrultu atımlı sağ yönlüdür.

Muslar fayı : Doğrultu atımlı fay özellikle Muslar fayı, Samatdikmeni Tepe ile Cinler mahallesi arasında uzanır. Fay düzleminin güney eteği boyunca sıralanmış çok sayıda ve büyük ölçekli heyelanlar ile uzamış tepelerden fayın tanıtmak kriteri olarak yararlanılmıştır. Bu heyelanlar nedeniyle yöredeki birçok köyün yeri değiştirilmiştir. Muslar Köyü kuzeyinde ölçülen fay düzleminin durumu, K58D, 80GD olup Üst Kretase yaşı Kuzviran formasyonunu kesmektedir.

Nallar fayı : Yeniçağa Gölünün güney eteğinden başlayan fay, batıya doğru Nallar Boğazı ve Kırha Köyünden geçerek Ecirler Köyünde sonlanır. Doğrultu atımlı fay özelliğinde; fayın toplam uzunluğu 20 km olup Paleosen ve Arkotdağı Karışığına ait birimleri kesmektedir. Fayın doğrultusu boyunca ve özellikle güney blokta gelişmiş çok sayıdaki heyelanlar, zaman zaman Ankara - Bolu karayolunu kapamaktadır.

Rüzgârlar fayı : Doğu Aşağıkuldan Köyünün kuzeyinden başlayan fay, batıya doğru Kuzviran, Avşargıdır, Baltalı ve Rüzgârlar Köylerinden geçerek Toykırık Mevkiinde son bulur. Kındıra Köyünün kuzeydoğusunda 1944 Deprem Fayı tarafından kesilen fayın doğrultusu boyunca sıralanmış çok sayıdaki su kaynakları, küçük gölcükler ve bresik zonlara sık-

ça rastlanır. Fay, çalışma alanının doğusunda Miyosen yaşı Köroğlu grubu ile Paleosen formasyonlarını, batıda Paleosen ile Üst Kretase yaşı birimleri ve güneybatıda ise Arkotdağı Karışığı ile Üst Kretase yaşı Kuzviran formasyonunun dokanlığını oluşturmaktadır. Sağ yönlü doğrultu atımlı fay özelliğine sahip olan fayın toplam uzunluğu 25 km. dir.

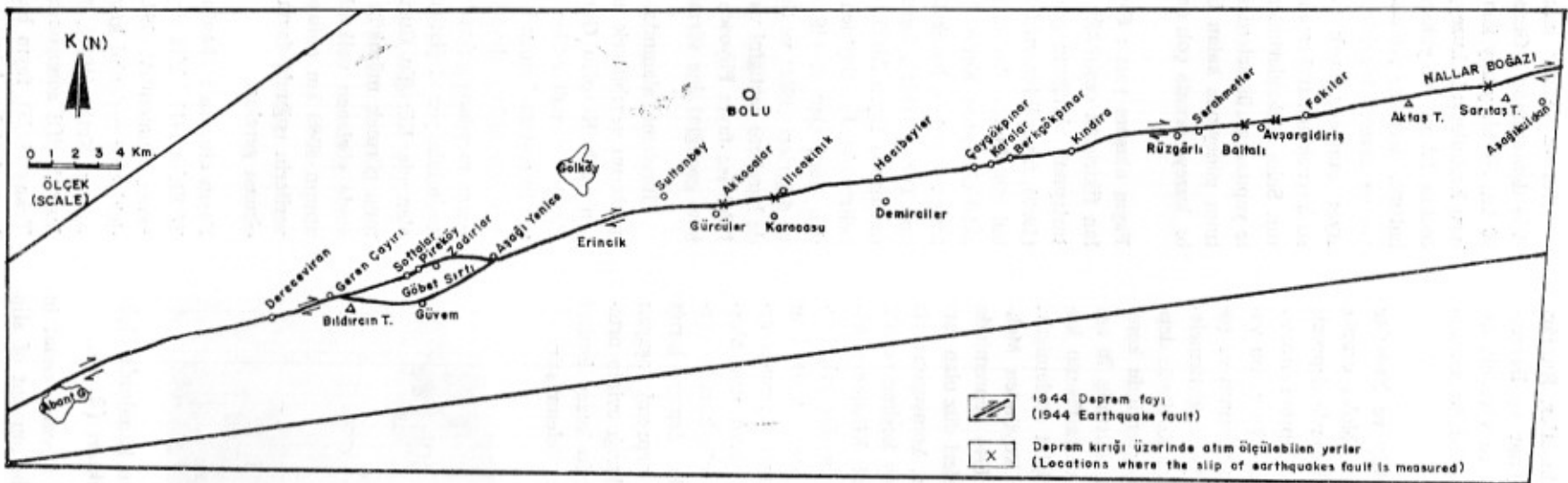
Akçaalan fayı : Genellikle Rüzgârlar fayına paralel olarak uzanan fay, doğuda Sinekli Sırtından başlar, batıya doğru Kolca Mahallesi, Akçaalan ve Kındırı Köylerinden geçerek Hacıbeyler Mahallesinde alüvyon altında kaybolur. Sağ yönlü doğrultu atımlı fay özelliğine sahip olan fayın bir bölümü Paleosen, diğer bölümü ise Üst Kretase yaşı birimleri kşmektedir.

Yukarıda anlatılan faylardan başka çalışma alanında genellikle bu faylara verev olarak uzanan düşey fay özelliğinde Esenler, Belenbaşı, Düvenlik, Demirciler, Hıdırsıhlar, Arduç ve Kıvaşı fayları da yer almaktadır (Şekil 18).

KUZEY ANADOLU DEPREM KIRIĞI

1 Şubat 1944 tarihinde meydana gelen Bolu-Gerdeçerkeş depreminde Bolu Ovası ve Kurşunlu İlçesi arasında yer alan köy ve kasabalarda büyük ölçüde can ve mal kaybının olduğu bilinmektedir (Taşman, 1944). Ayrıca deprem, Ankara, Eskişehir, Bilecik, Kastamonu ve Çankırı yörelerini de az da olsa etkilemiştir.

Bu depremde Bolu-Çerkeş arasında uzanan büyük ölçekli bir yüzey kırığı oluşmuştur. Deprem kırığı, inceleme alanına, doğuda Yeniçağa Gölünün güney kenarından girer. Batıya doğru sırasıyla Nallar Boğazı, Sarıtaş Tepe, Aktaş Tepe, Fakılar, Avşarıgidırış, Serahmetler, Kındıra, Berkgökpınar, Karalar, Çaygökpınar, Hacıbeyler, İlçakının, Akkocalar ve Erincik Köylerinden geçerek Aşağıyenice Köyünde (depremin en fazla hissedildiği yer) birbirine paralel iki kola ayrılır. Kuzeydeki kol, Tatarlar, Zadırlar, Pireköy ve Softalar Köylerinden, güneydeki kol ise Göbel Sırtı, Güvem Köyü ve Bildircin Tepe güneyinden geçerek Gereç Çayında birleşirler. Buradan itibaren batıya doğru Dereceviran Köyü, Abant-Bolu yoluna paralel olarak devam eder ve Abant Gölü'nün kuzeyinden çalışma alanını terkeder. Kırık, inceleme alanında toplam 65 km lik bir uzanıma sahiptir. (Şekil 19).

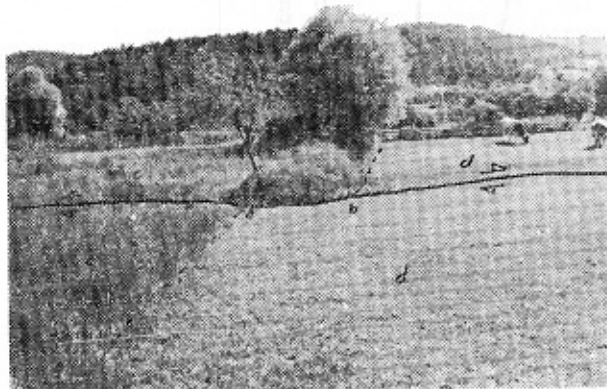


Şekil 19. 1944 deprem kırığının uzanımı.

Figure 19. The extention of the 1944 eartquake fault.

Deprem kırığının Fakılar, Serahmetler, Rüzgârlar, Kındırı, Berkgökpınar, Çaygökpınar ve Dereceviran Köylerinde eski fayalrı izlediği ve yöredeki diğer tektonik elemanlarla paralellik sunduğu saptanmıştır.

Bazı kesimlerde (Fakılar, Pireköy ve Zadırlar Köyleri) kırığın kuzey bloku, güney bloka oranla 1.5-2 m. yükselim kazanmıştır. Bu yörelerde depremi yaşayan kişilerle yapılan görüşmelerde deprem sırasında 1-2 m lik genişlikte bir yarığın oluştuğu ve bu yarığın boyunca tarla sınırlarının, su kanallarının ve şose yolların birbirine oranla 2-3 m lik yer değiştirmeye ugradığı belirlenmiştir. Aşağıyenice Köyünde depremi yaşayan Veysel Yakışır, 1944 depreminde komşusunun tarlası ile kendi tarlasının sınırında 70 cm lik bir yer değiştirmenin olduğunu ve tarlasının kuzey tarafının güneye oranla yükseldiğini söylemiştir. Bolu Ovası'nın güneyinde Gürcüler Köyünden Mehmet Kayahoğlu'nun ifadesine göre, 1944 depreminde tarlası yarılmış ve kabarmıştır. Önceleri düz olan tarla, depremden sonra eğim kazanmış, komşusuna ait tarla sınırının kuzey kesimi, güney kesime oranla 2.5 m doğuya hareket etmiştir. Baltalı Köyünden Abdullah Altınay'a göre depremde köyün tüm evleri yıkılmış ve yarığın kuzey kesimi güneye oranla 1 m yükselmiştir. Ayrıca bu şahsa ait tarla sınırında geçen su kanalında 2.5 m lik bir sağ yanal atım olmuştur. Bu atımı halen izlemek mümkündür (Şekil 20). Batıda Dereceviran Köyünde deprem kırığı köyü ikiye bölmüştür. Bu köyden depremi yaşayan Arif Ulaş'ın ifadesine göre deprem kırığı evinin ortasından geçmiş ve kırık boyunca evin kuzey kesimi güneye oranla doğuya doğru 1.5 m ötelemiştir.



Şekil 20. Baltalı Köyünde, bir su kanalında ölçülen atım. ab- Atım miktarı (3 m).

Figure 20. The slip measured at a water canal in Baltalı Village. ab- The amount of slip (3 m).

Buraya kadar anlatılanlar özetlenecek olursa, 1944 depreminde Gerede-Abant arasında yaklaşık 90 km lik bir yüzey kırığı oluşmuştur. Kırık hattının bazı kesimlerinde kuzey, bazı kesimlerinde ise güney blokta 1-2 m lik yükselmeler görülmüştür. Kırık hattının üzerinde yer alan tarla sınırları, su kanalları, yol ve dereeler birbirlerine oranla yer değiştirmiştir. Aynı zamanda kırık boyunca çok sayıda heyelan, su kaynakları, traverten ve küçük gölcükler oluşmuştur. Saha gözlemlerinden ve depremi yaşayan kişilerle yapılan görüşmelerden anlaşıldığına göre kırık hattının güneyinde kalan bölgelerdeki can ve mal kaybı, kuzeye oranla çok daha fazla olmuştur.

Fayın oluşum yaşı : Fayın yaşı hakkında ortaya atılan fikirlerin çeşitliliği, halen bu konunun oldukça tartışımlı olduğunu göstermektedir. Abdüsselamoğlu (1959), fayın Pliyosen'den önce hareketli olduğunu kabul etmektedir. Pavonj (1961), Tersiyer başından beri aktif olduğunu, Ketin (1969) ise fayın Pliyosen-Kuvarterner arasında hareketlilik kazandığını savunmaktadır. Tokay (1973), Gerede ile Ilgaz arasındaki çalışmalarında fayın Alt-Orta Pliyosen'de hareket ettiğini belirtmektedir. Seymen (1974) fayın Orta Miyosen'den beri; ÖzTÜRK (1980), Miyosen sonunda; Yılmaz ve diğerleri (1981) ve Şengör (1981) ise Üst Miyosen'de harekete geçtiğini vurgulamaktadır. Koçyiğit (1983, 1984) ise fayın Pliyosen ile Pleistosen arasında harekete geçtiğini öne sürmektedir.

İnceleme alanında fayın oluşum yaşı ve atım miktarını verebilecek en önemli veri, Orta-Üst Miyosen yaşlı Körögölü Gurubu'dur. Çünkü volkanik birimlerle temsil edilen gurup, Kuzey Anadolu Fayının kuzeyinde hemen hemen hiç görülmemektedir. Bu olgu göz önüne alındığında, Üst Miyosen veya daha sonra meydana gelen bir faylanma ile grubun kuzey kesiminin yer değiştirdiği olasıdır. Fakat inceleme alanında Körögölü Gurubu'nun kuzey kesimde devamını görmek mümkün değildir. Ancak Gerede yöresinde gözlenen volkanik birimlerle deneştirildiğinde atımın 80-90 km olduğu kuvvetle olasıdır. Bütün bu verilerin ışığında fayın yaşıının Üst Miyosen sonrası olması gereklidir.

Fayın oluşum mekanizması : 20 Aralık 1942 Erbaa ve 27 Ekim 1943 Lâdik deprem fayalarının uzanımını saptayan Blumenthal (1943, 1947), diri fayın bu bölgelerdeki oluş nedenini kıtasal kökenli hareketlere bağlamıştır. Ketin (1969), fayın D-B yönünde etkin olan kuvvet çifti sonucunda oluştuğunu vurgulamaktadır. Tokay (1973), fayın başlangıçta K-G yönlü sıkıştırma kuvvetlerinin, daha sonra da D-B yönünde yırtılma

hareketlerine neden olan kuvvet çiftinin etkisiyle oluştuğunu vurgulamaktadır. Seymen (1974), Burdigalyen'de Pontit-Anatolit çarpışmasını izleyen evrede, K-G yönlü teğetsel basınçların D-B gidişli bindirmeler ile eğim atımlı ters fayların oluşumuna neden olduğunu savunmaktadır. Ataman ve diğerleri (1975), Arap plakasının Anadolu plakasını kuzeye ittiğini ve bu itilme sonunda Anadolu plakasının Doğu Pontit plakası ile çarpışması sonucunda kırığın oluşumunu belirtmektedir. Öztürk (1980), fayın doğrultu hareketini Arap Bloku'nun Anatolitleri batıya doğru itmesi ile kazanmış olabileceği savunmaktadır. Şengör (1981), Kuzey Anadolu Fay'ını bir transform fay olarak kabul etmekte ve onun Arap Plakası ile Anadolu Plakası'nın Burdigalyen'de çarpışması sonucunda meydana geldiğini ileri sürmektedir.

Çalışma alanında genellikle D-B doğrultusunda uzanan ve Kuzey Anadolu Fay Zonu'nun yaşı kırıklarını oluşturan faylar çoğunlukla K-G yönlü sıkışma gerilimlerinin etkisiyle oluşmuştur. Bu kırıklar genellikle sağ yönlü doğrultu atımlı fay ve ters faylardan oluşmaktadır. Fay, büyük olasılıkla Burdigalyen'de Arap Plakası ile Anadolu Plakası'nın çarpışması ve bu çarpışma sonucunda da Anatolitlerin batıya doğru hareket etmesiyle oluşmuştur.

SONUÇLAR

Bu çalışma ile aşağıdaki sonuçlara varılmıştır :

1. Çalışma alanında Sardiniyen, Ardeniyen, Akyaleniyen ve Laramiyen orojenik hareketlerinin varlığı ortaya konulmuştur.
2. Yöredeki tüm fayların uzanımları çizilmiş ve özellikleri anlatılmıştır.
3. Bölgedeki katmanlı kayaçlara ait kontur diyagramlarından yörede egemen olan sıkıştırma kuvvetlerinin K20-30B ve G20-30D yönünde gelişikleri ve bu sıkışmanın Üst Kretase'den beri devam ettiği saptanmıştır.
4. Arkotdağı Karışığının bir yitim kuşağıını temsil etiği ve Üst Kretase sonunda Anatolit ve Pontitlerin çarpışmasını izleyen evrede bugünkü konumlarını aldığı belirlenmiştir.
5. 1944 Bolu-Gerede depremini oluşturan aktif fayın sağ yönlü doğrultu atımlı fay özelliğinde olduğu saha gözlemlerile (2-3 m sağ yanal atımlar) kanıtlanmıştır.

6. Kuzey Anadolu Fay'ının Üst Miyosen'den sonra hareketlilik kazandığı kanısına varılmıştır.

7. Çalışma alanındaki eklemlerin tansiyon ve kesme eklemeleri şeklinde gelişikleri ortaya çıkarılmıştır.

DEĞİNİLEN BELGELER

Abdüsselemoğlu, Ş., 1959, Almacık dağı ile Mudurnu civarının jeolojisi: İst. Tek. Üniv. Fen Fak. Monografileri, Sayı 14, İstanbul.

Ataman, G., Büket, E. ve Çapan, U.Z., 1975, Kuzey Anadolu Fay Zonu bir paleo-beniof zonu olabilir mi? : M.T.A. Enst. Dergisi, No. 84, Ankara.

Billings, M.P., 1954, Structural Geology: Prentice Hall, Inc., Englewood Cliffs.

Blumenthal, M.M., 1945, Kuzey Anadolu'nun bazı ofiyolitik mintikaları Liyas'tan evvelki devreye mi aittir? : M.T.A. Enst. Mec. 53/1, Ankara.

Blumenthal, M.M., 1948, Bolu civarı ile Aşağı Küzülük mecrası arasındaki Kuzey Anadolu silsilelerinin jeolojisi : M.T.A. Enst. Der. Seri B, No. 13, Ankara.

Canitez, N., 1962, Gravite ve sismolojiye göre Kuzey Anadolu'da arz kabuğunun yapısı : İst. Tek. Üniv. Maden Fak. Mecmuası, İstanbul.

Canitez, N., 1973, Yeni kabuk hareketlerine ilişkin çalışmalar ve Kuzey Anadolu Fay problemi, Kuzey Anadolu Fayı ve deprem Simpoziumunda, S. 35-58, Ankara.

Canik, B., 1980, Bolu sıcaksu kaynaklarının hidrojeoloji incelemesi: Selçuk Üniv. Fen Fak. Yayınları, No. 1, Konya.

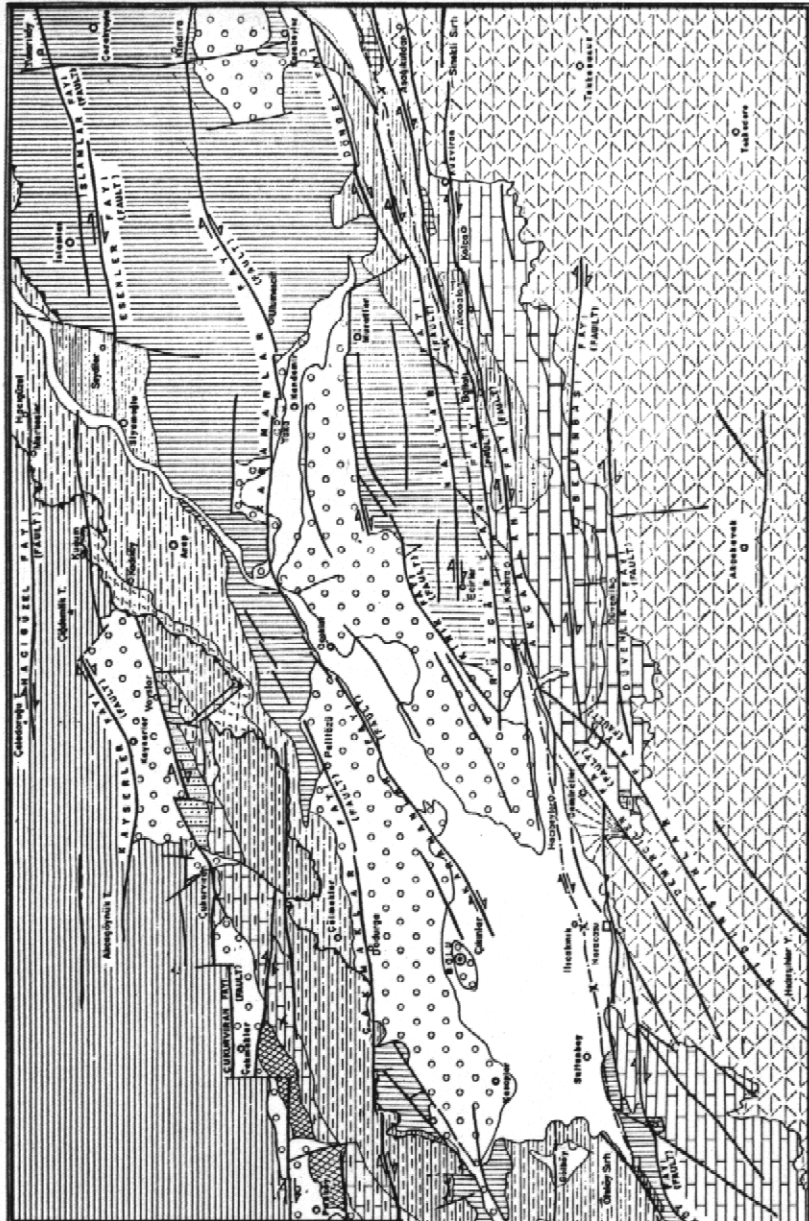
Dimitrijevic, M.D. ve Dimitrijevic M.N., 1973, Olistostroma melang ein the Yugoslavian Dinarides and Late Mesozoic plate tectonics: Journal of Geol., 81, 3, 328-340.

Gözübol, A.M., 1978, Mudurnu-Dokurcun-Abant yöreninin jeolojisi ve Kuzey Anadolu Yarılısının yapısal özellikleri : Doktora tezi, İst. Üniv. Fen Fak. Tatliki Jeoloji Kürsüsü, İstanbul.

- Ketin, İ., 1969, *Kuzey Anadolu Fayı Hakkında : M.T.A. Derg. No. 72, Ankara.*
- Koçyiğit, A., 1983, *Kuzey Anadolu Fay Kuşağı ve Erzincan Depreminde oluşmuş kurıklar : 37. Türkiye Jeol. Bilimsel ve Teknik Kurultayı bildiri özetleri, 73-74, Ankara.*
- Koçyiğit, A., 1984, *Doğu Anadolu Bölgesinin yeni tektonik çatısı ve Horasan-Narman Depremi - 1983 : Kuzeydoğu Anadolu 1. Ulusal Deprem Simpozyumu bildiri özetleri, 31-32, Erzurum.*
- Pavoni, N., 1961, *Die Nordanatolische Horizontalverschiebung : Geol. Rund. Band. 51, 127-139.*
- Öztürk, A., 1980, *Ladik-Destek Yörəsinin Teknoğası : Türkiye Jeol. Kur. Bült. 23, 1, 31-38, Ankara.*
- Saner, S., 1980, *Mudurnu-Göynük havzasının Jura ve sonrası gökelim nitelikleriyle-paleocoğrafiya yorumlaması : Türkiye Jeol. Kur. Bült., 23, 39-52, Ankara.*
- Şengör, A.M.C., 1980, *Türkiye Neotektoniğinin Esasları : Türkiye Jeol. Kur. Özel sayısı, Ankara.*
- Şengör, A.M.C. ve Yılmaz, Y., 1981, *Tethyan evolution of Turkey, A plate tectonic approach : Tectonophysics, 75, 181-241.*
- Seymen, İ., 1973, *Kuzey Anadolu Fay Zonu'nun Niksar-Reşadiye dolaylarındaki özellikleri : Kuzey Anadolu Fayı ve Deprem Kuşağı Simpozyumunda, 30-31, Ankara.*
- Seymen, İ., 1975, *Kelkit Vadisi Kesiminde Kuzey Anadolu Fay Zonu'nun Tektonik Özellikleri : Doktora Tezi, İst. Tek. Üniv. Maden Fak. Yayını, İstanbul.*
- Taşman, C., 1944, *Gerede-Bolu Depremi : M.T.A. Enst. Mecmuası, No. 1/31, Ankara.*
- Tokay, M., 1973, *Kuzey Anadolu Fay Zonu'nun Gerede ile Ilgaz arasındaki kısmında jeolojik gözlemler : Kuzey Anadolu Fayı ve Deprem Kuşağı Simpozyumunda, 12-29, Ankara.*
- Tutkun, S.Z. ve İnan, S., 1982, *Niksar-Erbaa (Tokat) Yörəsinin Jeolojisi : Karadeniz Üniv. Yerbilimleri Dergisi, Jeoloji, C. 2, S. 1-2, 51-67, Trabzon.*
- Yılmaz, Y., 1981 a, *Sakarya Kitası güney kenarının tektonik evrimi : Yerbilimleri, 1, 35-52, İstanbul.*
- Yılmaz, Y., Tüysüz, D., Gözübol, A.M. ve Yiğitbaş, E., 1981, *Abant (Bolu) - Dokurcun (Sakarya) arasındaki Kuzey Anadolu Fay Zonu'nun kuzey ve güneyinde kalan tektonik birliklerin jeolojik evrimi : Yerbilimleri 1, 239-261, İstanbul.*
- Yılmaz, Y., Görür, N., Şengör, A.M.C. ve Akkök, R., 1983, *Pontitlerde Neotetis'in kuzey kolunun açılmasına ilişkin sedimentolojik veriler : Türkiye Jeol. Kur. Bült. 26, 11-21, Ankara.*

**ABANT-YENİCAĞA (BOLU) ARASININ
YAPI HARİTASI**

STRUCTURAL MAP OF THE ABANT-YENİCAĞA REGIONS (BOLU)



ACIKLAMALAR
EXPLANATIONS

SÜDÖSTLICHE DER

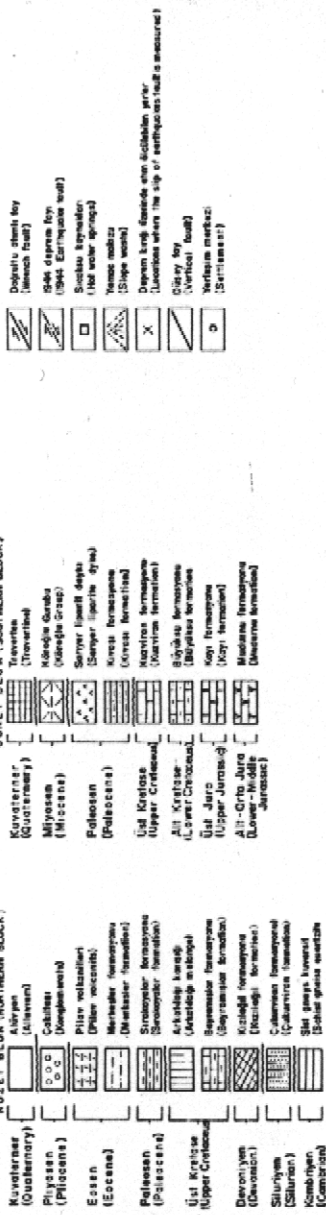


Figure - 18 The structural map of the investigated area.

Sekiz - 18 İnceleme olgunlaşma yataş horituru.

Orta Toroslar'da Ofiyolitik Bir Melanj Örneği; Sülek Karmaşığı
AN EXAMPLE FOR THE OPHIOLITIC MELANGE IN TAURUS; THE SÜLEK COMPLEX

Orhan ÖZÇELİK, Cumhuriyet Üniversitesi, Müh. Fak. Jeoloji Mühendisliği Bölümü, SİVAS.

ÖZ :

Orta Toroslar'da, olasılıkla KD'dan GB'ya doğru bir itilmeyle Geyikdağı otoktonu olarak adlandırılan Jura-Eosen yaşı bir istif üzerine yerleşmiş bulunan tektonik melanj; Sülek Karmaşığı olarak adlandırılmıştır. Devoniyen'den Kretase'ye degen değişik yaş, tür ve boyutlu, farklı çökelme ve oluşum ortamlarını karakterize eden kaya türlerinin sistisel yapılı ve makaslanmış hamur içindeki tektonik karışımından oluşan bu karmaşık Lütesiyen sonrası olasılıkla Priyaboniyen'de bölgeye yerleşmiştir. Karmaşının en genç bileşeni Maestrihtiyen'dir. Bu nedenle oluşum yaşı olarakta Maestrihtiyen sonu düşünülmektedir.

ABSTRACT :

The Sülek Complex in the Central Taurus Mountains is located on the Jurassic-Eosen sequences of Geyikdağı Unit as tectonic melange moving over from NE to SW. In the Complex, containing schist structures and sheared matrix, there are different kind of rock types showing the various environment as well as the various age from Devonian to Cretaceous. The emplacement of the Sülek Complex was occurred after Lutetian, probably during Priabonian. The youngest rock type of this complex, the possibility of Late Maestrihtian is preferred.

GİRİŞ :

Çalışma alanı, Konya ili sınırlarında bulunan Suyla Gölü güneyine düşer. Ofiyolitli melanjin bileşenlerini ayırtlamayı ve yapısal konumunu belirlemeyi amaçlayan çalışma 1/25.000 ölçekli Konya N 27 C 2, N 27 C 3 ve N 28 d1 d 4 paftalarının yaklaşık 100 km²lik bölümünde sürdürmüştür (Şekil 1).

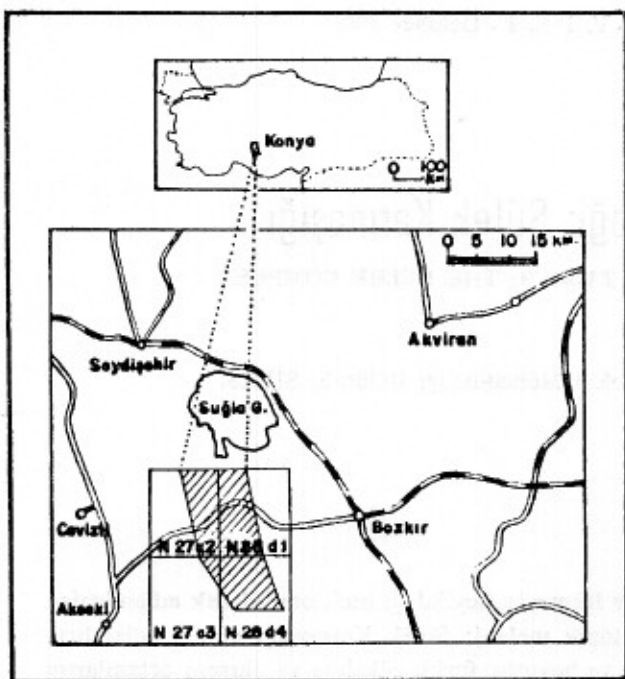
Bu yörede, Blumenthal (1941) 1/100.000 ölçekli jeoloji haritalaması yapmış, daha sonra yakın çevrede Özgül (1971-76), Monod (1977) ve Özli (1978) detay çalışma yaparak bölgenin jeolojisine ışık tutmuşlardır.

Yazının amacı, karmaşığın bileşenleri ve yapısal konumunu ortaya çıkarmak olması nedeniyle çevre kayaçlarının ayrıntısına girilmemiştir. Çevre kayaçlarla ilgili iki bildiri ileride ayrı yayın olarak verilecektir.

SÜLEK KARMAŞIĞI

Devoniyen'den Maestrihtiyen'e degen değişik yaş, tür (sedimanter, ofiyolit, metamorfik) ve boyutlu (mm-km), farklı çökelme ve oluşum ortamlarını (litoral-neritik, derin deniz, hendek) karakterize eden kaya türlerinin (kumlu biyomitrik; şeker dokulu kristalize biyosparit; çörtlü-plaket-pelajik mikrit, biyolit; radyolarit; Globotruncana'lı biyomikrit; grovak; çakıltaş; harzburgit; peridotit; serpantinit, diyabaz, spilit), sistisel yapılı ve tektonik karışımından oluşan bu karmaşık, en iyi gözlendiği yerin adıyla Sülek karmaşığı olarak adlandırılmıştır.

Çalışma alanının batı kesiminde Sarıot yayla, Karacahisar yayla, Sarıpinar yayla, Dibektaş yayla, Saritaş yaylası, Kurşunlu yayla ve Karaklıla yaylada sırrekli yüzlekler, Arnava yayla yöresinde küçük yüzlek-



Şekil 1 : İnceleme alanının yer bulduru haritası.

Figure 1 : The location map of the investigated area.

ler olmak üzere yaklaşık 100 km^2 lik bir alanda yüzeysel (Şekil 2). Karmaşık tabanda; Geyikdağ otoktonunun en üst biriminin oluşturan fliş özellikli ve Lütesiyen yaşı Saytaş formasyonu üzerinde tektonik olarak yer almıştır. Tavanda ise, yine bir tektonik hat ile Karacahisar yaylası, Sarıçınar, Dikilitaş yayla Sarıtaş yaylası, Erdoğań yaylası yöresinde tektonik olarak üstlenir. Ayrıca, yaygın olarak çalışma alanının birçok yerinde alüvyonlarla açılı uyumsuz olarak üstlenir (Şekil 3). Karmaşık hamuru başlıca; grovak, serpantinit, ofiyolit kumu, radyolarit ve planktik fosilli pelajik kireçtaşlarından oluşur.

Grovaklar, sarı-kirli sarı ve boz renkli, ince laminationalı, çoğu şistsel yapılı ve kıvrımlı şekildedir. Alınan örneklerin ince kesitlerinde kayacın değişik tür ve köşeli kayaç parçalarından (diyabaz, radyolarit) ve mineralerden (kuvars, feldspat, ojit, hematit) olduğu ve makaslama düzlemleryle kat edilmiş olduğu gözlenmiştir. Serpantinitler ise, kalsit ve kristolit-asbest damarlarıyla katedilmiş, yoğun şekilde makaslanmalıdır. Kayacın ince kesitinde tümüyle serpantinleşmiş olivinden olduğu, kısmen karbonat-

laştığı yer yer şisti yapı kazandıkları da görülmüşdür.

Hamurun özgün niteliği, yer yer şistsel yapısı ve makaslanmalı oluşudur. Ayrıca gerek ofiyolitli karmaşığın blokları ile hamuru arasındaki ilişki, gerekse blokların kendi aralarındaki ilişki tektoniktir.

Bazı bileşenlerin küçük yüzlekler sunmaları nedeniyle haritalanamamış olmasına karşın, daha büyük yüzleklerindeki bileşenler büyük çoğunlukta haritalanmıştır.

Bileşenler; oluşum ortamı, sedimanter ve kayaç türü özelliklerine göre üç gruba ayırtlanarak incelenecektir.

Sedimanter Bileşenler :

Kayabaşı Kireçtaşı (Trk) : Koyu gri, siyahimsi, pembe, kırmızımsı ve beyaz renkli, ince-orta ve kalın katmanlı ($5 \text{ cm} - 80 \text{ cm}$), kalsit damarlarıyla katedilmiş dolomitik, kumlu ve breşik seviyeleri ihtiya eden düzensiz eklemli kireçtaşları ile temsil edilir. Kurşunlu, Karaklıla ve Arvana yaylaları arasında 3 km^2 lik bir alanda ofiyolitli karmaşık içinde ve daha güneyde Sarıot yayla dolaylarında birisi $400-750 \text{ m}$. boyutunda diğerleri daha küçük olmak üzere birçok bloklar şeklinde yer almıştır. Bloklar yer yer kayma izleri taşırlar.

Alınan örneklerin ince kesitlerinde kayaçların mermerleşmeye yüz tutmuş, kalın katmanlı ($80-100 \text{ cm}$), korunmuş dokuda kırmızı algler barındıran kireçtaşları; kısmen mermerleşmiş, orta katmanlı ($30-60 \text{ cm}$) kumlu kireçtaşları; genelde kuvars taneli, ince ve orta katmanlı ($5-50 \text{ cm}$) kumlu kireçtaşı; ince katmanlı ($5-20 \text{ cm}$), basınca uğramış kırmızı renkli kireçtaşı; kuvars taneli, karbonat bağlayıcı breşik kireçtaşı karakterlerini yansıtıyor görünmüştür.

Kayacın fosil kapsamı itibarıyla fakir oluştu, ayrıca kısmen metamorfize olması yaş tesbitinde güçlük yaratmıştır. Kayabaşı kireçtaşlarında görülen;

Trochammina sp.

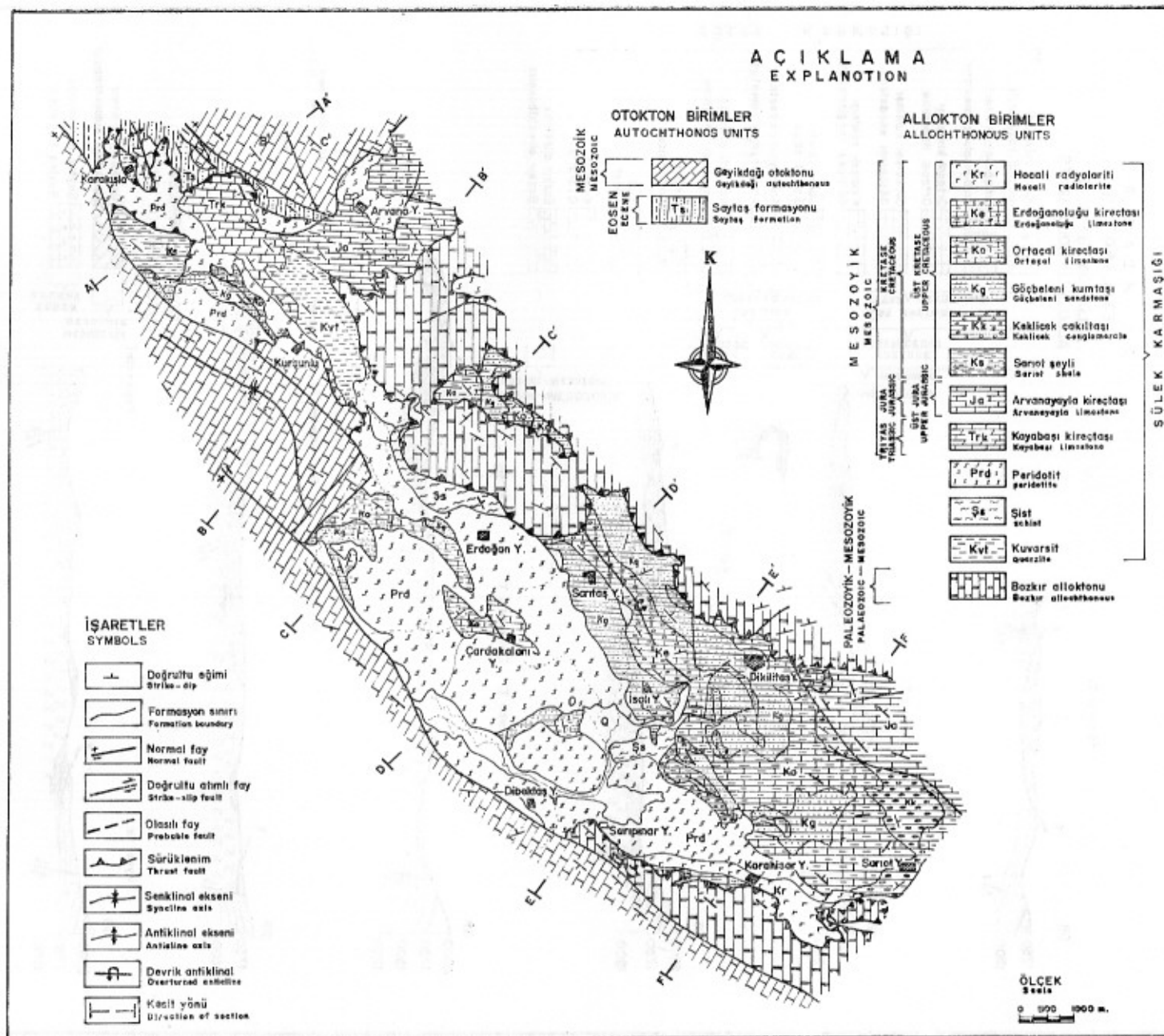
Alg

Lamellibranchia

Ostracod

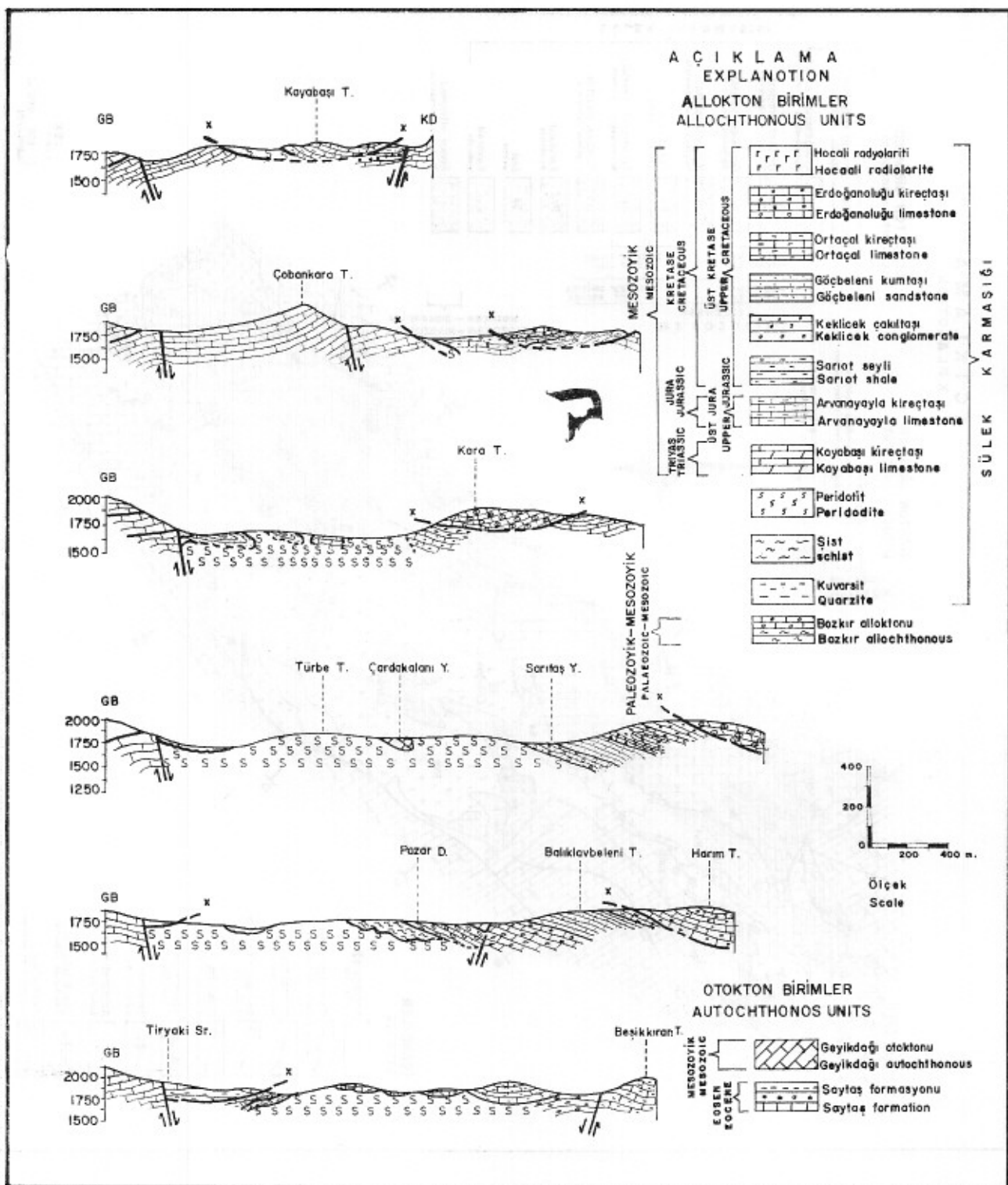
fossil kapsamı ve Torosların çeşitli kesimlerindeki Triyas birimlerinin fasiyes özelliklerinin benzerliği nedeniyle Triyas yaşı verilmiştir.

Kayabaşı kireçtaşı, fosil içeriği, yaş, oluşum ortamı ve tektonik konum bakımından, Akşehir-Yalvac dolayında «Babageçti Kireçtaşı»yla (Demirkol ve di-



Şekil 2 : İnceleme alanının jeoloji haritası.

Geological map of the investigated area.



Sekil 3 : İnceleme alanının enine jeoloji kesitleri.

Figure 3 : Geological section of the investigated area.

ğerleri, 1977); Eğridir dolayında «Ağıkaya Kireçtaşıyla» (Koçyiğit, 1980) Beyşehir-Seydişehir dolayında «Boyalı Tepe Birimiyle» (Brunn ve diğerleri, 1971) eşdeğerde olmalıdır. Beyşehir-Seydişehir dolayında Beyşehir-Hoyran Napı'nın (Gutnic ve diğerleri, 1968) allokton birligini oluşturan «Boyalı Tepe Birimi» Üst Triyas'tan Kretase'ye degen sürekli, sığ-derin denizel ortamlı tam bir istif oluştururken, çalışma alanında bu istifin taban düzeyi, değişik boyutlu olistolitler halinde ofiyolitli karmaşık içinde dağılmış durumdadır.

Arvanayalla Kireçtaşı (Ja) : Açık gri renkli, katmanlanmaz oosparit; siyahumsı, koyu gri renkli orta katmanlı sparit; beyazumsı, açık gri, katmanlanmaz, yarı kristalize, şeker dokulu, yer yer çört yumruları içeren sparit olmak üzere sığ denizel ortamı karakterize eden litofasiyeslerle temsil edilir. En büyük ve özgün yüzleklerini Arvana yayla ile Gölcük yayla arasında verir. İslali yayları güneyinde ise katmanlanmaz kesimler yüzeylenir. Ayrıca Çardakalanı yayla da 1 km² lik bir alanda aynı seviyeyi izleme olağanlığı vardır. Birimin oosparitik kireçtaşı düzeylerinde:

Nautiloculina sp.

Trocholina sp.

Pseudocyclammina sp.

Valvulina sp.

Cayeuxia sp.

fossilleri belirlenmiştir. Bu veriler itibarıyle Arvana-yayla kireçtaşına Üst Jura (Malm) yaşı verilmiştir.

Arvanayalla kireçtaşı, yaş, litofasiyes ve ortam koşulları bahımdan Beyşehir güneyinde «Allokton Boyalitepe Birimi» nin orta düzeyleriyle (Brunn ve diğerleri, 1971), Eğridir dolayında «Arızlı ofiyolitli karmaşığı»nın «Suatan kireçtaşı»yla (Koçyiğit, 1980) deneştirilebilir.

Sparit çimento ve oolit allokemler, kireçtaşlarının sığ deniz koşullarında ve enerjili bir kuşakta depolandıklarını vurgular. Masif kireçtaşlarının bir bölümü saha özellikleri ile oolitik barlarını andırırlar ve sınırlı yataş yayılma sahiptirler.

Sarıot şeyli (Ks) : Grimsi yeşil, siyah renkli, ince laminalı ve şisti görünümlü, dağılgan ve kırılgan karakterde şeyller ile temsil edilir. Milimetre boyutundan kilometre genişliğine degen değişen yüzlekler sunar. En büyük yüzüğü Sarıot yayla ve Karacahisar yayla dolayında yer alır. Makaslanmış, çizgisel dizi-limli olistolitler karmaşık için özgün bir özelliktir. Dokanakları, karmaşının diğer bileşenleri ve hamuruyla tektonik ilişkili sunar.

Alınan örneklerin mikroskopik incelemelerinde kayacın demirli enjeksiyonlar içerdiği, hamurun kloritleştiği görülmüşür. Hamur içerisinde kuvars, feldispat parçaları seçilmiştir. Kit fosil içeriğine karşın, ince bantlar halinde birim içinde yer alan kireçtaşlarında izlenen *Globotruncana* sp. ler nedeniyle Sarıot şeyline Üst Kretase yaşı verilmiştir.

Sarıot şeyli, gerek litofasiyes gerekse biyofasiyes özellikleri ile tipik bir derin deniz sedimanıdır. Demirin önemli bölümü ileri diyajenez aşamasında gelişen stiolitler (basınç erimeleri) boyunca şeyller içerisinde yerleşmiştir.

Kekliceç çakıltaşı (Kk) : Pembe-kırmızı, bordo ve grimsi renkli, orta ve kalın katmanlı (20-120 cm), iri ve orta boylu çakılı (tane çapı 10-50 cm) katmanlanmaya paralel yönlenmeli, kumtaşı ve karbonat çimen-tolu, demir enjeksiyonlu çakıltaşları ile temsil olunur.

En geniş yüzlegini Kekliceç dolayında sunar. Bunu dışında Dikilitaş yayla ve İslali yayla yörelerinde küçük yüzleklerle izlenmiştir. Çalışma alanında yaklaşık 4 km² lik bir kesimde yüzeylenir. Göçbeleni kumtaşı ile normal, diğer bileşenlerle tektonik dokanaklıdır. Yer yer ofiyolitli karmaşık içerisinde değişik boyutlu olistolitler şeklinde bulunur.

Çakıllar, rekristalize kireçtaşı, kumlu kireçtaşı, radyolaryalı kireçtaşı ile kuvarsitlerden oluşur. Bağlayıcı, demirli karbonat ve zaman zaman kumlu bir hamurdur. Ancak çakıltaşlarının kit fosil kapsamı yaş belirlemesine olanak vermemiştir. Konum ve litolojik fasiyes itibarıyle birimin Üst Kretasede oluşturduğu söylenebilinir.

Birim, litofasiyes, yaş ve konum itibarıyle «Beyşehir-Hoyran Napı» içerisinde «Cevizli Bademli birimleri»yle benzerlik gösterir (Monod, 1977).

Çakıltaşlarının özellikle bağlayıcı içeresine aşırı miktarda katılan demir ve bunun sonucu fasiyesteki kırmızı rengin yaygınlığı karasal etkenliği vurgular. Bu nedenle Kekliceç çakıltaşları, karadan fazlaca etkilenen sığ bir denizde depolanmış olabilirler.

Göçbeleni Kumtaşı (Kg) : Sarı-kırmızı-bordo renkli, birden fazla litolojiyi içermekle beraber egemen kumtaşı fasiyesi birimlerle temsil olunur.

Kekliceç yayla, Dikilitaş yayla, İslali yayla yörelerinde yaklaşık 11 km² lik bir alanda yüzeylenir.

Alt sınırı Kekliceç çakıltaşı ve Erdoğanoluğu kireçtaşı ile yanal ve düşey, üst sınırı ise Ortaçal kireçtaşı ile düşey geçişlidir.

Katman kalınlığı milimetre ile 1 m arasında değişkenlik gösterir. Bileşenleri asolgun bank ya da mercekler biçiminde polijenik çakıtaşları, ince kırmızımsı marnlı şistler, beyaz-sarı-gri renkli ince katmanlı plaket biçimli kireçtaşları, gri-yeşilimsi renkli şistli kılıstıstırın ardalanmasıyla karakterize edilir. Kumtaşlarından alınan örneklerin mikroskopik incelenmesinde bileşenlerin tane büyüklüğünün 0,06-0,5 mm arasında değiştiği, tanelerin % 90 oranında keskin köşeli kuvars, kalan % 10'un ise feldspat ve çok az sayıda opak minerallerle serizit şistlerden ibaret olduğu belirlenmiştir Bağlayıcının hematit sizıntılı karbonat olması kumtaşına kırmızı rengi vermiştir. Bağlayıcı kısmen kireçlidir.

Birimin diğer bir bileşeni olan alacalı çakıtaşları baskın litoloji olan kuvars kumtaşlarından sonra dikati çeker. Bu çakıtaşlarının bileşenleri çapları 0,5-20 cm arasında değişen, gri-kahverenkli çört, siyah renkli, kalsit damarlı kireçtaşı, gri-beyaz renkli kristalize kireçtaşı, kırmızı renkli radyolarit, diyabaz ve serpentinit parçalarıdır. Bileşenler asolgun olup, kırmızı renkli hamurla çimentolanılmışlardır. Mercek ve banklar biçiminde (1-5 m) ve yer yer katmanlıdır.

Birim fosil kapsamı itibariyle fakirdir. Özellikle kumtaşlarında fosil saptanamamıştır. Çakıtaşları, fosilin izlerini az da olsa taşırlar. Göçbeleni kumtaşı ile geçişli Ortaçal kireçtaşının Üst Kretase yaşında olması nedeniyle bu birimin de aynı yaşta olması gereklidir.

Göçbeleni kumtaşları ile ardaşıklı konglomeratik ve marnlı killi birimler ortam enerjisinin ve derinliğinin periyodik şekilde değiştiğini göstermektedir. Bu nedenle, tüm fasyes oluşuklar için hareketli bir şelf kuşağı düşünülebilir.

Ortaçal Kireçtaşı (Ko) : Gri renkli, laminalı, çamurtaşları ile resifal kireçtaşlarından oluşan bir istifle temsil olunur.

Karacahisar yayla, Sarıot yayla, Dikilitaş yayla, Sütdöküldü ve Ortaçal tepe yörelerinde yüzeylenir. Alt sınırı, Keklicek çakıtaşı ve Göçbeleni kumtaşı ile düşey ve yanal geçişlidir. Üst sınırı ise Bozkır sürükleşimi ile tektonik döküntülerdir. Bu ilişki Dikilitaş yayla kuzey ve doğusunda izlenir.

Tabandan alınan örnekler mikroskopik incelemede çamurtaşlı karekterinde görülmüştür. Koyu gri renkteki bu kayaç ince laminalanma göstermekte olup, pelletlidir. Rengin koyulaştığı yerlerde dolomitleşme izlemiştir, açık gri renk geçiş ile dolomitleşme olayının giderek azaldığı belirlenmiştir.

Birimin daha yukarıda tamamen resif kireçtaşlı karekterindedir. Mikroskopik olarak blyosparit olduğu gözlemlenen bu kireçtaşları yanal süreklilik gösteren yayılımı yanında ofiyolitli karmaşık içerisinde yanal sürekliliği az mercekler biçiminde olistolitler olarak bulunur.

Birimin çeşitli seviyelerden alınan örneklerde;

Orbitoides medius (d'ARCIAC)

saptanmıştır. Bu fosil içeriği itibariyle birime Üst Kretase yaşı verilmiştir.

Ortaçal kireçtaşının fosil içeriği ve litofasiyesi onun magnezyumu bol sig denizel bir ortamda oluştuğunu ve sedimanları içinde yer alması ise, çekim etkisi altında ortam değiştirdiğini belgelemektedir.

Ortaçal kireçtaşı özellikle sahada gözlenen morfolojik yapısı ile tipik bir resifal gelişimi vurgular. Resif gerisi ve yer yer de resif duvarında dolomitleşme yaygındır. Aşırı tuzlu suların diyagenetik etkisi ile dolomitleşen bu düzeylerin ince kesit örneklerinde kalıntı halde birincil kireçtaşı dokusu yer yer izlenmiştir. Resif önü fasyesi yukarıda belirtilen laminalı çamurtaşları ile karekterize olur ve derin denize geçişleri oluşturan bu aralıkta fazlaca blok boyutunda resifal döküntüler izlenir.

Erdoğanoluğu Kireçtaşı (Ke) : Siyah, koyu gri, sarımsı renkte, orta katmanlı (20-40 cm) mikritik kireçtaşları ile temsil edilir.

İsalı yayla, Sarıtaş yayla, Erdoğanoluğu tepe yörelerinde yaklaşık 4,5 km² lik alanda yüzeylenir. Alt sınırı; ofiyolitlerle tektonize, üst sınırı; Keklicek çakıtaşı ve Göçbeleni kumtaşı ile düşey ve yanal geçişli ve Bozkır allokonitonu ile tektonik olarak üstlenmiş durumdadır.

Birim genelde eklemli, eklemeler kalsit dolgulu ve kısa aralıklarla kısmen kıvrımlıdır. Yarı kristalize olması yanında birim tümüyle yatık bir kıvrımın çevreğini oluşturur. Fosil yok denecek kadar azdır.

Alınan örneklerde yapılan mikroskopik çalışmalar birimin, tabanda pelletli olmak üzere tamamen mikritik kireçtaşlarından olduğunu göstermiştir.

Fosil kapsamı yaş verecek nitelikte olmamasına karşın stratigrafik konum itibariyle olasılı olarak üst Kretase yaşı verilmiştir.

Mikritik doku ve pelletlerin varlığı, korunmalı denizel bir lagünde Erdoğanoluğu kireçtaşlarının birliğini gösterebilir.

Hocalı radyolariti (Kr) : Ofiyolitli karmaşığın, gerek hamur bileşenini ve gerekse egemen bileşenlerinden birisini oluşturan kaya türüdür. Radyolaritler Hocaali Yaylasında görüldüğü gibi koyu kırmızı renkli, katmanlanmasız, ezilmiş, breş görünlü, kayma izli, yer yer olistolitler biçiminde yada İsalı yayla dolaylarında olduğu gibi, gri, açık gri, kırmızı, pembe renkli ince katmanlı (2-12 cm), bazen laminalı, çört şeritleri içerikli plajik mikritlerle ardaşıklı, kalsit damarlı ve kıvrımlıdır.

Hocalı radyolaritine, içerisinde ara katman olarak bulunan pelajik kireçtaşları **Globotruncana** sp. ari içerdiginden Üst Kretase yaşı verilmiştir.

Hocalı radyolariti ofiyolit oluşumu ile direkt ilişkide gelişmiş olup, derin bir denizi simgeler.

Ofiyolitler :

Peridotit : Yeşil, koyu yeşil, siyah renkli, büyük oranda serpantinleşmiş harzburgit ve lerzolitlerle temsil edilir.

Birkaç metreküp boyutunda blok büyüklüğünden kilometrelere varan uzunlukta bloklara得分 değişen yüzlekler sunar. Karacahisar yayla, Sarıtaş yayla, Dibektaş yayla, Çardakalanı yayla, Erdoğan yayla, Karaklışa yayla, Arnava yayla yörelerinde yüzeysel. Birim tüm bileşenlerle tektonik dokanaklıdır. Ayrıca, Karaklışa yayla ve Tinaz tepe güney eteklerinde otokton birlük üzerinde yine tektonik ilişkilidir. Dokanak boyunca bresleşmiş, kireçtaşı ise parlak cılız yüzeyli, kayma izli, kayma-kırılma yüzeylidir. Blok ve olistolitler şeklinde kireçtaşları barındırır.

Yer yer düzensiz eklemlerle kesilmiştir. Eklemler doğrultusunda damalar halinde krizotilasbestler gelmiştir. Yer yer de kromit cepleri içerir.

Lerzolitler; olivin, ortopiroksen, klinopiroksen ve kromit içerirler. Olivinler ileri derecede serpantinleşmiştir. Ortopiroksenler fazlaca altere olmuş ve genellikle eksoluşyon lamelleri gelişmiştir. Eksoluşyon lamelleri klinopiroksendir. Kromitler ise interstitial konumlu ve iskelet biçimlidir. Kayaç tümüyle kataklastik deformasyon gösterir.

Harzburgitlerde ise; Olivinler % 90 serpantinleşmiştir. Olivinler piroksen kapsarlar. Ortopiroksenler ileri derecede altere olmuş ve eksoluşyon lamelleri gelişmiştir. Bazı örneklerde kromitler de izlenmiştir. Bunlar interstitial olarak iskele tibiçimli ortopiroksenlerden gelişmiştir. Kayaç, lerzolitlerde olduğu gibi kataklastik deformasyon gösterir.

Gabro : Ofiyolitli karmaşığın sık rastlanan bileşeni olmasına karşın küçük yüzlekler nedeniyle haritalanmamıştır. Ancak Peridotitlerle birlikte hemen hemen her alanda rastlama olanağı vardır.

Kayaç makroskopik olarak koyu yeşil renkte mafik mineraller ve ayrılmış feldspatlardan oluşmuştur. Mikroskopik incelemede ise; holokristal doku içinde ksenomorf plajiklaslar gözlenmiştir. Ayrıca serpentinleşmiş olivin ve inklüsyonlar halinde manyetitlere rastlanılmıştır. Ayırışma ürünü serpentin ve demir oksitleri dikkati çeker.

Şistler : Kalkıştalar temsil olunan yerel bloklar halindedir. Haritalanabilecek büyülüklük olanları yanında küçük yüzlekler şeklinde izleme olanağı vardır.

İsalı yayası güneyinde 1 km² lik bir alanda en geniş yüzeyini verir. Bunun dışında çalışma alanının birçok yerinde küçük yüzlekler sunar.

Şistler yer yer mermer band ve mercekleri de içerirler.

Kalkıştalar, koyu yeşilimsi renkli olup, mineral bileşimlerine göre bunlar «kalsit-epidot-albit-kuvars» şistlerdir. Mikroskopta, iri merceksel kristaller halinde, kalsit taşın önemli bileşenini oluşturur. Küçük prizmatik kristaller halinde sarımsı yeşil renkli epidotlar şistoziteye paralel dizilmiş olarak gözlenir. Kaşaça epidotça ve kuvarsça zengin bileşikler ardalanma yanında plajiklaslarda kalıntı zonlu yapı ve bazlarında da korunmuş idiomorfik yapı görülür. Kuvars Ksenoblastları, mermer bantları içinde yer almaktadır.

Kuvarsitler : Sülek karmaşının fazla yaygın olmamakla birlikte önemli bileşenlerindendir. Karaklışa yayla, Erdoğan yayla kuzeyi, Kurşunlu yayla kuzeybatisında yaklaşık 4 km² lik bir alanda yüzeysel. Diğer bileşenlerle tektonik ilişkilidir. Orta ve kalın (30-150 cm) olarak izlenen katmanlarda sarımsı-gri renk egemendir.

Mikroskopik incelemede genelde tane destekli olarak görülmüştür. Hamur çok azdır. Kayaçta kısmen rekristalizasyon izleri vardır.

Metaçörtler : Yerel yüzeysel meler şeklinde izlenir. Kahverengi, sarı, grimsi renklerde olup diğer bileşenlerle birlikte mercekler şeklinde görülür. Buna-

lar, kırılma klivajları ve deform olmuş lineasyonlar ile mesoskopik yapı kazanmışlardır. İnce kesitlerinde, ksenoblastik dokuda kuvars, serizit pulcukları, klasit kristalleri ve opak mineraller izlenmiştir.

TEKTONİK EVRİM

Sülek karmaşığının bileşenleri,larında tektonik dokanak ilişkisi sunmaktadır. Bu ilişki, kesme ve kırılmayı belirleyen cılız yüzeyler, sürtünme ve ezipme breşleri, kayma izleri, değişik ortam ve yaşı kaya türlerinin yanına ya da üst üste gelmiş bulunması şeklinde gözlenebilir.

Gerek karmaşığın bileşenleri arasındaki tektonik dokanak ilişkisi, gerekse her bir bileşenin taşıdığı tektonik deformasyon izleri, Sülek Karmaşığının tektonik kökenli bir karışım olduğunu kanıtlar göründedir.

Levha tektoniği kuramı gözöniine alırsa, Sülek karmaşığı ve onun oluşum ortamının bu kuram sürecinden geçtiği söylenebilir. Çalışma alanı ve yakın çevresinde geniş yayılım gösteren Sülek karmaşığı ve onu oluşturan bileşenlerin coğunuğu, oluşum bakımından hiçbir zaman okyanusal havza niteliği kazanmamış olan Geyikdağı otohtonuna özellikle ortam bakımından yabancıdır. Bu nedenle Sülek karmaşığının oluşum ortamının, çalışma alanının ve belki de Toros Kuşağı dışında aranması gerekdir.

Toros ve Pontidler arasında Mesozoyik'te açılma başayan ve Tétis olarak adlandırılan okyanusal havzanın geliştiği bilinmektedir. Bu havzanın evrimi ile kısaca şöyle olmuştur; Olasılıka Üst Jurasik-Alt Kretase sırasında levhaların hareket yönü terslenmiş, Olasılıkla Senonyen'de, levhaların çarpışmasıyla ilk ofiyolit üzerlemesi olmuş ve Miyosen sonunda da Tetis okyanusu tümüyle kapanmıştır. Çalışma alanını da kapsayan Toros Kuşağı'nın da içinde bulunduğu Alp-Himalya dağoluşum kuşağıının şekillenmesi bu levhasal yaklaşma ve kapanmaya yorulmaktadır. (Dewey ve diğerleri, 1973; Smith, 1971). Bugün «Orta Anadolu Ofiyolit Kuşağı» olarak bilinen ve İzmir-Ankara-Erzurum boyunca yüzeysel karmaşık yukarıda sözü edilen yitmenin izi, Tetis Okyanusal kabuğunun kalıntısıdır (Brunn ve diğerleri, 1979). Ayrıca bu okyanusal kabuğun kalıntıları ofiyolitler, tümüyle allokon, glaukofanist içeren melanj özelliğinde olup, Menderes masifi kuzeyinde ona bindirmiş durumda-

dir (Bingöl, 1976; Poisson, 1977). Diğer taraftan Triyastan Lütesyen'e degen süreklilik gösteren ve çoğu platform, zaman zaman da platform kenarı türünde gelişen kayaların oluşturduğu Toros Otokton Platformu'nun gerek litofasiyes, gerekse geometrik şekil bakımından Afrika Levhası'nın kuzey kesimine ait olduğu da belirtilmektedir. (Brunn ve diğerleri, 1971; Dewey ve diğerleri, 1973; Ricou ve diğerleri, 1975; Gutnic ve diğerleri, 1979; Marcoux, 1979). Çalışma alanı ve onun dışındaki Toros Kuşağı'nın diğer kesimlerde yüzeysel ofiyolit karmaşığın bileşenleri ise, çoğunlukla okyanusal havza ve platform kenarına özgü, Triyast-Maestrichtiyen yaşlı kayalardır. Bu nedenle Sülek karmaşığı Afrika Levhası Platformu üzerine Kretase sonunda üzerlenmiş Tetis Okyanusal kabuk kalıntıları olarak düşünülebilir. Ancak Sülek karmaşığının bugünkü konuma, bir başka ifadeyle Geyikdağı otohton karbonat platformu ve onun en üst birimini oluşturan fliş özellikli Saytaş formasyonu üzerine gelişi ise, çok daha sonra (Priyaboniyen) olmuştur.

Toros Kuşağı'nda, allokon kaya topluluklarının tektonik hareketi ve hareket yönü hakkında bulgular eskidir. Blumenthal (1944-1963) Toroslar'ın değişik bölgelerinde yaptığı çalışmalarla büyük bir allokon kütlenin varlığını saptayarak onu «Hadim Napi» olarak adlamış ve kütlenin KD'dan GB'ya doğru 80 km kadar devinmiş olduğunu savunmuştur. Ricou ve diğerleri (1975) Likya ve Batı Toroslar'daki allokon kütler için kuzeye ortak bir kökenin varlığından sözetsmektedirler; Monod (1977) ise, «Beyşehir-Hoyran Napi»nın, bu napın güneyinde (Bademli-Seydişehir) gelişmiş GD'ya doğru devinerek yerleştiğini vurgulamıştır. Diğer taraftan Özgül (1971), Bozkır-Hadim doğayındaki allokon kütlerin hem KD'ya hem de GB'ya hareket ettiğini gösteren verilerden bahsetmiştir.

Çalışma alanında Saritaş yayında izlenebilen devrik antikinal itkinin KD'dan geldiğine işaretir. Ege men kuvvetin bu yönden olması, sürüklendirme düzlemlerinin KD'ya eğilimli olması ve ofiyolit dışında, alanda mevcut olan ve burada incelemesini sunmadığımız çevre kayaçlarındaki egemen eklemler itkinin KD'dan geldiğini kanıtlar.

Sülek karmaşığının tektonik bir hatla üzerinde yer aldığı en geç birim Lütesyen yaşlıdır. Çalışma alanı dışında Bozkır batısında ise karmaşık üzerine uyumsuzlukla gelen birimin yaşı ise Oligosen'dir. Bu nedenle karmaşığın alana yerleşim yaşı Lütesyen sonrası ve Oligosen öncesi olmalıdır. Bu da Priyaboniyen yaşını verir.

SONUÇLAR :

Bu çalışma ile aşağıdaki sonuçlara varılmıştır.

1. Sülek karmaşığının hareket yönü, KD'dan GB'ya doğrudur.
2. Sülek karmaşığının oluşum yaşı, içerdiği en genç bileşenlerine göre Maestrichtiyen sonudur.
3. Sülek karmaşığının bölgeye yerleşim yaşı Lütesiyen sonrası yani Priyaboniyendir.
4. Sülek karmaşığı sedimanter, ofiyolit ve metamorfiterden oluşan tektonik bir melanjdır.

KATKI BELİRTME :

Yazar, araştırmaya katkısı bulunan M.T.A. Enstitüsü Genel Müdürlüğü'ne ve çalışmanın yönlendirilmesi ve sonuçlandırılmasında emeği geçen sayın Prof. Dr. Fikret Kurtman'a (S. Ü.) teşekkür eder.

DEĞİNİLEN BELGELER

Blumenthal, M., 1941, Niğde ve Adana vilayetleri dahilinde Toroslar'ın jeolojisine umumi bakış : MTA Enst. Derg., No. 6, 48, Ankara.

Blumenthal, M., 1944, Bozkır güneyinde Toros sıradağlarının serisi ve yapısı : İst. Üniv. Fen Fak. Mec., Seri B, 9, 2, 95-125.

Blumenthal, M., 1947, Seydişehir-Beyşehir hinterlandındaki Toros dağlarının jeolojisi : MTA Enst., No. 2, 242, Ankara.

Blumenthal, M. ve Göksu, E., 1949, Akseki civarındaki dağlarda boksit zuhuratu, bunların jeolojik durumu ve jenezi hakkında izahat: MTA Enst. Derg., Seri B, No. 14.

Blumenthal, M., 1949, Batı Toroslarda Alanya arası ülkesinde jeolojik araştırmalar : MTA Enst. No. 5, 194.

Blumenthal, M., 1956, Karaman-Konya havzası güneybatısında Toros kenar silsileleri ve sistemi Radiolarit formasyonunun stratigrafisi meselesi : MTA Enst. Derg., 48, 1-36.

Blumenthal, M., 1963, Le Systeme structural du Taurus Sud-Anatolien, Livre à la Mémoire du Prof. P. Fallot da : Mem. hsser., Soc. Geol. De France, 11, 611-662.

Brinkmann, R., 1976 Türkiye jeolojisine giriş : Ege Univ. Fen Fak. Kitapları Serisi, No. 4, İzmir.

Brunn, J.H., Dumont, J.H., De Graciansky, P. Ch., Gutnic, M., Juteau Th., Marcoux, J., Monod, O ve Poisson, A., 1971, Outline of the Geology of the Western Taurides, in «Geology and History of Turkey» : Ed. A.S. Campell, Petroleum exploration Society of Libya, Tripoli, 225-255.

Demirkol, C., 1977, Yalvaç-Akşehir dolayının jeolojisi : Doçentlik tezi, Konya Selçuk Üniv. Fen Fak. Yerb. Böl.

Dewey, J.F., 1972, Plate tectonics : Eci. Amer. pp. 56-68.

Gutnic, M., Kelter, D. ve Monod, O., 1968, Decouverte de nappes de charriage dans le nord du Taurus occidental (Turquie meridionale) : C.R. Acad. Sci., Paris, 226, 988-991.

Koçyiğit, A., 1980, Hoyran Gölü yöreninin (Afyon-İsparta) statigrafik ve tektonik özellikleri : Doçentlik Tezi. Ankara Ü. Fen Fakültesi.

Marcoux, J. ve Poisson, A., 1972, Une nouvelle unité structurale dans les nappes les nappes d'Antalya : la nappe inférieure et ses séries Mésozoïques à radiolarites (Taurides occidentales, Turquie) : C.R. Acad. Sci., Paris, 275, 655, 658.

Monod, O., 1977, Recherches géologiques dans le Taurus occidental et sud de Beyşehir (Turquie) : These d'état. I'Univ. de Paris Sud. Orsay, 442.

Ozçelik, O., 1984, Toroslar'da Bokır yöreninin jeolojisi, tektonik evrimi ve petrol olanakları, Doktora tezi, Selçuk Üniversitesi.

Özgül, N., 1971, Orta Toroslar'ın kuzey kesiminin yapısal gelişiminde blok hareketlerinin önemi : Türkiye Jeol. Kur. Bült., VIV, 1, 85-101.

Özgül, N., 1976, Torosların bazı temel jeoloji özellikleri : Türkiye Jeol. Kur. Bült., 19, 1, 65-78.

Pınarbaşı ve Yahyalı (Kayseri) Civarındaki Triyas Kayalarının Stratigrafik Özellikleri

STRATIGRAPHIC FEATURES OF THE TRIASSIC ROCKS IN THE REGIONS OF PINARBAŞI AND YAHYALI (KAYSERİ)

FUAT ÖNDER : Cumhuriyet Üniversitesi, Müh. Fak. Jeoloji Müh. Böl. SİVAS.

ÖZ : Triyas yaşı kayaların stratigrafik özelliklerini açığa çıkarmak için çeşitli örnekler Kayseri ili civarındaki Pınarbaşı ve Yahyalı yörelerinden toplanmıştır. Genellikle kireçtaşı olan örnekler foraminifer, megalodont, gastropod ve alg gibi çeşitli fosiller içerirler. İki yöreden de toplanan kireçtaşı örnekleri Zankl (1971)'in Avusturya'da «Dachstein» fasiyesi olarak tanımladığı gibi sıg su platform ortamı özelliklerini göstermektedir.

ABSTRACT : In Kayseri, the several rock sample which have been collected to clarify the study of Triassic stratigraphy have been taken from the Pınarbaşı and Yahyalı regions. Outcrops which are mostly grainy limestone, contain foraminifers, megalodonts, gastrropods and algae. These limestone from the both areas suggest that this was a shallow marine platform environment, as Zankl postulated for the Dachstein facies of Austrian in 1971.

GİRİŞ

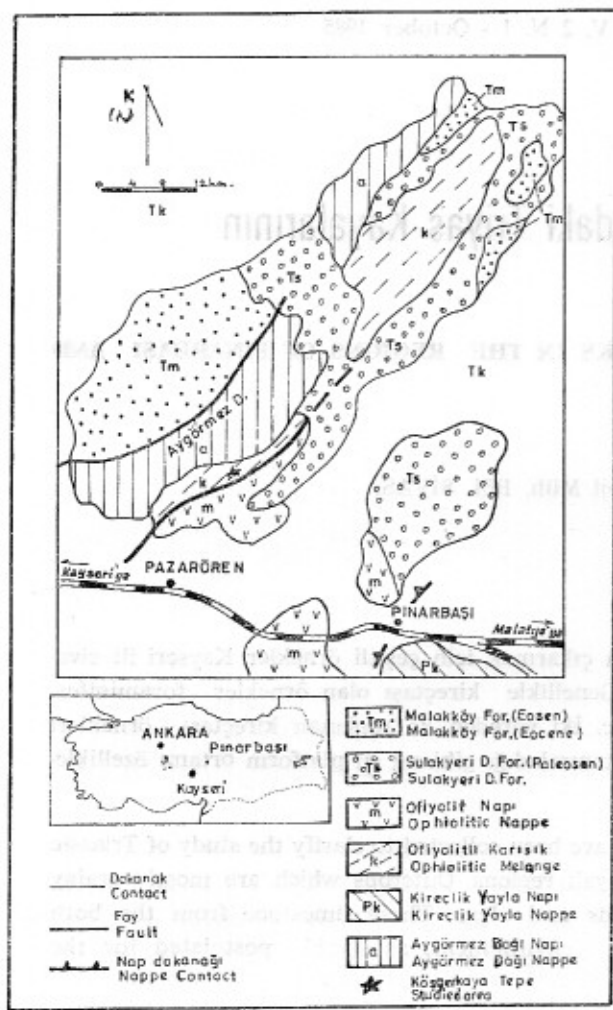
Bu çalışmada incelenen örnekler Doğu Toroslar'da Kayseri'nin kuzeydoğusundaki Pınarbaşı ve güneyindeki Yahyalı ilçeleri civarında toplanmıştır. (Şekil 1 ve 2). Bu ilçeleri içine alan yörede eski çalışmaçılardan genellikle jeolojik harita alımını gerçekleştirmiştir, fakat bazı temel jeolojik ve stratigrafik problemlere değinmemiştirler. Son yıllarda ise Torosların bu bölümünde stratigrafik ve yapısal problemlere eğiilen çalışmalar hızla artmıştır (Örneğin Yoldaş 1972; Özgül ve diğerleri 1973; Altiner 1984, Özer ve diğerleri 1984).

BİRİMLERİN ÖZELLİKLERİ

Köşgerkaya Tepe Kireçtaşı

Pınarbaşı civarından toplanan örnekler «Köşgerkaya Tepe Kireçtaşı» (Şekil. 1) Üyesinden alınmış olup üyenin adlaması Özer ve diğerleri (1978) tarafından MTA raporlarında yapılmış fakat yayınlanma-

mıştır. Allokton olan bu üye Melikgazi ve Yereğen'in kuzeyinde yer alan Köşgerkaya Tepe'de yüzeylenir. Yöredeki tektonik etkinliklerden dolayı tabakalanma iyi izlenmeyip kireçtaşı örnekleri de bol kırıkçı, çatlaklı ve kalsit dolguludur. Bu nedenle gerçek kalınlık ölçülememiş ancak kalınlığın 50-60 metre olduğu tahmin edilmiştir. Özer ve diğerleri (1984) yörede yapıtları çalışmada farklı stratigrafik dizilim ve yapısal konum gösteren birimleri otokton birim, allokon birimler, ofiyolitli karışık, metamorfik ofiyolitli karışık ve ofiyolit napı olarak 5 guruba ayırmışlardır. Bu çalışmada örneklemesi yapılan Köşgerkaya Tepe Kireçtaşı Üyesi ise tabanında yeşil-gri renkli siplilitik kayaların yer olması nedeni ile «Ofiyolitik karışık» içerisinde blok olarak nitelenmiştir. Özer ve diğerleri (1984) bu ofiyolitli karışık içerisinde yer alan tortul kayalarının Jura-Üst Kretase yaş aralığında olduğunu belirtmelerine rağmen yapılan çalışmada bu tortulların yaşlarının Orta-Üst Triyasdan başladığı tespit edilmiştir.

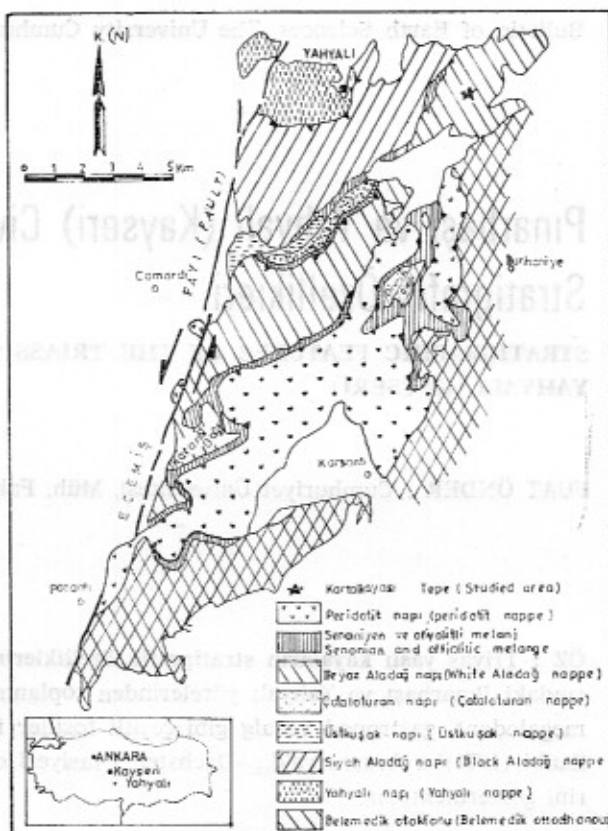


Şekil 1 : Çalışma alanını (Pınarbaşı) gösteren yapısal harita, (Özer ve diğerleri 1984).

Figure 1 : Structural map of Pınarbaşı showing the studied area (Özer ve al 1984).

Bu üyenin alt kesimlerinde toplanan örnekler gri renkli rekristalize kireçtaşları olup ince kesitlerinde orijinal tekstürleri belirgin olmamasına rağmen mikrit oldukları sanılmaktadır. Bunların üzerine mikritize olmuş, ince taneli ve foraminifer içeren mikrosparit gelmektedir. Bunlar yerel olarak oolit, bir kaç büyük intraklast ve bilyoklast da içermektedirler. Ayrıca bazı ince kesitlerde onkolitik yapılarda gözlenmiştir. Bu seviyelerde yarım metre kalınlığında, bir kaç metre uzunluğunda formasyon içi kireçtaşı konglomerasıda tesbit edilmiştir.

Üyenin üst kısımları ise gri, açık gri renkli biyomikrit olup altındaki tabakalar üzerinde uyumlu olarak yer alırlar. İnce kesitlerde yer yer zengin ekinit parçaları, mikritize bilyoklastlar, bir kaç büyük in-



Şekil 2 : Çalışma alanını (Yahyalı) gösteren yapısal harita (Tekeli, 1980).

Figure 2 : Structural map of Yahyalı showing the studied area (Tekeli, 1980).

traklast ve altere olmuş taneler görülebilmektedir. Ayrıca arazide megalodont izleride gözlenmiştir. En üstte gelen seviyeler ise açık gri ve beyaza yakın renkli foraminiferli mikrosparit olup az miktarda intraklast, gastropod parçaları ve onkolit içerirler. Taneli görünümde olan bu kireçtaşları genellikle çok ileri düzeyde rekristalize olup allokom izlerini kapsayan ikincil tekstür gösterirler. Ayrıca yer yer dolomitleşme, didolomitleşme gösteren örneklerde rastlanılmıştır. Bütün bunlara rağmen özellikle üst seviyelerden alınan örneklerde Orta-Üst Triyas yaşı veren foraminiferlere rastlanmıştır. (Levh 1 ve 2) : *Glomospirella friedli* Kristan-Tollmann, *Involutina communis?* (Kristan), *I. sinuosa cf. pragsoides* (Oberhauser), *I. gaschei* (Koehn-Zaninetti-Brönimann), *Involutina* sp., *Endothranella* sp., *Valvulinidae*.

Kartalkaya Tepe Kireçtaşı

Yahyalı civarından toplanan örnekler Kartalkaya Tepe Kireçtaşına (Şekil 2) ait olup birim Ala-

dağların Adana ve Kayseri illeri arasında yer alan kısmında yüzeyselinde. Bu birim Tekeli ve diğerleri (1984) tarafından Yahyalı Grubu içinde yer alan «Beyaz Aladağ Formasyonuna» dahil edilmiştir.

Gri, açık gri ve yer yer açık kahverengimsi gri renkli olan taneli görünümü bu kireçtaşları orta ve kalın tabakalı olup megalodont, gastropod ve foraminifer gibi fosiller içerirler. İnce kesitlerinde çok fazla mikritize oldukları dikkat çeken örneklerin cimentosu ve allokomeleri zorlukla tanımlanmaktadır. Genel olarak çimento alt seviyelerde mikrit üstde doğrudır ise sparitdir. Biyomikrosparit olarak adlanan örneklerde tanımlanabilen allokomeler ise algal orijinli intraklastlar; gastropod, foraminifer ve alglerden oluşan biyoklastlar ve onkolistik yapılar ile tanımlanmayan kabuksal parçalarıdır. Tekeli ve diğerleri (1984) tarafından Beyaz Aladağ formasyonunun yaşı Üst Triyas-Alt Jura olarak belirtilmiş olup bizim örneklerimizde ise Üst Triyas foraminiferleri tespit edilmiştir (Levha 3 ve 4) : *Involutina sinuosa oberhauseri* (Salaj), *I. sinuosa* *sinuosa* *sinuosa* (Weynschenk), *Trocholina multispira?* Oberhauser, «*Trocholina*» *procera* (Liebus), *Trochammina alpina* Kristan-Tollmann, *Trochammina* sp., *Endothryanella* sp., *Varistomatidae*, *Textularidae*.

SONUÇLAR

Tekeli (1980) Aladağların yapısal evrimi üzerine görüşlerini aktarırken 3 farklı dönemi vurgulamış ve ona göre birinci dönem Üst Triyas - Alt Kretase zaman aralığını kapsayan duraylı kıta kenarı; ikinci dönem Senonyen'de kıta kenarının bozulması ve ilk ofiyolit yerleşmesinin oluşumu ve üçüncü dönem ise Maestrichtyen'de oluşan kıta kenarının naplanması ve peridotit napın yerleşmesidir. Triyasin Toroslar'da gözlenen çok değişik fasyelerini ortaya koymak amacı ile başlatılan araştırmaların (Önder 1982, 1984) bir bölümünü içeren bu çalışmada ise incelenen kireçtaşları açık denizle zaman zaman bağıntısı olan sıçan deniz karbonatlarının özelliklerini taşımaktadır. Bu nedenle sıçan su platform karbonatları olarak yorumlanan Avusturya'daki «Dachstein» fasyesi (Zankl 1971) ile benzerlik göstermektedir.

KATKI BELİRTME

Bu araştırmaya gerek saha çalışmaları ve gereksin de daha sonraki aşamalarda her türlü yardımcı esirgemeyen; gerçekçi ve yapıcı eleştirileri ile çalışmaya

yön veren MTA-Temel Araştırmalar biriminden Siyami Özer, İsmail Terlemez, Muhsin Sümengen ve Beşik Ürgün'e teşekkür ederim.

DEĞİNİLEN BELGELER

Altiner, D. 1984, Upper Permian foraminiferal biostratigraphy in some localities of the Taurus Belt: In Geology of the Taurus Belt. International symposium volume edited by O. Tekeli and C. Göncüoğlu (ISGT, Sept. 1983).

Önder, F. 1982, New micropaleontological data and stratigraphical investigation of the Triassic rocks of the Central Taurus Mountains-Turkey: Thesis, Univ. Southampton-England, 228p., 29pl., 26 fig., 8 tab.

Önder, F. 1984, Some concepts on the stratigraphical and environmental investigation of the Triassic rocks of Central Taurus Mountains: In Geology of the Taurus Belt. International Symposium volume edited by O. Tekeli and C. Göncüoğlu, (ISGT, Sept. 1983).

Özer, S. Terlemez, İ. Sümengen, M. Erkan, E. 1984, Pınarbaşı (Kayseri) çevresindeki allokon birimlerin Stratigrafisi ve yapısal durumları: Türkiye Jeoloji Kurumu Bülteni C. 27; S. 1; 61-68

Özgül, N. ve diğerleri, 1973, Tufanbeyli dolayının Kambriyen ve Tersiyer kayaları: Türkiye Jeoloji Kurumu Bülteni C. 16; S. 1; 82-100.

Tekeli, O. 1980, Toroslarda Aladağların yapısal evrimi: Türkiye Jeoloji Kurumu Bülteni : C. 23, S. 1; 11-14.

Tekeli, O., Aksoy, A. Ürgün, B.M., Işık, A. 1984, Geology of the Aladağ Mountains. In Geology of the Taurus Belt. International Symposium volume edited by O. Tekeli and C. Göncüoğlu (ISGT, Sept. 1983).

Yoldaş, R. 1972, Sarız (Kayseri) dolayının jeolojisi ve petrol olanakları (Elbistan L36-b2 ve L37-al paftaları): MTA rap. no: 4729 Ankara, Yayınlanmamış.

Zankl, H. 1971, Upper Triassic Carbonate Facies in the Northern Limestone Alps: Int. Sed. Congress Guidebook VIII : 147-179.

ve kalsiyum karbonat tuzundan (KCL) tuzlu suyu
ve dolomit tuzundan (MgCl₂) tuzlu suyu
bağışıklık gösteren tuzlu suyu da
bulundu.

İçindeki tuzluların tuzlu suyu da, dolomit
ve dolomitos tuzlu suyu da, dolomitos
tuzlu suyu da, dolomitos tuzlu suyu da
LEVHA 1

A — Köşgerkaya Tepe Üyesinde (Pınarbaşı) gözle-
lenen formasyon içi kireçtaşı konglomerasını
gösteren mikrofotoğraf. Fotoğrafda sağ köşede
yer alan geniş-köşeli kırmızı kireçtaşı parçası-
nın beyaz ve yuvarlak organik parçalar içeri-
diği görülmekte (Kayseri, TPK77-113).

B — Mikrosparit içinde ekinit parçalarını gösteren
mikrofotoğraf (Kayseri, TPK-77-116)

C — Büyüük intraklast (5 mm'den büyük) ve for-
aminifer içeren taneli görünümlü kireçtaşından
çekilmiş mikrofotoğraf. Foraminiferlerin [*Involutina sinuosa* cf. *pragsooides* (Ober-
hauser)] içi yapıları rekristalizasyon nedeni ile
yok olmuş. Sağda görülen iri intraklast parça-
sı içinde ise didolamitleşmeyi gösteren romboi-
dal kristaller vardır (Kayseri, TPK-77-127).

D — Kötü boyanmalı, foraminiferli mikrospariti
gösteren bir mikrofotograf. *Endothranella* sp.
ve alg parçaları gözlenmeye (Kayseri, TPK-
77-128).

İçindeki tuzluların tuzlu suyu da, dolomitos
tuzlu suyu da, dolomitos tuzlu suyu da
bağışıklık gösteren tuzlu suyu da, dolomitos
tuzlu suyu da, dolomitos tuzlu suyu da
bulundu.

İçindeki tuzluların tuzlu suyu da, dolomitos
tuzlu suyu da, dolomitos tuzlu suyu da
bağışıklık gösteren tuzlu suyu da, dolomitos
tuzlu suyu da, dolomitos tuzlu suyu da
bulundu.

İçindeki tuzluların tuzlu suyu da, dolomitos
tuzlu suyu da, dolomitos tuzlu suyu da
bağışıklık gösteren tuzlu suyu da, dolomitos
tuzlu suyu da, dolomitos tuzlu suyu da
bulundu.

İçindeki tuzluların tuzlu suyu da, dolomitos
tuzlu suyu da, dolomitos tuzlu suyu da
bağışıklık gösteren tuzlu suyu da, dolomitos
tuzlu suyu da, dolomitos tuzlu suyu da
bulundu.

İçindeki tuzluların tuzlu suyu da, dolomitos
tuzlu suyu da, dolomitos tuzlu suyu da
bağışıklık gösteren tuzlu suyu da, dolomitos
tuzlu suyu da, dolomitos tuzlu suyu da
bulundu.

PLATE 1

A — Photomicrograph of intraformational limestone conglomerate in the Köşgerkaya Tepe Member (Pınarbaşı). Note the large, subangular, red limestone clast containing small, white circular organic bodies on the right edge of the photomicrograph (Kayseri, TPK-77-113).

B — Photomicrograph of biomicrospar showing echinoids debris in microspar (Kayseri, TPK-77-116).

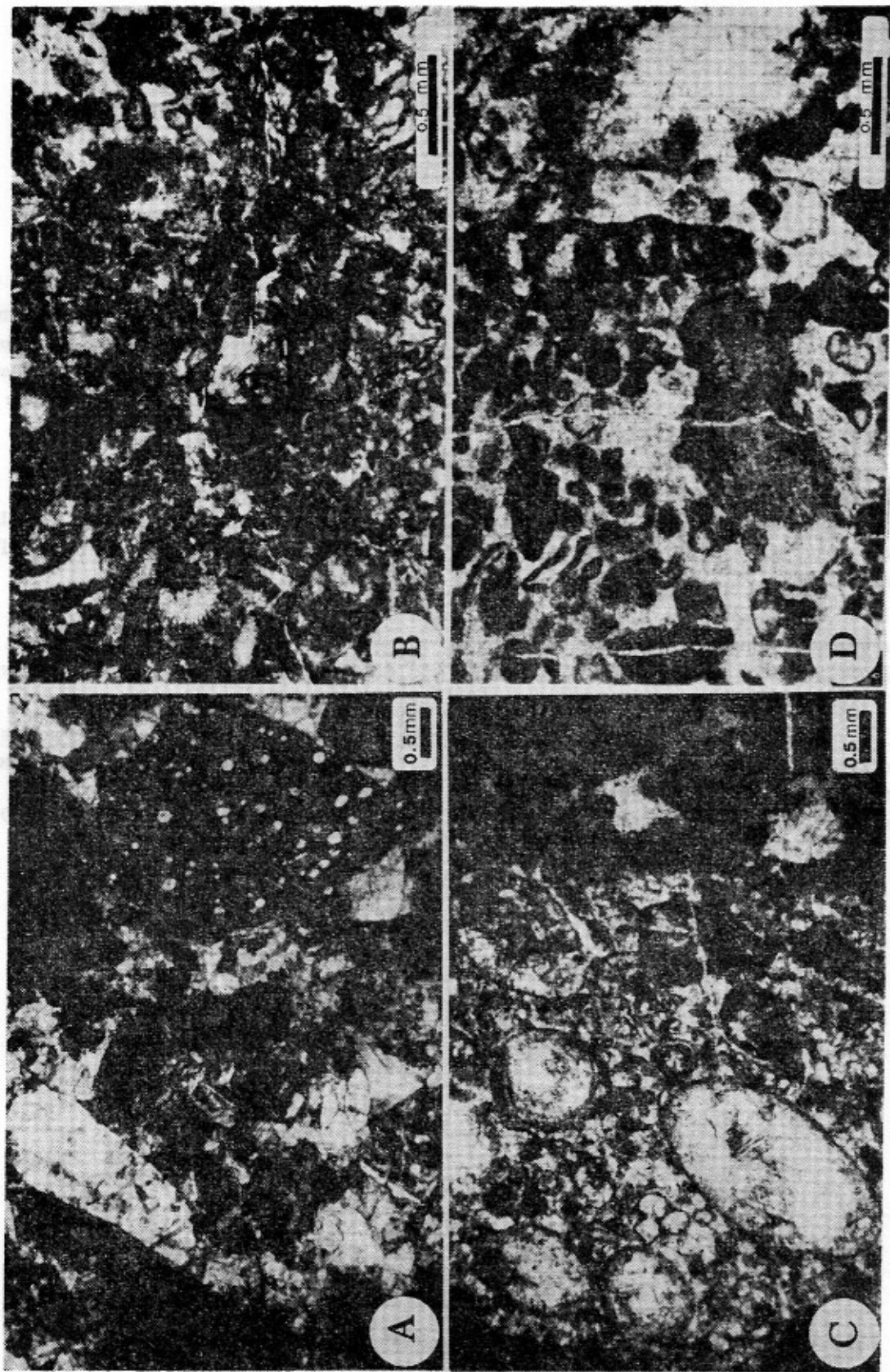
C — Photomicrograph of poorly sorted grainy limestone showing large intraklasts (bigger than 5 mm) and foraminifers: *Involutina sinuosa* cf. *pragsooides* (Oberhauser) with internal structures destroyed by recrystallization (ellipsoidal or circular shapes in the left half of the plate). Note the large intraklast on the right containing rhomboidal crystals which indicate dedolomitization (Kayseri, TPK-77-127).

D — Photomicrograph of poorly sorted foraminiferal microsparite showing *Endothranella* sp. and algal lumps (Kayseri, TPK-77-128).

İçindeki tuzluların tuzlu suyu da, dolomitos
tuzlu suyu da, dolomitos tuzlu suyu da
bağışıklık gösteren tuzlu suyu da, dolomitos
tuzlu suyu da, dolomitos tuzlu suyu da
bulundu.

PLATE 2

İçindeki tuzluların tuzlu suyu da, dolomitos
tuzlu suyu da, dolomitos tuzlu suyu da
bağışıklık gösteren tuzlu suyu da, dolomitos
tuzlu suyu da, dolomitos tuzlu suyu da
bulundu.



LEVHA 2

PLATE 2

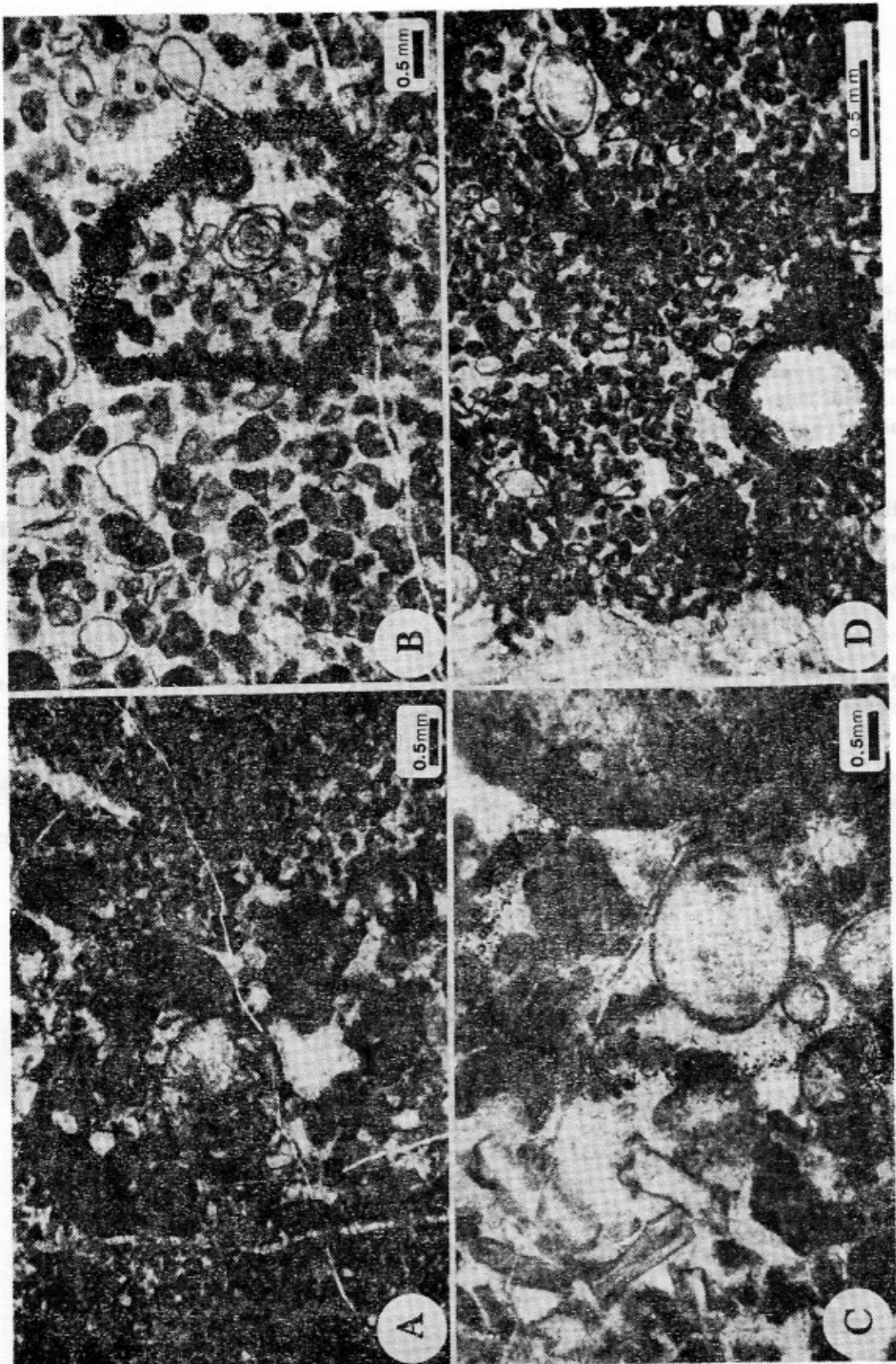
- A — Köşgerkaya Tepe'den alınmış kötü boylanmalı bir foraminiferli mikrospariti gösteren mikrofotoğraf. Algal yapıların yanı sıra ortada *Involutina gaschei* (Koehn-Zaninetti-Bröniemann) görülmekte (Kayseri, TPK-77-129 A).
- B — Birkaç pellet içeren foraminiferli mikrospariti gösteren mikrofotoğraf. Siyah işaretle *Glomospirella friedli* Kristan-Tollmann gösterilmiştir. (Kayseri, TPK - 77 - 130)
- C — Aynı örnekten alınmış bu mikrofotograf ise *Involutina sinuosa* cf. *pragsoides* (Oberhauser)'i gösteriyor.
- D — Yine aynı mikrosparitden çekilmiş başka bir resim, *Involutina* cf. *communis* (Kristan)'ı gösteriyor (Sol üst köşede işaretli olan).

A — Photomicrograph of poorly sorted foraminiferal microsparite from Köşgerkaya Tepe containing oolitic algal structures and *Involutina gaschei* (Koehn-Zaninetti-Bröniemann) on the centre (Kayseri, TPK-77-129A).

B — Photomicrograph of foraminiferal microsparite containing a few pellets. The black ring locates *Glomospirella friedli* Kristan-Tollmann (Kayseri, TPK-77-130).

C — Photomicrograph of the above sample showing *Involutina sinuosa* cf. *pragsoides* (Oberhauser).

D — Photomicrograph of same poorly sorted microsparite showing *Involutina* cf. *communis* (Kristan) located by black ring in the top left of the plate (Kayseri, TPK-77-130).



LEVHA 3**PLATE 3**

A — Yahyalı'dan alınmış ve kötü boylanmalı, mikritize olmuş intraklastik mikrospariti gösteren mikrofotoğraf. Ortadaki kavisli kavkı parçası jeopetal yapısını gösteriyor. Buna göre tabakanın üstü anlaşılabılır ki resim ters yerleştirilmişdir. (Kayseri, TYKK-77-588).

B — Mikritize olmuş intraklastik kireçtaşını gösteren bu mikrofotoğrafda algal yapılarla bazı foraminiferler görülmüyor (*Endothyranella* sp., *Trochammina* sp., (Kayseri, TYKK-77-589).

C — Aynı örnekden çekilmiş ve Varistomatid foraminiferler görülen bir başka mikrofotoğraf.

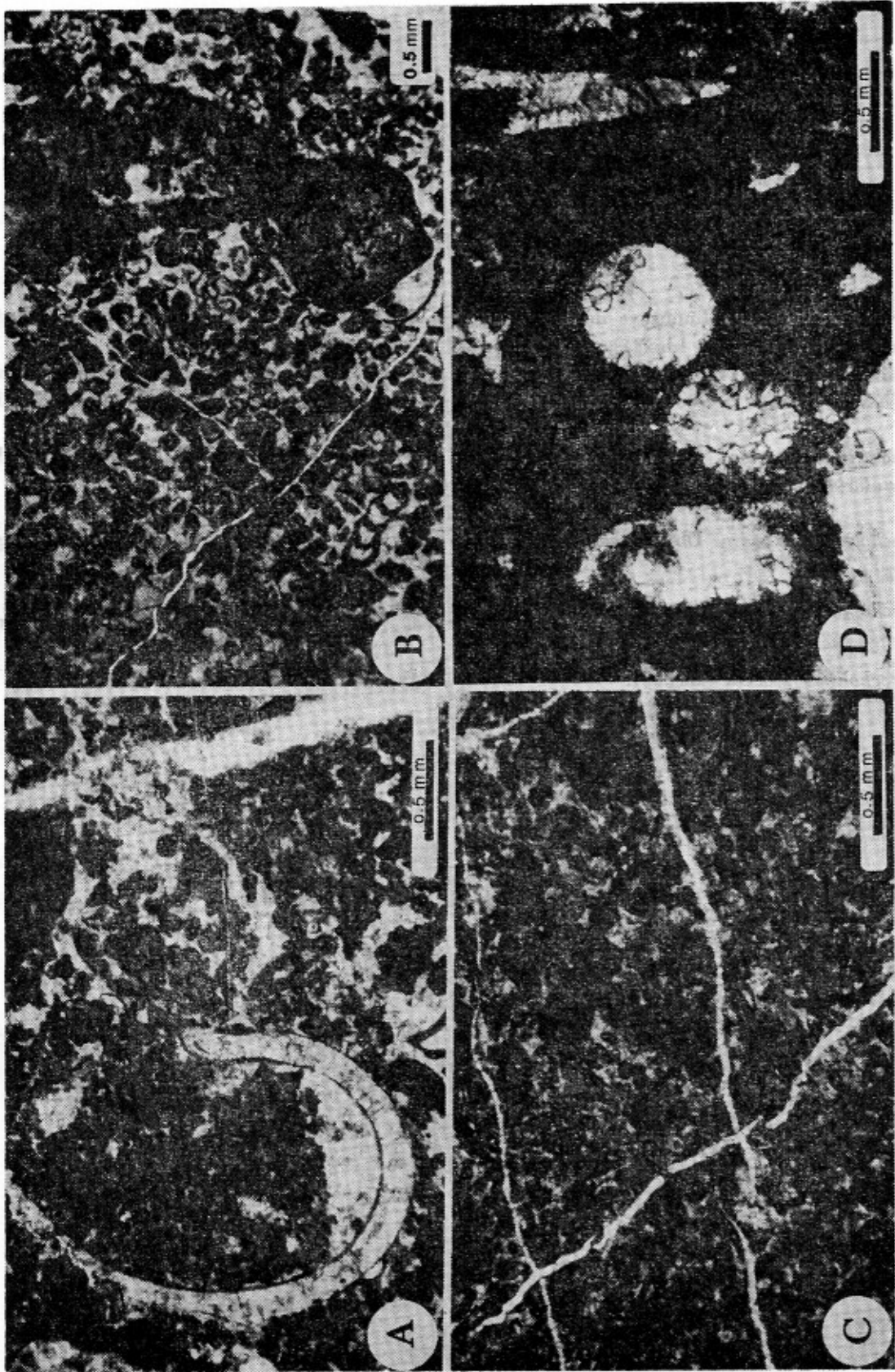
D — Foraminiferleri gösteren [*Involutina sinuosa sinuosa* (Weynschenk)] mikritize bir kireçtaş mikrofotoğrafi (Kayseri, TYKK-77-594).

A — Photomicrograph of poorly sorted intraclastic microsparite from Yahyalı showing large curved shell fragment which contains internal sediments forming a good geopetal structure. It indicates that the photomicrograph is upside down. The thin section shows pervasive micritization (Kayseri, TYKK-77-588).

B — Photomicrograph of pervasively micritized intraclastic limestone showing algal lumps and foraminifers, the latter located by black rings. *Endothyranella* sp. (lower left corner), *Trochammina* sp. (top right, inside the algal intraclast) [Kayseri, TYKK-77-589].

C — Photomicrograph of above sample showing a Varistomatid foraminifer, near the centre of the plate (Kayseri, TYKK-77-589).

D — Photomicrograph of intensely micritized limestone (TYKK-77-594) showing foraminifers: *Involutina sinuosa sinuosa* (Weynschenk).



LEVHA 4**PLATE 4**

A. B. C ve D Yahyalıdan alınmış ve ileri düzeye rekristalize olmuş bir kireçtaşındaki foraminiferleri gösteren mikrofotoğraflar (Kayseri, TYKK-77-600) :

A : *Involutina sinuosa oberhauseri* (Salaj),
Textularids.

B : *Trocholina multispira?* Oberhauser, *Textularids.*

C : *Trochammina alpine* Kristan-Tollmann.

D : «*Trocholina*» *procera* (Liebus).

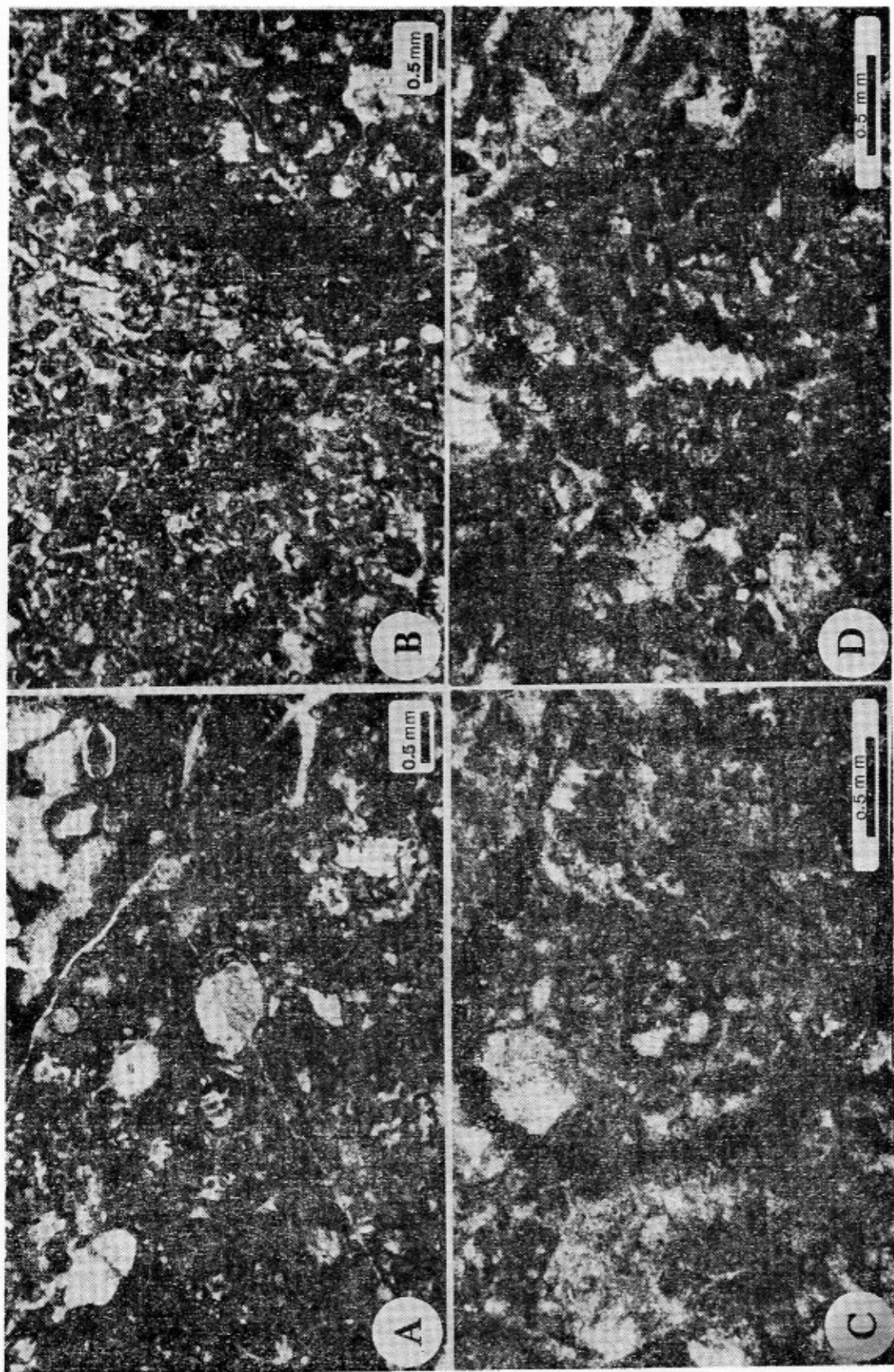
A, B, C and D . Photomicrographs of extensively recrystallized limestone from Yahyalı, showing several foraminifers located by black rings (Kayseri, TYKK-77-600).

A : *Involutina sinuosa oberhauseri* (Salaj) and *Textularids.*

B : *Trocholina multispira?* Oberhauser (right) and *Textularids.*

C : *Trochammina alpine* Kristan-Tollmann.

D : «*Trocholina*» *procera* (Liebus).



Çakıroba (Yenice-Çanakkale) Granodiyoritine Bağlı Olarak Oluşan Skarnlaşmalar ve Şelit Zuhuru

**FORMATION OF SKARNS AND SCHELITE MINERALIZATIONS RELATED TO ÇAKIROBA
GRANODIORITE (YENICE-ÇANAKKALE)**

Mesut ANIL, Çukurova Üniversitesi Jeoloji Mühendisliği Bölümü, ADANA.

ÖZ : Çanakkale ili Yenice ilçesinin kuzeybatısında yer alan Çakıroba granodiyoritik sokulumun karbonatça zengin sedimanter kayaçlarla olan kontağında skarn türünde şelit, manyetit ve kalkopirit cevherleşmesi izlenmektedir. Bu sokulumun bölgeye yerleşmesi sırasında oluşan kırık ve çatlaklı zonlarda magmatik kökenli çözeltilerin dolaşması skarnlaşmağa neden olmuştur. Bu çözeltiler Fe, Al, Si, W ve Cu gibi elementlerce zengin olduklarıdan, içinde dolaştıkları sedimanter kayacın bazı elementlerini metazomatik yöründen etkilemişler ve özellikle karbonatlar üzerinde madde alışverişi olanak tanımışlardır.

Granodiyoritin merkez ve dokanak zonlarından alınan örneklerin petrografik ve jeokimyasal karşılaştırımlarında, kontağ yakın örneklerin nötr bileşime yaklaşığı izlenmiştir. Çakıroba'da şeritsel ve mafik türde skarn görülmesi, silişim bu oluşum sırasında zayıf bir kimyasal etkinliğe sahip olduğunu göstermektedir. Burada izlenen parajenez: Granat + piroksen + epidot + amfibol + manyetit + kalkopirit + pirit + sfalerit + şelit + kuvars + kalsit \mp klorit şeklindedir.

İlk defa bu araştırmaya tesbit edilen 250 metrelük kontağın rağmen henüz kesin rezerv tesbitine olanak tanıyan veriler yoktur. Ancak cevherleşmenin ortalama WO_3 tenörü % 0,31 olup, düşük tenörlü bir şelit cevherleşmesi söz konusudur.

ABSTRACT : A sheelite, magnetite, and chalcopyrite mineralization of skarn type is traced at the contact of sedimentary carbonate rich rocks which northwest of Çanakkale province and Yenice town. Circulation of fluids of magmatic origin in the fractured and broken zones during the emplacement of this intrusion into the region, caused skarnization.

These fluids were rich in elements like Fe, Al, Si, W and Cu, and affected some elements of the sedimentary rocks metasomatically and made possible substance exchange especially within carbonates.

The petrographical and geochemical comparison of the samples taken from the central and contact zones of the granodiorite, indicated that the samples near the contact zone are closer to the neutral composition.

Presence of ribbon and massive type skarns at Çakıroba, reveals that silişim had a weak chemical effect during the mineralization. The paragenesis observed at Çakıroba consists of garnet + pyroxene + epidote + amphibole + magnetite + chalcopyrite pyrite + sphalerite + scheelite + quartz + calcite \mp chlorite.

In spite of the 250 contact zone found during this research there is not enough data enabling a sound determination of reserve potential. However, the mineralization has an average WO_3 of % 0,31 and the existence of a low grade mineralization is a high probability.

GİRİŞ :

Amaç ve Kapsam

Çakiroba şelit zuhuru üzerine yapılan maden jeolojisine yönelik çalışmada daha önce yalnızca isim olarak bilinen bu cevherleşmenin ekonomik niteliğini belirlemek amaçlanmıştır. Ayrıca bu sokulumun kontağında şelitten başka cevherleşme varlığı aranmış, bu amaçla yapılan arazi gözlemleri ve laboratuvar araştırmalarında manyetit, kalkopirit, sfalerit, pirit ve yer yer galen gibi cevher minerallerine de rastlanmıştır. Ancak bu cevherleşmeler bu aşamada ekonomik olmaktan uzaktır.

Çakiroba köy merkezinden hemen başlayarak kuzeybatı yönünde Tütündere sel yatağı boyunca uzanan şelit zuhuru kuvars lambası kullanılarak gece prospektiyonuyla tesbit edilmiştir. Ancak yoğun bir bitki örtüsü nedeniyle dokanağın tüm çevresi aynı metodla incelenmemiştir, bu kesimlerde makroskopik gözlemler yapılmıştır.

Önceki Çalışmalar

Yörede yalnızca şelit prospektiyonuna dönük eski bir çalışma mevcut değildir. Kaaden (1957) M.T.A. Enstitüsü adına yaptığı genel amaçlı çalışmada Çakiroba Tütündere sel yatağında granat felsleri içinde ümit verici şelit tenörü olabileceğini raporunda belirtmiştir. M.T.A. Enstitüsü adına maden jeolojisini amaçlı çalışmada Alandere ve Çakiroba, Namazgah yörelerinde yüzeylenen granodiorit sokumlarının kenar zonlarında oluşan şelit zuhurlarından bahsedilmiştir (Yenigün, 1978). Arşivlenmiş rapor niteliğinde olan bu çalışmalardan başka Çakiroba şelit zuhuru üzerinde detaylı bir çalışma olmayıp, bu makale zuhur üzerindeki ilk yayım olmaktadır.

JEOLOJİ

Çakiroba çevresinde (Şekil 1) yüzeylenen en yaşlı kayaçlar Paleozoyik'e ait serisitli, kloritli ve kumlu sıstır olup, bunlar içinde uyumsuz metamorfik kireçtaşları bulunmaktadır (Yenigün, 1978, Anıl, 1979). Mesozoyik yaşlı ince kıritılı seri Paleozoyik üzerinde uyumsuz olup, Alpin orojenezi sırasında bu kayaçlar hafifçe metamorfizma geçirmiştir (Bingöl ve diğerleri, 1973). Gerek Paleozoyik ve gerekse Mesozoyik yaşlı kayaçlar granodioritik sokumlarla kesilmiş olup, cevherleşmenin doğusunda ise Miyosen yaşlı volkanizma ürünlerinden andezitler yüzeylenirler. Bu volkanik kayaçların ayrıntıları Anıl (1984)'de bulunabilir. Burada yalnızca granodiorit bileşimli sokulum

yapmış kayaçlar ile, kontakt metamorfizma ürünü skarnların özellikleri üzerinde durulacaktır.

PETROGRAFİ

Çakiroba Granodioriti

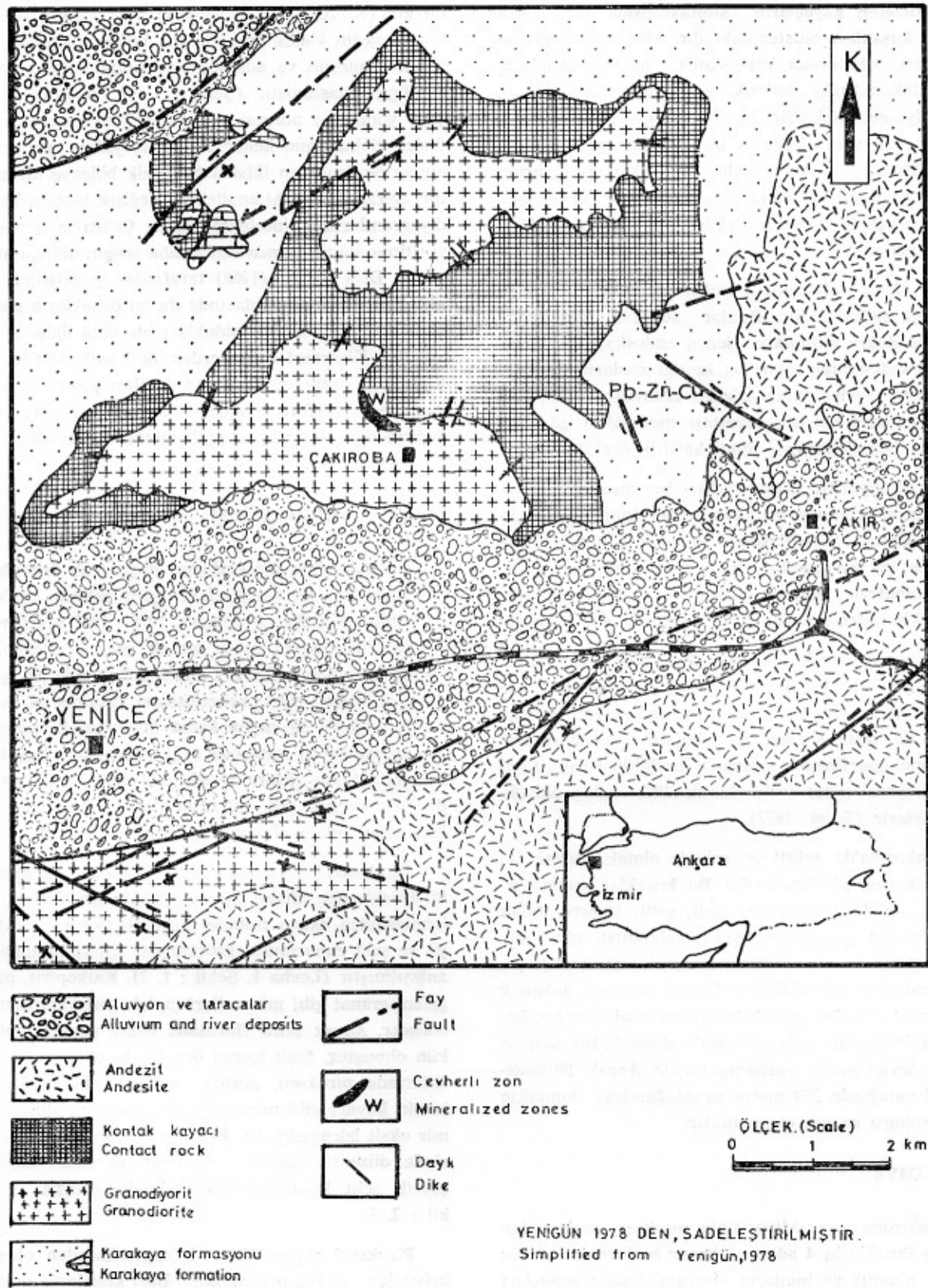
Çakiroba ve kuzeyinde iki sokulum halinde gözlenen bu stoklar özellikle Mesozoyik yaşlı kıritılı kayaçlarla olan kontaklarında arenitleşmişlerdir. Gerek arazi gözlemleri ve gerekse el örneklerinden hazırlanan ince kesitlerin mikroskop incelemelerinden söz konusu granodioritin iç tektonik yönünden fakir olup, genç bir granitik magma bağlı oldukları anlaşılmıştır (Chroy ile sözlü görüşme, 1983). Kayacı oluşturan minerallerin çoğu çiplak gözle de seçilmektedir. Bunlar kuvars, feldspat, plajiolas, biyotit, piroksen ve hornblendidir. Tüm taneli bir doku gösteren kayaça çatlaklı kısımların bir kısmında miloniteleşme izlenmektedir.

Mikroskop altında ise, kuvars kristallerinin boyutu birkaç mikrondan 3,5 mm'ye kadar değişir. Kayacın toplam hacminin % 10'u kadarı kuvarstan oluşur. Alkalij feldspatlar plajiolaslardan daha az olup, diğer minerallere ait katı kapanımlar da içerirler. Prizmatik kristaller halinde izlenen plajiolaslar oligoklas ve albit bileşiminde olup, serisitleşme emareleri gösterirlerse de çoğu kez taze özelliklerini korumaktadırlar. Biyotit oldukça fazladır. Hornblende az miktarda rastlanır. İkincil minerallerden sfer feldspat ve plajiolas kristallerinin etrafında gelişmiştir. Pirit ve ferromagnezyumlu minerallerin ayırmadan oluşan demir oksit opak mineraller halinde izlenmektedir.

Bu granodioritik ana pülutona bağlı apofizler şeklinde gelişmiş, kalınlıkları birkaç santimetreden, birkaç on santimetreye kadar değişen ve gerek mineralojisi ve gerekse tane boyutları ana pülutondan az çok farklı dayklar gözlenmektedir. Bu daykların bazıları pembe renkli ortoklaz, kuvars ve az miktarda koyu renkli mineraller içerirler. Çakiroba yöresinde gözlenen bu daykların ana kütlenin katılaşmasından sonra genç magmatik evrede oluşturukları kuvvetli olasıdır. Ayrıca özellikle inceleme alanının kuzeyinde izlenen dayklarda manyetit, kalkopirit, pirit gibi cevher minerallerine de rastlanılmıştır.

Skarn Oluşukları

Skarn oluşukları iki granodioritik sokulumun çevresini sarان bir kuşak şeklindedir. Bilindiği gibi



Şekil 1 — Çakiroba şelit çevherlerinin jeoloji ve bulunduru haritası.
Figure 1 — Geological and location map of the Çakiroba scheelite deposite.

skarnlaşma litolojiye bağlı olarak gelişmekte ve özellikle sokulum yapan kayaç litolojisile uyumsuz litoloji gösteren kayaçların kontaktlarında daha kalın skarn kuşakları oluşturmaktadır. Skarnlaşma granodiyoritik sokulumun karbonatça zengin kayaçlarla olan dokanlığında, detritik seride olan kontağından daha iyi gelişmekteydi. Bu durum Çakıroba yöresinde bir çok yerde belirgin bir şekilde gözlenmektedir, kireçtaşının mercekleriyle olan dokanak zonlarına doğru granodiyorit stokundan koparılan örneklerin incelenmesinde açık bir şekilde bileşim değişikliği görülmektedir.

İnceleme sahasında görülen skarnları iki gruba ayırmak mümkündür. Bunlar sokulum merkezden çevreye doğru gidildikçe izlenen endoskarnlar ile sokulum sedimanter kayaçları kestiği zonların özellikle karbonatlı seviyelerinde izlenen ekzoskarnlardır. Bölgede yalnızca kalsitik kireçtaşının mercekleri görüldüğünden ekzoskarnların tümü kalsitik özelliktedir.

Granodiyoritin kenar zonları boyunca gelişen endoskarnlar sonunda bu kayacın bileşiminde bulunan feldspatların serisitleşmesi ve sosisitleşmesi sıkça görülen bir ayrısmadır. Bu değişimler açıkça Ca'un metazomatozu sonucu olmuştur. Yani kireçtaşının merceklerinden pürlütün içine doğru Ca göç etmiştir.

Ekzoskarnlar ise iki türlüdür. Masif ve şeritsel dokulu kalsit skarnların izlendiği bölgede şelit zonları daha çok masif skarnlar içindedir. Şeritsel skarn ile masif skarnın aynı bölgede izlenmesi kontakt metamorfizması sırasında özellikle silisin zayıf bir kimyasal potansiyele (hareketlilik) sahip olduğunu gösterir (Soler, 1977).

Çakıroba'da şelitli ve şelitsiz olmak üzere iki skarn kuşağı görülmektedir. Bu kuşaklar granat, piroksen, epidot, kalkopirit, pirit, şelit, kuvars, kalsit ve piroksen, granat, manyetit, kalkopirit, pirit, sfalerit, galen, epidot, amfibol, klorit, kalsit, kuvars parajeneziyle belirgindirler. Örtülü olmayan dokanak zonlarında yapılan parlak kesitlerin maden mikroskopunda incelenmesinde ekonomik değerde bir manyetit cevherleşmesine rastlanmamıştır. Ancak Tütündere sel yatağında 250 metre uzunluğundaki kontaktta şelit zuhuru az çok ekonomiktir.

JEOKİMYA

Çakıroba granodiyoritinin merkez zonlarından alınan örneklerin 4 adeti ve kenar zonlarından da üç örnek alınmış ve bunların kimyasal analiz sonuçları Çizelge 1'de verilmiştir.

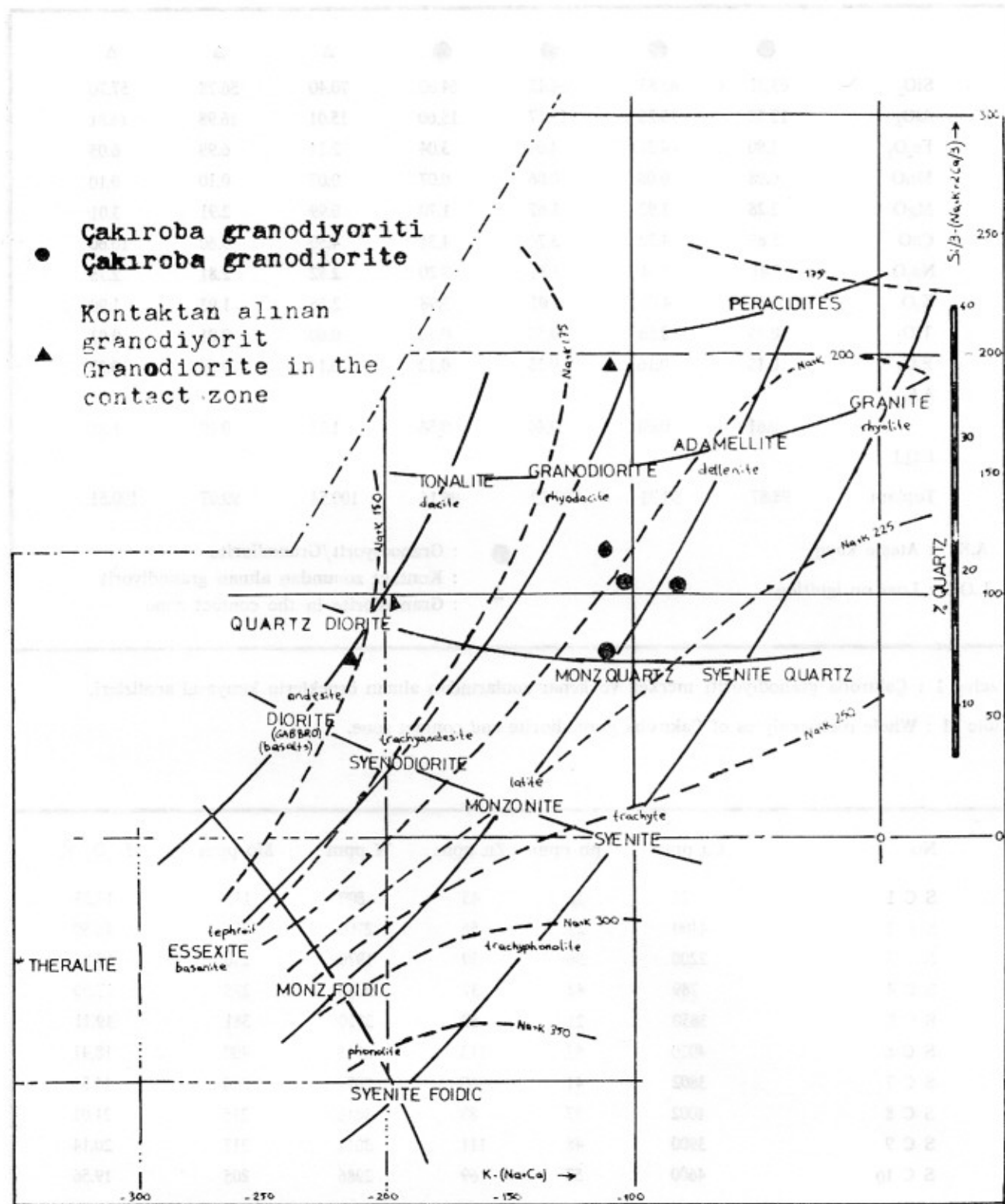
Kimyasal analizlerden hareketle bu sokulumun özellikleri De la Roche (1976)'nın $\text{Si}/3 - \text{Na} + \text{K} + 2/3 \text{Ca} = f (\text{K} + \text{Na} + \text{Ca})$ diyagramlarında incelenirse ilk dört örneğin klasik granodiyorit bölgesinde çok kuvarslı monzonit ve adamellit arasındaki bir bölgeye düşüğü anlaşılmıştır (Şekil 2). Bu noktalar potasyum yönünden normal granodiyoritten daha zengindirler. Sokulumun kenar zonlarına yakın yerlerden alınan üç örnekten ikisi daha bazik bölgeye düşmüştür. Ayrıca kimyasal analizlerin değişik toplam kayaç diyagramlarında incelenmesinden Çakıroba granodiyoritinin alüminyumca biraz daha zengin olduğu anlaşılmış Dela Roche (1966) tarafından geliştirilen alüminyo-silikat diyagramlarında da bu örneklerin potasyum yönünden zengin oldukları bir defa daha görülmüştür. Kimyasal analizlerden de anlaşılaceği gibi $\text{K}_2\text{O}/\text{MgO}$ oranının sabit bir dağılım gösterdiği, bunun ise ortoz/ferro-magnezyumlu minerallerin pek değişmediği şeklinde yorumlanabilmesi olasıdır.

ŞELİT CEVHERLEŞMESİ

Çakıroba köy merkezinden başlayarak kuzeybatıda Tütündere sel yatağındaki şelit zuhuru 1958'den beri bilinmektedir (Aydoğanlı, 1978). 1982 arazi mevsiminde Tütündere başta olmak üzere izlenebilen kontaktlar boyunca kuvars lambası kullanılarak (gece prospeksiyonu) şelit cevherleşmesi aranmış ve ancak bu dere içinde 250 metre kadar bir zuhur izlenmiştir. Bu prospeksiyon sırasında şelit tanelerinin yansımıtı renklerle talon (ayar) renklerinin karşılaştırılmışından söz konusu şelit zuhurunun molibden içeriği bakımından zengin olmadığı anlaşılmıştır.

İncelenen bu kontakt boyunca alınan çok sayıda örneklerden alınan ince ve parlak kesitlerin incelenmesinden skarn tipinde bir cevherleşme görüldüğü ve şelit zuhurunun ekzoskarnlar içinde bulunduğu anlaşılmıştır (Levhacı, Şekil : 1, 2). Kalkopirit, pirit, galen, granat gibi mineralleri çıplak gözle ayırtlamak olasıdır. Ancak şeliti flurosans ışıkta görmek mümkün olmuştur. Şelit içeren örneklerin petrografik kesitlerinde piroksen, granat, amfibol, epidot, klorit, kalsit, kuvars gibi mineraller ile sonradan oluşan demir oksit izlenmektedir. Bir ince kesitin ancak 5-6 yerinde düzensiz dağılım gösteren ve etrafı kalsitle çevrili şelit kristalleri izlenmektedir (Levhacı, Şekil : 2, 3).

Piroksenler genellikle klinopiroksenden oluşur, kristaller çok kez prizmatiktir. Bazı kesitlerde ortopiroksene de rastlanmıştır. Granatlar fazla miktarda



Şekil 2 : Çakiroba granodiyoriti ve kontağından alınan örneklerin De La Roche (1976)'un kimyasal ve mineralojik diyagramında incelenmesi.

Figure 2 : Representation of the Çakiroba granodiorite and skarns in the chemical-mineralogical diagram of De La Roche (1976).

	●	●	●	●	Δ	Δ	Δ
SiO ₂	63.31	63.83	64.45	64.60	70.40	56.78	57.70
Al ₂ O ₃	15.88	15.25	15.17	15.60	15.01	16.98	16.81
Fe ₂ O ₃	1.90	4.31	4.01	3.04	2.24	6.98	6.05
MnO	0.08	0.08	0.06	0.07	0.07	0.10	0.10
MgO	2.28	1.92	1.67	1.70	0.99	2.91	3.01
CaO	5.65	4.30	3.74	4.31	4.50	9.60	10.60
Na ₂ O	3.41	3.64	3.34	3.20	2.82	2.81	2.73
K ₂ O	4.74	4.08	4.01	3.98	2.56	1.93	1.90
TiO ₂	0.66	0.56	0.55	0.60	0.60	0.01	0.03
P ₂ O ₅	0.15	0.16	0.13	0.12	0.14	0.28	0.27
A.K.							
	0.61	0.60	0.46	0.58	1.21	0.69	1.31
L.O.I							
Toplam	98.87	98.73	97.59	98.16	100.54	99.07	100.51
A.K. : Ateşte kayıp	● : Granodiyorit/Granodiorite						
L.O.I. : Loss on ignition	Δ : Kontak zonundan alınan granodiyorit Δ : Granodiorite in the contact zone						

Çizelge 1 : Çakıroba granodiyoriti merkez ve kenar zonlarından alınan örneklerin kimyasal analizleri.

Table 1 : Whole rock analyses of Çakıroba granodiorite and contact zone.

No	Cu ppm	Pb ppm	Zn ppm	W ppm	Mo ppm	Fe ₂ O ₃ %
S C 1	78	16	45	800	143	18.33
S C 2	4400	29	56	2700	355	16.89
S C 3	2200	56	39	1970	290	15.96
S C 4	789	42	37	2050	275	17.90
S C 5	3850	21	59	3010	381	19.11
S C 6	4020	83	113	2111	400	18.41
S C 7	3802	41	65	2875	318	14.56
S C 8	4002	37	83	3618	215	21.01
S C 9	3900	48	111	3011	317	20.14
S C 10	4600	57	69	2986	205	19.56
Ortalama	3158	43	67	2615	289	18.18
Average						

Çizelge 2 : Çakıroba şelit cevherleşmesi örneklerinin Cu, Pb, Zn, W, Mo ve Fe analizleri.

Table 2 : Analysis of the Cu, Pb, Zn, W, Mo ve Fe in the samples of Çakıroba scelrite.

ayrılığı için bileşimleri tayin edilememiştir. İşınsal dokulu amfibol özellikle masif türdeki örneklerde yaygındır. Masif skarnlarda sentetik ikitelli kalsit kristalleri oldukça iri bir dağılım gösterirler. Epidotlardan pistaş ve zoizit izlenir. Kuvars ikincil özellikte olup, genellikle seyrektrir.

Şelit (CaWO_4) jeokimyasal olarak genellikle Mo ile bağımlı olduğu için, Çakiroba şelit zuhurundaki şelit kristalleri içinde powelit (CaMoO_4) aranmıştır. Optik olarak izlenmesi oldukça güç olan bu mineral; gerek kimya laboratuvarında analizler ve HCl asitle yapılan test veya şelit kristallerini doğrudan mikrosond (mikroprop) üzerinde inceleyerek, saptanmaya çalışılmıştır. Bilindiği gibi CaMoO_4 içindeki % 28 CaO ve % 72 MoO arası % 10 oranında WO_3 ile yer değiştirebilmektedir (Bernard, 1976). Yapılan incelemeler sonunda Çakiroba şelit kristalleri içinde % 3-5 arasında değişen bir powelit varlığı tesbit edilmiştir.

Tenör

Çakiroba şelit cevherleşmesinin ortalaması tenörünü saptamak amacıyla alınan örneklerden ancak 10 adeti analiz yapılmıştır. Bu örneklerde ait analiz sonuçları Çizelge 2'de verilmiştir.

Yapılan az sayıdakİ örnek analizlerinin ortalaması 2615 ppm W içermesi, Çakiroba'da söz konusu zuhurun ancak % 0.31 WO_3 'luk standart volframit içerdigini göstermektedir.

Çakiroba granodiyoritinin sedimanter kayaçlarla olan kontağında şelit zuhurlarından başka, yine kontakt türünde cevherleşmeler de vardır. Özellikle sokulumların kuzey kenar kuşakları boyunca alınan örneklerin laboratuvar incelemelerinde manyetit, kalkopirit pirit ve nadiren sfalerit gibi cevher mineraleri izlenmiştir. Özellikle amfibolitler kalkopirit ve pirit yönünden zengindir. Bu tür örneklerden elde edilen parlatılmış kesitlerin maden mikroskopunda incelenmelerinde iri taneler halinde ve kayaç içine enjekte olmuş kalkopirit mineraleri görülür (Levhā 1, Şekil, 5, 6). Yine aynı kuşaktan alınan bazı örneklerde de manyetit ve onu ornatan hematit izlenmiştir (Levhā 1, Şekil, 7, 8).

Cevherleşmenin Kökeni

Jura başlarından beri bölgeye yerleştiği bilinen (Kaaden, 1959, Korjinsky, 1971; Atılgan (1977) granodiyorit bileşimli sokulumlar, içinde yer yer karbonat seviyeleri bulunan (kireçtaşı mercekleri) sedimanter kökenli kayaçlarla olan dokanaklarında yeni kırık zonları oluşturmuştur. Petrografik incelemelerinde

genç bir granitik magmaya bağlı olduğu anlaşılan bu sokulumla ortama gelen çözeltiler yerleşme sırasında daha önce oluşmuş kırık ve çatlak zonlarında dolaşırken aynı anda da yer yer skarnlaşmasına neden olmuşlardır. Sokulum yapan kayaçtan itibaren sıcak ortamdan soğuk ortama doğru silisle birlikte hareketlenen Al, Fe, W, Cu, Zn ve yer yer Pb gibi elementlerce zengin içerikli çözeltiler, özellikle kireçtaşı mercekleri üzerrinde metazomatik etki yapmışlardır. İncelenen örnekler içinde kalsiyum, magnezyum ve demir silikat topluluklarının bol miktarda görülmesi skarn terminolojisinde madde alışverişinin en büyük kanıdır (Kolzhinsky, 1948a, 1948b, 1959, 1965, 1968). Çakiroba şelit cevherleşmesinden alınan skarn örneklerinden yapılan parlak kesitlerin maden mikroskopunda detaylı incelemeliyle kalkopirit, pirit, sfalerit ve bazen galen gibi sülfürlü mineralerin önce kristalleştiği, bu mineralerin gangını oluşturan kuvars ve kalsitin dolgu özelliğinde olduğu anlaşılmıştır. İzlenen tüm şelit kristallerin etrafında çok belirgin sentetik ikitelli kalsit kristallerinin izlenmesi, bu mineralin kalsitten hemen önce kristalleştiği olasılığını güçlendirmektedir.

TARTIŞMA VE SONUÇLAR

Yenice (Çakiroba)'da görülen skarn oluşukları bölgede görülen granodiyorit sokulumları ile yakın dan ilgilidir. Ancak skarnlaşma tek bir evrede olma-
miş, sokulum katılaşımından sonra da metazomatik etkiler etkinliğini sürdürmüştür. Zira aynı granodiyoritik ana kitleye bağlı, tane boyutu ve mineralojisi az çok farklı daykların hem ana kayacı hem de yankacı kesmesi bu durumu kanıtlar. Skarnlaşmanın en etkin olduğu kuşaklar kireçtaşı mercekleri dokanaklarında olmuş, arkoz, kumtaşı ve siltaşı gibi kırıntılı kayaçların kontaklarında etki çok zayıf görülmüşken, sistelerde olan dokanaklarda ise daha çok şeritsel skarnlar gelişmiştir.

Granodiyoritik sokulumların yerleşmesi sırasında yan kayaçlar ısıtılıarak daha sonra oluşacak skarnlaşma için gerekli fiziksel ve fiziko-kimyasal koşullar uygun hale getirilmiştir. Bu yüzden skarnlaşmanın granodiyoritin yerleşmesini takip ederek gelişmiş olması olasıdır. Parajenezde granat-piroksen topluluğunun izlenmesi ısıtma sıcaklığının 500 °C civarında olduğunu göstermektedir, epidot-amfibol topluluğu ise 500 °C den daha düşük bir sıcaklığı işaret etmektedir. Skarnlaşmanın son safhasında görülen epidot-klorit topluluğu ise sıcaklığı 380 °C'ye kadar düşüğünü göstermektedir.

İçindeki mineral türleri ve miktarları ile birlikte, bu skarnın genel özellikleri de, bu türlerin genel özellikleri ile benzerdir. Bu türlerdeki mineral türleri ve miktarları, bu skarnın genel özellikleri ile benzerdir. Bu türlerdeki mineral türleri ve miktarları, bu skarnın genel özellikleri ile benzerdir.

LEVHA I

Şekil 1 : Masif skarn. Piroksen (Cpx ve Opx), epidot, kalsit, kuvars, klorit ve opak minerallerden kalkopirit (Polarize Işık).

Şekil 2 : Amfibolitleşme. Nadir görülen kuvars kristallerini kapayan aktinot iğneleri (sağ tarafta) ve kalkopirit (sol tarafta) görülmeye (Polarize Işık).

Şekil 4 : Şelit, kalsit ve kuvars kristalleri görülmeye (Polarize Işık).

Şekil 5/6 : Kalkopirit ve pirit kristalleri. Gang kalsit ve kuvarstan oluşur (Yansıyan Işık).

Şekil 7/8 : Çakıroba Granodiyoritinin kontağında görülen diğer cevherleşmelerden manyetit-hematit ve kalkopirit mineralleşmesi. Kalkopirit taneleri içinde manyetit inklüzyonları ve sonradan gelişen işinsal hematit kristalleri görülmeye. Gang, kuvars, kalsit ve aktinot iğneleştirden oluşur (Yansıyan Işık).

İçinde mineral türleri, miktarları ve genel özellikleri, bu türlerdeki mineral türleri ve miktarları ile benzerdir. Bu türlerdeki mineral türleri ve miktarları, bu türlerdeki mineral türleri ve miktarları ile benzerdir.

PLATE I

Figure 1 : Massive skarn. Proxene (Cpx-Opx), epidote, calcite, quartz, chlorite, chalcopyrite. P.L.

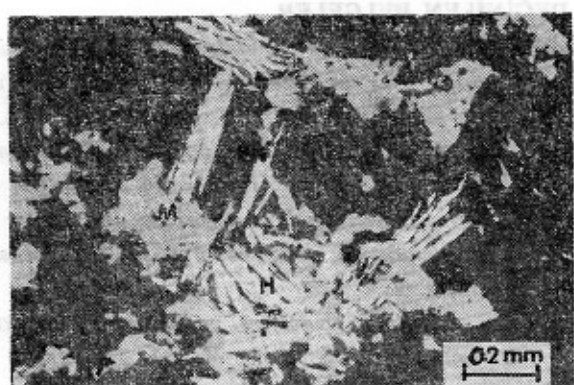
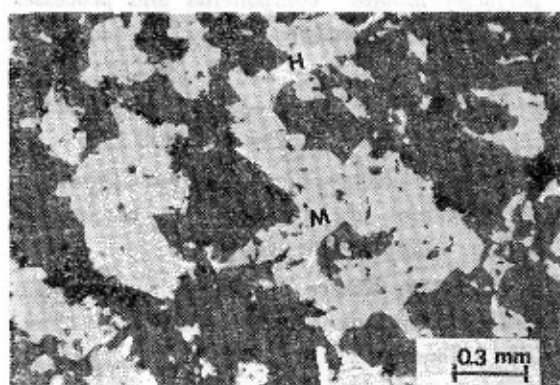
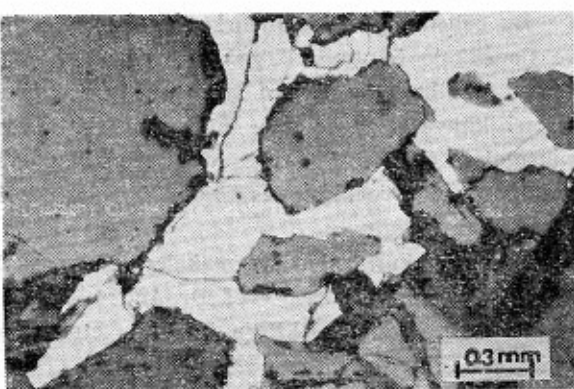
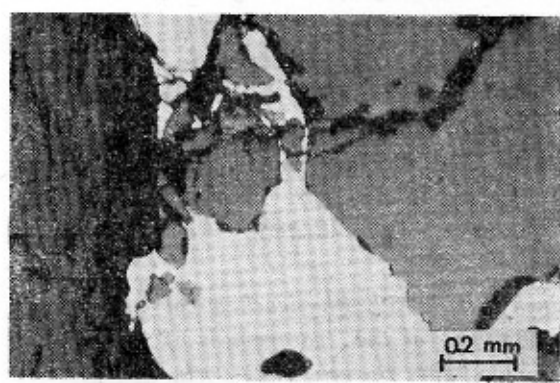
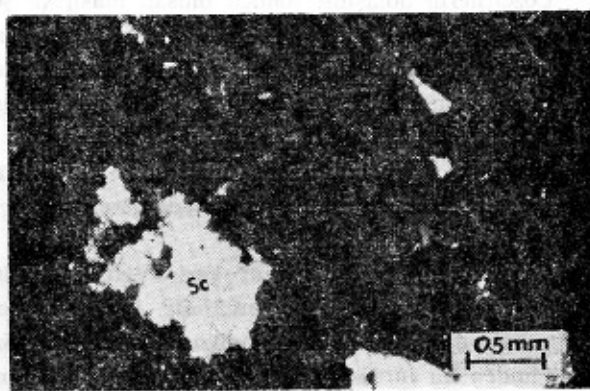
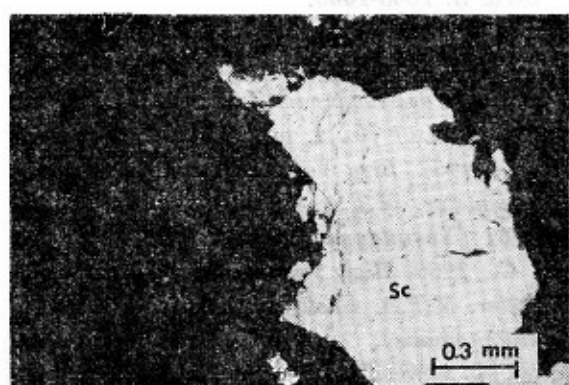
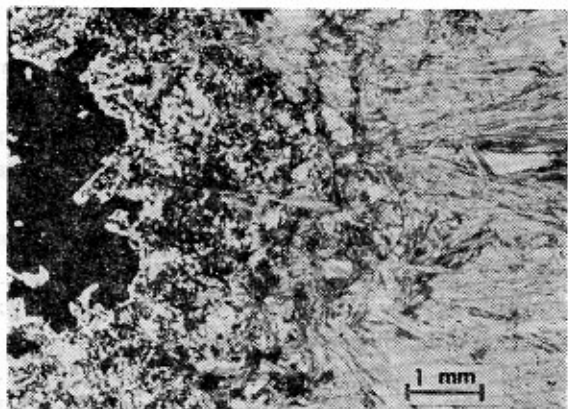
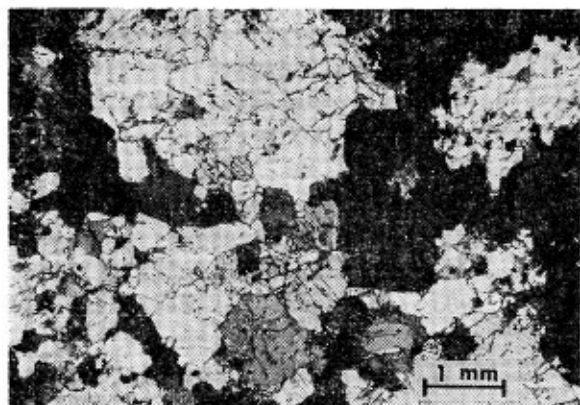
Figure 2 : Amphibolite. Fibrous actinolite with quartz grains on the right side, chalcopyrite on the left side. P.L.

Figure 3 : P.L. Scheelite with quartz inclusions surrounded by calcite.

Figure 4 : P. L. Scheelite, calcite and quartz.

Figure 5/6 : R.L. Growing of chalcopyrite in fractures. Gangue is constituted by calcite and quartz.

Figure 7/8 : Magnetite and hematite developed at the Çakıroba granodiorite contact. Fibrous hematite remplaçus magnetite. Gangue is constituted by calcite, quartz and fibrous actinolite. R.L.



Kalkopirit, manyetit, şelit, pirit gibi cevher mineralerinin yanısıra görülen piroksen, granat, amfibol, epidot gibi mineraler, kırıklarda dolaşan çözeltilerin Si, Al, Fe, W, Cu, gibi elementlerce zengin olup, özellikle kireçtaşının mercekleri üzerinde metazomatik etki yaptığına kanıtlar.

Bilindiği gibi şelit skarn türündeki cevherleşmelerin en tipik mineralerindendir. Zira tungsten jeokimyasal açıdan kalsiyuma yakın bağımlılığı olan bir elementtir. Skarnlaşma koşullarında ortamda demir mevcut olsa da ilk oluşan şelit minerali olacaktır (Berrad, 1976). Bu yüzden demirin var olduğu Çakiroba'da yalnızca şelitin görülmesi doğaldır.

Cözeltilerin dolasımı sonucu oluşan masif ve şeritsel skarnların birlikte görülmesi, silisin kimyasal potansiyelinin bu cevherleşme sırasında aktif olmadığını göstermektedir. Nitekim bölgede taktit oluşmamıştır.

Kimyasal analizlerden de anlaşılabileceği gibi, Çakiroba şelit cevherleşmesi bu aşamada ekonomik açıdan pek önemli değildir.

Skarnlaşma sıcaklıklarının kesin olarak tespiti için termo-optik çalışmalar gereklidir. Ayrıca Yenice çevresinde daha bir çok granodiorit sokulumu gözlemden bu intrüzyonların kontaklarında da aynı tür cevherleşme bulunabilir.

KATKI BELİRTME

Bu çalışma gerçekleştirildiğinde M.T.A. Enstitüsü ve Çanakkale Seramik Fabrikaları A.Ş.'den maddi destek görülmüştür. Ayrıca tüm laboratuvar incelemeleri, kimyasal analizler ve mikrosond (Mikropog) çalışmaları C.R.P.G. (Centre de Recherches Pétrographiques et Géochimiques/France)'ın olanakları ile gerçekleştirilmiştir.

Yazar bu kuruluşlara ve makaleyi okuyarak kritikleri esirgemeyen hocası Prof. Dr. André BERNARD ile Doç. Dr. Ayhan ERLER'e teşekkür etmeği borç bılır.

DEĞİNİLEN BELGELER

- Anil, M., 1979, Etude géologique et métallogénique du secteur septentrional de Yenice (Presqu'île de Biga-Turquie). Thèse, Nancy, 137 p.
- Anil, M., 1984, Yenice (Arapuçandere-Kurttaşı-Sofular ve Kalkım Handeresi) Pb-Zn-Cu cevherleşmelerinin köken sorunu ve tersiyer volkanizmasıyle ilişkileri. Jeoloji Mühendisliği, 20, s. 17-31.
- Atılgan, I., 1977, Kurttaşı ve Yenice kuzeyinin jeolojik incelemesi. M.T.A. Enstitüsü, Rapor, (yayınlanmamış).

- Aydoğanlı, E., 1978. Türkiye Wolfram Envanteri, M.T.A. Enstitüsü Yayınları No : 170, 40 s.
- Bernard, A., 1976. Recyclage Metallogénie, Ecole de Géologie, Nancy, 351 p.
- Bingöl, E., Akyürek, B. ve Korkmazer, B. 1973 Geology of the Biga peninsula and some characteristics of the Karakaya formation : Congress of Earth Sciences, Ankara, p. 71-78.
- Chroy, B., 1983. (Sözlü görüşme) Maître Assistant à l'Ecole de Géologie Nancy-France.
- De la Roche, H., 1966. Sur l'usage du concept d'association minérale dans l'étude chimique des roches. C.R. Acad. Sci. (Paris) t. 262, Serie D. 1665-1668.
- De La Roche, H., 1976. Sur la contribution des données chimiques à une systématique générale des roches ignées: Sci. de la Terre, Nancy, t. 11 No. 1, p. 17-35.
- Kaaden, G., 1957. Biga Yarımadası üzerine jeolojik çalışmalar, M.T.A. Enstitüsü, Rapor No. 2661 (Yayınlanmamış).
- Kaaden, G., 1959. Biga Yarımadası üzerine incelemeler, M.T.A. Enstitüsü, Rapor, 48 s. (Yayınlanmamış).
- Korjinsky, S., 1971. Biga Yarımadasındaki asit plütonlar üzerine jeolojik incelemeler. M.T.A. Enstitüsü, Rapor; in Atılgan, I., 1977).
- Korzhinsky, D., 1948 a, Differential mobility of components in metasomatic zoning in metamorphism: 18 th Intern. Geol. Congress, Great-Britain, Reports, part. 65-80.
- Korzhinsky, D., 1948 b, Phase rule and geochemical mobility of elements. 18 th Intern. Geol. Congress. Great Britain. Reports part III, 50-57.
- Korzhinsky, D., 1959. Physicochemical basis of the analysis of the paragenesis of minerals : Consultants Bureau, New-York, 142 p.
- Korzhinsky, D., 1965. The theory of systems with perfectly mobile components and processes of mineral formation: Amer. J. Sci., 263, 193-205.
- Korzhinsky, D., 1968. The theory of metasomatic zoning : Mineral. Deposita, 3, 222-231.
- Soler, P., 1977, Petrographie, Thermo-Cihimie et Metalllogénie du gisement de scélite de Saleau: Thèse, Paris, 159 p.
- Yenigün, K., 1978. Yenice ve civarının maden yayaları bakımından incelemesi : Maden Tectik Arama Enst., Ankara, 43 s. (Yayınlanmamış).

Yahyalı (Kayseri) Yöresi Demir Yataklarının Jeolojisi, oluşumu ve Kökeni

GEOLOGY AND GENESIS OF THE IRON DEPOSITS IN THE YAHYALI (KAYSERİ) AREA.

Erdal ŞENÖZ, (1950 - 1983)

ÖZ : Yahyalı çevresinde Permo-Triyas yaşlı kireçtaşlarından ve Üst Kretase yerleşim yaşı ofiyolitlerden oluşan bir namlı yapı gözlenir. Bu namlı yapı yer yer Paleosen-Eosen arası yaşlı granodiorit-diyorit bileşimli magmatik kayaçlar tarafından kesilmekte, yer yer ise Oligosen ve daha genç yaşlı sedimanter ve volkano-sedimanter kayaçlar ile örtülmektedir. Magmatik kayaçlar çevresinde albite-epidot hornfels ve ender olarak hornblend hornfels fasiyesinde kontak metamorfizma etkileri ve skarn zonları görülmektedir.

Yataklanma şekilleri, cevher-yankayaç ilişkileri ve mineralojik-kimyasal incelemeler yatakların iki farklı şekilde oluştuğunu göstermektedir.

Skarn zonları ile ilişkisi olmayan ve demir cevher minerali olarak yalnızca limonit ve ileri derecede oksitlenmiş piritler içeren Dereköy-Karataşlık yatağının, piritce zengin seviyeler içeren taban şistlerinden serbestleşen piritlerin ve demir iyonlarının bozunmabölgesinde ve/veya çok yakınlarında tekrar çökelme si sonucu olmuş olabilecekleri, skarn zonlarındaki yatakların ise daha önce yukarıdaki tipte olmuş ya takların sıcaklık etkisinde kalarak limonitlerin manyetitlere dönüşmesi şeklinde oluştuğunu sonucuna varılmıştır.

ABSTRACT : Surrounding the Yahyalı area a nappe which contains Permo-Triassic limestone and Upper Cretaceous ophiolites has been observed. From time to time this nappe has been cut by magmatic rocks (granodiorite-diorite) of Paleocene-Eocene and has been covered by Oligocene or younger sediments and volcano-sediments. Magmatic rocks shows albite-epidote hornfels and rarely hornblende facies of contact metamorphism and skarn zones.

According to relation between ore and neighbouring rocks as well as mineralogic-chemical analysis there are two type of ore-beds.

Dereköy-Karataşlık ore bed which has no connection with skarn zones and contains only limonite-highly oxidized pyrite, is emplaced on the dissolution area and/or nearby of pyrite and iron ions coming out from the bottom schists. The other ore beds occurred as mentioned above and than limonite change which are in skarn zones, at the beginning, are to manyetite by heat.

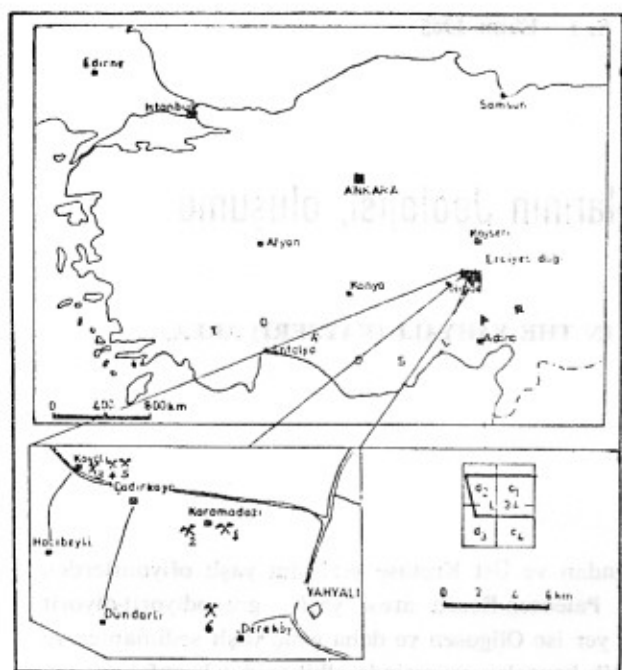
GİRİŞ

İç Anadolu'nun güneydoğu kesimi ile Akdeniz bölgesindeki kuzey doğusunda yayılım gösteren ve metalik maden yatakları bakımından Türkiye'nin en verimli bölgelerinden birisi olan Doğu Toroslar kuşağıının

Yahyalı kesiminde bulunan demir yatakları (Şekil 1) bu yayının konusu olmuştur.

Bölgelerin jeolojik özellikleri 1860'lı yıllarda itibaren çok sayıda araştırmacı tarafından incelenmiştir

(*) Makale, Yrd. Doç. Dr. Akmet Gökçe (C.Ü.) tarafından düzenlenmiştir.



Şekil 1 : Bulduru haritası (1. Karamadazı Yatağı, 2. Karaburun Yatağı, 3. Kovalı Yatağı, 4. Sayburnu Yatağı, 5. Nevruz Tepe-Kurbağa Pınarı Yatağı, 6. Dereköy-Karataşlık Yatağı).

Figure 1 : Location map (1. Karamadazı Deposit, 2. Karaburun Deposit, 3. Kovalı Deposit, 4. Sayburnu Deposit, 5. Nevruz Tepe-Kurbağa Pınarı Deposit, 6. Dereköy-Karataşlık Deposit).

(Tchihatcheff, 1867-1869; Schaffer, 1981; Frech, 1914; Chaput, 1931-1936; Blumenthal, 1941-1944-1952; Ünsalner, 1945; Lahn, 1945; Metz, 1956; Abdülselamoğlu, 1958-1959; Wippern, 1962; Ketin, 1963-1966; Pasaquare, 1968; Özgül ve diğ., 1973; Özgül, 1976; Aksay, 1980; Tekeli, 1980; Tekeli ve Erler, 1980; Işık 1981). Ayrıca; Önay, 1952; Brennich, 1956-1959; Ağar, 1962; Vache, 1964; İmreh, 1965; Vohryzka, 1966; Metag ve Stolberg, 1971; Şenöz, 1976; Henden, 1975-1977-1978; Oygür, 1977-1978; Oygür ve diğ., 1978; Henden ve Önder, 1980; ve Afşar, 1981 bölgede maden jeolojisi amaçlı incelemeler yapılmışlardır.

STRATİGRAFİ VE JEOLOJİK EVRİM

İnceleme alanının 1/25.000 ölçek düzeyinde haritalanabilir jeolojik özellikleri ve genelleştirilmiş stratigrafik dizilimi Ek 1'de görülmektedir.

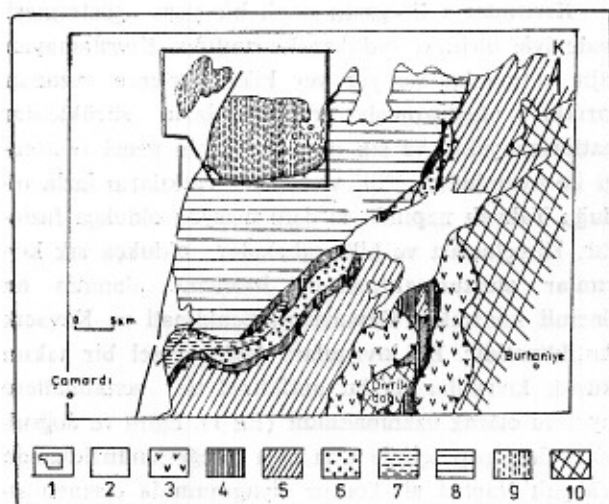
Paleozoyik-Mesozoyik

Bölgede Üst Devoniyen'den Senoniyen'e kadar devamlı bir karbonat çökeliği gözlenmektedir. Senoniyen'den itibaren bu karbonat çökeliği durmuş ve oluşan karbonat platformu parçalanarak bugün bu konuda çalışan yerbilimcilerin büyük bir çoğunluğunun kabul ettiği napsız yapı meydana gelmiştir (Blumenthal, 1952; Tekeli, 1980; Ricou, 1980 gibi). Üst üste gelmiş ve napsız yapı içinde alttan üstte doğru, YAHYALI (Tekeli, 1980), SİYAH ALADAĞ (Blumenthal, 1952), MINARETEPELER (Tekeli, 1980 - Üst Kuşak), ÇATALOTURAN (Blumenthal, 1952), BEYAZ ALADAĞ (Blumenthal, 1952) ve OFİYOLİT (Tekeli, 1980) napsız yapılar ayrılmıştır.

Ofiyolit napsız yapı bölgede alloktondur. Ofiyolit napsızının altındaki birimler ise bölgenin otoktonunu oluşturan Mansurlu-Tufanbeyli ve güneydoğusunda (Belemedik) yayılım gösteren istiflere benzediklerinden paraotoktonlardır (Özgül ve diğ., 1973; Ricou ve diğ., 1975; Özgül, 1976; Tekeli, 1980).

Bölgelin bu napsız yapısı Şekil 2'de görülmektedir. Paraotokton napsızlar genellikle aynı zaman birimi içinde oluşmuş, (Devoniyen-Senoniyen fakat farklı fasiyesi ve mikrofasiyesi özellikleri gösteren karbonatlı kayaç türlerinden oluşmuşlardır. Devoniyende sınırlı bir platform özelliğinde kayaç türleri çökeliş olup, Karboniferde çökeliş kayaç türleri ortamın derinleştiğini göstermektedir. Alt Permiyende çökelen onkoidal kireçtaşları, kalın tabaklı kuvarsit bantları ve diyajenetik demir içeren fosilli seviyeler ortamın sağlamlığını göstermektedir. Orta-Üst Permiyende ise deniz yeniden derinleşmiş ve Alt Permiyen kaya birimleri üzerine platform kireçtaşları çökelişmiştir. Alt Triyasta deniz seviyesi oldukça düşmüştür stramatolitik kireçtaşları, çamıştaşları, boksitli seviyeler ve kuvars kumlu kireçtaşları çökelişmiştir. Bu çökellerin kenar kuşaklarında gözlenen konglomeralar deniz seviyesine bağlı olarak gel git üstü seviyelerini belirmektedir. Ayrıca bu seviyelerde sinjenetik demir cehherleşmeleri gözlenmektedir. Orta Triyasta başlayan deniz seviyesinin yükselmesi Alt Kretaseye kadar devam etmiştir. Jura yaşı oluşuklarının bazı yerlerde Triyas üzerinde uyumlu olarak bulunduğu bazı yerlerde ise doğrudan Permiyen üzerine transgresif olarak geldiği saptanmıştır.

Üst Paleozoyik'te sığ denizel koşulların Mesozoyik'te ise şelf koşullarının hakim olduğu platform Senoniyen'de ters faylanmaya uğramıştır. Bu arada üzerleyen ofiyolit dizilimi ile kita arasında ve kita şelfi üzerinde bulunan havzalarda ofiyolit malzemeli turbidit, olistostrom ve melanj karakterli kayalar



Şekil 2 : Bölgede napların konumu (Tekeli, 1980'den; 1. İnceleme alanı, 2. Posttektonik Çökeller, 3. Peridotit Napı, 6. Çataloturan Napı, 7. Üst Kuşak (Minare Tepeler) Napı, 8. Siyah Aladağ Napı, 9. Yahyalı Napı, 10. Belemedik Otoktonu).

Figure 2 : Position of nappes in the region (After, Tekeli, 1980; 1. Investigated Area, 2. Posttectonic Sediments, 3. Peridotite Nappe, 4. Senonian and Ophiolitic Melange, 5. White Aladağ Nappe, 6. Çataloturan Nappe, 7. Üst Kuşak (Minare Tepeler) Nappe, 8. Black Aladağ Nappe, 9. Yahyalı Nappe, 10. Belemedik Autochthonous).

cökelmiştir. Napların oluşumu Maestrihiyende gelişmesini tamamlamıştır. Yahyalı napı içinde yeşil şist fasyesinde metamorfizma geçirmiş kayaç türleri de görülmektedir.

Senozoyik

Bölgede Paleosen ve Eosen, asitik karakterli mağmatik (derinlik, yarı derinlik ve yüzeysel) kayaçlar ile temsil edilmektedir. Biyotitli kalkalkali granit, granodiyorit, kuvarsdiyorit ve diyorit ile bu derinlik kayalarına ait granit aplit, diyorit porfirit, dasit porfir, andezit porfir, kuvarlı porfirit, porfirit, dasit, riyodasit, riyolit ve andezit gibi subvolkanik ve volkanik ürünleri gözlenmektedir. Sayburnu ve Karamadazı köylerinin doğusunda çok yersel olarak gözlenen bazik mağmatizma diyabaz dayaklarıyla temsil edilmekte olup, sokulumları asit kayalarından göreli olarak daha öncedir (Ketin, 1961).

Asit mağmatik kayaçlar Kırşehir masifinin güneydoğu ucu olarak düşünülmektedir (Oygür, 1978; Çalapkulu, 1980; Göncüoğlu, 1981). Mağmatik kayaçların yaşı ise Paleosen-Eosen aralığındadır (Ayan, 1963; Erkan, 1975; Oygür, 1978; Göncüoğlu, 1981; Seymen, 1981). Paleosen-Eosen aralığında yerleşen bu asit mağmatizmanın Maestrihiyen'de başlayan yanal hareketlerin sonucu olduğu düşünülmektedir (Blumenthal, 1941-1952; Brunn ve dig., 1971; Özgül, 1976; Arpat ve Saroğlu, 1975; Tekeli, 1980). Yakın geçmişe kadar hareketliliğine devam eden Ecemiş fay zonunun tektonik yönünden etkisi büyültür. İnceleme alanında olası batolitin çekirdeğini Kuşkayı yöresindeki kalkalkali granitler oluşturmaktır, batıya doğru asitlik artmaktadır. Batolitin kenar zonları gnaysik bir yapı göstermektedir. Bu gnaysik yapı granitin yerleşmesinden sonra tektonik olarak yükselmesi ve yan kayaçları zorlaması ile oluşan basınç sonucunda gelişmiş olmalıdır. Granitler yan kayaçlar ile keskin dokunaklı olup som bir görünümü sahiptir. Çevre kayaçlarda albit-epidot hornfels ve hornblend hornfels fasyesi koşullarını yansıtın (Winkler, 1967) bir metamorfizma kuşağı gelişmiştir. Kuşkayı ve çevresinde granitlerin içerisinde bol miktarda ve birbirlerine paralel, kalınlıkları 0.15-1 m. arasında değişen lamporfirik, aplitik dayak sistemleri ve yan kayaç ksenolitleri gözlenmektedir. Bütün bu verilere dayanılarak granitlerin Ecemiş fay zonunun doğusunda epizonal, batisında ise mezozonal karakterde, post tektonik granitler oldukları söylenebilir. Bu tür granitlerin oluşum sıcaklıklarının 625-700°C, üzerlerindeki kaya örtüsü basıncının 0.5-4 Kb. kadar olduğu ve yan kayaçın sıcaklığıının ise 150°C olduğu bilinmektedir.

Oligosen; konglomera, kumtaşı, volkanik elemanlı kumtaşı ve grovaklar ile temsil edilmekte olup inceleme alanının batı-kuzeybatı kesiminde yaygındır.

Miyosen; inceleme alanının kuzeyinde ve güneyinde geniş yüzeylemeler vermekte ve 3 farklı karakterde kayaç türlerinden oluşmaktadır. Bunlar;

a. Molas karakterinde iri kireçtaşçı çakıllarından oluşmuş karbonat ve demir oksit cimentolu, yaklaşık 400 m. kalınlıkta, konglomera, 10-20 m. kalınlıkta kumtaşı-marn ve killi kireçtaşlarından oluşan Miyosen,

b. Kuzeybatıda Tepe köy, Hacıbeyli ve Kovalı köylerinde gözlenen yaklaşık 150 m. kalınlıkta mağmatik kayaçlardan türemiş çakıllar içeren konglomera, kumtaşı, marn ve kireçtaşlarından oluşan Miyosen,

c. Erciyes'in ilk püskürme ürünlerinin sıç gölle-re çökelmesi ile oluşmuş yaklaşık 50 m. kalınlık gösteren tüfitlerden oluşmuş Miyosen çökelleri ayrılmaktadır. Tüm bölgede bu çökelleerin üzerinde Üst Miyasende başlayıp Kuvaterner'e kadar devam eden Erciyes volkanizmasının ürünleri görülmektedir (Batum, 1978; Oygür, 1978).

Pliyosen; Üst Miyosen'den başlayan ve Kuvaterner'e kadar devam eden kalkalkalen karakterde Erciyes volkanitleri ile temsil edilmektedir (Ayrancı, 1969; Batum, 1978). Yaklaşık 500 m. kalınlık gösteren volkanitler alttan üste doğru Sarıca aglomerası, Haydarkaya bazaltı ve süngerimsi tüflerden oluşmuştur (Pasaquare, 1968).

Kuvaterner; alüvyon, yamaç döküntüsü, bireşik kireçtaşları ve teraslarla temsil edilmektedir.

TEKTONİK

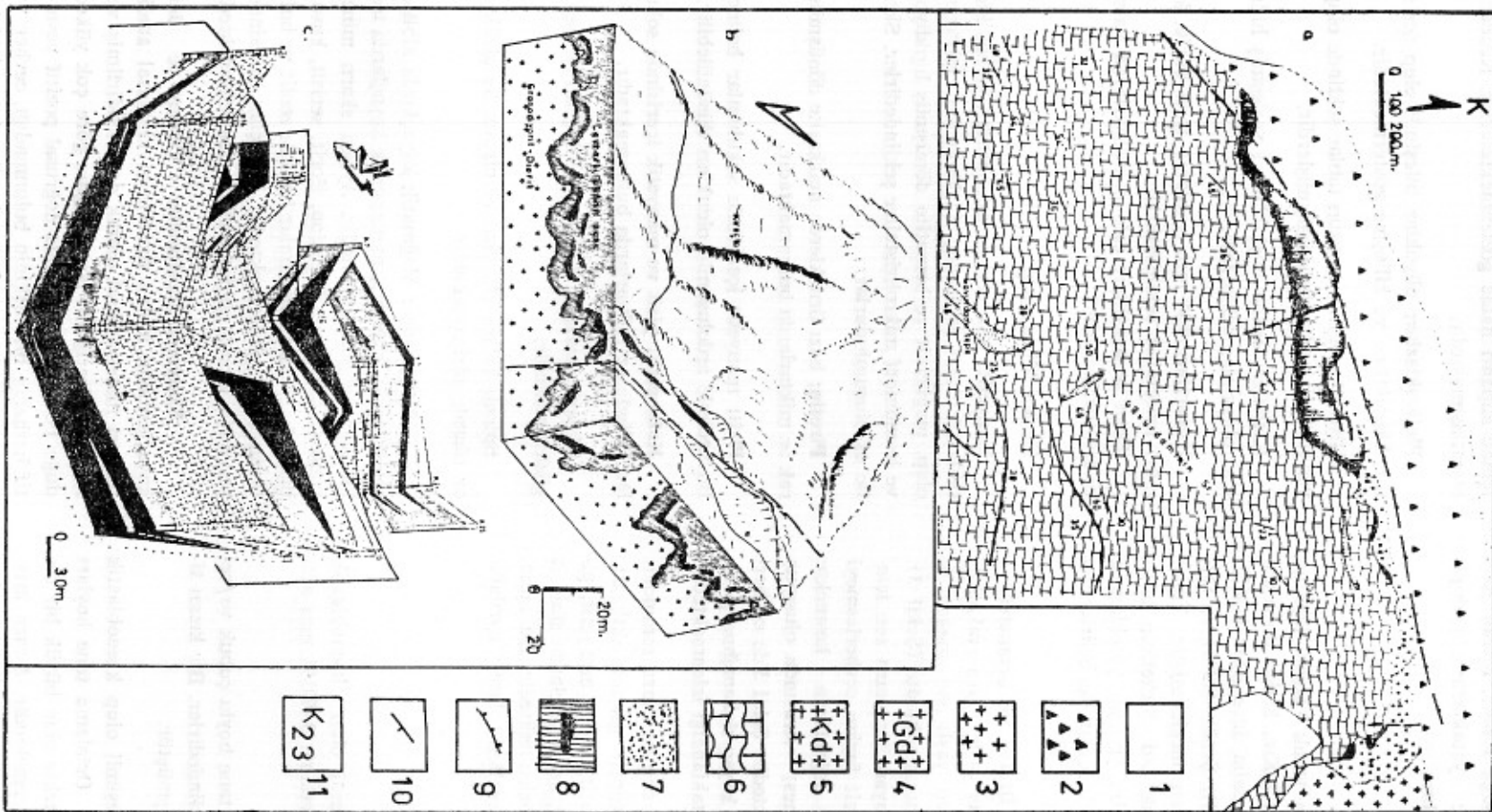
Faylar : Bölgenin en önemli kırık hattını Ecem-iş fayı oluşturur. Ecem-iş fayı KD-GB yönünde uzanan, yerbilimcilerin çok eskilerden beri dikkatini çeken bir zondur. Bu fay zonunun önemini ilk olarak Frech (1914) vurgulamış ve Tekir Grabeni olarak adlamıştır. Blumenthal (1941, 1952) bu fayın daha çok morfolojik özelliklerini dikkate alarak Ecem-iş Koridoru adını vermiştir. Daha sonra Metz (1956), Ecem-iş Koridorunun doğrultu atımlı bir fay olduğunu belirtmiş ve 4 km. lik bir atımın varlığından söz etmiştir. Son yıllarda yapılan çalışmalar, Ecem-iş Fayı olarak adlandırılan bu zonun Torosları yapısal ve morfolojik olarak KD-GB yönünde kesen, etkinliğini yakın zamana kadar sürdürün sol yönlü, doğrultu atımlı bir fay olarak yorumlamasını sağlamışlardır (Arpat ve Şaroğlu, 1975; Tekeli, 1980). Ecem-iş Fay zonunu oluşturan ana faya paralel ve diagonal ol- antitistik ve sintetik faylara bölgein önemli kırık zonlarını oluşturmaktadır. Ecem-iş Fayının doğusuna doğru en önemli KD-GB yönlü kırık hatları Karmi- ri Fayı, Karamadazı Fayı, Ayraklı Fayı, Yahyalı Fayı, Özbek Fayı ve Taşhan Fayı (İmreh, 1965) dir. Bu fayları 30°-45° lik açılarla kesen faylanmalar Ecem-iş Fay Zonunun antitistik türdeki kırıklarını oluşturmaktadır. Asidik mağmatizmaya yakın olan tabakalarda ise tanjansiyel kırıklar oluşmuştur. Ek 1'de granit intrüzyonu çevresinde gözlenen değişik yönlü kırıklar, domlaşmaya bağlı olarak oluşan küçük faylardır. Ayrıca bölgede Torosların oluşumunu sağlayan nap tektoniği Ek 1'de sürüklemin hatları şeklinde gösterilmiştir.

Kırımlar : Bölgenin naplı bir yapı göstermesi nedeniyle birimler oldukça kıvrımlıdır. Kıvrılamayan rıjt katmanlar ise yer yer kilometrelerce uzanan kırıklar oluşturmuştur. Kıvrımların sürüklemin hatlarına yakın ve sık oluşu bölgein genel tektoniği ile uyumludur. Killi ve marnlı katkiların fazla olduğu Yahyalı napında iç deformasyon oldukça fazladır. Kireçtaşları ve killi tabakalar oldukça sık kıvrımlar oluşturmaktadırlar. İnceleme alanının en önemli kıvrımları Gavurdamı Senklinalli ve Kavacık Antiklinallıdır. Bu kıvrımlara bağlı yersel bir takım küçük kıvrımlar da bu antiklinal ve senklinallere uyumlu olarak uzanmaktadır (Ek 1). Eğim ve doğrultular hep nap içinde ayrı ayrı değerlendirildiğinde Yahyalı Napına ait kontur diyagramında egemen sıkıştırma doğrultusunun K 54 B - G 54 D ve kıvrım ekseninin K 36 D doğrultulu 18° G'ye dalımlı olduğu, Siyah Aladağ Napında ise egemen sıkıştırma doğrultusunun K 10 D, dalının ise 4° G olduğu görülmektedir.

Bölgesel Tektonik : Torosların gelişiminde önemli etkisi olan Anadolu ve Arap-Afrika plakalarının çarpışması ve okyanusal kabuğun yitirilmesi Senonye de başlamıştır (Ricou, 1980; Tekeli, 1980). Senonye de başlayan ve bölgede naplı yapının oluşmasına neden olan tektonizma Orta ve Batı Toroslarda yatay taşınmalarla devam etmiş (Brunn ve diğ., 1971; Özgül, 1976), Aladağlar ve yakın çevresinin yapısal biçimlenmesinde Ecem-iş Fayı boyunca gelişen tektonik hareketler etkili olmuştur (Tekeli, 1980). Olayların devamında Üst Miyosende okyanusal kabuk tamamen yitirilmiş ve kita-kita çarpışması sonucu kalkalkalen karakterde, kita kenarı ve/veya ada yayı volkanizması olarak düşünülen Erciyes Volkanizması Kuvaterner'e kadar devam etmiştir (Batum, 1975; 1978). Paleosen-Eosen aralığında geç tektonik granitler oluşmuştur. Bu granitler kendilerinden yaşlı olan birimler içine domlar şeklinde sokulmuşlar ve sokulum sırasında bölgedeki tanjansiyel kırıkları oluşturmuştur.

MADEN YATAKLARI

İnceleme alanı içinde ve yakın çevresinde çok sayıda demir, kurşun ve çinko yatakları bulunmaktadır. Bölgedeki kurşun ve çinko yatakları 3 594 500 ton (tovenan) ile Türkiye kurşun+çinko rezervinin % 4'ünü, demir yatakları ise 11 642 656 ton ile Türkiye demir rezervinin % 1,5'ini oluşturmaktadır. Bölgedeki bu potansiyeli değerlendirmek amacıyla Kurşun - Çinko ve Demir-Çelik tesisleri kurulmuştur.



Şekil 3 . Karamadazi Demir Yatağının jeoloji haritası (a), blok (b) ve panel (c) diyagramları (1. Alüvyon, 2. Döküntü, 3. Granit, 4. Granodiyorit, 5. Kuvars-diyorit, 6. Kireçtaşı, 7. Kuvarsit, 8. Skarn ve Cevher, 9. Fay, 10. Doğrultu ve eğim, 11. Sondaj No.).

Figure 3 : Geology map (a), block (b) and pannel diagram of Karamadazi Iron Deposit (1. Alluvium, 2. Talus, 3. Granite, 5. Quartzdiorite, 6. Limestone, 7. Quartzite, 8. Skarn and ore, 9. Fault, 10. Strike and dip, 11. Drilling number).

Bu yayında bölgedeki Karamadazı, Karaburun, Sayburnu, Nevruz Tepe-Kurbağa Pınarı, Kavalı Köy ve Dereköy-Karataşlık demir yataklarının jeolojik özellikleri incelenmeye çalışılmıştır.

Karamadazı Demir Yatağı

Coğrafik Konum : Bu yatak Yahyalı ilçesine bağlı Karamadazı Köyüne 1.5 Km. kadar doğusunda bulunmaktadır. Bu yatak daha önce Ağar (1962), Aytuğ (1964), Jacobson (1968), Şenöz (1976) ve Oygür ve diğ. (1978) tarafından incelenmiştir. Yasal olarak Özkoynucu Madencilik Ltd. Şirketinin işletme ruhsatı içinde bulunan bu yatağın yataklanma şekli ve rezervi sondajlı araştırmalar ile belirlenmeye çalışılmıştır.

Cevher - Yankayaç İlişkisi ve Geometrisi : Bu demir yatağı Permo-Triyas yaşı, marn arakatkılı kireçtaşları ile Paleosen-Eosen yaşı asit mağmatik kayaçların dokunağında bulunmaktadır (Şekil 3). Cevherleşime fazla geniş olmayan bir skarn zon içindedir. Ecemış Fay Zonuna ait faylar cevherleşmeyi ve çevre kayaçlarını KD-GB doğrultuda kesmekte olup ayrıca mağma yükselmesi sırasında oluşmuş blok düşmeleri de gözlenmektedir. Şekil 3'de cevherleşmenin kireçtaşı-mağmatik kayaç dokanağına paralel cevher cepleri şeklinde yataklanlığı izlenmektedir.

Mineral İçeriği : Cevherden ve skarn zonundan alınan örneklerde epidot, diyopsit, granat, aktinolit, plajiyoklaz, biyotit, titan, apatit, klorit, manyetit, pirotin, pirit, kalkopirit, sipinel, az mikatrlarda sfalerit ve kuvars gibi mineraler gözlenmektedir. Bu mineraler skarn ve cevher mineralerleri olarak ayrılabilirler.

Skarn Mineralleri :

Epidotlar; pistazit bileşimli olup ksenoblastik şekillidirler. Tane boyları ortalaması 0.49-0.91 mm arasında değişmektedir.

Diyopsitler; 0.25-0.32 mm tane boylu çubuk ve/veya tablo şekilli kristaller şeklindedirler. Bir kısmı tiptomolit ve aktinolitlere dönüşmüştür.

Granatlar; grossular bileşimli olup ksenoblastik ve granoblastik şekillidirler. Ortalama tane boyları 0.21-2.45 mm arasında değişmekte olup büyük bir çoğunluğu karbonatlaşma göstermektedir. Ayrıca kristallerde gözlenen çatlaklar serisit, kuvars, kalsedon ve epidot ile doldurulmuştur.

Aktinolitler; çubuklar şeklinde olup granatların içinde kapantı halde gözlenmektedirler. Kısmen karbonatlaşmışlardır.

Plajiyoklazlar; oligoklaz bileşimli olup serisitleşme, kloritleşme ve killeşme göstermektedir.

Biyotitler; geniş ve uzun tablar şeklinde olup yer yer flogopit ve klorite dönüşmüşlerdir.

Kloritler; erime boşuklarına yerleşmiş hidrotermal oluşumlar şeklindedirler.

Kuvarslar; 0.34 mm ortalaması tane boylu, kseneomorf kristaller şeklindedirler.

Titan ve apatitler; çok az miktarlarda parajenze katılmaktadır.

Cevher Mineralleri :

Manyetit; ana cevher mineralidir. Genellikle katkastik doku ve basınç ikizlenmeleri göstermekte olup, maghemit ve hematite dönüşmiş hipidiyomorf ve ksenomorf mikrokristaller şeklindedirler. Skarnlar ile eş oluşumludurlar.

Pirotin; bazı örneklerde markasite dönüşmüş olarak az miktarlarda bulunmaktadır.

Pirit; manyetit içerisinde sokulumlar halindedir. Bu nedenle ardoluşumlu oldukları düşünülebilir.

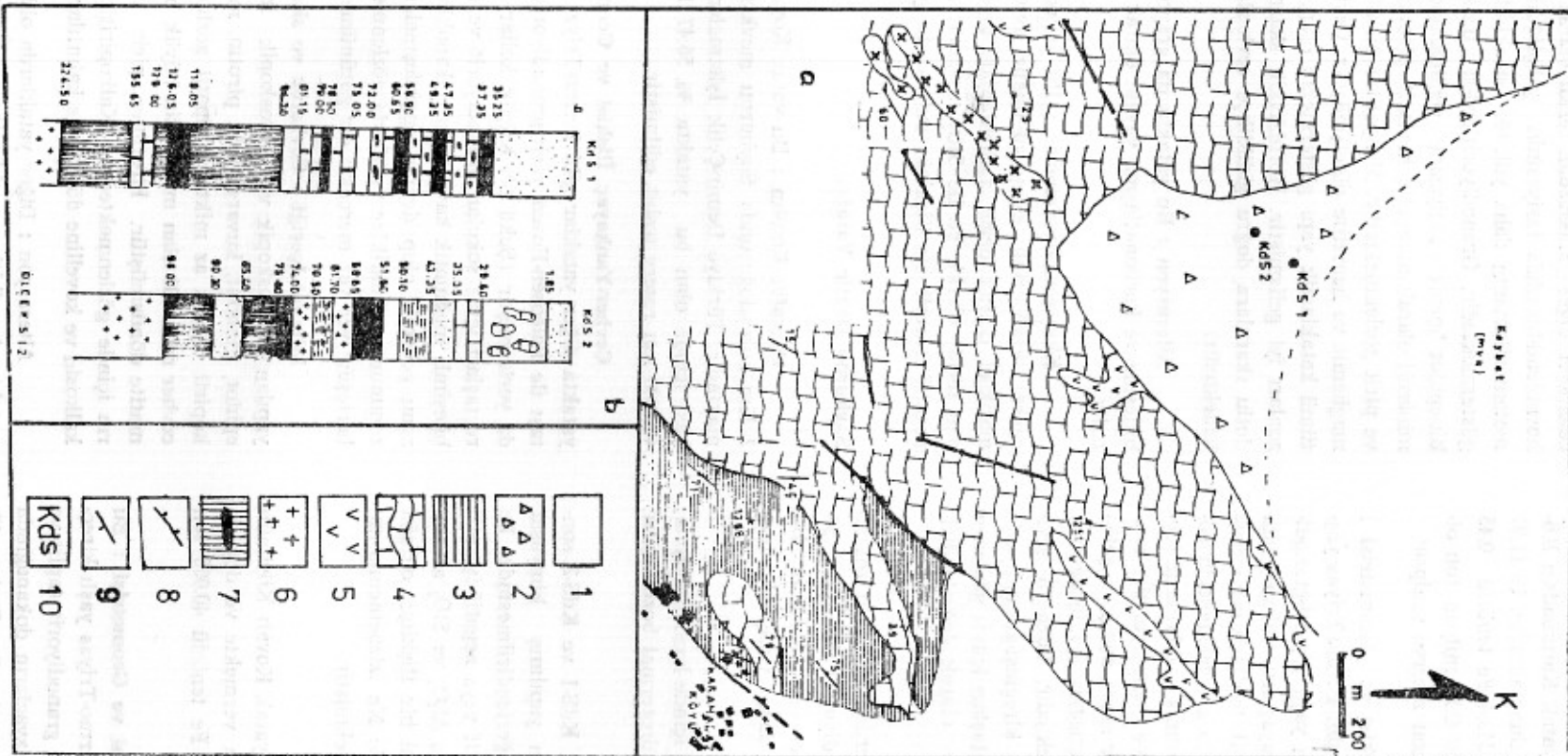
Kalkopirit; pirit ve manyetik içerisinde sokulumlar halinde az miktarlarda bulunmaktadır.

Sfalerit; kalkopirit içerisinde kapantılar şeklinde gözlenmektedir.

Spinel; kalkopirit, pirit ve pirotin ile birlikte çok az olarak gözlenmektedir.

Alterasyon : Mağmatik kayaçlarda albitleşme, serisitleşme, killeşme, metamorfik kayaçlarda ise turmalinleşme gözlenmektedir. Ayrıca skarn mineralerinin çatlaklarında kaledon, florit, serisit, kuvars ve bazen ksenomorf oluşumlar halinde zeolit ve bol miktarda kalsit gözlenmektedir. Kayaçlar içerisinde yer yer pirit, klorit, epidot birliği gözlenebilmektedir.

Kimyasal İncelemeler : Cevher ve derinlik kayaçlarından alınan örneklerin kimyasal analiz sonuçları matematiksel olarak değerlendirilmiş ve cevherin Ca içeriğinin Na içeriğine göre çok yüksek olduğu Fe ve SiO_2 arasında doğrusal pozitif veya negatif herhangi bir ilişkinin bulunmadığı, cevher ve yan kayaçların çinko ve bakır içeriklerinin birbirine yakın olduğu saptanmıştır.



Şekil 4 : Karaburun Demir Yatağının jeoloji haritası (a) ve sondaj logları (b) (1. Alüvyon, 2. Döküntü, 3. Şist 4. Kireçtaşı, 5. Dasit, 6. Granodiyorit porfir, 7. Skarn ve cevher, 8. Fay, 9. Doğrultu ve eğim, 10. Sondaj yeri).

Figure 4 : Geology map (a) and dirillig logs (b) of Karaburun Iron Deposit (1. Alluvium, 2. Talus, 3. Schist, 4. Limestone, 5. Dasite, 6. Granodiorite porphyrite 7. Skarn and ore, 8. Fault, 9. Strike and dip, 10. Location of Dirilling).

Karaburun Demir Yatağı

Coğrafik Konum : Bu yatak Karamadazı Köyüne 600 m. kadar batısında bulunmaktadır. % 11.91 Fe tenörlü 3.5 milyon ton, % 31.64 Fe tenörlü 0.45 milyon ton, % 54.90 Fe tenörlü 0.35 milyon ton olmak üzere toplam 4.3 milyon ton rezerve sahiptir.

Cevher - Yankayaç İlişkisi ve Geometrisi : Bu yatakta Karamadazı yatağı gibi Permo-Triyas yaşılı kireçtaşları ile Palosen-Eosen yaşılı diyorit-granodiyorit bileşimli asit mağmatik kayaçların dokanağında bulunmaktadır (Şekil 4). Jeolojik haritada cevherleşme izlenmemekle birlikte, jeofizik incelemelerin sonuçlarından yararlanılarak yapılmış sondajların loglarında kireçtaşları ile diyorit ve granodiyoritler arasında 23-120 m. kalınlıklarda bir skarn zonunun geliştiği ve bu skarn zonu ile kireçtaşları içinde demirli seviyelerin bulunduğu görülmektedir. Cevherli seviyeler kireçtaşı tabakalarına ve kireçtaşı-granodiyorit dokunaklarına paraleldir. Kireçtaşları içinde gözlenen cevherli seviyeler eksoskarnlar olarak değerlendirilebilir.

Mineral İçeriği : Cevherden ve skarn zonundan alınan örneklerde epidot, diopsit, manyetit, pirotin, spekülarit gibi mineraller bulunmaktadır. Bu minerallerin özellikleri Karamadazı yatağındakilere benzemektedir.

Alterasyon : Yan kayaç içinde karbonatlaşma, silislesme ve albitleşme gibi hidrotermal bozunmalar göze çarpmaktadır.

Kimyasal İncelemeler : KdS-1 ve KdS-2 sondajlarından alınan örneklerden yapılmış kimyasal analizlerin matematiksel değerlendirilmesinde; Fe ile SiO_2 ve Al_2O_3 arasında pozitif veya negatif işaretli doğrusal bir ilişki bulunmadığı, Al_2O_3 ve SiO_2 arasında ise pozitif işaretli doğrusal bir ilişkinin olduğu saptanmıştır. Ayrıca analizlerde Na izlenmemiş ancak K'nın yüksekliği dikkati çekmiştir.

Kovalı Köyü Demir Yatağı

Coğrafik Konum : Bu yatak Kovalı Köyüne yerleşim alanı içinde mostra vermektedir ve doğuya doğru uzanmaktadır. % 54.33 Fe tenörlü 40.000 ton görünürlük rezervi vardır.

Cevher-Yankayaç İlişkisi ve Geometrisi : Bu yatakta diğer iki yatak gibi Permo-Triyas yaşılı kireçtaşları ile Paleosen-Eosen yaşılı granodiyorit (aplit ve porfirit) bileşimli mağmatik kayaçların dokanağında gelişen skarn zonlarında bulunmaktadır. Cevher düzensiz şekilli küteller ve cepler halindedir (Şekil 5).

Mineral İçeriği : Skarn zonunda yapılan incelemeler diğer yataklardan farklı olarak bu yatakta hornblend-hornfels fasiyesinin gelişğini ve kontak metamorfizmanın daha yüksek sıcaklıkta olduğunu göstermektedir. Granodiyoritlerden uzaklaşıkça alb-bit-epidot hornfels fasiyesine geçilmektedir. Cevher minerali olarak manyetit, hematit, pirotin, kalkopirit ve pirit gözlenmektedir. Manyetitin büyük çoğunluğu maghemit ve hematite dönüşmüştür. Cevherleşmenin tümü kataklastik yapı göstermekte olup, oksidasyon zonları iyi gelişmiştir. Hornblendli skarnlardan epidotlu skarnlara doğru gidildikçe cevherleşme genişlemektedir.

Alterasyon : Bu yatakta da grayzenleşme, albitleşme ve karbonatlaşma yaygın olarak gözlenmektedir.

Kimyasal İncelemeler : Bu yataktan alınan cevher örneklerinin kimyasal analiz sonuçları matematiksel olarak değerlendirildiğinde diğer yataklardan farklı olarak Fe ile SiO_2 arasında doğrusal ve negatif işaretli bir ilişkinin bulunduğu gözlenmiştir.

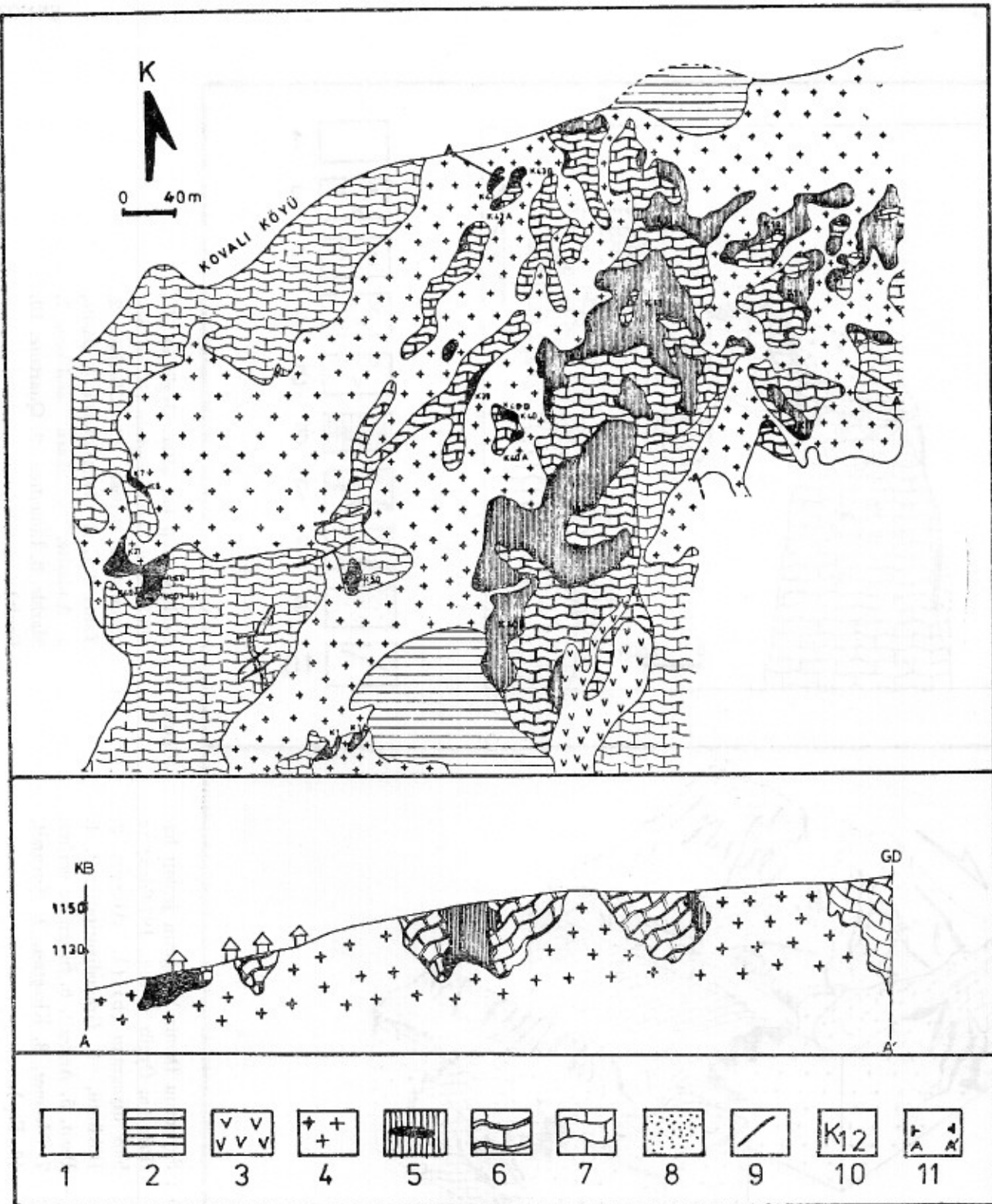
Sayburnu Demir Yatağı

Coğrafik Konum : Bu yatak Kovalı Köyüne 2 Km kuzeydoğusunda Sayburnu mevkisinde bulunmaktadır. Türkiye Demir-Çelik İşletmeleri ruhsat sahası içinde olan bu yatakta % 56.47 Fe tenörlü 400.000 ton rezerv tesbit edilmiştir.

Cevher-Yankayaç İlişkisi ve Geometrisi : Bu yatakta diğer yataklar gibi Permo-Triyas yaşılı kireçtaşı ile Paleosen-Eosen yaşılı granodiyorit dokanağında yerleşmiştir (Şekil 6). Küçük kollar şeklinde kireçtaşları içine sokulan granodiyorit ve dasit-andezit bileşimli mağmatik kayaçların dokanaklarında skarn zonu gelişmiş olup demir zenginleşmeleri bu skarn zonunun mağmatikler tarafından gözlenmektedir. Cevherleşme yer yer merceksi bir görünümü sahiptir.

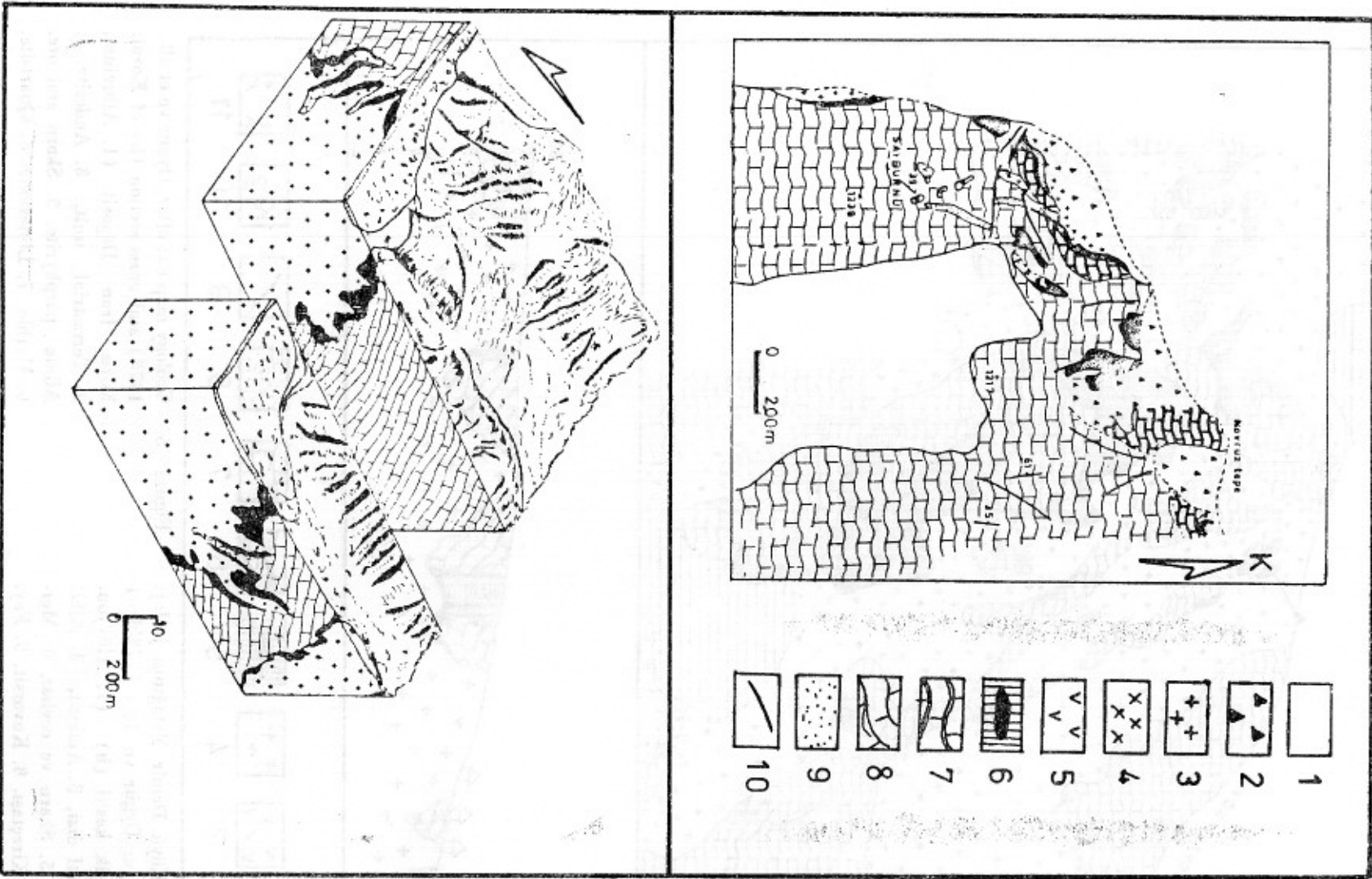
Mineral İçeriği : Cevherde ve skarn zonunda yapılan makroskopik ve mikroskopik incelemelerde epidot, tremolit, kuvars, pirit, pirotin, manyetit, kalkopirit ve çok az miktarda apatit gözlenmiştir. Ana cevher minerali olan manyetitin büyük bir kısmı hematite dönüşmüştür. Pirotinler pirit ve kuvarların içinde gözlenmektedir. Kalkopiritler, genellikle kalkosin ve kovellite dönüşmüş kalıntılar şeklindedir.

Alterasyon : Diğer yataklarda olduğu gibi bu yatakta da albitleşme, kloritleşme, serisitleşme ve turmalinleşme yaygındır.



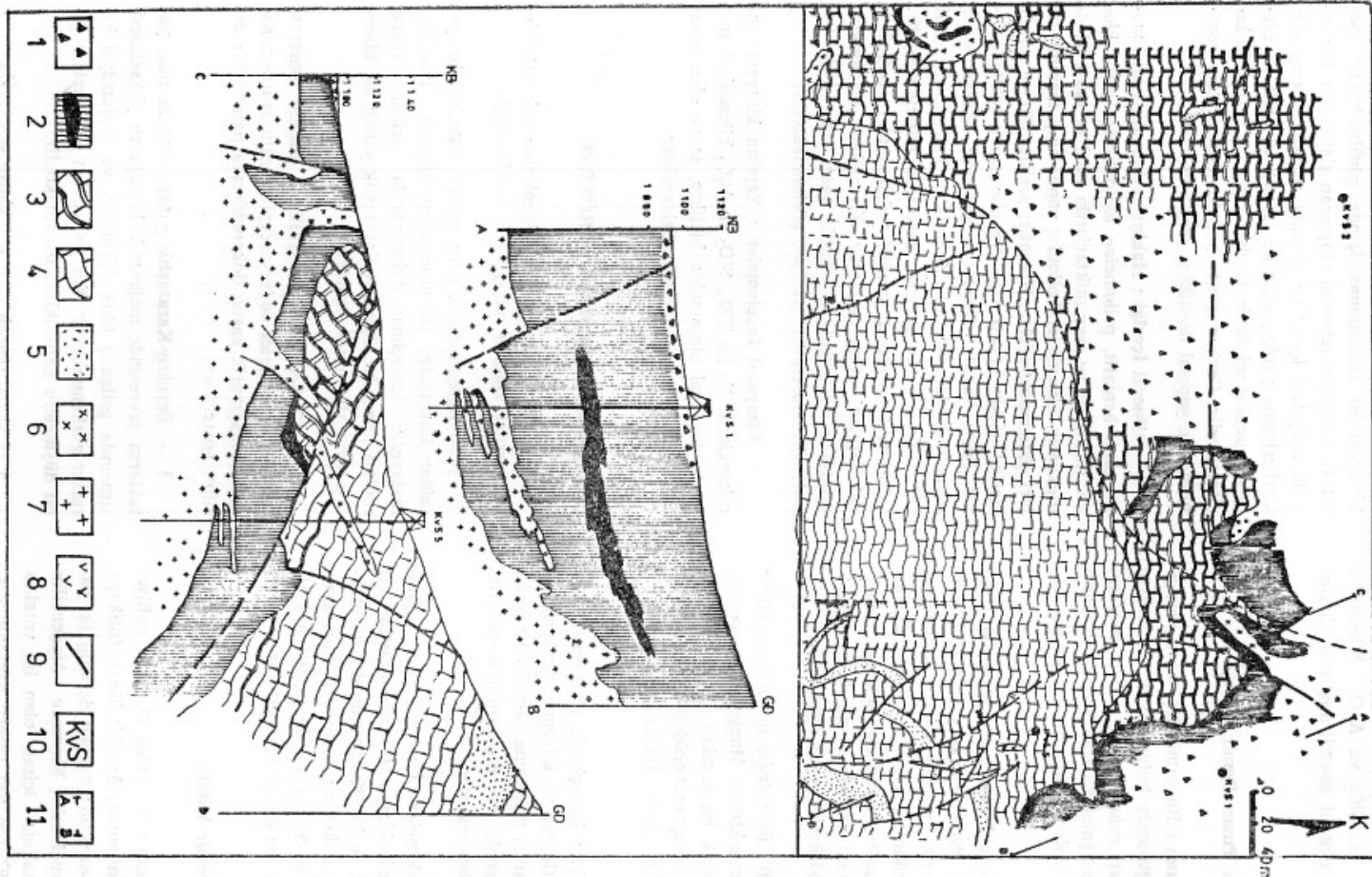
Şekil 5 : Kovalı Köyü Demir Yatağının jeoloji haritası (a; Oygür ve diğ., 1978'den) ve jeolojik kesiti (b) (1. Alüvyon, 2. Karasal dizi, 3. Andezit, 4. Albite porfirit, 5. Skarn ve cevher, 6. Mermer, 7. Kireçtaşı, 8. Kuvarsit, 9. Fay, 10. Örnek yeri, 11. Kesit yeri).

Figure 5 : Geology map (a; after, Oygur ve et all., 1978) and cross section (b) of Kovalı Köyü Iron Deposit (1. Alluvium, 2. Terrastrial unit, 3. Andesite, 4. Albite porphyrite, 5. Skarn and ore, 6. Marble, 7. Limestone, 8. Quartsite, 9. Fault, 10. Location of sample, 11. Cross section line).



Sekil 6 : Sayburnu Demir Yatağının jeoloji haritası (a; Oygür ve diğ., 1978'den) ve blok diyagramı (b) (1. Alüvyon, 2. Döküntü, 3. Granodiyorit-diyorit, 4. Dasit, 5. Andezit, 6. Skarn ve cevher, 7. Mermer, 8. Kireçtaşı, 9. Kuvarsit, 10. Fay).

Figure 6 : Geology map (a; after, Oygür et all., 1978) and block diagram (b) of Sayburnu Iron Deposit (1. Alluvium, 2. Talus, 3. Granodiorite-diorite, 4. Dasite, 5. Andesite, 6. Skarn and ore, 7. Marble, 8. Limestone, 9. Quartzite, 10. Fault).



Şekil 7 : Nevruz Tepe-Kurbağa Pınarı Demir Yatağının Jeoloji Haritası (a) ve kesitleri (b, c) (Oygür ve diğ., 1978'den; 1. Döküntü, 2. Skarn ve cevher, 3. Mermer, 4. Kireçtaşı, 5. Kuvarsit, 6. Dasit, 7. Granodiyorit-diyorit, 8. Andesit, 9. Fay, 10. Sondaj yeri, 11. Kesit yeri).

Figure 7 : Geology map (a) and cross sections (b, c) of Nevruz Tepe-Kurbağa Pınarı Iron deposit (After, Oygür et all., 1978; 1. Talus, 2. Skarn and ore, 3. Marble 4. Limestone, 5. Quartzite, 6. Dacite, 7. Granodiorite-diorite, 8. Andesite, 9. Fault, 10. Location of drilling, 11. Cross section line).

Kimyasal İncelemeler : Bu yataklardan alınan örneklerin kimyasal analiz sonuçlarının matematiksel değerlendirilmesinde Fe , SiO_2 ve Al_2O_3 bileşenleri arasında pozitif veya negatif işaretli doğrusal bir ilişki saptanamamıştır.

Nevruz Tepe-Kurbağa Pınarı Demir Yatağı

Coğrafik Konum : Bu yatak Sayburnu Yatağı'nın 700 m kadar doğusunda bulunmaktadır. Türkiye Demir-Çelik İşletmeleri ruhsat sahası içinde bulunan bu yataktaki sondajlı çalışmalar ile % 49 - 52 Fe tenörlü 865 000 ton rezerv tespit edilmiştir (Oygür ve diğ., 1978).

Cevher-Yankayaç İlişkisi ve Geometrisi : Bu yataktaki diğerleri gibi Permo-Triyas yaşı kireçtaşları ile Paleosen-Eosen yaşı granodiyoritlerin dokanağında, skarnlar içinde bulunmaktadır (Şekil 7-8). Cevher skarn zonu içinde uzamış mercekler şeklinde yataklanmıştır. Ayrıca granodiyoritler içinde de ince bantlar şeklinde cevher gözlenmektedir (Şekil 8).

Mineral İçeriği : Bu yatağın mineral içeriği de diğer yataklara benzemektedir. Manyetit ana cevher mineralidir. İlave olarak bu yataktaki skapolit bulunmaktadır ve «diyopsit-hidrogranat-epidot-skapolit-fels» parajenezi belirgin olmaktadır. Ayrıca şist dokusu da gözlenmektedir.

Aterasyon : Yan kayaçlarda albitleşme, turmalinleşme, korbonatlaşma ve killeşme, cevherli kesimlerde ise serisitleşme, silisleşme (kuvars ve opal) ve zeolitleşme gözlenmektedir. Bu bozunma zonlarında yer yer florit gözlenmektedir.

Kimyasal İncelemeler : Cevher kesilen sondajlardan alınan örneklerin kimyasal analiz sonuçları bu yataktaki Na içeriğinin ve Na/K oranının diğer yataklara göre çok yüksek olduğunu göstermektedir. Ayrıca bu yataktaki Al_2O_3 ve SiO_2 arasında pozitif işaretli doğrusal bir ilişkinin varlığı gözlenmektedir.

Dereköy-Karataşlık Demir Yatağı

Coğrafik Konum : Bu yatak Dereköy nahiyesinin 2-3 Km kuzeybatısında, Ayraklı Tepe, İnlıkaya Tepe ve Küme Tepe arasında uzanan derenin iki yanındaki mostra vermektedir. Koyuncu Madencilik Ltd. Şirketi ruhsat sahası içinde olan bu yataktaki % 52,86 Fe tenörlü 927 656 ton rezerv saptanmıştır. Arsen içeriği çok yüksektir.

Cevher-Yankayaç İlişkisi ve Geometrisi : Bu yatak diğerlerinden farklı olarak Permo-Triyas yaşı kireçtaşlı-sist ardalanması içinde görülmektedir (Şekil 9). Cevherin tabanını oluşturan şistler yer yer piritli seviyeleri içerir ve organik maddece zengindir. Cevherleşme yankayaçlar ile az çok uyumlu ve uzamış merceksi şekillidir. Cevher daha geç faylar ile kesilmektedir. Cevher içinde konglomera-kumtaşı görünümünde yapısal özellikler gözlenmektedir.

Mineral İçeriği : Hakim cevher minerali limonit olup hematit, psilomelan lepidokrosit, pirit, klorit, muskovit ve eser miktarlarında rutil ve barit izlenmektedir. Limonitler koloidal yapılı olup taşınma izleri göstermektedirler. Hematit; serisit fillit ve serisit şistler içinde kripto kristalin oluşumlar şeklindedirler. Pirit; kalıntı kristaller şeklinde gözlenmeyece olup, ileri derecede oksitlenmiştir. Psilomelan; killi bir litoloji içerisinde eser miktarında gözlenmektedir. Götit ve lepidokrosit ritmik ardalanmalar ve koloidal yapılar göstermektedir. Kuvarslar ksenomorf kristaller şeklinde gözlenmektedir. Rutil; şistler içerisinde kalıntı ağır mineraller şeklinde gözlenmektedir.

Kimyasal İncelemeler : Yapılan kimyasal incelemede Fe ile TiO_2 , SiO_2 ve Al_2O_3 bileşenleri arasında doğrusal olmamakla birlikte, az da olsa negatif bir ilişkinin bulunduğu gözlenmiştir.

YATAKLARIN OLUŞUMU ve KÖKENİ

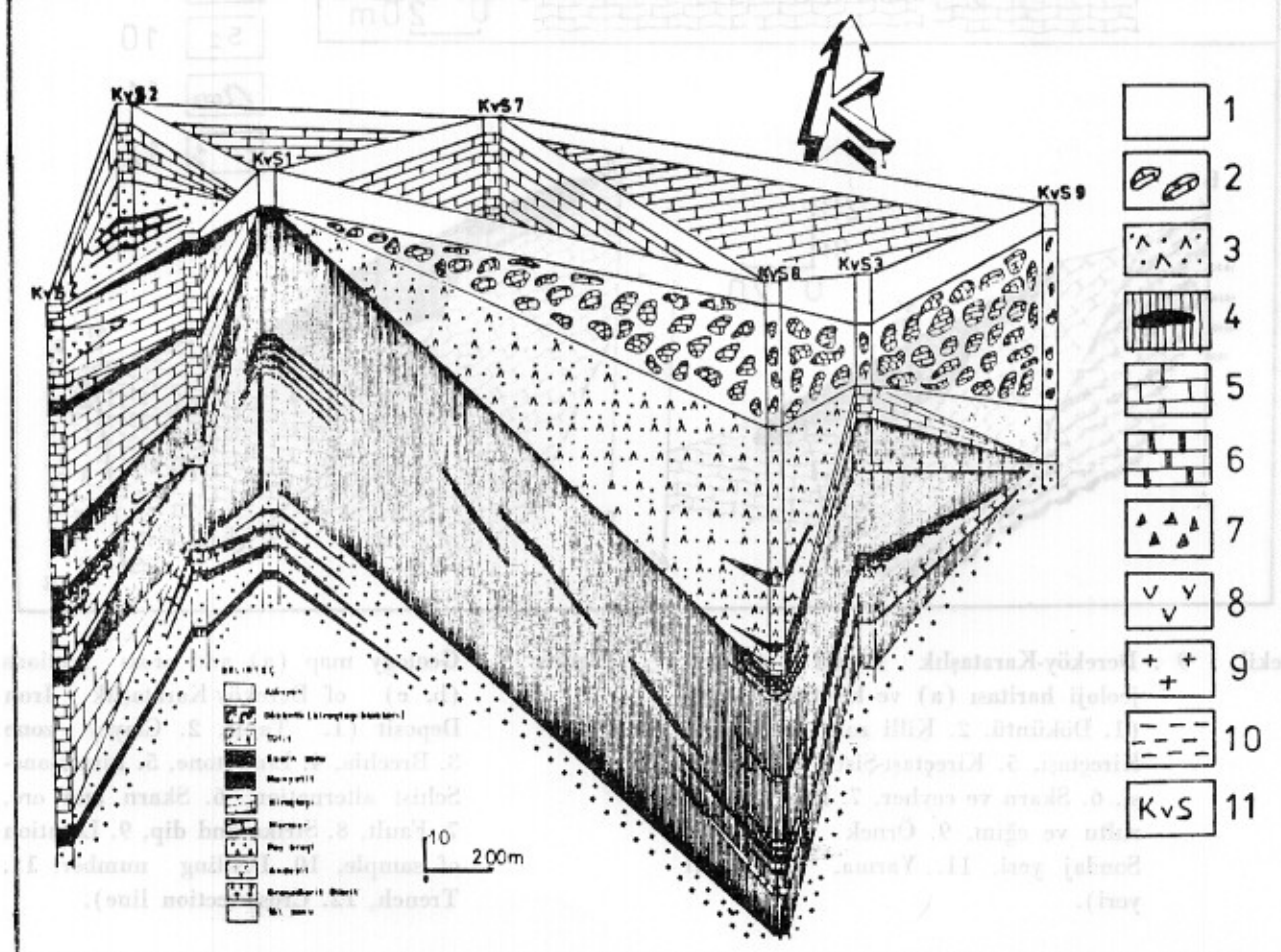
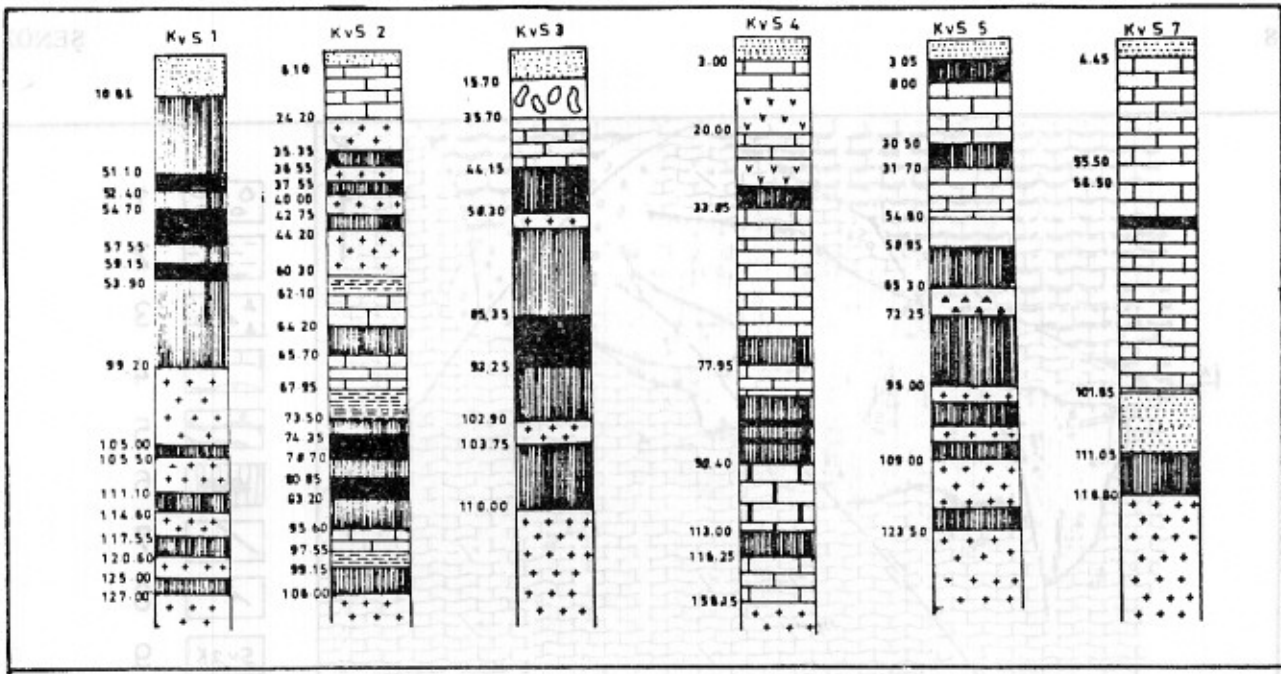
Yatakların oluşumu ve kökenlerine ışık tutabilecek veriler aşağıda olduğu gibi sıralanabilir.

1 — Dereköy-Karataşlık yatağı dışında tüm yataklar kireçtaşları ile granodiyorit-diyorit bileşimli mağmatik kayaçların dokanağında gelişmiş skarn zonları içindedir. Dereköy-Karataşlık yatağı ise kireçtaşlı-sist ardalanması içindedir.

2 — Cevher yatakları şekilleri düzgün olmayan merceğimsi kütleler ve/veya cepler şeklinde dirler. Kireçtaşlı-mağmatik kayaç dokanaklarına paralel bir dizilim gösterirler.

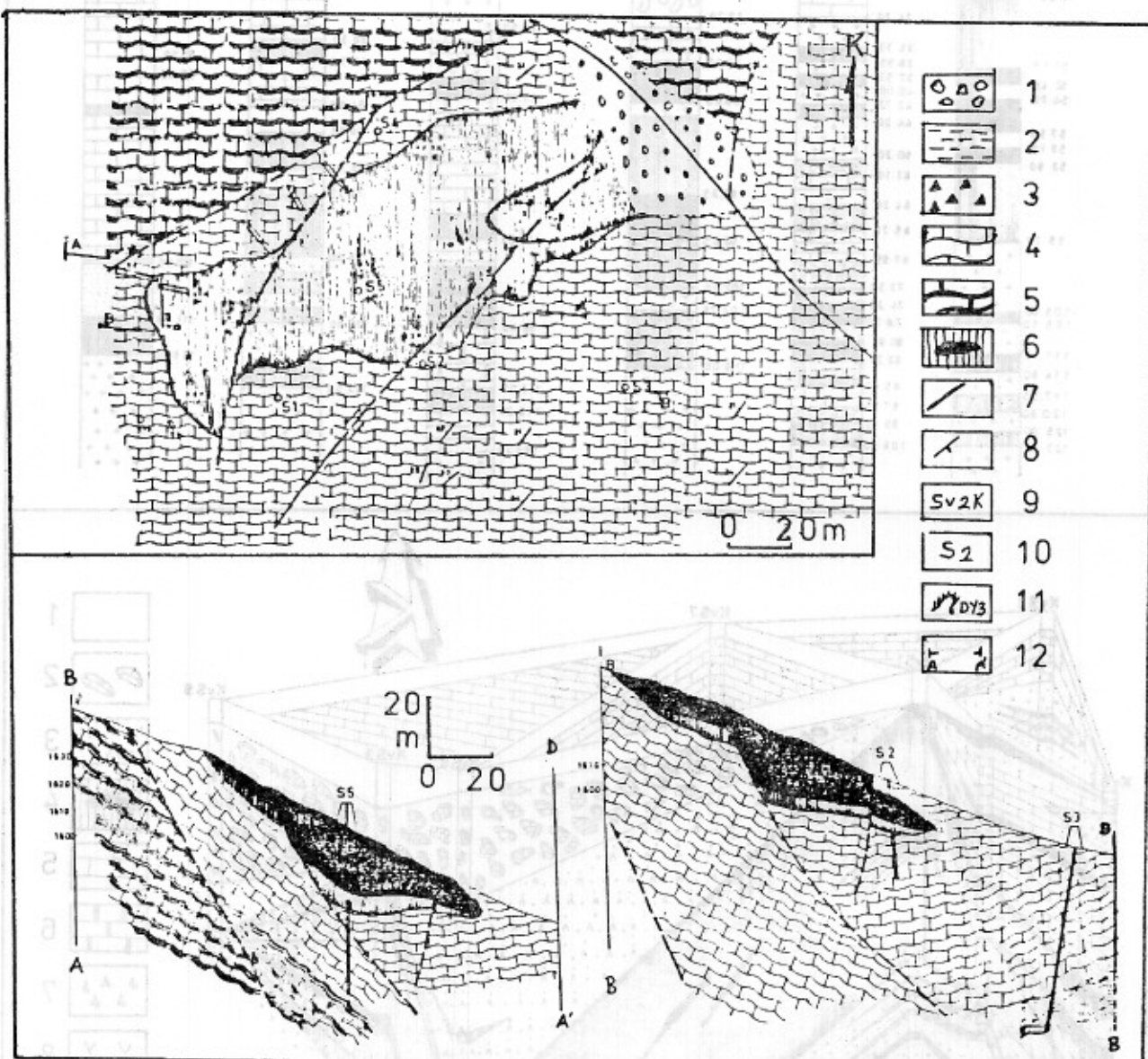
3 — Dereköy-Karataşlık yatağı dışında tüm yatakların çevresinde mağmatik kayaçların yükselmesi sırasında gelişmiş blok düşmeleri ve tanjansiyel kırıklar gözlenmektedir. Yer yer cevher kütlelerinin de bu düşmelere katıldığı izlenmektedir.

4 — Genel olarak tüm yatakların ana cevher minerali manyetittir. Sayburnu yatağında manyetit



Şekil 8 : Nevruz Tepe-Kurbağa Pınarı Demir Yatağının sondaj logları (a) ve panel diyagramı (b) (1. Alüvyon, 2. Döküntü, 3. Tüf, 4. Skarn ve Cevher, 5. Kireçtaşı, 6. Mermer, 7. Fay bireşi, 8. Andezit, 9. Granodiyorit-diyorit, 10. Killi zon, 11. Sondaj No:).

Figure 8 : Drilling logs (a) and Panel diagram (b) of Nevruz Tepe-Kurbağa Pınarı Iron Deposit (1. Alluvium, 2. Talus, 3. Tuff, 4. Skarn and ore, 5. Limestone, 6. Marble, 7. Fault brechia, 8. Andesite, 9. Granodiorite diorite, 10. Clayey zone, 11. Drilling number).



Sekil 9 : Dereköy-Karataşlık Demir Yatağının jeoloji haritası (a) ve kesitleri (b, c) (1. Döküntü, 2. Killi zon, 3. Breş, 4. Kireçtaşı, 5. Kireçtaşı-Şist ardalanması, 6. Skarn ve cevher, 7. Fay, 8. Dogrultu ve eğim, 9. Örnek yerleri, 10. Sondaj yeri, 11. Yarma, 12. Kesit yeri).

yanında hematit bileşime katılmakta, Dereköy-Karataşlık yatağında ise yalnızca limonit ve ileri derecede oksitlenmiş piritler görülmektedir. Tüm yataklarda eser miktarlarda pirit, pirotin, kalkopirit, sfalerit gibi minerallerde gözlenebilmektedir. Ancak bu mineraller manyetitlere göre ard oluşumlu gözükmeke- dirler.

Figure 9 : Geology map (a) and cross sections (b, c) of Dereköy-Karataşlık Iron Deposit (1. Talus, 2. Clayey zone 3. Brechia, 4. Limestone, 5. Limestone-Schist alternation, 6. Skarn and ore, 7. Fault, 8. Strike and dip, 9. Location of sample, 10. Drilling number, 11. Trench, 12. Cross section line).

5 — Skarn zonlarında genellikle albit-epidot hornfels fasiyesine özgü mineraller gözlenmekte olup, yalnızca Kovalı Köy Demir Yatağı çevresinde mağmatik kütleye yakın yerlerde hornblend hornfels fasiyesinin geliştiği ve mağmatik kütleden uzaklaşıkça albit-epidot hornfels fasiyesi koşullarına geçildiği gözlenmektedir.

6 — Yataklardan ve çevre kayaçlarından alınan örneklerde yapılmış kimyasal analiz sonuçlarından yatakların genellikle Ca içeriklerinin yüksek; Na ve K içerikleri ile Na/K oranının düşük ($Na < K$) olduğu; Fe, SiO_2 ve Al_2O_3 içerikleri arasında pozitif veya negatif işaretli herhangibir doğrusal ilişkinin bulunmadığı ancak belirsiz de olsa Fe ile SiO_2 arasında birlikte artan, Fe ile Al_2O_3 arasında ise ters yönlü bir dağılım bulunduğu saptanmıştır.

Yukarıdaki veriler bölgedeki demir yataklarının oluşum ve kökenleri bakımından skarn zonları ile ilişkili olanlar ve olmayanlar şeklinde iki grupta incelenebileceklerini göstermektedir.

1. Skarn zonları ile ilişkisi olmayan Dereköy-Karataşlık Demir Yatağının cluşumu :

Demir cevher minerali olarak yalnızca limonit ve ileri derecede oksitlenmiş piritler içeren bu yatak tamamen sedimanter kökenli kireçtaşısı ve şistler içinde olup çevrede herhangi bir mağmatik kayaç ve/veya skarn oluşumu gözlenmemektedir. Cevherin tabanında bulunan şistlerin içinde piritçe ve organik maddece zengin seviyeler bulunmaktadır. Cevher kütlesi yan kayaçlar ile uyumlu gözükmekle birlikte devamlı bir tabakalanma ve şistozite düzlemleri görülmekte, kütte tipi bir cevher yiğisimi gözlenmektedir. Bu yatak yan kayaçlar ile eş zamanlı olmuş (sinjenetik) olabileceği gibi şistlerin piritce zengin seviyelerinin bozunması ve serbestleşen pirit ile demir iyonlarının bozunma ortamında veya çok yakınında tekrar birikmesi sonucu olmuş olabilirler.

Ortam analizleri Orta Permiyen'de denizin sıaglişğını ve lagünler havzaların olduğunu ve birinci olasılığın mümkün olduğunu göstermesine karşın, cevherleşmelerin yan kayaçlar ile tam uyumlu olmaması ve şistlerin oluşumu sırasında ortamın limonit oluşumu için uygun olmaması (şistler içinde pirit ve organik maddece zencin seviyelerin bulunması ortamın indirgen olduğunu göstermekte, limonit ise oksidan ortamlarda olmaktadır) bu olasılığı zayıflatmaktadır.

Cevher içinde bozunmuş piritlerin bulunması, taneli yapı ve doku izlerinin gözlenmesi ikinci oluşum mekanizmasını daha uygun kılmaktadır. Yani tabandaki şistler içinde bulunan piritli seviyelerin bozunması ile serbestleşen piritler ve çözünen demir iyonları bozunma ortamında veya çok yakınında tekrar çökelerek ve/veya birikerek bu demir yatağını oluşturmuşlardır.

2. Skarn zonları ile ilişkili demir yataklarının oluşumu :

Bölgelinin statigrafik dizilimi içinde skarn zonlarının ve demir yataklarının konumu Şekil 10'da gösterilmiştir. Bu şekilden görüldüğü gibi demir yatakları Permo-Triyas yaşı kireçtaşları ile Paleosen-Eosen yaşı granodiyorit-diyorit bileşimli derinlik kayaçları ve lamporfirik-aplitik ürünlerinin dokanaklarında gelişmiş skarn zonları içinde bulunmaktadır.

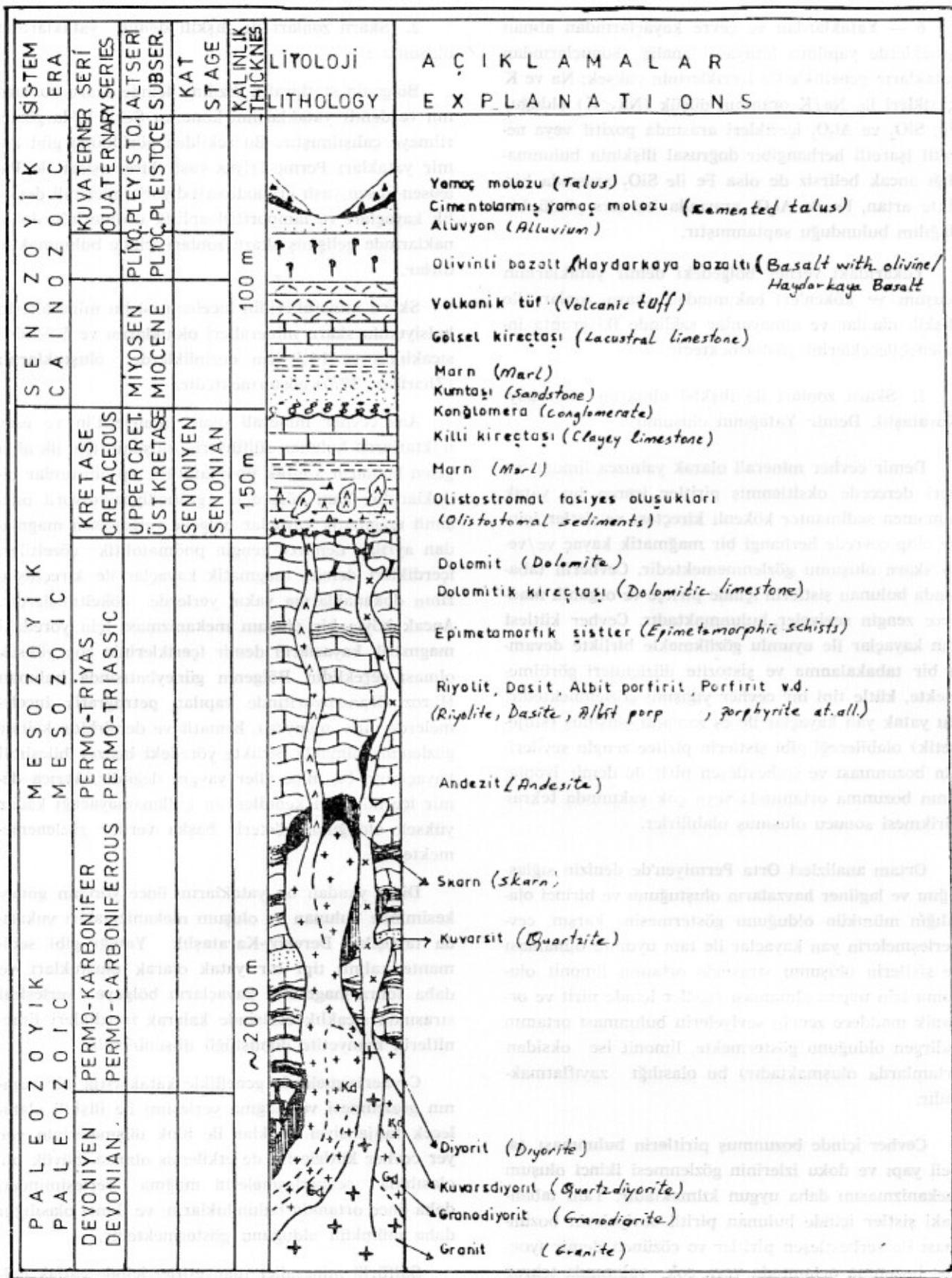
Skarn minerallerinin incelenmesi bu minerallerin kalsiyumlu skarn mineralleri oldukları ve 500-550°C sıcaklıkta ve 1-1,5 Km derinliklerde oluşuklarını (Zharikov, 1970) göstermektedir.

Ana cevher minerali olan manyetit'in ve eser miktarlarda bulunan sülfürlerin oluşumu için ilk akla gelen bunların kontak pnömatolitik tip oluşumlar olmaktadır. Yani bölgedeki granodiyorit-diyorit bileşimli magmatik kayaçlar bölgeye yerlesirken magma dan ayrılan demirce zengin pnömatolitik çözeltiler, içerdikleri demiri magmatik kayaçlar ile kireçtaşlarının dokanaklarına yakın yerlerde çökelmişlerdir. Ancak böyle bir oluşum mekanizması için yöredeki magmatik kayaçların demir içeriklerinin çok yüksek olması gereklidir. Bölgenin güneybatısında bulunan Horoz Granodiyoritinde yapılan petrografik incelemelerde pirit, manyetit, hematit ve demirhidroksitler gözlenmiş olmakla birlikte yöredeki benzer bileşimli kayaçlarda bu mineraller yaygın değildir. Ayrıca demir içeriklerinin kendilerinin kullanamayacağı kadar yüksek olduğunu gösterir başka veriler gözlenmemektedir.

Diğer yandan bu yatakların, önce yörenin güney kesiminde bulunan ve oluşum mekanizmaları yukarıda tartışılan Dereköy-Karataşlık Yatağı gibi sedimanter-kalıntı tipi bir yatak olarak oluşturuları ve daha sonra magmatik kayaçların bölgeye yerleşimi sırasında sıcaklık etkisinde kalarak içerdikleri limonitlerin manyetite dönüştüğü düşünülebilir.

Cevherleşmelerde genellikle kataklastik bir yapınn gözlenmesi ve mağma yerleşimi ile ilişkili olabilecek tanjansiyel kırıklar ile blok düşmelerinin yer yer cevher kütelerini de etkilemiş olması, büyük bir olasılıkla cevherleşmelerin mağma yerleşiminden daha önce ortamda bulunduklarını ve ikinci olasılığın daha mümkün olduğunu göstermektedir.

Sülfürü mineraller manyetitler içinde çatlak dolduları (sokulumlar) şeklinde olduklarıdan manyetitlerden daha sonra oluşmuşlardır.



Şekil 10 : İnceleme alanının dikme kesiti içinde demir yataklarının konumu.

Figure 10 : Position of the Iron Deposits in the stratigraphical section of the study area.

NOT

Bu makale, Fırat Nehri üzerinde yapılacak olan bir demiryolu köprüsünün zemin sondajı sırasında, 1983 yılında kaybettigimiz, Jeoloji Yüksek Mühendisi Erdal Şenöz'ün (1950-1983), tamamlayıp sınavına gitmediği doktora tezinin bir bölümünü kapsamaktadır.

Makaleyi büyük titizlikle yayına hazırlayan Yrd. Doç. Dr. Ahmet Gökçe'ye (C. Ü.), merhumun aliesi ve arkadaşları adına sonsuz teşekkürler ederiz.

DEĞİNİLEN KAYNAKLAR

- Abdüsselemoğlu, Ş., 1958, Yukarı Seyhan bölgesinde Doğu Torosların jeolojik etüdü : M.T.A. Rap. (yayınlanmamış), No: 2688, 38 s.
- Abdüsselemoğlu, Ş., 1959, Yukarı Seyhan Bölgesinde Doğu Torosların Jeolojik Etüdü : M.T.A. Rap. (Yayınlanmamış), No: 2668.
- Abdüsselemoğlu, Ş., 1962, Kayseri-Adana arasındaki Doğu Toroslar Bölgesinin jeolojisi hakkında rapor : M.T.A. Rap. (yayınlanmamış), No: 3264.
- Ağar, Ü. ve Kitay, R., 1962, Kayseri ili Yahyalı İlçesi Karamadazi Köyü, Özkoyuncu manyetit zuhuru civarının jeolojisi ve rezervi : M.T.A. Rap. (yayınlanmamış), No: 2886.
- Aksoy, A., 1980, Toroslar'da fasiyes yönünden farklı bir Alt Karbonifer istifi: Türkiye Jeol. Kur. Bült., 23/1, 193-199.
- Arpat, E., ve Saroğlu, F., 1975, Türkiye'de bazı genel tektonik olaylar : Türkiye Jeol. Kur. Bült., 18/1, 91-101.
- Ayan, M., 1963, Contribution à l'étude pétrographique et géologique de la région située au Nord-Est de Kaman : M.T.A. yayınları, No. 115, 332 s.
- Ayrancı, B., 1969, Zur Petrologie und Geologie des Erciyes - Vulkangebietes bei Kayseri in Zentralanatolien/Türkei: Ph. D. Thesis (unpub.), 1965, Würzburg.
- Aytuğ, G., 1964, Kayseri-Yahyalı Demir Etüdü : M.T.A. Maden etüd Dairesi Rap. (yayınlanmamış), No. 503.
- Batum, İ., 1975, Petrographische und Geochemische Untersuchungen Göllüdağ und Acıgöl (Zentralanatolien/TURKEI) : Ph. D. Thesis (Unpub.), 101 S., Freiburg.
- Batum, İ., 1978, Nevşehir Güneybatısındaki Göllüdağ ve Acıgöl yöresi volkanitlerinin jeoloji ve petrografisi : Yerbilimleri (H. Ü. yay.), 4/1, 2, 50-69.
- Blumenthal, M., M., 1941, Niğde ve Adana vilayetleri dahilinde Torosların jeolojisine umumi bakış : M.T.A. yay., No: 1, 48 s.
- Blumenthal, M., M., 1944, Kayseri - Malatya arasındaki Toros'un Permokarboniferi : M.T.A. Dergisi, 1/31, 105-133.
- Blumenthal, M., M., 1952, Toroslarda Yüksek Aladağ silsilesinin coğrafyası, stratigrafisi ve tektoniği hakkında yeni etüller : M.T.A. yay. No: 6, 136 s.
- Brennich, G., 1956, Kayseri vilayeti demir zuhurları : M.T.A. Rap. (yayınlanmamış), No : 2487.
- Brennich, G., 1959, Kayseri vilayetinde Karamadazi ile Yahyalı arasında kalan mintikanın jeolojisi : M.T.A. Rap. (yayınlanmamış), No: 2758.
- Brunn, H.J., Dumant, F.J., Graciansky Ch. P., Gutuic, M., Juteau Th., Harroux, J., Monod, O., and Poisson, A., 1971, Outline Taurides; In Gamphell, S.A., (edit), Geology and History of Turkey; Tripoli-Libya, 225-255.
- Chaput, E., 1931, Esquisse de l'évolution tectonique de la Turquie: İstanbul Darülfünün Mecm. (Ketin, 1963'ten).
- Chaput, E., 1936, Voyages d'études géologiques: etc. Paris (Ketin, 1963'ten).
- Çalapkulu, F., 1980, Horoz granodioritinin jeolojik incelenmesi : Türkiye Jeol. Kur. Bült. 23/1, 59-68.
- Erkan, Y., 1975, Orta Anadolu Masifi'nin güneybatisında (Kırşehir Bölgesinde) etkili rejyonel metamorfizmanın petrojik incelenmesi : H.Ü. Yerbilimleri Enstitüsü, Doçentlik Tezi (yayınlanmamış), 147 s.
- Frech, F., 1914, Der Vulkanismus Kleinasiens und sein Verhältnis zu Peterm. Mitt., Gotha. (Ketin, 1963'ten).
- Göncüoğlu, M.C., 1981, Niğde Masifinde Viridin-Gnaysin kökeni : Türkiye Jeol. Kur. Bülteni, 24/1, 45-51.

- Gündes, Y., 1978, Yahyalı-Kayseri Kovalı sahası demir aramaları jeofizik indüklenmiş polari-zasyon etüdü: M.T.A. Rap. (yayınlanmamış), No: 6275.
- Henden, İ., 1974, Karaköy-Mansurlu demir zuhurları genel prospeksiyonu: M.T.A. Maden Etüd Dairesi Rap. (yayınlanmamış), No: M-238.
- Henden, İ., 1975, Kayseri-Nigde-Adana il sınırları içinde yapılan prospeksiyon çalışmaları ve Aşılık madeni raporu : M.T.A. Maden Etüd Dairesi Rap. (yayınlanmamış), No : M-239.
- Henden, İ. ve diğ., 1978, Adana-Kayseri-Mansurlu-Karaköy (Attepe-Elmadagbeli kızılmevkii, Menteşdere, Uyuz pinarı) demir madenleri jeoloji ve rezerv raporu : M.T.A. Rap. (yayınlanmamış), No : 6394.
- Henden, İ. ve Önder, E., 1980, Attepe (Mansurlu) demir madeninin jeolojisi: T.J.K. Bülteni, 23/2, 153-164.
- İşik, A., 1981, Nohutlu Tepe Alt Karbonifer istifinin foraminifer biyostratигrafisi (Aladağ Bölgesi, Doğu Toroslar) : Türkiye Jeol. Kur. Bült., 24/2, 79-84.
- İmreh, L., 1965, Zamantı metal cevherleşmesi bölgесinin kurşun-çinko mineralizasyonları : M.T.A. Derg., 65, 85-108.
- Jacobson, H.S. ve diğ., 1968, Karamadazi demir madeninin jeolojisi Kayseri (Türkiye): M.T.A. Rap. (yayınlanmamış), No: 4542.
- Ketin, İ., 1963, 1/500.000 ölçekli Türkiye Jeoloji Haritası ve izahnamesi, (Kayseri Paftası) : M.T.A. yay., 82 s.
- Ketin, İ., 1966, Anadolunun tektonik birlikleri : M.T.A. Dergisi, 66, 20-34.
- Lahn, E., 1945, Anadolu'da Neojen ve Dördüncü zaman volkanizması : Türkiye Coğrafya Dergisi, III., 7-8.
- Metağ ve Stolberg, 1971, Zamantı kurşun-çinko projesi nihai raporu, maden sahalarının jeolojisi ve paleontoloji ekleri: D.P.T. Müsteşarlığı, Rap., (yayınlanmamış), C. IV, 191 s.
- Metz, K., 1956, Beiträge zur Geologie des kilikischen Taurus im Gebiete des Aladağ: Wien, Sitzungsber. Akad. d. Wiss. Abt., c. 1, 148 s.
- Oygür, V., Yurt, M.Z., Yurt, F. ve Sarı, İ., 1978, Kayseri, Yahyalı-Karamadazi ve Kovalı yöresi demir madenleri jeoloji raporu: M.T.A. Rap. (yayınlanmamış), No : 1626, 159 s.
- Önay, T.S., 1952, Kayseri ili Develi ilçesi, Yahyalı bucağında Mustafa Koyuncu'ya ait manyetit madeni hakkında maden jeoloji raporu : M.T.A. Rap. (yayınlanmamış), No. 1984.
- Özgül, N., 1976, Torosların bazı temel jeoloji özelilikleri: Türk. Jeol. Kur. Bült., 19/1, 65/78.
- Özgül, N., Metin, S., Erdoğan, B., Göger, E., Bingöl, İ. ve Baydar, O., 1973, Tufanbeyli dolayının (Doğu Toroslar-Adana) Kambriyen-Tersiyer kayalari: Türk. Jeol. Kur. Bült., 16/1, 82-100.
- Pasaquare, G., 1968, Geology of Cenozoic Volcanic area: Linnei-Memorie Sc. fisiche, S. VIII. Vd IX., Sez. 11, 3.
- Ricou, L.E., 1971, Le croissant ophiolitique periarabe, une ceinture de nappes mises en place au Cretace supérieur : Rev. Geogr. Phys. Geol. Dyn., 13 (4), 327-349.
- Ricou, L.E., Argyriadis, L., and Marcoux, I., 1975, L'axe calcaire du Taurus; un alignement de fenêtres araboafiréniques sous les nappes radiolaritiques, ophiolitiques et métamorphiques: Bull. Soc. Geol. Fr., (7), 17, 1024-1044.
- Schaffer, F., 1901, Zur Geoteknik des südöstlichen Anatoliens Peterm. Mitt. 47., (Ketin, 1963'ten).
- Şenöz, E., 1976, Mansurlu (Adana-Kayseri) Demir Yatakları Ekonomik jeolojisi: A.Ü. Yüksek Lisans tezi (yayınlanmamış), 37 s. Ankara.
- Seymen, İ., 1981, Kaman (Kirşehir) dolayında Kirşehir mağarasının stratigrafisi ve metamorfizması: Türkiye Jeol. Kur. Bült., 24/2, 7-14.
- Tchihatcheff, P., 1867, Asie Mineure: Geologie, Vol. I, Paris.
- Tchihatcheff, P., 1869, Asie mineure: Geologie, 1, 3, 552 p. Paris.
- Tekeli, O., Toroslarda Aladağlar'ın yapısal evrimi: Türkiye Jeol. Kur. Bült. 23/1, 11-14.

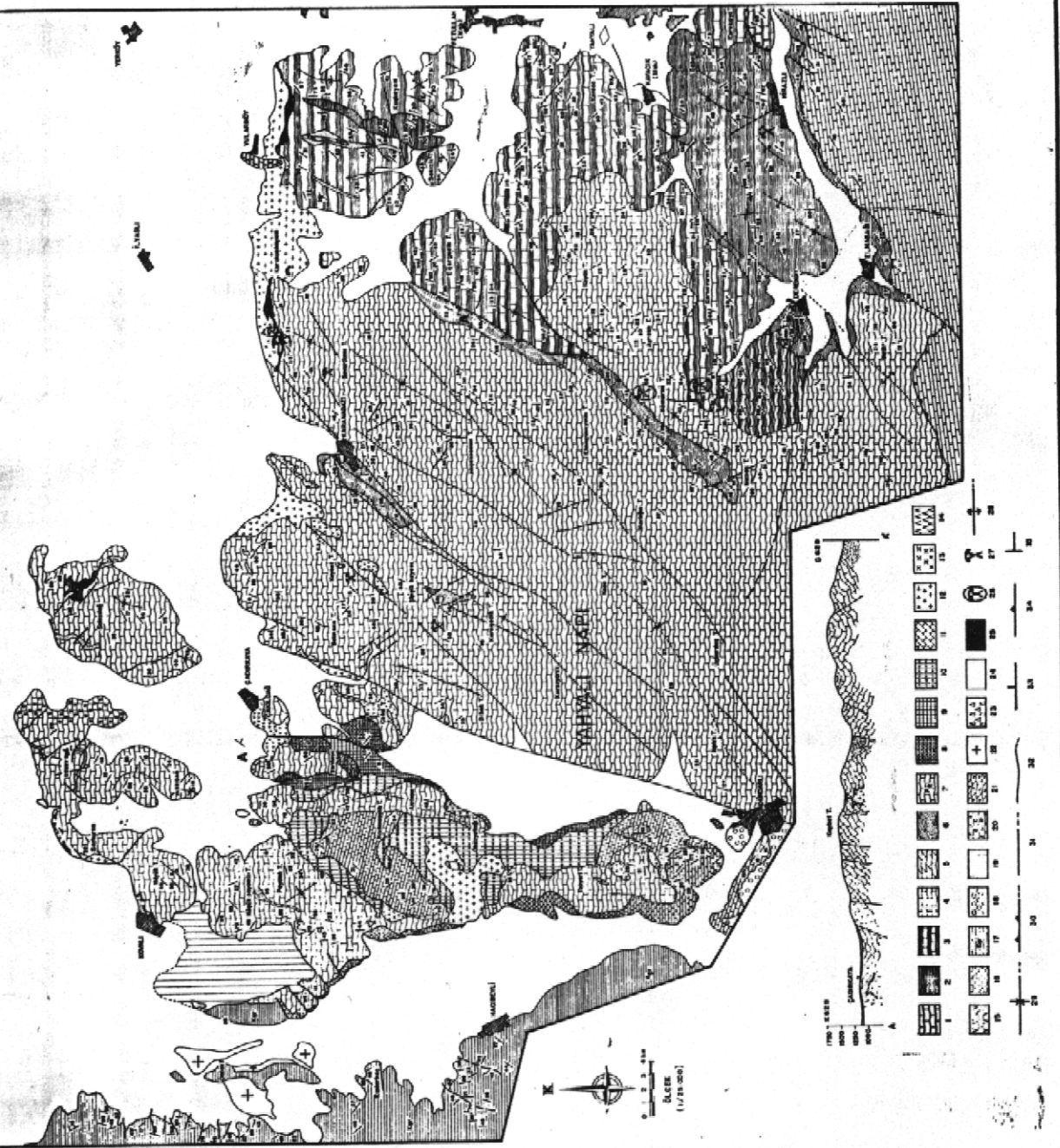
- Tekeli, O., Aksay, A., Evren-Ertan, İ., Işık, A. ve Ürgün, B.M., 1981, Toros ofiyolit projeleri, Aladağ Projesi: M.T.A. Rap. (yayınlanılmış), No. 6976, 132 s.
- Ünsalaner, C., 1945, Alaylıdağ ve Beydağ sıradağları arasındaki bölgenin Üst Devon Faunası: M.T.A. Dergisi, 34, 401-406.
- Vache, R., 1963, Antitoroslar'daki Bağırdağ kurşun-çinko yatakları (Kayseri ili): M.T.A. Dergisi, 62, 87-98.
- Vohryzka, K., 1966, Yahyalı (Kayseri) ve Zamanti nehri arasındaki bölgenin jeolojisi ve metajenezi: M.T.A. Dergisi, 67, 97-104.
- Winkler, H.G.F., 1974, Petrogenesis of metamorphic Rocks: Springer Verlag, New York. 320 s.
- Wippern, J., 1962, Toros boksitleri ve bunların tектonik durumu: M.T.A. Dergisi, 58.
- Zharikov, V.A., 1970, Skarn part I, II, and III: Internat. Geology Rev., 12, 541-559, 619-647, 760-775.

Ek 1 :

Incelene alınan jeoloji haritasi; 1. Koyu gri renkli kristalin kireçtaşı, 2. Kuvarserisit-klorit silt, 3. Kireçtaş-sıst ardalanması, 4. Kristalize Kireçtaşı, 5. Dolomitik kireçtaşı, 6. Sıst, 7. Dolomit, 8. Volkanik elementli konglomerat, 9. Kuntaşı, 10. Volkanotorul, 11. Küllü kireçtaşı, 12. Granit (\pm adbit porfirit), 13. Granofyort, 14. Rhyolit-Piyodasit, 15. Dacit-andezit, 16. Konglomeratogravak, 17. Volkanik elementli kumtaşı, 18. Kireçtaş elementli konglomerat, 19. Tuff arkatkulu gök-konglomerat, 20. Haydarlıkaya bazalt, 21. Bileşik kireçtaş, 22. Teras, 23. Yamaç molozu, 24. Alluvyon, 25. Cevher, 26. Ekonomik cırhanelişme, 27. Ekonomik olmayan cırhanelişme, 28. Antikinal ekseni, 29. Senkinal ekseni, 30. Bindirme, 31. Fay, 32. Dokanak, 33. Tabaka doğrultu ve eğimi, 34. Sıstozite doğrultu ve eğimi, 35. Kesit yeri.

APPENDIX 1 :

Geology map of the investigated area. 1. Dark gray colored, recrystallized limestone, 2. Quartz-serizite-clorite schist, 3. Limestone, 6. Schist, 7. Dolomits, 8. Conglomerate composed of volcanic elements, 9. Sandstone, 10. Volcanosedimentary, 11. Clayey limestone, 12. Granite (\pm albite porphyrite), 13. Granodiorite, 14. Rhyolite-Rhyodacite, 15. Dacite-andesite, 16. Conglomerate-graywacke, 17. Sandstone composed of volcanic elements, 18. Limestone conglomerate, 19. Limestone intercalated with tuff, 20. Haydarkaya basalt, 21. Breccia Limestone, 22. Terrace, 23. Talus, 24. Alluvium, 25. Ore, 26. Ekonomik mineralisation, 27. Uneconomic mineralisation, 28. Anticline axis, 29. Syncline axis, 30. Thrust fault, 31. Fault, 32. Contact, 33. Strike and dip of bedding, 34. Strike and dip of schistosity, 35. Cross section Line.



Reşadiye (Tokat) Kuzeyindeki Eosen Yaşılı Hasanşeyh Platobazaltının Mineralojik – Petrografik ve Jeokimyasal İncelenmesi

MINERALOGICAL - PETROGRAPHICAL AND GEOCHEMICAL INVESTIGATION OF EOCENE HASANŞEYH FLOODBASALT IN THE NORTH OF REŞADIYE (TOKAT, TURKEY).

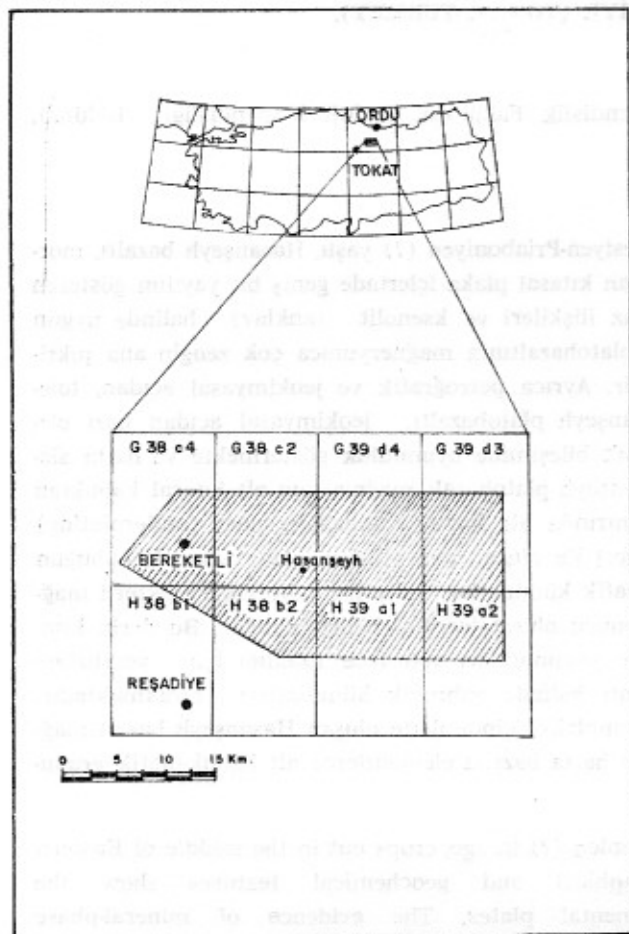
M. NURİ TERZİOĞLU, Cumhuriyet Üniversitesi, Mühendislik Fakültesi, Jeoloji Mühendisliği Bölümü, SİVAS.

ÖZ : Doğu Pontidlerin orta kesiminde yer alan Üst Lütesiyen-Priaboniyen (?) yaşılı, Hasanşeyh bazaltı, morfolojik, mineralojik-petrografik ve jeokimyasal açıdan kıtasal plaka içlerinde geniş bir yayılım gösteren platobazaltlara bir benzerlik göstermektedir. Mineral-faz ilişkileri ve ksenolit (anklav) halinde uygun manto materyalinin yokluğu gibi kanıtlar Hasanşeyh platobazaltının mağnezyumca çok zengin ana pikritik mağmadan türemiş olabileceğini düşündürmektedir. Ayrıca petrografik ve jeokimyasal açıdan, toleyitik karakterli bazalt olarak niteleyebileceğimiz Hasanşeyh platobazaltı, jeokimyasal açıdan bazı elementlerce hem kalkalkalen kayaç hemde kıtasal kabuk bileşimine uyumluluk göstermeye hatta sialik kökenli gibi davranışmaktadır. Bu özellikler, Hasanşeyh platobazalt mağmasının alt kıtasal kabuktan kaynaklanabileceğini ve alt kıtasal kabuk-üst manto sınırında alt kabuk tabakalanması (underplating) mekanizması olarak bilinen ve mantonun kısmi ergimesi ile oluşan ana pikritik magmanın alt kabuğu tabanına bir dizi siller şeklinde girerek alta ultramafik kümülatlar, üstte ise gabroyik karakterli mağma olmak üzere iki ana kısım halinde ayrılmaşımı sonucu oluşabileceğini belirtmektedir. Bu derin kıtasal sil kompleksi içinde üstte gelişen mağmatik ürünler yoğunlukları yeterince azaldığı için yeryüzüne yükselerken yüzey lavlarını oluşturmaktır ve geride kalıntı halinde gabroyik kümülatları bırakmaktadır. Alt kabuk tabakalanması sonucu derin kıtasal sil kompleksi içinde üstte oluşan Hasanşeyh bazalt mağması alt kabuk tarafından kısmen de olsa kirletilmişve hatta bazı iz elementlerce alt kabuk-mafik granulit fasisi bileşimine uygun hale gelmiştir.

ABSTRACT : Hasanşeyh basalt, Upper Lutetien-Priabonien (?) in age, crops out in the middle of Eastern Pontides. The morphological, mineralogical, petrographical and geochemical features show the similarities to floodbasalts observed within the continental plates. The evidence of mineral-phase relationships and the absence of mantle material in the form of xenoliths suggest that Hasanşeyh floodbasalt might have originated from a more magnesian parental picritic magma. Hasanşeyh floodbasalt may be described as tholeiitic basalt on petrographical and geochemical grounds. Geochemically, with respect to some elements, it is in accordance with the composition of both calccalcaneous rocks and continental crust, and moreover it behaves as if it has a sialic origin. All of these aspects lead to a conclusion that the magma of Hasanşeyh floodbasalt might have been derived from the lower continental crust by a mechanism known as underplating, which takes place at the lower continental crust-upper mantle boundary. In this process, parental picritic magma, generating from the partial melting of the mantle, intruded the base of the crust as a series of sills which differentiated into upper gabbroic magma and lower ultramafic portions. Density decrease of the magmatic products, developed on the upper side within this deep crustal sill complex, caused them to rise up to the earth surface, generating surface lavas and leaving behind gabbroic cumulates. As a result of underplating, Hasanşeyh floodbasalt, formed on the upper side within deep crustal sill complex, was at least partly contaminated by the lower crust, and even it has gained a composition appropriate for the lower crust-mafic granulit facies with respect to some of the trace elements.

GİRİŞ

Bu çalışmanın konusunu oluşturan Hasanşeyh platobazaltı, Doğu Pontidlerin orta kesiminde Reşadiye (Tokat) kuzeyinde G 38-c₃, G 38-c₄, G 39-d₃, G 39-d₄, H 38-b₁, H 38-b₂, H 39-a₁, H 39-a₂ pfaftaları içerisinde yer almaktadır (Şekil 1).



Şekil 1 : İnceleme alanının yer bulduru haritası.

Figure 1 : Location map of the investigated area.

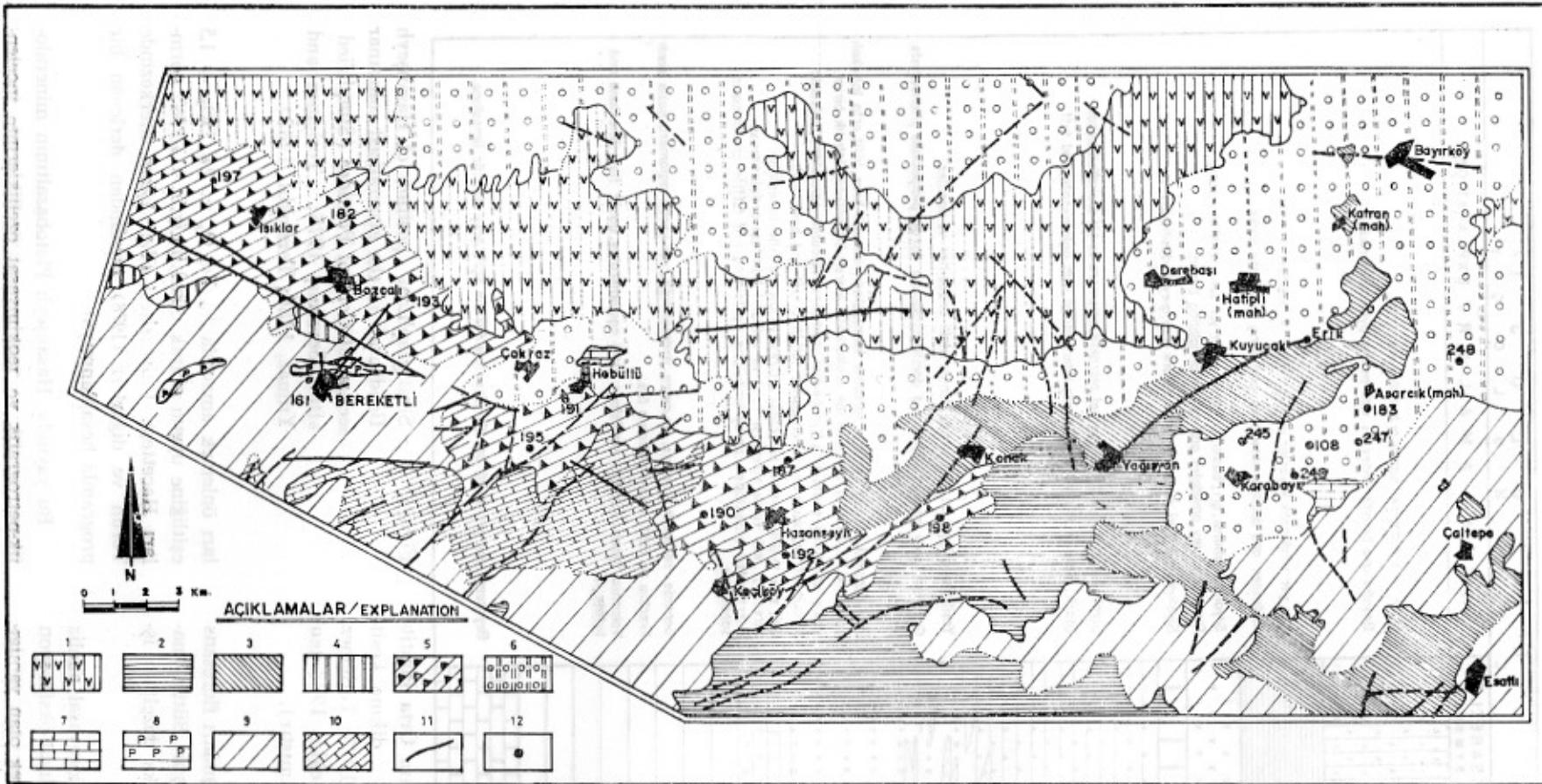
Çalışma alanı ve yakın çevresi için ilk jeolojik çalışmalar Tchihatcheff (1869) ve Blumenthal (1945) tarafından başlatılmıştır. Daha sonraları bölgede Erentöz (1950), Atak (1960), Göksu (1960), Schultz-Westrum (1960, 1962), Wedding (1963), Ağraklı (1967), Krongberg (1969), Gedikoğlu (1970), Erler (1975), Kalyoncuoğlu ve diğ., (1975), Seymen (1975), Baş (1979), Terlemez ve Yılmaz (1980) çeşitli ölçekte jeolojik harita alımı, cevher yatakları prospeksiyonu, stratigrafi ve petrokimya çalışmaları yapmışlardır.

Bölgemin, özellikle Tersiyer yaşı volkanitler ile kaplı kısmı yazar tarafından (Terzioğlu, 1983) incelenmiştir (Şekil 2).

Hasanşeyh platobazaltı, Lütesyenin yaşlı Yeşilce Formasyonunun (Terlemez ve Yılmaz, 1980) bir üyesi olup tabanında yer alan Üst Jura - Alt Kretase yaşlı Zinav Kireçtaşı (Seymen, 1975, Terlemez ve Yılmaz, 1980) ile Üst Kretase yaşlı Mesudiye ve Reşadiye Formasyonları (Terlemez ve Yılmaz, 1980) üzerinde uyumsuzdur (Şekil 3). Paleosen Yaşı Gölköy Formasyonu ile doğrudan bir ilişkisi yoktur. Buna karşın, Yeşilce Formasyonunun Orta - Üst Lütesyenin yaşlı Hatıplı volkanodetritik üyesi (Terlemez ve Yılmaz, 1980) ile uyumluluk gösterir. Üstte ise Miyosenden Kuvarternere kadar devam eden karasal karakterdeki volkanik otkinliklerle temsil edilen Orta Miyosen yaşlı Hasandede andeziti, Üst Miyosen yaşlı Kuyucak bazaltı, Pliyosen yaşlı Erdembaba ve Canık volkanitlerin şeklinde üyelere ayrılarak incelenen Erdembaba Formasyonu (Terzioğlu, 1983) tarafından uyumsuz olarak örtülüür. Yaklaşık 600 m kalınlık gösteren Hasanşeyh platobazaltı Reşadiye'nin kuzeydoğusundaki Hasanşeyh köyü ile Bereketli batısında ve kuzeyinde, Bozcalı ve Işıklar köyleri civarında yayılım göstermektedir. Ayrıca Karabayır köyü civarında Hatıplı volkanodetritik üyesi için de arakatkılı olarak gözlenmektedir. Bu birim Seymen (1975)'in Hasanşeyh Formasyonu ve Pelin (1977)'nin Alucra bölgesindeki Koltuk Tepe bazaltı ile denetirilebilir. Birimin yaşı aynı tipten lavların Orta ve Üst Lütesyen yaşlı Hatıplı volkanodetritik üyesinin özellikle üst düzeyleri içinde arakatkılar halinde gözlenmesi ve ayrıcana bu birimin üzerinde yer almışından ötürü Üst Lütesyen-Pribabonyen (?) olarak saptanmıştır.

Saha çalışmaları sırasında bu birimden petrografik ve jeokimyasal incelemeler için bozunmamış taze örnekler alınmıştır .

Petrografik incelemeler sonucu, jeokimyasal incelemeler için seçilen örnekler öğütülmüş, homojenleştirildikten sonra 105 °C de kurutularak analize hazırlanmıştır. Jeokimyasal çalışmalar için alınan örnek yerleri Şekil 2'de görülmektedir. Örneklerin kimyasal analizleri, Dokuz Eylül Üniversitesi Jeoloji Mühendisliği Bölümü, Merkez Kimya Laboratuvarında yapılmış olup, SiO_2 , TiO_2 ve P_2O_5 analizlerinde kolorimetrik spektrofotometre, Al_2O_3 , MgO , CaO , Fe_2O_3 , T , Na_2O , K_2O ve MnO analizlerinde atomik absorpsiyon spektrofotometre yöntemi kullanılmıştır. FeO analizleri volumetri yöntemi ile yapılmıştır. Rb , Sr , Zr , Y ve Nb



Şekil 2 : İnceleme alanının jeoloji haritası (Seymen, 1975; Terlemez ve Yılmaz 1980; Terzioğlu, 1983'ten basitleştirilerek hazırlanmıştır).

1 — Canik volkanitleri; 2 — Erdem baba volkanitleri; 3 — Kuyucak bazaltı; 4 — Hasandede andeziti; 5 — Hasançeh platobazaltı; 6 — Hatiplı volkanodetritikleri; 7 — Selecik kireçtaşı; 8 — Gölköy formasyonu; 9 — Mesudiye - Reşadiye formasyonu; 10 — Zinav kireçtaşısı; 11 — Fay; 12 — Kimyasal analiz için örnek alınan yerler.

Figure 2 : Geological map of the investigated area (Simplified after Seymen, 1975; Terlemez and Yılmaz, 1980; Terzioğlu, 1983).

1 — Canik volcanics; 2 — Erdembaba volcanics; 3 — Kuyucak basalt; 4 — Hasandede andesite; 5 — Hasançeh flood basalt; 6 — Hatiplı volcanodetritics; 7 — Selecik limestone; 8 — Gölköy formation; 9 — Mesudiye - Reşadiye formation; 10 — Zinav limestone; 11 — Fault; 12 — Sample locations for chemical analyses.

Sekil 3 : Hasanseyh platobazalının Orta Pontitler için genelleştirilmiş dikme kesitiindeki yeri (Seymen, 1975; Terlemez ve Yilmaz, 1980; Terzioglu, 1983 ten basitleştirilerek hazırlanmıştır).

iz elementlerin analizlerinde ise X - ışınları floresans spektrofometre yöntemleri kullanılmıştır. Bütün analizler iki kez tekrarlanmış ve matriks düzeltme işlemleri de yapılmıştır.

C.I.P.W. normları hesaplanırken, kimyasal analiz sonuçlarındaki % Fe₂O₃ değerleri, ikincil oksidasyon sonucu normatif bileşimde gelisebilecek olan vanilgi-

Figure 3 : Stratigraphical position of Hasançeh floodbasalt in the generalized columnar section of Control Pontides (Simplified after, Seymen, 1975; Terlemez and Yilmaz, 1980; Terzioğlu, 1983).

ları önlemek amacıyla % Fe₂O₃ = % TiO₂ + 1,5 eşitliğine uygun olarak düzeltilmiştir. C.I.P.W. normaları Hacettepe Üniversitesi Bilgi İşlem Merkezinde Torun ve diğerleri (1978) tarafından derlenen bir programla hesaplanmıştır.

Bu yayında, Hasanşeyh Platobazaltının mineralo-jik-petrografik ve jeokimyasal özelliklerinin incele-

- mesi sonucu elde edilen bulgulardan giderek,
- Pontidlerin jeolojik yapısı ile volkanizmanın bağıdaşılığının aranması,
 - Yeryüzünün çeşitli yerlerinde bulunan benzer volkanitlerin jeokimyasal özellikleri ile karşılaştırarak, Hasanseyh platobazaltının ait olduğu volkanik seri tipi ve bölgenin jeolojisini içindeki konumunun tanımlanması,
 - ve sonuça, ortaya çıkabilecek oluşum ve yerleşim biçimine yaklaşım veya katkının belirlenmesi amaçlanmıştır.

HASANSEYH PLATOBAZALTININ PETROGRAFİSİ

Birimin eğemen kaya türü bazalt olup, yerel olarak aglomera ve tüf ara tabakaları içermektedir. Bazaltlar kalın tabaklı, iri kristalli ve siyahimsi yeşil renklidirler. Sahada bol miktarda dayklar halinde de gözle görülmektedir. Genel olarak porfirik dokuda olan bazaltlar içinde ojit, olivin ve plajiyoklaz kristalleri göz ile de ayırt edilebilmektedir. Arazi çalışmalarında makroskopik olarak şu tipler ayırtlanmıştır :

- Küçük fenokristalli bazaltlar : Arazide en çok rastlanan ve diğer bazalt tiplerine göre eğemen durumda olan bazaltlardır. Küçük fenokristal halinde piroksen ve plajiyoklaz kristalleri gözle ayırt edilebilmektedir.
- İri ojit fenokristalli bazaltlar: Ojitter öz şekilli prizmalar halinde gözlenirler. Bir santimetre ve daha fazla büyüğüğe sahiptirler.
- Ojit ve Olivin fenokristalli bazaltlar: Ojit ve Olivinler gözle görülebilirler. Ojitter bir santimetre ve daha fazla büyüğüğe sahiptirler. Olivinler ise küçük fenokristaller halindedirler.

Piroklastik kayaçlar olarak, sahada gri, beyaz ve kırmızı renkli tüf ve aglomerallara az yayılmış olarak rastlanılmaktadır. Tüfler litik tüf karakterinde olup, gri, kırmızımsı beyaz renklerdir. Genellikle aglomeralarla birlikte görüülürler ve birim içinde az yer işgal ederler. Aglomeralar ise, tüflü bir hamur ve birkaç santimetre çapında köşeli volkanik parçalardan oluşmuş, koyu gri ve kırmızı renklerde gevşek yapılı piroklastiklerdir.

Birimden alınan kayaç örneklerinin mikroskopik incelenmeleri sonucu, bunların intergranüler porfirik yapıda ve intersertal yapıda oldukları saptanmıştır. Kayaçlarda kristaller, iri fenokristaller, küçük fenokristaller ve mikrolitler halinde olmak üzere iki yada

üç fazlı mineral oluşumu halinde gözlenirler. Plajiyoklaz, piroksen ve olivin fenokristalleri hamur içinde dağılmış yada glomerofirik yapı gösterecek şekilde düzenlenenmişlerdir. Hamur maddesi, küçük olivin fenokristalleri, plajiyoklaz, piroksen ve opak mineral mikrolitleri ile az bir miktarda volkanik camdan oluşmuştur. Bu minerallerin önemli özellikleri aşağıda belirtildiği gibidir.

Plajiyoklaz: Fenokristal, küçük fenokristal ve mikrolitler halinde olup iki yada üç fazlı mineral oluşumu halinde görülürler. Plajiyoklaz kristalleri 0,1-3,0 mm büyüğünde olup, kayaç içindeki fenokristallerin büyük bir kısmını oluştururlar. Plajiyoklazlar öz şekilli, yarı özkekilli olup genellikle albit, albit-karlsbad ve seyrek olarak periklin ikizlenmeleri gösterir. Bazi plajiyoklaz fenokristallerinde zonlu yapı gözlenmektedir. Zonlanma bazen kesikli olup öünsizdir. Albit-Karlsbad karmaşık ikizlerinde ölçülen sönme açılarına göre, fenokristallerin bileşimi bitovnit (An: 75-78) - labrador (An: 57-67) arasında değişir. Zonlu yapı gösterenlerde çekirdek kenarlara oranla anortitte daha zengindir. Küçük fenokristaller ise, albit kanununa göre olan ikizlerde ölçülen sönme açılarına göre labrador (An: 52-65) bileşimindedir. Ölçüm yapılabilen mikrolitlerin bileşimi ise labrador (An: 55) ile andezin (An: 46) arasındadır. Özellikle mikrolitlerde ve bazı küçük fenokristallerde dalgalı sönme gözlenmektedir. İri ve küçük fenokristaller ince kesitlerde ayrı ayrı gözle görülmüş gibi glomerofirik yiğisimler halinde de gözlenirler. Yiğisimler içinde kristaller kendi aralarında düzenli yarı özkekilli değişimler yaparak yarı paralelimi bir yonelim gösterecek şekilde guruplanılmışlardır. Ince kesitlerde bazı fenokristallerin, sınırları boyunca mağmatik korozyona uğradıkları ve hatta parçalandıkları gözlenmektedir. Plajiyoklazlar ayrıca tektonik olaylar sonucunda oluşturduğu sanılan deformasyonlar göstermekte olup bu durum kristalleri boydan boyra kesen fakat hamur maddesine uzanmayan çatlaklılardan ve aynı zamanda büyük kristallerin dalgalı sönme gösternesinden anlaşılmaktadır. Bütün plajiyoklaz yiğisimleri aynı bileşime sahiptir. Fakat bunların korozyon ve parçalama yiğisinden yiğisime değişimler göstermektedir. Hamur içinde aynı zamanda büyük plajiyoklazların parçalanmasıyla oluşan küçük plajiyoklaz parçaları gözlenmektedir. Plajiyoklaz fenokristalleri, içlerinde inklüzyon olarak olivin, piroksen, opak mineral ve volkanik cam içerirler.

Piroksen: 0,2 - 10 mm büyüğünde fenokristaller ve mikrolitler halindedirler. Olivince zengin lavlarda genellikle küçük fenokristal ve mikrolitler ha-

linde iki aşamalı fazlar şeklinde, olivince fakir lavlarda ise fenokristal, küçük fenokristal ve mikrolitler halinde üç aşamalı fazlar şeklinde gözlenirler. Piroksenler genellikle öz şekilli, yarı özşekilli olup, renksiz nadir olarak hafif yeşilimsi ve/veya pembemsi bir pleokroyizma gösterirler. Piroksenler çoğunlukla ojit ($\text{Ng} \wedge c : 43^\circ - 45^\circ$), titanhojит ($\text{Ng} \wedge c : 36^\circ - 38^\circ$) bileşimli olup az miktarda da pijonit ($\text{Ng} \wedge c : 22^\circ - 32^\circ$)'e rastlanılmaktadır.

Pijonitler, mağmanın olivinlerle yaptığı reaksiyon sonucu oluşmuş olup genellikle olivinlere bağlanmış ve/veya değişime uğramış olivinleri saran küçük kristaller halindedirler.

Olivince fakir lavlarda plajiyoklazdan sonra kayaçın en önemli bileşeni, basit ikizlenmeler gösteren iri veya küçük kristaller halindeki ojitterdir.

Ojit fenokristalleri, merkezi kısımlarında mağmatik korrozyona uğrayarak delik deşik edilmiş durumdadırlar ve içlerinde manyetit, olivin, plajiyoklaz mikrolitleri ve volkanik cam inklüzyonları gözlenir. Ojitter genellikle zonlu bir yapıya sahiptirler. Zonlu yapıya sahip olan ojitter, iç kısımlarında inklüzyon halinde plajiyoklaz mikroliti, serpantinleşmiş olivin ve manyetit içерirken kenar zonları hiçbir mağmatik korrozyona maruz kalmamıştır. Kenar zonları yüksek bir rölyefe (optif engebe) sahip olup hiçbir inklüzyon içermezler.

Küçük fenokristaller halindeki ojit kristalleri ya kendi aralarında ya da genellikle plajiyoklaz fenokristalleri ile glomerofirik yiğisimlar oluştururlar. Bu yiğşim içindeki kristallerin birbirleriyle olan öz şekilli kontakları kümülat orijinini düşündürmektedir. Bundan başka hamur ile kontaktta olan bazı ojit kristalleri parçalanma gösterirler.

Olivin: 0.1 - 3.5 mm büyüklüğünde fenokristal ve küçük fenokristaller halinde olup, genellikle psödomorf kristaller şeklinde görülür. Hiçbir zaman plajiyoklaz ve piroksen kristallerinin yapmış oldukları glomerofirik yiğisimlara katılmazlar. Olivinler bütün örneklerde kısmen serpantinleşmişlerdir. Küçük olivin fenokristallerinden bazıları mağma tarafından resorbe edilmiş ve pijonit dönüşmüştür. Olivinler içinde manyetit inklüzyonları da gözlenmektedir.

Biyotit: Çok az miktarda bulunmakta olup, küçük levhamsı kristaller halinde piroksen ve olivinlere bağlanmıştır. Ayrıca piroksenler içinde de inklüzyonlar şeklinde gözlenmektedir.

Opak Mineraller: Genellikle manyetit halinde bütün ince kesitlerde saptanmıştır. Öz şekilli ve yarı

özşekilli kristaller şeklinde, bağımsız olarak ve/veya piroksen ve plajiyoklaz fenokristalleri içinde inklüzyon halinde gözlenmektedir.

Apatit: Az bir miktarda olup, bazı ince kesitlerde gözlenebilmektedir.

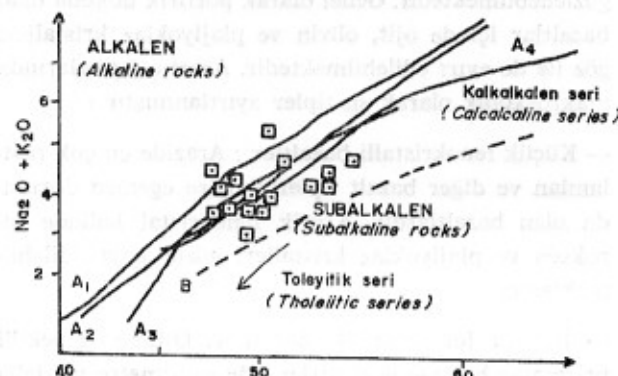
HASANSEYH PLATOBAZALTININ JEOKİMYASI

Hasanseyh bazaltının çeşitli yerlerinden alınan 16 örneğin majör ve iz element içerikleri ayrı ayrı incelenerek diyagramlar ve yorumlamalar majör ve iz element dağılımları şeklinde sunulmuştur. Örnek yerleri Şekil 2'de görülmektedir.

Majör Element Dağılımı

Hasanseyh bazaltına ait örneklerin majör element kimyasal analiz sonuçları ve C.I.P.W. normları Tablo I'de verilmiştir.

Örnekler, % 48.01 - 54.89 arasında değişen ölçüde SiO_2 içerirler, Al_2O_3 miktarı % 12.76 - 18.54 arasında



Şekil 4 : Alkali ($\text{Na}_2\text{O} + \text{K}_2\text{O}$)— SiO_2 diyagramı.

A_1 çizgisi : Irvine ve Baragar'a (1971) göre sınır.

A_2 çizgisi : MacDonald ve Katsura'ya (1964) göre sınır.

A_3 çizgisi : Hyndman'a (1972) göre sınır.

A_4 çizgisi : Kono'ya (1968) göre sınır.

B çizgisi : Kono'ya (1968) göre sınır.

Figure 4 : Alkali-Silica Diagram.

A_1 line : Dividing line after Irvine and Baragar (1971).

A_2 line : Dividing line after MacDonald and Katsura (1964).

A_3 line : Dividing line after Hyndman (1972).

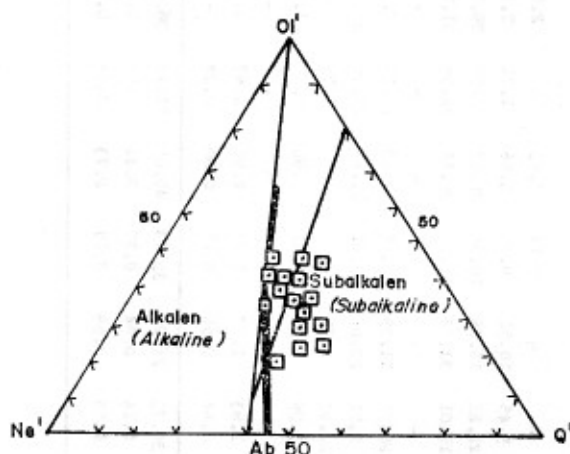
A_4 line : Dividing line after Kuno (1968).

B line : Dividing line after Kuno (1968).

Table I: Hasançeyh plato bazaltının major element kimyasal analiz sonuçları ve hesaplanan bazı norm değerleri.

Table II: Chemical analysis of the major elements of Hasançeyh floodbasalt and some calculated norm values.

KAYAÇ GRUBU (Rock Group) :	(HASANÇEYH PLATO BAZALT'LARI)										(HASANÇEYH FLOOD BASALTS)					
ÖRNEK NO (SAMPLE NO)	108	161	182	183	187	190	191	192	193	195	197	198	245	246	247	248
MAJOR ELEMENTLER (MAJOR ELEMENTS)																
SiO ₂	49.73	48.17	54.89	48.01	51.36	48.55	50.61	53.64	50.36	50.03	49.77	48.73	52.70	53.59	49.61	48.02
Al ₂ O ₃	13.59	13.85	14.01	16.75	13.47	15.80	16.72	15.94	15.94	15.91	12.76	16.31	17.96	18.54	16.50	18.20
Fe ₂ O ₃	2.65	2.47	2.42	2.80	2.43	2.49	2.45	1.45	2.47	2.41	2.46	2.42	2.43	1.32	1.90	2.44
FeO	9.08	8.81	7.20	8.20	8.00	7.17	6.76	4.97	7.91	7.22	8.65	7.96	6.51	8.70	8.34	8.46
MnO	0.16	0.21	0.16	0.19	0.16	0.15	0.13	0.16	0.17	0.17	0.17	0.16	0.18	0.24	0.21	0.19
MgO	6.67	7.25	6.48	5.52	7.29	7.30	4.44	6.59	7.27	8.13	8.14	7.09	4.05	3.63	7.34	4.10
CaO	11.96	10.57	7.39	11.26	9.54	10.05	7.86	10.05	10.02	9.64	11.24	9.32	9.65	7.05	10.26	8.41
Na ₂ O	2.18	2.17	2.96	2.33	2.96	2.70	3.12	2.59	2.48	2.18	2.50	1.88	2.43	3.44	2.33	3.18
K ₂ O	0.77	2.00	1.39	0.76	1.87	1.89	2.35	1.73	1.41	1.24	1.59	1.76	0.65	1.46	1.29	1.28
TiO ₂	1.15	0.97	0.92	1.30	0.93	0.99	0.95	0.95	0.97	0.91	0.96	0.92	0.93	1.04	0.88	0.94
P ₂ O ₅	0.15	0.29	0.31	0.20	0.32	1.27	0.47	0.28	0.23	0.28	0.27	0.24	0.28	0.34	0.12	0.14
H ₂ O	1.25	2.85	1.26	1.92	0.83	1.88	2.53	1.07	0.41	2.53	0.90	2.06	1.12	1.48	1.35	3.72
TOPLAM (TOTAL)	99.54	99.59	99.36	99.14	99.16	100.24	98.39	98.42	99.64	100.65	99.41	98.85	98.99	100.83	100.13	99.08
C.I.P.W NORMLARI (C.I.P.W. NORMS)																
q	0.44	-	4.57	-	-	-	0.93	2.97	-	0.14	-	-	5.11	2.63	-	2.87
or	4.57	11.87	11.18	4.53	11.14	11.25	18.74	10.28	8.38	7.32	9.45	10.52	9.75	8.56	1.71	7.21
sb	18.52	18.44	25.07	19.89	25.26	23.02	20.21	22.04	21.10	18.42	21.23	16.09	20.56	28.87	19.69	26.91
an	25.13	22.24	19.38	33.29	18.10	25.61	26.28	26.92	28.36	29.92	19.01	31.23	33.23	30.58	36.39	31.78
ne	-	-	-	-	-	-	-	-	-	-	-	-	-	-	-	-
di	27.44	23.34	12.46	17.36	22.43	13.21	8.40	17.22	17.46	8.97	28.76	11.39	10.56	1.60	11.18	7.74
hy	16.16	2.92	20.10	13.97	8.74	6.41	16.32	14.91	12.90	26.85	2.51	20.06	13.61	21.67	23.75	15.27
ol	-	12.25	-	1.59	7.41	11.13	-	-	5.87	-	12.03	2.75	-	1.25	-	-
mt	3.86	3.60	3.51	4.10	3.55	3.64	3.61	2.12	3.60	3.49	3.59	3.55	3.52	1.90	2.75	1.40
hm	-	-	-	-	-	-	-	-	-	-	-	-	-	-	-	-
il	2.19	1.85	1.75	2.49	1.78	1.90	1.83	1.82	1.85	1.73	1.83	1.77	1.77	1.96	1.67	1.79
ap	0.36	0.69	0.73	0.48	0.76	3.03	1.13	0.67	0.07	0.66	0.64	0.58	0.66	0.80	0.28	-
D.I.	23.13	30.30	40.83	24.42	36.40	34.28	39.88	35.29	29.48	25.88	30.73	26.21	35.43	40.05	21.40	36.99
K ₂ O/Na ₂ O	0.35	0.92	0.42	0.33	0.63	0.70	0.75	0.67	0.57	0.57	0.64	0.94	0.27	0.42	0.55	0.40
Fe/(Fe+Mg)	0.63	0.61	0.60	0.67	0.59	0.57	0.67	0.49	0.59	0.55	0.58	0.59	0.69	0.73	0.58	0.73



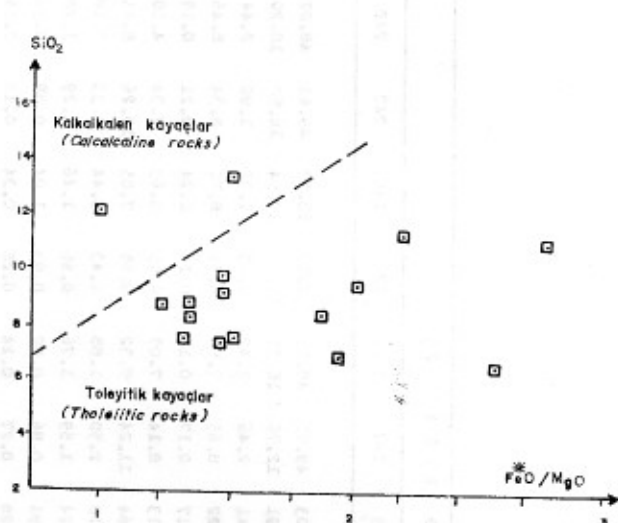
Şekil 5 : $\text{Ol}' - \text{Ne}' - \text{Q}'$ üçgen diyagramı.
Kalinkı çizgi : Irvine ve Baragar'a (1971) göre alkalen kayaçlarla subalkalen kayaçların sınırı.

Figure 5 : $\text{Ol}' - \text{Ne}' - \text{Q}'$ Triangle diagram.
Heavy solid line : Dividing line for alkaline and subalkaline rocks (Irvine and Baragar, 1971).

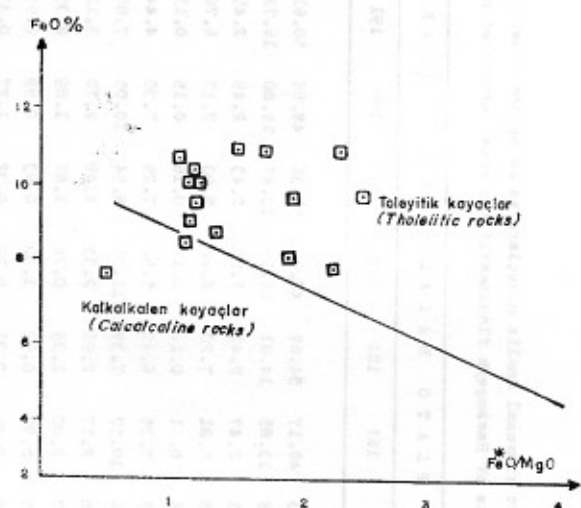
dir. Fe_2O_3 miktarı % 1.32 - 2.80, hesaplanan FeO miktarları ise % 4.97 - 9.08 arasında değişmektedir. MgO % 4.05 - 8.14 ve CaO % 7.05 - 11.24 arasında değişik değerler gösterirler. Na_2O % 1.88 - 3.44 ve K_2O % 0.65 - 2.35 arasında değişir. TiO_2 % 0.88 - 1.15 ve P_2O_5 % 0.12 - 1.27 arasında değerler verir. MnO değerleri düşük olup % 0.13 - 0.24 arasındadır. Hasanşeyh bazaltının majör element ortalaması Tablo II'de benzer kayaçların ortalamaları ile karşılaştırılmış olarak verilmiştir.

$\text{Na}_2\text{O} + \text{K}_2\text{O}/\text{SiO}_2$ (Şekil 4) ve « $\text{Ol}' - \text{Ne}' - \text{Q}'$ » diyagramlarında (Şekil 5) örneklerin subalkalen kayaçlar kesiminde yeraldikleri gözlenmektedir. Subalkalen karakteri belirlenen bu örnekler Miyashiro (1975)'nun $\text{SiO}_2 - \text{FeO}'/\text{MgO}$ ve $\text{FeO} - \text{FeO}'/\text{MgO}$ diyagramlarında (Şekil 6A-6B) toleyitik alanda, Irvine ve Baragar (1971)'in $\text{Al}_2\text{O}_3 - \text{NPC}$ diyagramında (Şekil 7) ise kalkalkalen alanda bulunan birkaç örnek dışında genellikle toleyitik alanda yer almaktadırlar.

A.F.M. üçgen diyagramında (Şekil 8) ise örnekler, toleyitik kayaçlar ile kalkalkalen kayaçları ayıran çizginin her iki tarafında yer almaktadır. Bu verilerin ışığında Hasanşeyh bazaltı, kalkalkalen eğimli toleyitik karakterli bazalt olarak tanımlanabilir.



Şekil 6A : Hasanşeyh platobazaltının $\text{FeO}'/\text{MgO} - \text{SiO}_2$ değişim diyagramı.
Figure 6A : $\text{FeO}'/\text{MgO} - \text{SiO}_2$ variation diagram of Hasanşeyh floodbasalt.



Şekil 6B : Hasanşeyh platobazaltının $\text{FeO}'/\text{MgO} - \text{FeO}$ değişim diyagramı.
Figure 6B : $\text{FeO}'/\text{MgO} - \text{FeO}$ variation diagram of Hasanşeyh floodbasalt.

Irvine ve Bragar (1971)'in «An-Or-Ab' » üçgen diyagramı da (Şekil 9) ayrıca Hasanşeyh bazaltının potassik karakterli olduğunu vurgulamaktadır.

Genelde Al_2O_3 majör bileşenince zengin olmayan örnekler, Middlemost (1975)'in « $\text{Al}_2\text{O}_3 - \text{A.I.}$ » diyagramında (Şekil 10) platobazaltları (Flood basalts) alanında yer almaktadır.

Table II : Hasanseyh plato bazaltının majör element ortalama yüzdeleri ile diğer benzer volkanitlerin ortalama yüzdelerin karsılıklı tirmalari.

Table II : Comparison list of the major element percentages of Hasanseyh floodbasalt with the percentages of the other similar volcanoes of the different areas.

ÖRNEK NO : (SAMPLE NO)	1	2	3	4	5	6	7	8	9	10	11	12	13	14	15	16	17
SiO_2	50.50	51.61	51.80	52.70	50.00	53.19	51.59	53.16	51.38	51.50	50.51	51.50	51.50	52.87	50.47	47.22	51.09
Al_2O_3	15.77	15.34	14.80	15.40	14.82	11.68	12.83	14.93	13.05	13.14	12.65	14.93	13.75	14.78	15.00	16.16	15.80
Fe_2O_3	2.32	2.45	3.92	1.38	5.64	5.00	5.58	3.71	3.00	5.14	3.12	3.41	9.74*	1.67	4.39	2.55	11.20*
FeO	7.75	9.47	7.26	9.35	8.07	6.31	8.55	8.76	8.95	8.19	11.23	9.77	7.85	7.94	9.54		
MnO	0.18	0.16	0.17	0.22	0.15	0.16	0.17	0.16	0.16	0.18	0.23	0.09	0.16	0.22	0.20	0.22	
MgO	6.35	5.56	7.10	6.60	4.65	7.68	4.98	4.12	6.78	5.45	5.45	4.54	7.71	8.30	5.54	8.46	6.80
CaO	9.58	10.29	10.57	9.96	9.55	8.95	8.83	6.96	9.03	9.32	10.57	9.51	10.37	10.63	9.59	11.02	9.30
Na_2O	2.62	2.96	2.40	2.22	2.73	2.19	2.48	3.05	2.51	2.42	2.43	3.24	2.08	1.61	3.03	2.44	3.30
K_2O	1.56	0.36	0.74	0.87	1.00	1.63	1.21	2.49	1.52	1.06	0.61	1.02	0.52	0.61	0.76	0.17	0.50
TiO_2	0.98	1.65	1.11	1.16	2.94	2.83	3.22	2.04	3.18	3.18	2.85	1.77	1.22	0.16	1.72	1.66	2.30
P_2O_5	0.33	0.14	0.13	0.16	0.43	0.39	0.55	0.60	0.43	0.42	0.35	0.22		0.06	0.26	0.20	0.39
H_2O	1.70																
* FeO^t																	

1-16* Hasanseyh plato bazalt ortalaması

2-7* Swaziland bazalt ortalaması,Karroo güney provensi,Güney Afrika(Cox,MacDonald ve Hornung,1967)

3-21* Lesotho-Basutoland bazalt ortalaması,Karroo güney provensi,Güney Afrika,
(Cox,MacDonald ve Hornung,1967)

4-44* Karroo dolerit ortalaması,Karroo güney provensi,Güney Afrika(Cox,MacDonald ve Hornung,1967)

5-17* Tuli bazalt ortalaması,Karroo kuzey provensi,Rodesya,Güney Afrika,
(Vail,Hornung ve Cox,1969)6-6* Featherstone bazalt ortalaması,Karroo kuzey provensi,Rodesya,Güney Afrika,
(Vail,Hornung ve Cox,1969)7-2* Wankie bazalt ortalaması,Karroo kuzey provensi,Rodesya,Güney Afrika.
(Cox,MacDonald ve Hornung,1967)8-4* Nuanetsi bazalt ortalaması,MgO %5,Karroo kuzey provensi,Rodesya,Güney Afrika,
(Cox,MacDonald ve Hornung,1967)9-5* Nuanetsi bazalt ortalaması,MgO %5-6,Karroo kuzey provensi,Rodesya,Güney Afrika,
(Cox,MacDonald ve Hornung,1967)10-8* Nyamandhlova bazalt ortalaması,Karroo kuzey provensi,Rodesya,Güney Afrika,
(Cox,MacDonald ve Hornung,1967)

11-8 Dekkan alt plato bazalt ortalaması,Bombay sahisi,Hindistan(Sukheswala ve Polderveart,1958)

12-21 Dekkan üst plato bazalt ortalaması,Bombay sahisi,Hindistan(Sukheswala ve Polderveart,1958)

13-64* Fas bazalt ortalaması(Bertrand ve Pricott,1975)

14-Jura Ferrar dolerit,Antarktika(Gunn,1962,1966)

15-5* Picture Gorge bazalt ortalaması,Oregon,Merkezi Washington,U.S.A.(Mc Dougall,1976)

16-9* Snake River bazalt ortalaması,Idaho,U.S.A.(Leeman,yayınlanmamış)

17-6* Yellowstone bazalt ortalaması,Kuzeybatı Amerika(Hamilton,1943)

1-Average for Hasanseyh flood basalt (intext)

2-Average for 7 Swaziland basalt,Southern province of Karroo,Southern Africa(Cox,MacDonald and Hornung,1967)

3-Average for 21 Lesotho-Basutoland basalt,Southern province of Karroo,Southern Africa,
(Cox,MacDonald and Hornung,1967)

4-Average for 44 dolerite,Southern province of Karroo,Southern Africa(Cox,MacDonald and Hornung,1967)

5-Average for 17 Tuli basalt,Northern province of Karroo,Rhodesia,Southern Africa,
(Vail,Hornung and Cox,1969)6-Average for 6 Featherstone basalt,Northern province of Karroo,Rhodesia,Southern Africa,
(Vail,Hornung and Cox,1969)7-Average for 2 Wankie basalt,Northern province of Karroo,Rhodesia,Southern Africa,
(Cox,MacDonald and Hornung,1967)8-Average for 4 Nuanetsi basalt,MgO %5 ,Northern province of Karroo,Rhodesia,Southern Africa,
(Cox,MacDonald and Hornung,1967)9-Average for 5 Nuanetsi basalt,MgO %5-6,Northern province of Karroo,Rhodesia,Southern Africa,
(Cox,MacDonald and Hornung,1967)10-Average for 8 Nyamandhlova basalt,Northern province of Karroo,Rhodesia,Southern Africa,
(Cox,MacDonald and Hornung,1967)

11-Average for 8 basalt of Lower Deccan traps,Bombay area,India(Sukheswala and Polderveart,1958)

12-Average for 21 basalt of Upper Deccan traps,Bombay area,India(Sukheswala and Polderveart,1958)

13-Average for 64 basalt of Morocco(Bertrand and Priot,1975)

14-Jura Ferrar dolerite,Antarctica(Gunn,1962,1966)

15-Average for 5 Picture Gorge basalt,Oregon,Central Washington,U.S.A.(Mc Dougall,1976)

16-Average for 9 Snake River basalt,Idaho,U.S.A.(Leeman,unpublished data)

17-Average for 6 Yellowstone basalt,Northwest America(Hamilton,1943)

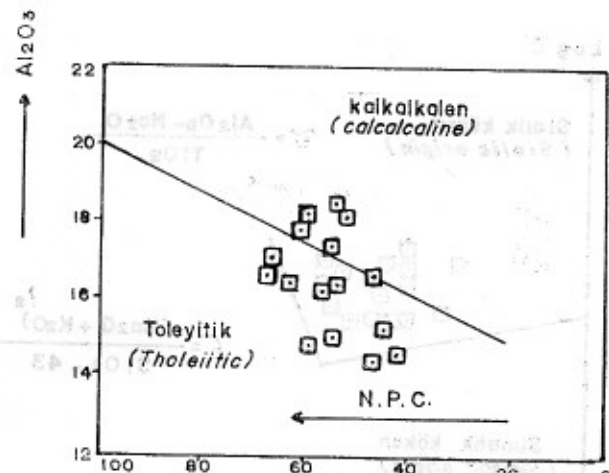
Table II:nin devamı(II)
Table II:(Continued)(II)

ÖRNEK NO : (SAMPLE NO)	18	19	20	21	22	23	24	25	26	27	28	29	30	31	32
SiO_2	46.12	46.12	46.97	47.90	53.93	46.95	49.30	49.4	51.50	48.23	53.76	50.12	54.00	50.52	48.10 (45.26 - 51.24)
Al_2O_3	14.66	13.94	15.00	15.28	13.87	13.10	13.90	18.30	16.30	15.43	14.12	13.04	19.00	16.29	16.30 (14.40 - 17.88)
Fe_2O_3	12.35	* 1.95	1.71	1.70	3.31	1.02	*	14.50	8.70	2.80	2.64	2.12	3.00	9.00*	3.66
FeO		10.46	9.94	9.10	9.98	10.07				7.90	8.60	9.44	11.77	5.08	10.10 (9.62 - 12.93)
MnO	0.20	0.13	0.37	0.17	0.20	0.15	0.28		0.17	0.17	0.20	0.23		0.17	
MgO	7.73	11.29	10.52	7.30	3.99	14.55	4.00	8.20	5.90	8.42	4.54	4.39	4.10	9.26	9.90 (7.02 - 10.26)
CaO	10.52	9.25	10.70	12.07	7.28	10.16	7.70	10.42	9.30	10.22	8.13	8.12	9.50	9.50	9.70 (8.23 - 11.55)
Na_2O	2.22	3.11	2.18	2.91	3.15	1.73	3.60	2.70	2.50	2.27	2.98	2.70	3.40	2.89	3.10 (1.65 - 4.99)
K_2O	0.52	0.57	0.63	0.53	1.61	0.08	2.00	0.50	0.86	0.64	1.30	1.07	0.60	1.07	1.10 (0.40 - 2.08)
TiO_2	0.90	1.31	1.53	1.57	2.20	2.02	2.90	0.90	1.20	1.73	1.30	3.21	0.9	1.05	0.90 (0.35 - 1.64)
P_2O_5	0.93	0.12	0.16	0.37	0.21	1.91			0.21	0.23	0.31	0.53		0.21	
H_2O	1.29	1.01	1.73	1.10		0.45			0.31	0.33	0.21	1.38		0.31	
* FeO															
18-14* Diabas ortalaması,Kuzey Amerika doğusu(Weigand ve Ragland,1970)															
19-Olivin basalt, Skye,Hebriddean provensi,Kuzeybatı İngiltere(Tilley ve Muir,1962)															
20-Diabas,North Skye,Hebriddean provensi,NW England(Tilley ve Muir,1962)															
21-Olivin basalt,Fingall Cave,Staffa,İngiltere(Tilley ve Muir,1962)															
22-6* Grande Ronde basalt ortalaması,Washington,U.S.A.(Mc Dougall,1976)															
23-Synthetik olivin toleyitlik basalt(Green ve Ringwood,1969)															
24-11*Moce kraterinin basalt ortalaması,Snake River plain,Kuzey Amerika batısı(Leeman,1976)															
25-6* Modoc basalt ortalaması,Medicine Lake Highland,Kaliforniya,Amerika(Powers,1932)															
26-Kıtasaol toleyitlerin ortalaması(Manson,1967)															
27-Kıtasaol olivin toleyitlerin ortalaması(Manson,1967)															
28-4* Alt Yakima basalt ortalaması,Washington,U.S.A.(Mc Dougall,1976)															
29-5* Orta Yakima basalt ortalaması,Washington,U.S.A.(Mc Dougall,1976)															
30-Alt Kıtasaol kabuğun ortalaması(Gale ve White,1971)															
31-Kalkalkaline basalt(Jakes ve White,1971)															
32-6* Lesotho granulit ksenolitlerin ortalaması bileğimi ve bileğimel aralığı, Güney Afrika(Roger,1977)															

- 18-Average for 14 Diabase,East of North America(Weigand ve Ragland,1970)
 19-Olivine basalt, Skye,Hebriddean province,NW England(Tilley ve Muir,1962)
 20-Diabas,North Skye,Hebriddean provensi,NW England(Tilley ve Muir,1962)
 21-Olivine basalt,Fingall Cave,Staffa,England(Tilley ve Muir,1962)
 22-Average for 6 Grande Ronde basalt,Washington,U.S.A.(Mc Dougall,1976)
 23-Synthetik olivine tholeiitic basalt(Green ve Ringwood,1969)
 24-Average for 11 basalt,from Craters of the Moon,Snake River Plain,West of North America(Leeman,1976)
 25-Average for 6 Modoc basalt,Medicine Lake Highland,California,America(Powers,1932)
 26-Average of continental tholeites(Manson,1967)
 27-Average of continental olivine tholeites(Manson,1967)
 28-Average for 4 Lower Yakima basalt,Columbia River Group,U.S.A.(Mc Dougall,1976)
 29-Average for 5 Middle Yakima basalt,Columbia River Group,U.S.A.(Mc Dougall,1976)
 30-Average of the lower continental crust(Taylor ve Mc Leaman,1979)
 31-Calccalcaline basalt(Jakes ve White,1971)
 32-Average and ranges(in brackets) for 6 Lesotho granulite xenoliths,Lesotho,Southern Africa(Roger,1977)

İf a composition group of the same affinity has a positive or negative correlation with the basaltic rocks of the area, then the average of the group may be used.

If a particular group contains rocks from different sources, it is better to use the average of the group.



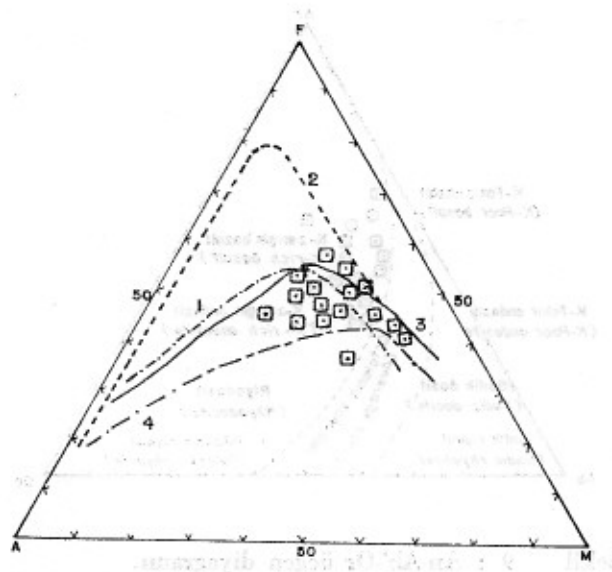
Şekil 7 : Kalkalkalen ve Toleyitik kayaçların ayırdedilmesi (Irvine ve Baragar, 1971).

Figure 7 : Dividing of calcocalcine and tholeiitic rocks (Irvine and Baragar, 1971).

Hasanseyh platobazaltı, normatif kimyasal bileşimine göre Yoder ve Tilley (1962)'in tanımladığı normatif olivinli ve normatif kuvarslı toleyitik bazaltlar olarak ayrımlanabilirler. Hasanseyh platobazaltı major element içerikleri bakımından yerkabuğunda gözlenmekte olan kitasal toleyitik bazaltlarla karşılaşıldığında (Tablo II) K₂O ve TiO₂ değerleri dışında kitasal toleyitik bazaltlarla uyum sağladıkları söylenebilir. Genelde yüksek TiO₂ ve düşük K₂O içerikleri ile bilinen kitasal toleyitik bazaltlara göre Hasanseyh platobazaltı, düşük TiO₂ ve yüksek K₂O değerleri içermektedir.

Yersel mağmanın kökenini araştırmak için Gottini (1968)'in geliştirdiği $\tau = \text{Al}_2\text{O}_3 \cdot \text{Na}_2\text{O} / \text{TiO}_2$ eşitliğinin değerinin sialik kökenli volkanitlerde > 10 , simetrik kökenlilerde ise < 9 olduğu belirtilmektedir. Hasanseyh bazaltına ait örneklerde τ değeri 10'dan büyük olduğundan Hasanseyh bazaltı sialik kökenli gibi gözlenmektedir. Bu durum Hasanseyh bazalt mağmasının, resorpsiyonla yükselsmiş, kita kabuğu (özellikle alt kitasal kabuk) ürünü olabileceğini düşündürmektedir. Aynı durum Gottini (1968)'in Log τ - log δ diyagramında da (Şekil 11) gözlenmeyece olup Hasanseyh bazalt mağması üzerinde sialik kabuğun jeokimyasal etkisini belirtmektedir.

Pearce (1976), farklı tektonik bölgelerden toplanan bazalt bileşimindeki volkanitlerin istatistiksel olarak major element dağılımını incelemiştir ve hesap-



Şekil 8 : A (Na₂O+K₂O) — F (FeO+Fe₂O₃) — M (MgO) diyagramı.

Çizgi 1 : Toleyitik (üst taraf) ve kalkalkalen (alt taraf) kayaçların arasındaki sınır (Irvine ve Barager, 1971). Çizgi 2 : «Skaergaard» intrüzyonu yönelliği (Wager, 1960).

Çizgi 3 : «Hawai» alkalin serisi yönelliği (MacDonald ve Katsura, 1964).

Çizgi 4 : «Cascade» Kalkalkalen serisi yönelliği (Turner ve Verhoogen, 1960).

Figure 8 : A.F.M. (Alkalies-total iron-magnesium) diagram.

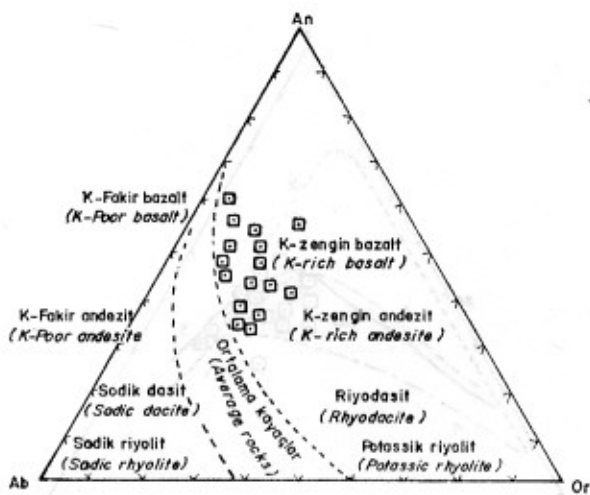
Line 1 : Dividing line for tholeiitic (over side) and calcocalcine (under side) rocks (Irvine and Baragar, 1971).

Line 2 : Skaergaard liquid trend (Wagner, 1960).

Line 3 : Hawaiian Alkaline trend (MacDonald and Katsura, 1974).

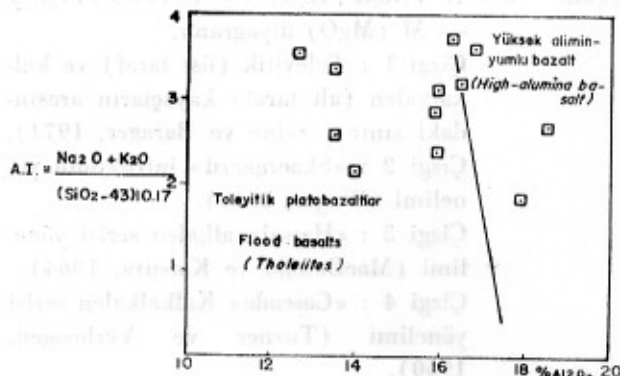
Line 4 : Cascade series trend (calcocalcine) (Turner and Verhoogen, 1960).

ladiğı F_1 - F_2 fonksiyonları ile oluşan diyagram (Şekil 12) üzerinde farklı tektonik rejim alanları ayırmıştır. Hasanseyh platobazaltına ait örnekler major element ayırtman fonksiyonları diyagramında gösterildiğinde, örneklerin genel olarak plaka içi bazalt alanı ile kalkalkalen bazalt alanı arasında yer aldıkları, bir-



Şekil 9 : An-Ab'-Or üçgen diyagramı.

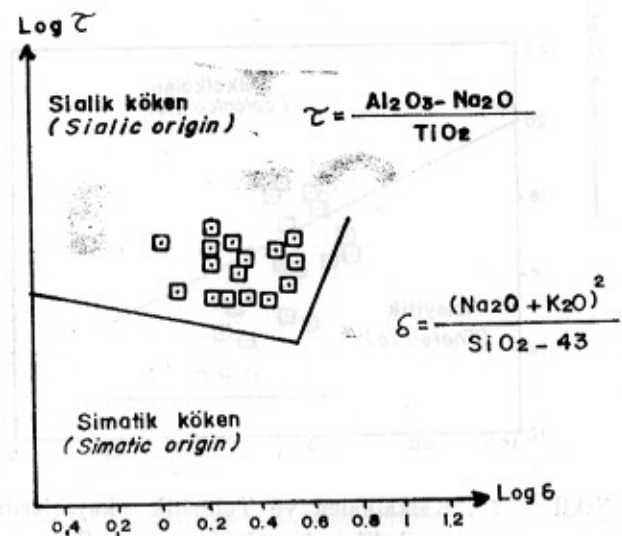
Figure 9 : An-Ab-Or triangle diagram.



Şekil 10 : Toleyitik platobazaltlar ve yüksek aliminyumlu bazalt alanlarını gösteren Al_2O_3 -A.I. indeksi diyagramında Hasanseyh bazaltının dağılımı ($\text{A.I.}=3$; $\text{Al}_2\text{O}_3 \%$ 16.56) ve ($\text{A.I.}=1$; $\text{Al}_2\text{O}_3 \%$ 17.30).

Figure 10 : Distribution of Hasanseyh floodbasalt in alumina versus alkali-index (A.I.) diagram, showing the fields occupied by the flood-basalt (tholeiites) and high alumina basalt. The boundary line passes through ($\text{A.I.}=3$; 16.56 % Al_2O_3) and ($\text{A.I.}=1$; 17.30 % Al_2O_3).

kaç örneğin ise şoşonitik alanda bulundukları görülmektedir. Bu diyagramda, Hasanseyh platobazalt örnekleri gerçek kalkalkalen kayaçlarda olduğu gibi genelde 0.4'den yüksek F_1 değerine sahip değildirler. Hasanseyh platobazaltını temsil eden örneklerin plaka içi alanla kalkalkalen alan arasında bulunmaları, Hasanseyh platobazaltının bir olasılıkla kitasal kabu-



Şekil 11 : Volkanitlerde $\log \tau$ nun $\log \delta$ 'ya göre değişimi.

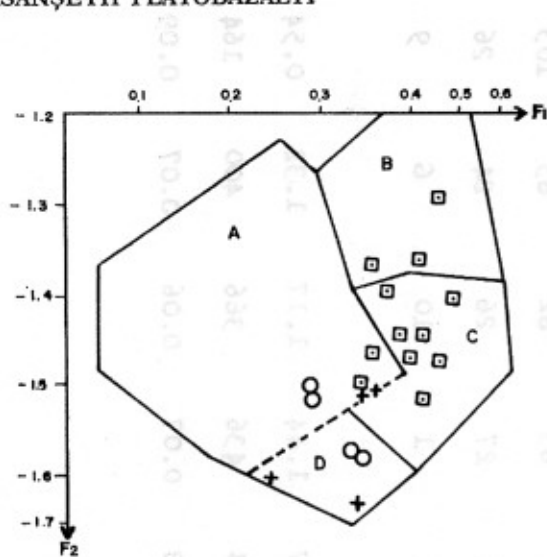
Figure 11 : Variation of $\log \tau$ with $\log \delta$ in the volcanics.

ğun etkisi altında kaldığını, kabuk bulaşması sonucu silisyumca zenginleştiğini (normatif kuvarslı toleyitler) ve dolayısıyla F_1 fonksiyonu değerinin plaka içi alan değerine göre yükseldiğini belirtmektedir. Daha önce de potassik karakteri vurgulanan bu bazalta ait birkaç örneğin yüksek $K_2\text{O}$ değerleri, F_2 fonksiyonunun değerinin düşmesine sebep olmaktadır ve bazı örneklerin şoşonitik alanda yer almamasına ve şoşonitik kayaçlar gibi gözükmelerine sebep olmaktadır. Şoşonitik alanda yer alan bu bazaltlar aslında şoşonitik karakterli olmayıp bazı elementlerin (Örneğin $K_2\text{O}$ ve Na_2O) şoşonitik serilerin elementleri ile oransal karışmalarının bir sonucudur.

Majör oksitlerin diferansiyasyon indeksi (D.I.) fonksiyonundaki değişimleri incelendiğinde (Şekil 13), diferansiyasyon indeksi arttıkça majör elementlerden SiO_2 , Na_2O , K_2O , P_2O_5 yüzdeslerinin artmakta olduğu buna karşın FeO , MgO ve CaO yüzdeslerinin ise azaldığı görülmektedir. Fe_2O_3 ve TiO_2 yüzdeslerinde tekdone bir yönelik görülmekte, Al_2O_3 yüzdesinde ise belli bir yönelik gözlenmemektedir.

İz Element Dağılımı

Hasanseyh platobazaltına ait örneklerin iz element içerikleri Tablo III'de verilmiştir. Ayrıca ortalamaya iz element içerikleri, değişik araştırmacılar tarafından incelenen bazı provenslerdeki benzer kıtasal



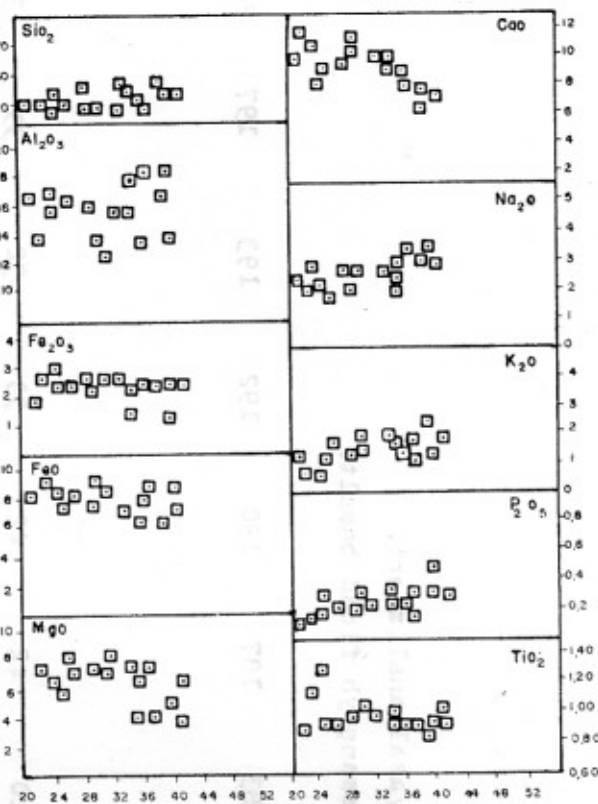
Şekil 12 : F_1 - F_2 diyagramında (Pearce, 1976) Hasanseyh platobazaltının dağılımı.
 O. Erzurum-Kars yöresi Neojen bazaltları (Tokel, 1979).
 +. Van Bölgesi Neojen bazaltları (Innocenti ve diğ., 1976).
 A. Plaka içi bazaltları.
 B. Şoşonitler.
 C. Kalkalkalı bazaltları.
 D. Okyanus tabanı bazaltlar.

Figure 12 : Distribution of Hasanseyh floodbasalt in diagram F_1 - F_2 (After Pearce, 1976).
 O. Neogene basalts of Erzurum-Kars Tokel, 1979).
 +. Neogene basalts of North of lake Van (Innocenti et. al., 1976).
 A. Within plate basalts.
 B. Shoshonites.
 C. Calk-alcalic basalts.
 D. Ocean Floor basalts.

toleyitik bazaltların ortalama iz element içerikleri ile Tablo IV'de karşılaştırılmıştır.

Rubidyum, Hasanseyh platobazaltında ortalama 32 ppm ile kalkalkalen bazalt ortalamasının (10 ppm) çok üstünde olup, kıtasal plakalarda gözlenen kıtasal toleyitik bazaltlar ile uyum halindedir. Rubidyum, diferansiyasyon indeksine göre geniş bir dağılım (Şekil 14), potasyum ile düzenli ve artan bir ilişki sunmaktadır (Şekil 15A).

Hasanseyh platobazaltının K/Rb oran değeri, 416 ortalama ile kalkalkalen bazalt ortalamasının (340)



Şekil 13 : Hasanseyh platobazaltının major element oksitlerinin D.I. değerlerine göre değişim diyagramları.

Figure 13 : Variation diagrams of the major elements of Hasanseyh floodbasalt according to D.I. values.

üstünde olup, kıtasal provenslerde gözlenen toleyitik bazaltların bir kısmı (Tablo IV; analiz 4, 16, 17) ve özellikle Lesotho granulit ksenoliti ortalaması (486, Tablo IV; analiz 31) ile uyum halindedir. K/Rb oran değeri, diferansiyasyon indeksi (Şekil 15B) ve rubidyum ile istatistiksel olarak (Şekil 15C) geniş bir dağılım gösterirken, potasyum ile artan bir ilişki sunmaktadır (Şekil 15D). K/Rb oran değerinin, diferansiyasyon indeksi ve rubidyum ile olan düzensiz ilişkisi, Jakes ve White (1971)'e göre bir kirlenmeye işaret etmektedir. Ayrıca verilen bir Rb değerinde K/Rb oran değerinin değişimler göstermesi de Hasanseyh platobazaltının potasyumca zenginliğini vurgulamaktadır.

Stronsiyum, Hasanseyh platobazaltında ortalama 478 ppm ile değişik araştırmacılar tarafından verilen kalkalkalen bazalt ortalama değerlerinin (328 ppm ve 375 ppm Tablo IV; analiz 29, 30) üstünde olup, alt

Table III: Hasangoğlu platobazaltının iz element kimyasal analizleri.

Table III: Chemical analysis of the trace elements of Hasanjeh flood basalt.

ÖRNEK NO : (SAMPLE NO)	108	161	182	183	187	190	192	193	197	245
İZ ELEMENTLER (TRACE ELEMENTS) (ppm)										
Rb	20	37	40	10	42	42	33	32	33	33
Sr	386	626	491	432	501	503	459	522	482	375
Zr	67	81	88	64	100	98	83	82	63	103
Y	20		30	23	28	28	27	26	24	26
Nb			5		2	4	1	10	6	9
K	0.64	1.66	1.15	0.63	1.55	1.57	1.44	1.17	1.32	0.54
K/Rb	320	499	288	630	369	374	436	366	400	164
Rb/Sr	0.03	0.06	0.08	0.02	0.08	0.08	0.07	0.06	0.07	0.09

Tablo : IV. Hasançeyh plato bazaltının iz element kapsamı yönünden diğer benzer volkanitler ile karşılaştırılması.

Table : IV. Comparison list of the trace element of Hasançeyh floodbasalt with the other similar volcanics of the different areas.

ÖRNEK NO (SAMPLE NO)	1	2	3	4	5	6	7	8	9	10	11	12	13	14	15	16
Rb	32	50	50	17	50	8 - 42	35 - 75	20 - 30	21	33	48	46	43 - 55	32	32	
Sr	478	264	190	168	207	140 - 170	180 - 1000	100 - 270	641	571	758	590	593	706	726	850
Zr	84	70	85	88	81	80 - 140	350 - 500	10 - 70	311	352	428	408	198	196	314	297
Y	23	23	23			22							43	39		
Nb	4	18	11 - 16			11 - 18			27				54	47		
Kb/Rb	416			425					395	266	282	218		299	412	
Rb/Sr	0.07			0.10					0.03	0.06	0.06	0.08		0.06	0.04	

1- *10* Hasançeyh plato bazalt ortalaması.

2- **7* Swaziland basalt ortalaması, Karroo güney provensi, Güney Afrika (Cox, MacDonald ve Hornung, 1967).

3- **21* Lesotho-Swaziland basalt ortalaması, Karroo güney provensi, Güney Afrika (Cox, MacDonald ve Hornung, 1967).

4- **44* Karroo dolerit ortalaması, Karroo güney provensi, Güney Afrika (Cox, MacDonald ve Hornung, 1967).

5- **72* Basalt ortalaması, Karroo güney provensi, Güney Afrika (Cox, MacDonald ve Hornung, 1966).

6- **25* Drakensberg basalt ortalaması, Lesotho Güney Afrika (Cox ve Hornung, 1967).

7- Hünnetçi basalt, Karroo Kuzey provensi, Rhodesya Güney Afrika (Cox ve diğerleri, 1965).

8- **6* Gabro Kompleksi ortalaması, Hünnetçi Kuzeyi, Güney Afrika (Cox ve diğerleri, 1965).

9- **12* Tuli basalt ortalaması, MgO % 10, Karroo Kuzey provensi, Rhodesya, Güney Afrika (Vail, Hornung ve Cox, 1969).

10- **8* Nyanndlovu basalt ortalaması, Karroo Kuzey provensi, Rhodesya, Güney Afrika (Cox, MacDonald ve Hornung, 1967).

11- **6* Fesherstone basalt ortalaması, Karroo Kuzey provensi, Rhodesya, Güney Afrika (Vail, Hornung ve Cox, 1969).

12- **1* Hünnetçi basalt ortalaması, Karroo Kuzey provensi, Rhodesya, Güney Afrika (Cox, MacDonald ve Hornung, 1967).

13- **4* Hünnetçi basalt ortalaması, MgO % 5, kuzey provensi Rhodesya, Güney Afrika (Cox, MacDonald ve Hornung, 1967).

14- **1* Hünnetçi basalt ortalaması, MgO % 5-8, Karroo Kuzey provensi Rhodesya, Güney Afrika (Cox, MacDonald ve Hornung, 1967).

15- **3* Basalt ortalaması, Karroo Kuzeyi, Güney Afrika (Cox, MacDonald ve Hornung, 1967).

16- **12* Limburgit analizi ortalaması, Hünnetçi, Karroo Kuzey provensi, Güney Afrika (Cox, MacDonald ve Hornung, 1967).

1- Average for 10 Hasançeyh flood basalt (intext).

2- Average for 7 Swaziland basalt, Southern province of Karroo, Southern Africa (Cox, MacDonald and Hornung, 1967).

3- Average for 21 Lesotho-Swaziland basalts, Southern province of Karroo, Southern Africa (Cox, MacDonald and Hornung, 1967).

4- Average for 44 dolerite, Southern province of Karroo, Southern Africa (Cox, MacDonald and Hornung, 1967).

5- Average for 72 basalt, Southern province of Karroo, Southern Africa (Cox and Hornung, 1967).

6- Average for 25 Drakensberg basalt, Lesotho, Southern Africa (Cox and Hornung, 1966).

7- Hünnetçi basalt, Northern province of Karroo, Rhodesia, Southern Africa (Cox et al., 1965).

8- Average for 8 Gabro complex, Northern Rhodesia, Southern Africa (Cox et al., 1965).

9- Average for 12 Tuli basalt, MgO % 10, Northern province of Karroo, Rhodesia, Southern Africa (Vail, Hornung and Cox, 1969).

10- Average for 8 Nyanndlovu basalt, Northern province of Karroo, Rhodesia, Southern Africa (Cox, MacDonald and Hornung, 1967).

11- Average for 6 Fesherstone basalt, Northern province of Karroo, Rhodesia, Southern Africa (Vail, Hornung and Cox, 1969).

12- Average for 2 Hünnetçi basalt, Northern province of Karroo, Rhodesia, Southern Africa (Cox, MacDonald and Hornung, 1967).

13- Average for 4 Hünnetçi basalt, MgO % 5, Northern province of Karroo, Rhodesia, Southern Africa (Cox, MacDonald and Hornung, 1967).

14- Average for 5 Hünnetçi basalt, MgO % 5-8, Northern province of Karroo, Rhodesia, Southern Africa (Cox, MacDonald and Hornung, 1967).

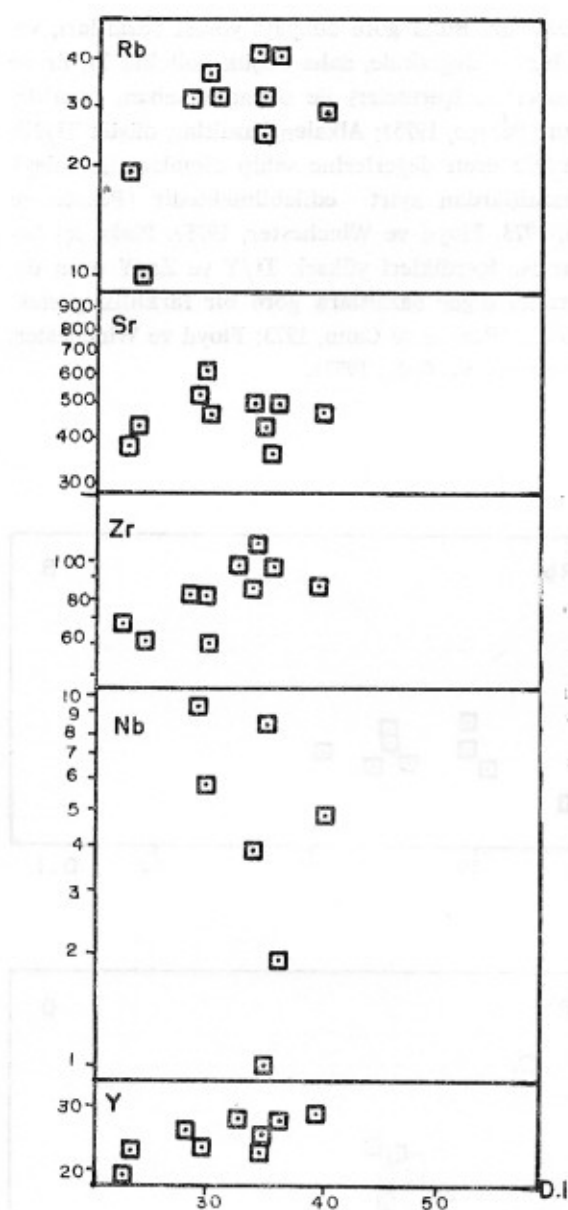
15- Average for 29 basalt, North Karroo, Southern Africa (Cox, MacDonald and Hornung, 1967).

16- Average for 12 Limburgit, Hünnetçi, Northern province of Karroo, Southern Africa (Cox, MacDonald Hornung, 1967).

Table IV: 'nin devamı (II)
Table IV: (Continued) (II)

ÖRNEK NO : (SAMPLE NO)	17	18	19	20	21	22	23	24	25	26	27	28	29	30	31
Rb	13	33	17	18-30	46	18	33	33	33	50	20	10	18.8(8-31)		
Sr	241	121	152	142-188	293	300	400	290	271	430	460	425	328	275	780(195-1051)
Zr	160	94	74		120	85	100	190	210	220	215	30	100	106	34.5(13-103)
Y	50					32	32	45	63	27	29	20	20	23	11.0(4-27)
Nb											20	4		2.3	5.3(2-13)
X/Rb	485	153	254		361			293	332	500		249	340		486(237-747)
Rb/Sr	0.05	0.27	0.11		0.16	0.06	0.08	0.03	0.12	0.12		0.05	0.03		0.02(0.01-0.07)

- 17- "5" Picture George basalt ortalaması, Oregon, Merkezi Washington, U.S.A. (Mc Dougall, 1976).
 18- Jura Ferrar dolerit, Antartika (Gunn, 1962-1966).
 19- Diyabaz ortalaması, Kuzey Amerika Doğusu (Weigand and Ragland, 1970).
 20- Fas basalt ortalaması (Bartrand ve Priotom, 1975).
 21- Moon Kraterinin basalt ortalaması, Snake River ovası, batı Amerika (Leeman, 1976).
 22- Normatif olivinli toleyitik basalt (Prins, 1967).
 23- Normatif kuvarslı toleyitik basalt (Prins, 1967).
 24- "4" Alt Yakima basalt ortalaması, Kolombiya Nehri grubu, Merkezi Washington, U.S.A. (Mc Dougall, 1976).
 25- "5" Orta Yakima basalt ortalaması, Kolombiya Nehri grubu, Merkezi Washington, U.S.A. (Mc Dougall, 1976).
 26- Sıcak nokta toleyitleri (Cast, 1968; Schilling ve diğerleri, 1969).
 27- Kütasal basalt ortalaması (Pearce ve Cann, 1973).
 28- Alt kütasal kabuk ortalaması (Taylor ve Mc Lenman, 1977).
 29- Kalkalkalen basalt (Jakes and White, 1972).
 30- Kalkalkalen basalt (Pearce ve Cann, 1973).
 31- "6" Lesotho granulit ksenolitleri ortalaması ve bileşimsel aralığı, Güney Afrika (Roger, 1977).
 17- Average for 5 Picture Gorge basalt, Oregon, Central Washington, U.S.A. (Mc Dougall, 1976).
 18- Jura Ferrar dolerite, Antarctica (Gunn, 1962-1966).
 19- Average of diabase, East of North America (Weigand and Ragland, 1970).
 20- Average of Morocco basalt (Bartrand and Priotom, 1975).
 21- Average of Basalts from Craters of the Moon, Snake River plain, Western U.S.A. (Leeman, 1976).
 22- Normative olivine tholeiite basalt (Prins, 1967).
 23- Normative quartz tholeiite basalt (Prins, 1967).
 24- Average for 4 lower Yakima basalt, Columbia River Group, U.S.A. (Mc Dougall, 1976).
 25- Average for 5 middle Yakima basalt, Columbia River Group, U.S.A. (Mc Dougall, 1976).
 26- Hot spot tholeites (Cast, 1968; Schilling et al., 1969).
 27- Average of continental basalt (Pearce and Cann, 1973).
 28- Average of the lower continental crust (Taylor and Mc Lenman, 1977).
 29- Calc-alkaline basalt (Jakes and White, 1972).
 30- Calc-alkaline basalt (Pearce and Cann, 1973).
 31- Average and ranges (in brackets) for 6 Lesotho granulite xenolithes. Southern Africa (Roger, 1977).



Şekil 14 : Hasanseyh platobazaltının iz elementlerinin D.I. değerlerine göre değişim diyagramı.

Figure 14 : Variation diagram of trace elements of Hasanseyh floodbasalt according to D.I. values.

kıtascal kabuk ortalaması (425 ppm) ve Pearce ve Cann (1973) tarafından verilen kıtasal plaka içi bazalt ortalaması (460 ppm) değerleri ile uyum halindedir (Tablo IV; analiz 27).

Stronsiyum, diferansiyasyon indeksi (Şekil 14) ve rubidyum (Şekil 15E) ile istatistiksel olarak geniş

bir dağılım sunmaktadır. Bu özellik aynı zamanda bir kirlenmeye işaret etmektedir.

Hasanseyh platobazaltında Rb/Sr oran değeri ortalama 0.07 olup bu değer kalkalkalen bazalt için verilen (0.05) değerinin üstündedir. Bu oran değeri birçok kıtasal toleyitik bazalt oran değeri (Tablo IV; analiz 10, 11, 12, 15, 22, 23) ile uyuşum halindedir.

Zirkon içeriği, 84 ppm ortalaması ile değişik araştırmacılar tarafından verilen kalkalkalen bazalt ortalamalarına (106 ppm ve 100 ppm, Tablo IV; analiz 29, 30) ve aynı zamanda kıtasal toleyitik bazallardan Kolombiya Nehri Provensi sahası dışındaki diğer kıtasal toleyitik bazatlara (Tablo, IV, V) bir benzerlik göstermektedir. Zirkon, artan D.I. değerleri ile artan bir ilişki sunmaktadır (Şekil 14).

Niyobyum içeriği, 4 ppm ortalaması ile kalkalkalen bazalt ortalamasına göre (2.5 ppm, Tablo IV; analiz 30) yüksek, çok değişken değerler gösteren (11-54 ppm) kıtasal toleyitik bazatlara göre düşük değerde olup özellikle alt kıtasal kabuk (4 ppm) ve mafik granulit ksonolitleri ortalaması (5.3 ppm) ile tam bir uyum halindedir.

Yitriyum içeriği, 23 ppm ortalaması ile çok yüksek değerler gösteren Parana Provensi ve Kolombiya Nehri Provensi dışında (Tablo V) genelde kıtasal toleyitlerle bir benzerlik halindedir. Ayrıca kalkalkalen bazalt (23 ppm) ve alt kıtasal kabuk ortalaması değerleri ile de (20 ppm) uyumludur (Tablo IV, analiz 28, 30).

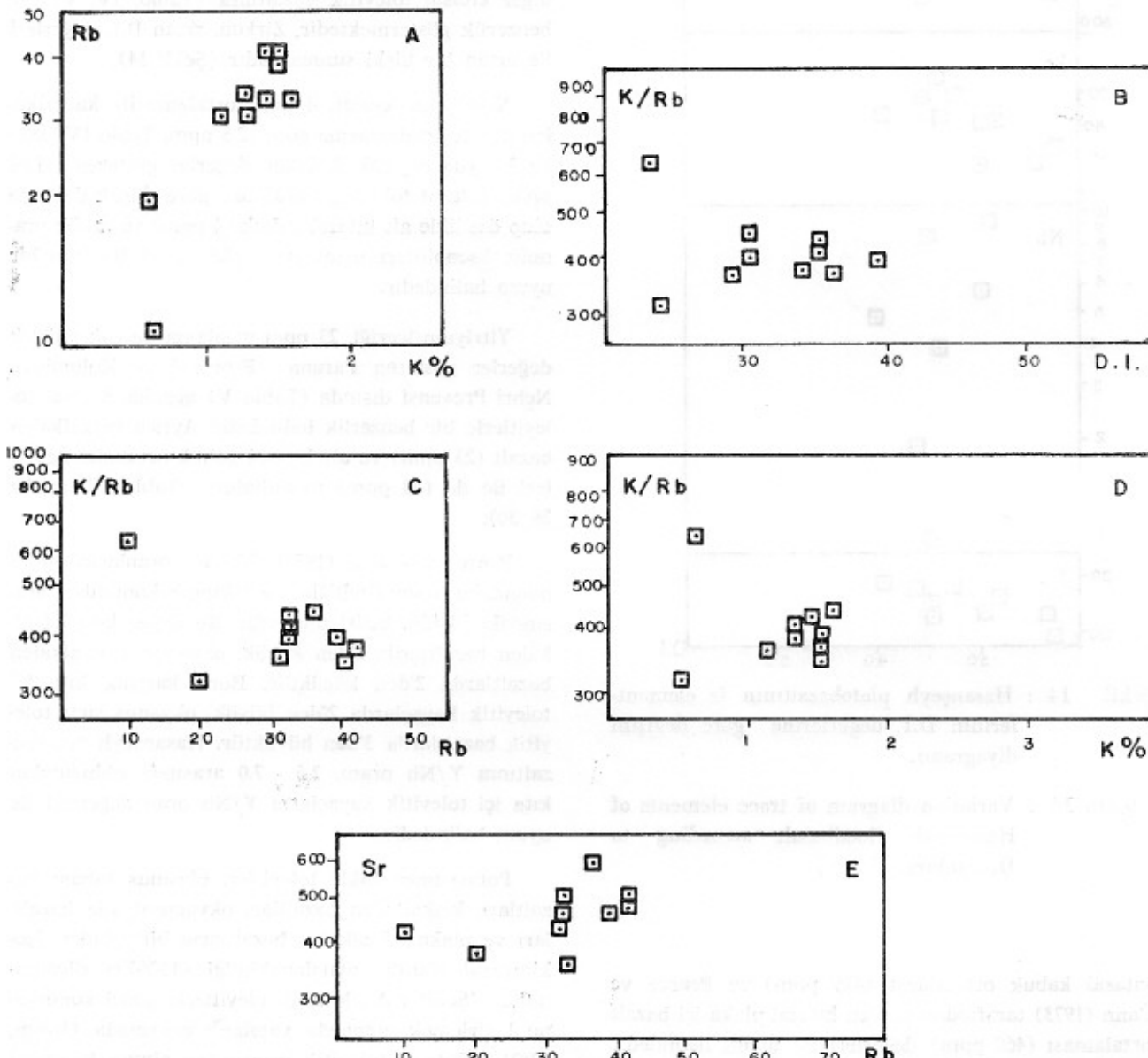
Pearce ve Cann (1973), Y/Nb oranlarına göre magmaların soy özelliğini ve tektonik konumları arasındaki ilişkiyi belirlemiştir. Bu değer kıta içi alkalen bazatlarda 1'den küçük, okyanus sırtı alkalen bazatlarda 2'den küçüktür. Buna karşılık kıta içi toleyitik kayaçlarda 2'den büyük, okyanus sırtı toleyitik bazatlarda 3'den büyütür. Hasanseyh platobazaltının Y/Nb oranı, 2.6 - 7.0 arasında olduğundan kıta içi toleyitik kayaçların Y/Nb oran değerleri ile uyum halindedir.

Potasiumca fakir toleyitler, okyanus tabanı bazaltları, kalkalkalen bazaltlar, okyanusal ada bazaltları ve plaka içi alkalen bazatlardan birbirinden jeokimyasal olarak ayırtlanıldığı «Ti-Y-Zr» diyagramında (Şekil 16A), kıtasal toleyitlerin genel konumunu belirlemek amacıyla yapılan çalışmada (Holm, 1982), 7 kıtasal toleyit provensten alınan 16 yersel örneğin (Tablo V) plaka içi bazalt sahasında yer almayıp, bu örneklerin yaklaşık % 50 sinin okyanus tabanı bazalt sahasında geri kalanının ise kalkalkalen

bazalt sahasında yer aldıları belirlenmiştir. Hasanşeyh platobazaltının bu diyagram üzerindeki konumu (Şekil 16B), diğer kıtasal toleyitlerle olan benzerliğiini yinelemektedir.

Hernekadar, tanımlanması iyi yapılmış birkaç kural dışı durum varsa da (İzlanda, Afar ve İngiltere Tersiyer Provensinin bir kısmı gibi) yeryüzündeki bazaltların büyük bir kısmı bulundukları farklı jeotektonik yerleşim sahalarına göre, Ti, Zr, Y ve Nb içeriğleri bakımından sistematik olarak farklılıklar gö-

termektedir. Buna göre adayı yöresi bazaltları, verilen bir Cr değerinde, daha düşük bollukta Ti, Zr ve Nb değerleri içermeleri ile okyanus tabanı bazaltlarından (Pearce, 1975); Alkalen bazaltlar, düşük Ti/Nb ve Zr/Nb oran değerlerine sahip olmaları ile toleyitik bazatlardan ayırt edilebilmektedir (Pearce ve Cann, 1973, Floyd ve Winchester, 1975). Plaka içi bazaltlar ise içerdikleri yüksek Ti/Y ve Zr/Y oran değerleri ile diğer bazaltlara göre bir farklılık göstermektedir (Pearce ve Cann, 1973; Floyd ve Winchester, 1975; Pearce ve Gale, 1977).



Şekil 15 : Hasanşeyh platobazaltının iz elementlerinin değişim diyagramı.

Figure 15 : Variation diagram of trace elements of Hasanşeyh floodbasalt.

de olası birliklerin tamamının olasılıkları da bu tabloda verilen analizlerin olasılıklarıdır. Bu tablo, 213 analiz içeren 7 provinsenin 16 kıtasal toleyitik bazaltının Hasanseyh plato bazaltı ile karşılaştırılmıştır.

Tablo VI'da 213 analiz içeren ve 7 provinsenin 16 kıtasal toleyitik bazaltının Hasanseyh plato bazaltı ile karşılaştırılmıştır. Bütün analizler ($a/a 20$)CaO+MgO) $a/a 12$ 'bileşimsel aralığındadır.

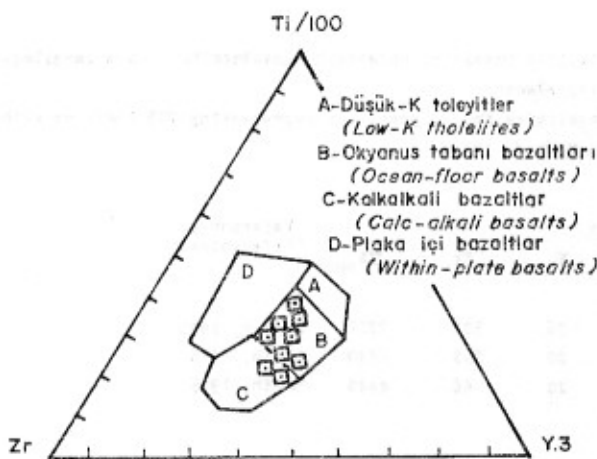
Table VI: 213 analiz içeren ve 7 provinsenin 16 kıtasal toleyitik bazaltının Hasanseyh plato bazaltı ile karşılaştırılmıştır. Bütün analizler ($a/a 20$)CaO+MgO) $a/a 12$ 'bileşimsel aralığındadır.

Table VI: Comparison of sixteen continental tholeiitic basalts from 7 provinces representing 213 analyses with Hasanseyh flood basalt. All analyses are in the range ($a/a 20$)CaO+MgO) $a/a 12$.

Provinsler (Provinces)	Analiz Sayıları No of analyses	T	Zr	Ti ppm	Referanslar (References)
KD Amerika Provansı (NE American Province)					
Watchung akıntıları (Watchung flows)	21	36	102	7210	Puffer, 1980
York Haven akıntıları (York Haven flows)	30	20	115	6540	Smith, 1975
Rosville akıntıları (Rosville flows)	20	20	66	4440	Smith, 1975
Karroo Provansı (Karoo Province)					
Tandiesberg sillili (Tandiesberg sill)	37	22	90	5460	Richardson, 1979
Hengnest sillili (Hengnest sill)	9	26	150	6600	Le Roex, 1978
Blaauwkrans sillili (Blaauwkrans sill)	9	22	76	5220	Le Roex, 1978
Antartika Provansı (Antarctic Province)					
Ferrar doleritleri (Ferrar dolerites)	4	25	66	3840	Kyle, 1980
Parana Provansı (Parana Province)					
Parana havzası (Parana basin)	10	62	215	18500	Ruegg, 1970
Dekkan Provansı (Deccan Province)					
Bhoiwada bölümü (Bhoiwada section)	4	26	123	5970	Sukheswala, 1958 Vallance, 1974
Kolumbiya Nehri Provansı (Columbia River Province)					
Picture George birimi (Picture George unit)	5	50	160	10320	Mc Dougall, 1976
Alt Yakima birimi (Lower Yakima unit)	4	45	190	10800	Mc Dougall, 1976
Orta Yakima birimi (Middle Yakima unit)	5	63	210	19260	Mc Dougall, 1976
Grand Ronde Sekansı (Grande Ronde Sequence)	6	48	200	13200	Mc Dougall, 1976
KD Grönland Provansı (NE Greenland Province)					
Alt birim (Basal unit)	5	17	76	4900	Personel veri (Personal data)
Afırık birim (Aphyric unit)	15	21	89	5580	Personel veri (Personal data)
Perfirik birim (Porphyric unit)	29	25	63	6420	Personel veri (Personal data)
Karadeniz Plakası (Black Sea Plate)					
Hasanseyh plato bazaltı (Hasanseyh flood basalt)	10	23	84	6084	in text

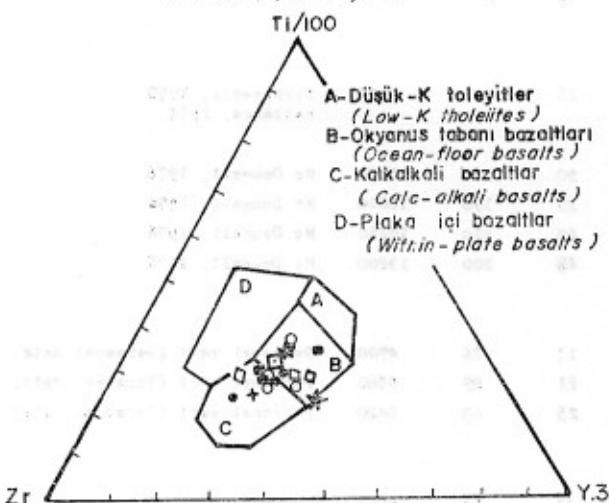
Yayınlanmamış veriler (Unpublished data), Feiko Kalsbæk ve Hans Jepsen, Geological Survey of Greenland, Copenhagen, Danmark.

Hasanşeyh platobazaltının Ti/Y ve Zr/Y oranları (Tablo VI) ile, plaka içi bazaltlarından ziyeade hem kalkaleni bazatlara hemde okyanus ortası bazatlara uyum gösterdikleri ve dolayısı ile



Şekil 16A : Ti-Zr-Y üçgen diyagramında (Pearce ve Cann, 1973) Hasanşeyh platobazaltının dağılımı.

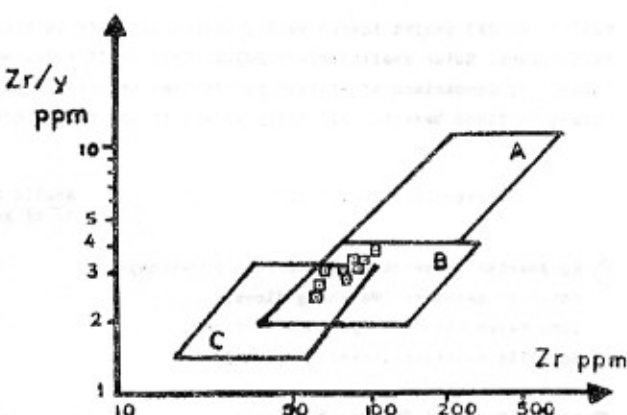
Figure 16A : Distribution of Hasanşeyh floodbasalt in Ti-Zr-Y triangle diagram (Pearce and Cann, 1973).



Şekil 16B : Ti-Zr-Y üçgen diyagramında (Pearce ve Cann, 1973) Hasanşeyh platobazaltı ile 7 provense 16 kıtasal toleyitin dağılımı. Sembol ve referanslar için Tablo V'ye bakınız.

Figure 16B : Distribution of Hasanşeyh floodbasalt and 16 continental tholeiitic basalts from 7 provinces in Ti-Zr-Y triangle diagram (Pearce and Cann, 1973). For symbols and references see Table V.

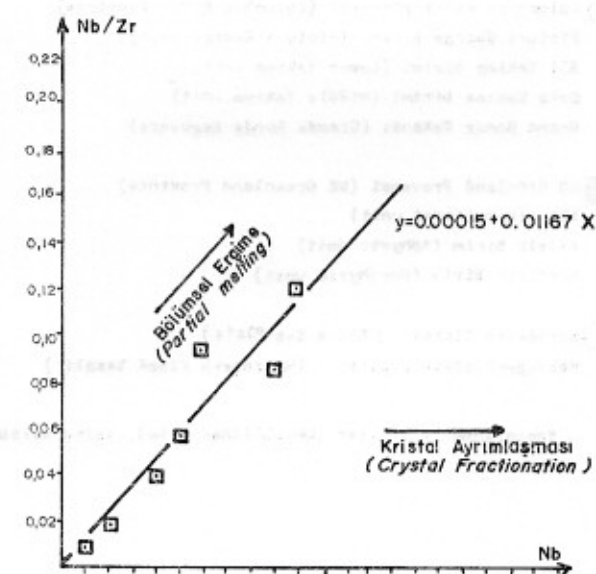
kıtatal toleyitlerin genel davranış biçimine sahip oldukları belirtilebilir. Bu özellik ayrıca Zr/Y-Zr (Pearce ve Norry, 1979) diyagramında da (Şekil 17) yinelenmekte olup Hasanşeyh platobazaltı, adayı



Şekil 17 : Zr/Y - Zr diyagramında Hasanşeyh platobazaltının konumu.

Figure 17 : Tectonic setting of Hasanşeyh floodbasalt in diagram of Zr/Y - Zr.

- A — Plaka içi bazaltlar.
(Within-Plate basalts)
- B — Ada yayı bazaltları.
(Island arc basalt)
- C — Okyanus ortası sırtı bazaltları.
(Mid-ocean ridge basalts).



Şekil 18 : Hasanşeyh platobazaltında Nb/Zr oranının Nb'ye göre değişimi.

Figure 18 : Variation diagram of Nb/Zr according to Nb value in Hasanşeyh floodbasalt.

kalkalkalen bazalt alanı ile okyanus tabanı bazalt alanı içinde yer almaktadır.

Uyumsuz elementler (Green ve Ringwood, 1967; Treuil, 1973) gibi kabul edilen Nb ve Zr elementleri-

Ch+
 Ch-
nin _____ = F (Ch+) eşitliğindeki davranışları ince-
lendiğinde (Şekil 18), Hasanseyh platobazaltından alınan örneklerin Nb/Zr oran değerlerinin birbirine yakın değerlerde olmayıp daha çok değişken değerler sundukları ve bunun sonucunda kısmi ergime yönüne paralel olan ve düşey ekseni kesen bir doğru ile temsil edildikleri gözlemlenmiştir (Allégre ve diğ., 1973; Treuil, 1973; Joron ve diğ., 1976). Nb ve Zr elementlerinin bu davranış biçimini, Hasanseyh platobazaltını oluşturan ana mağmanın üst mantonun bölüm-
sel ergimesi sonucu olduğunu vurgulamaktadır.

TARTIŞMA VE SONUÇLARI

Üst Lütesiyen - Priabonyen (?) evresinde geniş yayılmış olarak yüzeye çıkan Hasanseyh platobazaltı, büyük hacimlerde tek düz bir görünüm sunmaktadır.

Petrografik açıdan toleyitik karakterli bazalt olarak niteleyebileceğimiz Hasanseyh bazaltı, jeokimyasal açıdan da kıtasal plaka içinde gözlenen toleyitik bazaltlara bir benzerlik göstermekte ve aynı zamanda «sialik» kökenli gibi davranışmaktadır.

Kıtasal kabuğun jeokimyasal özellikleri ile kalkalkalen karakterli kayaçları bünyesinde barındıran adayalarının kimyasal özelliklerinin benzer olması, Hasanseyh platobazaltının bazı iz elementlerce (Ti, Zr, Y) hem kalkalkalen kayaçlara hemde alt kıtasal kabuğun bileşimine benzerlik göstermesi ve aynı zamanda sialik kökenli gibi davranışması, Hasanseyh platobazaltının alt kıtasal kabuktan kaynaklanabileceğini düşündürmektedir. Bilindiği gibi alt kıtasal kabuk, üst kabuğu oluşturan granodioritik kayaçlardan daha bazik yani nötr bileşimde olup, susuz koşullarda bulunmakta ve granulit fasiyesinin bütün fiziksel ve kimyasal özellikleriyle tam bir uyum göstermektedir. Bu özellikler, Hasanseyh bazaltının alt kıtasal kabuk ile üst manto sınırında, alt kabuk tabakalanması (underplating) mekanizmasına sonucu olusabileceğini belirtmektedir. Bu mekanizma sırasında, Hasanseyh platobazaltını veren mağma, alt kabuk tarafından kısmen de olsa kirletilmiş (K/Rb-D.I. ve K/Rb-Rb ilişkisi) ve hatta bazı iz elementlerce (Sr, Nb, Y) alt kabuk-mafik granulit fasiyesinin bileşimi-
ne uygun hale gelmiştir.

Kıtasal plaka içlerinde yer alan toleyitik karakterli platobazaltları, genelde büyük hacımlarda tek düz bir görünüm sahip olup Mesozoik ve Tersiyer provenslerinde (Kolombiya Nehri, Kuzey Atlantik, Dekkan, Parana, Karroo, Antarktika ve Sibirya platformu) gözlenmekte ve kendilerini oluşturan mağmaların bileşimi ve özellikleri hakkında önemli veriler sunmaktadır.

Yeryüzünde gözlenen kıtasal platobazaltları primer ya da primer yakını mağmadan ve/veya mağnez-yumac çok zengin ana mağmalardan (Pikritik) tür-
mişlerdir. Hasanseyh bazaltı içinde gözlenen faz ilişkileri (Ol-Cpx; Ol-Cpx-Plj) ve kayaçlarda ksenolit (anklav) halinde uygun manto materyalinin yokluğu gibi deliller ikinci ihtimalin yanı pikritik mağmanın daha olasılı olacağı görünüşü belirtmektedir. Platobazaltlarında gözlenen olivin, klinopiroksen ve plajiyoklazların kristalizasyonu pek çok elementin dağılı-
mını sınırlamaktadır. Bu sınırlama ile platobazaltları, geniş yayılmış olarak büyük hacımlarda tek düz gözle-
mekte dirler. Buna rağmen bazaltlarda görülen de-
ğişimlerin çoğunun kabuk derinliklerinde etkili olan çok değişken basınçlı ayrılma sonucunda oluşturuk-
ları da bilinmektedir.

Bu verilerin ışığı altında toleyitik karakterli Hasanseyh platobazaltının oluşum mekanizması için, üst mantonun bölüm sel ergimesi ile oluşmuş pikritik karakterli ana bir mağmanın alt kabuk-üst manto sını-
rında Alt kabuk tabakalanması mekanizmasına uy-
gun olarak ayrılma modeli düşünülebilir. Pirolitik mantonun 20 Kb ve 60 km de % 20-30 miktarında kısmi ergimesi ile oluşan ana pikritik mağma kabuk incelmesi gösteren özel durumlarda yüzeye kadar ula-
şabilir. Buna karşın kabuk incelenmesinin olmadığı du-
rumlarda (ki bu durum daha çok rastlanılan bir du-
rumdur) bu pikritik mağma, kıtasal kabuğa göre da-
ha yoğun olduğundan kıtasal kabuğun tabanına bir dizi siller halinde enekte olur. Enekte olan bu pik-
ritik siller, alta ultramafik kümülatlar, üstte ise gab-
royik karakterli mağma (Şekil 19), olmak üzere iki ana kısım halinde ayrılaşırlar. Kıtasal bazaltik mağ-
maların alçak basınç ayrılmaşmasının çoğu da bu de-
rin kabuksal sil kompleksi içinde oluşmaktadır. Bu sil kompleksi içinde oluşan gabroyik mağma yoğunlu-
ğu yeterince azaldığı için yukarı doğru yükselerek daha da ayrılmaşır ve geride kalıntı (restit) halinde gabroyik kümülatları bırakır. Gabroyik kümülatlar faz ilişkilerine göre yaklaşık olarak kabuk manto si-
nırına denk gelen 40 km den fazla olmayan derinlik-
lerde oluşmak zorundadır. Yukarda belirtilen oluşum mekanizması sonucunda tüketilmiş kümülatlar (Harz-

Table VI: Hasangeyh platobazaltının Ti/Y ve Zr/Y oran değerlerinin, farklı jeotektonik konumlarda bulunan bazaltlarla karşılaştırılmaları.
Table VI: Comparison of Ti/Y and Zr/Y ratios of Hasangeyh floodbasalt with the basalts of the diverse tectonic setting

Bazaltların jeotektonik konumları (Geotectonic setting of basalts)	Analiz Sayıları (No of analyses)	Zr/Y	Ti/Y (ppm)	Referanslar (References)
Plaka içi bazaltlar (Within-plate basalts)				
- Okyanusel ada bazaltları (Ocean island basalts)	78	7.4	522	Pearce ve Cann (1973) Pearce and Cann(1973)
- Kıtasal bazaltlar (Continental basalts)	35	7.4	560	" " " "
Kalkalkalen bazalt ortalaması (Average of Calc-alkali basalt)	60	4.60	235	" " " "
Potasumlu fakir toleyitlerin ortalaması (Average of Low-K tholeiites)	46	2.74	271	" " " "
Okyanus tabanı bazalt ortalaması (Average of ocean-floor basalt)	72	3.07	278	" " " "
Kıtasal toleyitik bazalt ortalaması (Table V) (Average of continental tholeiitic basalt) (Table V)	16	3.89	251	Helm (1982) " "
Hasangeyh platobazalt ortalaması (Average of Hasangeyh flood basalt)	10	3.20	235	in text

burjıt) sil'e benzer kütleler halinde kabuğun tabanında yada ona yakın bir yerde yerleşmektedirler. Bu kökensel yaklaşımda, sil modeli daha uygundur. Çünkü sil kompleksleri herhangi bir hacim problemi olmadan çok miktarda malzemeyi içlerinde barındıramamışlardır. Sil modeli magmanın daha tekdüze ısı ve basınç şartlarında yerleşmesi açısından daha da avantajlıdır. Zira sillerin ısı-basınç koşulları benzer büyülükteki «Dayk benzeri» kütlelere göre daha az değişmektektir. Çünkü bir derin kabuk sil'i büyük miktarda mağmanın nisbeten sınırlı basınç aralığında ayrılmaşması için ideal bir ortamı oluşturmaktadır. Sillerin yerleşmesini kontrol eden etkenler şimdideyi kadar iyi anlaşılamamıştır. Sillerin yerleşimine uygun şartlar, tektonik sıkışma rejimi (Roberts, 1970); düşük yoğunluktaki yan kayaçlar (Bradley, 1965), muhtemelen yatay tabakalanma ve yaprakanma gibi yapısal etkenler tarafından yaratılabilmemektedir. Bu son iki etkenden hangisinin daha önemli olduğunu kestirmek zordur. Zira yer kabuğunda gözlenen sillerin çoğu hem yatay tabakalar, hemde düşük yoğunluktaki sedimanlar içine yerleşmişlerdir. Olasılıkla her iki etkenin birleşimi, ideal bir sil ortamını oluşturmaktadır.

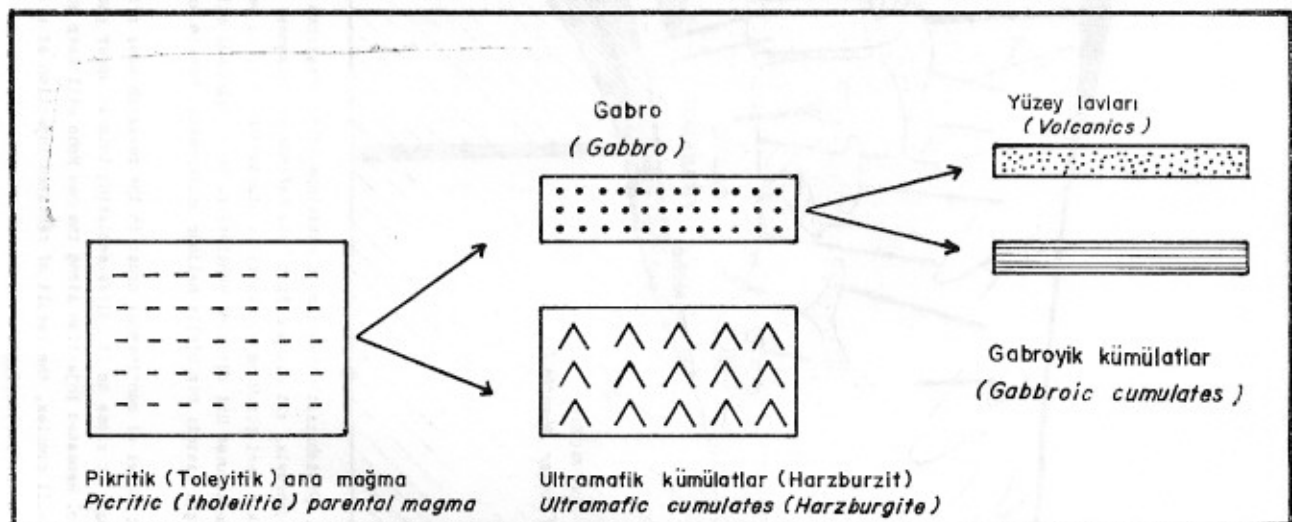
Bilindiği gibi Karadeniz plakası (Mc Kenzie, 1972; Alptekin, 1973; Dewey ve diğ., 1973) ile bu kıtanın güneyinde yer alan okyanusal kabuk kuzeydeki kıta kenarı boyunca bir yitim zonu oluşturarak Üst Kretase-Paleosen süresince kuzey-güney yönlü bir sıkış-

ma tektoniği ile kapanmıştır. Üst Kretase yaşı adayılığını güneyden sınırlayan Kuzey Anadolu Ofiyolit karmaşığı da yiten bir okyanus kabuğunu simgelemektedir. Okyanusal kabuğun kapanması sonucu, Üst Paleosen'den sonra kıta (Anatolid)-adayayı (Karadeniz plakası) çakışması gerçekleşmiş ve söz konusu olan kuzey-güney yönlü tektonik sıkışma rejimi Karadeniz plakasını Üst Miyosene kadar etkilemiştir (Mc Kenzie, 1970, 1972; Şengör, 1979, 1980; Tokay, 1973). Bu kuzey güney yönlü sıkışma tektoniği sillerin yerleşmesine en uygun şartları hazırlamış olmalıdır.

Hasanseyh platobazaltı için şekillendirilmiş modelde de görüldüğü gibi (Şekil 20), alt kıtasal kabuk-üst manto modelleri ile çeşitli yazarlarca ileri sürülen okyanusal kabuk-üst manto modelleri arasında bir benzerlik varmış gibi gözükmekte ise de, Hasanseyh platobazaltı için benimsenen model, okyanusal kabuk-üst manto modeline göre bir farklılık göstermektedir. Buna göre benimsenen modelde;

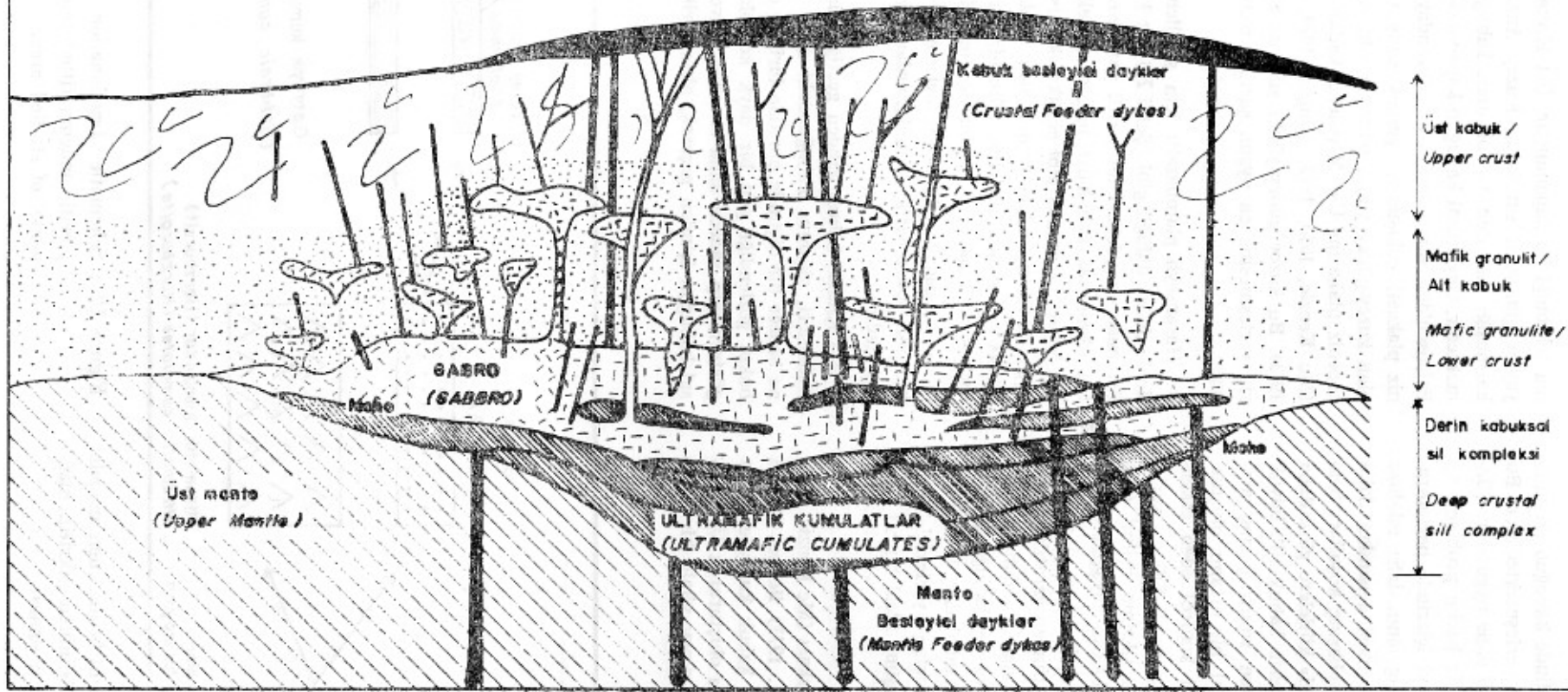
— Kitasal kabuk, yüzey lavlarını alttan yiğilmiş, birikmiş ultramafik kümülatardan ayırcı bir konumdadır.

— Kitasal kabuk içinden geçtiği düşünülen dayk sistemleri, okyanus kabuğundaki dayk komplekslerine benzer bir biçimde olmakla birlikte okyanusal kabukta gözlendiği gibi bir dayk kompleks yayılımı göstermeyip sadece daha önceden mevcut olan kıtasal kabuğun içinden geçerek, alta birikmiş olan ul-



Şekil 19 : Çalışma alanı için benimsenen modele uygun olarak düşünülen pikritik mağmanın ayrılmaşma şeması.

Figure 19 : Schematic fractionation diagram of picrotic magma fitted into the general model of studied area.



Şekil 2O: Platosault volkanizması etkisinde kalan araştırma sahası için kıtasal kabuk modeli. Kabuk-manto sınırlarına veya bu sınırın yakınına tek bir itme ile yerleşen pikritik madmanın üst gabroyik, alt ultramafik tabaka halinde ayırmaması sonucu oluşan derin kabuksal sill kompleksi, şematik olarak sol tarafta, tek bir birlik halinde gözlenmekte ve sınırları belli keskin yeni bir Moho şerkeşsizliği oluşturmaktadır. Bu yeni Moho boyunca tekrarlanan sill enjeksiyonları, gabro ilavesi ile kabuğu beslerken, ultramafik kümülatların ilavesi ile de Üst mantonun Üst dizaynini yenilerler. Derin kabuksal sill kompleksi, sağ tarafta ise, birbirine benzeyen fakat tam aynı olmayan seviyelerde tekrarlanan pikritik sill enjeksiyonları sonucu çok kısımlı bir birlik halinde gözlenmekte, keskin ara yitheyle bir Moho'dan ziyade dağınık belirsiz bir Moho oluşturmaktadır.

Figure 2O: Model of continental crust in the research area affected by flood volcanism. The deep crustal sill complex generated by a single pulse of picrotic magma along the crust-mante boundary or close to it (differentiating into an upper gabbroic portion and a lower ultramafic layer) is show diagrammatically as a single unit (left) generating a new seismic sharp Moho. Repeated injection along the new Moho will keep adding gabbro to the crust while generating a new top to the upper mante by the addition of ultramafic cumulates. The deep crustal sill complex, the result of repeated injection at a variety of similar but not identical levels, is show diagrammatically as a multiple (right) generating a diffuse Moho, rather than a sharp interface.

tramafik kümülatlarla yüzey lavlarını birleştirici özelikte olan bir dayk sistemi halindedirler.

Elder (1979 a, b)'e göre bir daykin yukarı doğru ilerleyebilmesi için akişkan basıncının, dayk kolonunun üst kısımlarında litostatik basıncı belirli bir miktar aşması gereklidir. Yani akişkan basıncının, kayaçların kohesif kuvvetinden büyük ve/veya ona eşit olması gereklidir. Pikritik mağma durumunda ise, bu mağma düşük yoğunluktaki kabuğu delme durumunda olduğundan alt kabuğu sürekli delme işlevinde bulunur. Bu nedenle bu mağmanın akişkan basıncı kabuk içindeki bütün seviyelerde yan kayacın kohesif kuvvetinden fazla olmak zorundadır. Ancak bu şekilde hidrolik parçalanma gerçekleşir ve bu arada da yapısal özellikler uygunsa peridotitin kısmi ergimesi ile oluşan pikritik manto gerecinin siller halinde astenosferik alt kabuk içine yerleşmesi mümkün olur. Bu sokulum aynı zamanda yarı akişkan ve kısmi ermiş bir ortamın içine doğru olduğundan (astenosferik alt kabuk) hem yerleşen gerecin hemde yerli kayanın kısmen karışmasına yol açar. Bir sil artık oluştuktan sonra üst mantodan gelen ana pikritik mağma, dayktan ziyade sil'i besler. Bu şartlar, yataya yakın yapraklanması geniș yayılım gösterme olasılığından dolayı derin kıtasal kabuk seviyelerinde mümkün olabilmektedir. Zira yoğunluk faktörü alt kıtasal kabuk seviyelerinde istenilene uygun olup, bu seviyelerde litostatik basınç ile mağma kolonunun içindeki basınç maksimumdur (Elder, 1979a). Bu nedenle alt kabuksal seviyeler, yan duvar kayaçlarının hidrolik parçalanması için en uygun seviyelerdir. O halde pikritik sillerin ideal konumu, kabuk-manto sınırında ve/veya ona yakın bir yerdedir. Bu şekilde yerleşmiş pikritik bir mağma üst gabroyik ve alt ultramafik katman halinde ayırmalacak ve böylece iki kısım arasında yeni bir sismik Moho süreksızlığı oluşacaktır. Bu yeni Moho süreksızlığı boyunca oluşan Alt kabuk tabakalanması mekanizması ile tekrarlanan sil enjeksiyonları sonucu, yeni ultramafik kümülatların ilavesi ile üst mantonun üstünde yeni bir tüketilmiş manto oluşurken kabuğa da gabro ilave edilmeye devam edecektir. Bu durumda, birbirine benzeyen fakat tam aynı olmayan seviyelerde enjeksiyonlar olursa keskin ara yüzeyi bir Moho'dan ziyade dağınık ve belirsiz bir Moho olusacaktır. Böyle bir zonda neyin manto, neyin kabuk olduğunu tanımışsa imkânsız olacaktır. Şunu belirtelim ki, petrolojik olarak plajiyoklaz'ların kayaçlarda bulunusu kıtasal kabuğun tanımlamaktadır. Derin kabuk sillerinin daha önceden karşılaşmış kayaçlarla birlikte gabroyik mineralojide bulunabilmesi için bunların yeterince

yüksek sıcaklıkta yerlestiği kabul edilir. Bununla beraber geçen zamanla birlikte başlangıçtaki birlliğin mafik granül fasiyes mineralojisine dönüşmesi ve bir granat - piroksen - plajiyoklaz içeren birlik haline gelmesi de muhtemeldir. Bu modele göre, yüzeyde bazaltik lavlar halinde görülen Hasanseyh platobazaltının kendi manto kaynağı ile ilişkisi tamamen kesilmiş olup, yüzeyde gözlenen bazaltik lavlar artık alt kabuk-üst manto sınırdındaki yaygın sil komplekslerinden beslenirler.

Bu şartlar altında üst manto kökenli ksenolit (anklav) lerin Hasanseyh platobazaltı içinde bulunmaması şaşırtıcı değildir.

Hasanseyh platobazaltının, genelde yüksek TiO_2 ve düşük K_2O değerleri içeren diğer kıtasal toleyitik bazatlara (Tablo II) göre düşük TiO_2 ve yüksek K_2O değerleri içermesi, alt kabuk tabakalanması sırasında üstte oluşan gabroyik (toleyitik) karakterli mağmanın alt kabuk-mafik granül kayaçları ile kırılganlaşması ve bunun sonucunda da gerek alt kabuk-mafik granül bileşimine, gerekse bunlarla benzer bileşimde olabilen kalkalkalen bazalt bileşimine uyum sağlamasından ileri gelmektedir.

Çalışma alanında pikritik ana mağmanın gözlenmemesi, kıtasal kabuğun incelme yerine, kalınlaşmış olması ihtiyalini düşündürmektedir. Bununla beraber, çalışma alanının batısında yer alan Taşova bölgesi ve çevresi Eosen yaşı bazatlarda, Baş (1979) tarafından verilmiş olan iki bazalt örneğinden HB 442 nolu örneğin, % 14.54 gibi büyük bir MgO değeri içeriği ve pikritik kayaçların genel kimyasal bileşimlerine bir uyum sağladığı gözlenmektedir (Tablo VII). Karadeniz plakası için pikrit ve/veya pikrit benzeri gibi kabul edilebilecek olan bu örnek Karadeniz plakasının bazı kesimlerinde küçük ölçeklerde olsa da, kıtasal kabuğun incelmiş olabileceği ve bunun sonucunda da pikritik karakterli ana mağmanın ve/veya onun az ayrılmış kışımının yüzeye çıkmış olabileceğine işaret etmektedir.

Yörede yapılan bu çalışma ile elde edilen sonuçlar şu şekilde özetlenebilir :

1 — Doğu Pontidlerin orta kesiminde yayılım gösteren Hasanseyh platobazaltının Üst Lütesiyen-Priaboniyen (?) yaşıda olduğu saptanmıştır.

2 — Hasanseyh platobazaltının gerek morfolojik ve gerekse mineralojik, petrografik ve jeckimyasal açıdan platobazaltlarının genel özelliklerine bir benzerlik sunduğu gözlenmiştir.

Table VII : Taşova pikritik bazaltının diğer benzer pikritik bazaltlarla karşılaştırılması.

Table VII : Comparison list of the Taşova picritic basalt with the other similar picritic basalts.

ÖRNEK NO :

(SAMPLE NO)	1	2	3	4
SiO ₂	46.62	48.14	47.12	40.02
Al ₂ O ₃	10.72	10.46	9.10	8.32
Fe ₂ O ₃	4.59	1.91	3.31	1.51
FeO	5.55	9.20	6.79	11.14
MnO	0.19	-	0.09	0.85
MgO	14.54	18.00	21.30	27.63
CaO	11.11	8.22	8.19	4.04
Na ₂ O	2.07	1.68	1.61	0.65
K ₂ O	1.07	0.75	0.85	0.32
TiO ₂	0.58	1.49	0.43	0.59
P ₂ O ₅	2.66	0.15	0.15	-
FeO/MgO	0.66	0.61	0.46	0.45

-
- 1- Pikritik bazalt, Taşova bölgesi, Türkiye (Baş, 1979)
Picritic basalt, Taşova province, Turkey (Baş, 1979)
 - 2- Pikritik bazalt, Karroo bölgesi, Güney Afrika (Cox, 1980)
Picritic basalt, Karroo province, Southern Africa (Cox, 1980)
 - 3- Pikritik bazalt, New Georgia, U.S.A. (Brown ve Schairer, 1968)
Picritic basalt, New Georgia, U.S.A. (Brown and Schairer, 1968)
 - 4- Pikritin kimyasal bileşimi (Rösler ve Lange, 1972)
Picritic composition of picrite (Rösler and Lange, 1972)

3 ~ Üst Paleosen'den sonra kıta (Anatolid) - ada yayı (Pontid) çakışması sonrası, Doğu Pontid'lerin kıtasal bir kabuğa dönüştüğü ve Hasanseyh platobazalitinin da bu kıtasal plaka içinde kuzey-güney yönlü tektonik sıkışma rejimi altında alt kabuk tabakalanması (underplating) sonucu oluştukları belirlenmiştir.

4 — Bu konuda yapılacak yeni çalışmalar, bölge de kabuğun farklı kalınlıklarda olduğu yerleri ve buralardaki mağmatik ürünlerini ortaya çıkaracak ve sonuçta, Karadeniz plakasında kabuk incelmesinin olabileceği bazı özel yerlerde pikritik karakterli mağmanın ve/veya onun az ayrımlaşmış ürünlerinin belirlenmesine; buna karşın kabuk incelmesinin olmadığı durumlarda, pikritik mağmanın yeryüzüne ulaşmış, ayrımlaşmış ve hatta kıtasal kabuk tarafından kirlenmiş, kalkalkalen eğilimli toleyitik karakterli ürünleninin saptanmasına yardımcı olacaktır. İnceleme alanı için düşünülen alt kabuk tabakalanması modeli, ilerde yapılacak çalışmalarla daha da geliştirilerek, Karadeniz plakasının jeotektonik ve volkanolojik evrimine bir katkıda bulunacaktır.

TEŞEKKÜR

Bu çalışma TÜBİTAK'ın desteği ile yürütülmüştür. Araştırma boyunca sağladığı olanaklılarından ötürü yazar TÜBİTAK'a teşekkür eder. Bu araştırmanın çeşitli aşamalarında göstermiş oldukları yardımlardan ötürü Doç. Dr. Osman YILMAZ'a, kimyasal analizlerin gerçekleştirilmesinde laboratuvar imkanlarından faydalananma sağıyan Doç. Dr. Yılmaz SAVAŞÇIN'a, değerli görüşlerinden yararlandığım Doç. Dr. İhsan SEYMEN'e ve Yard. Doç. Dr. Halil BAŞ'a, arazi çalışmaları esnasında yardımlarını esirgemiyen Jeo. Yük. Müh. İsmail TERLEMEZ (M.T.A.) ve Dr. Ali YILMAZ'a (M.T.A.) ve ayrıca C.I.P.W. normlarının hesaplanması sırasında yardımcı olan Hacettepe Üniversitesi Bilgi İşlem Merkezi elemanlarına yazar içtenlikle teşekkürlerini sunar.

DEĞİNİLEN BELGELER

Ağraltı, B., 1967, Ordu ili Gölköy-Aybasti arasındaki sahada yapılan 1:25.000 ölçekli löve ve bölgedeki kömür zehurlarının incelenmesi hakkında rapor: M.T.A. Enst., Derleme Rap., 4262, Ankara, (yayınlanmamış).

Allégre, C.J., Montigny, R., and Bottinga, Y., 1973, Cortége ophiolitique et cortége océanique, géochimie comparée et mode de

genése: *Bulls. Soc. géol. Fr.*, XV, 5-6, 461-477.

Alptekin, Ö., 1973, Focal mechanisms of earthquakes in Western Turkey and their tectonic implications: PhD thesis, Socorro, New Mexico.

Atak, H.D., 1960, Reşadiye Bölgesi Genel Prospektasyon Çalışmaları nihai raporu: M.T.A. Enst., Ankara, (yayınlanmamış).

Baş, H., 1979, Petrologische und geochemische Untersuchungen an subrezenten Vulkaniten der nordanatolischen Strörungszone (Abschnitt: Erzincan-Niksar), Türkei: Diss. Univ. Hamburg, 116 s.

Bertrand, H., and Prioton, J.M., 1975, Le magmatisme triasico-liasique du Maroc et de la côte orientale de l'Amérique du Nord: 3 Réunion ann. Sci. Terre, 37, Montpellier.

Blumenthal, M.M., 1945, Die Kelkit-Dislakation und ihre tektonische Rolle: M.T.A. Enst. Dergisi, 2-34, 372-386, Ankara.

Bradley, J., 1965, The intrusion of major dolerite sills: Trans. R. Soc. New Zealand., 3, 27-55.

Brown, G.M., and Schairre, 1968, Melting relations of some calc-alkaline volcanic rocks: Yb. Carnegie Instn. Wash., 66, 460-467.

Cox, K.G., Johnson, R.L., Stillmann, C.J., Vail, J.R., and Wood, R.N., 1965, The geology of the Nuanetsi igneous provinces: Phil. Trans. Royal. Soc. Lond., 257, 71-218.

Cox, K.G., and Hornung, G., 1966, The petrology of the Karoo basalts of Basutoland: Mineral., 51, 1414-1432.

Cox, K.G., Mac Donald, R., and Hornung, G., 1967, Geochemical and petrographic provinces in the Karoo basalts of southern Africa: Amer. Mineral., 52, 451-474.

Cox, G., 1980, A model for flood basalt volcanism: J. Petrol., 21, 629-650.

Dewey, J.F., Pitman, W.C., Ryan, W.B.F. and Bonnin, J., 1973, Plate tectonics and the evolution of the Alpine system: Geol. Soc. America Bull., 84, 3137-3180.

Elder, J.W., 1979 a, Magma traps. Part I, Theory; In Rybach, L., and Stegenga, L., (edit), 1979 Geothermics and geothermal energy: Con-

- tribution to current research in geophysics, 7, 3-14.
- Elder, J.W., 1979 b, *Magma traps II, Application: Ibid.*, 7, 15-33.
- Erentöz, C., 1950, *Türkiye Jeoloji Haritası 1:100.000 ölçekli Reşadiye 44-2 paftası: M.T.A. Enst., Ankara, (Yayınlanmamış).*
- Erler, A., 1975, *Ağzılar (Gölköy-Ordu) Kurşun-Çinko zehurunun jeolojisi: Türkiye Jeol. Kur. Bull.*, 18, 139-142.
- Floyd, P.A., and Winchester, J.A. 1975, *Magma type and tectonic setting discrimination using immobile elements: Earth Planet Sci. Lett.*, 27, 211.
- Gedikoğlu, A., 1970, *Etude géologique de la région de Gölköy (Province D' Ordu-Turquie): Thèse de doctorat, Grenoble (Yayınlanmamış).*
- Gottini, V., 1968, *The TiO₂ frequency in volcanic rocks: Geol. Rundsch.*, 57, 920-935.
- Göksu, E., 1960, *1:500.000 ölçekli Türkiye Jeoloji Haritası, Samsun paftası açıklaması: M.T.A. Enst., Ankara.*
- Green, D.H., and Ringwood, A.E., 1967, *The genesis of basaltic magmas: Contr. Min. Petr.*, 15, 103-190.
- Green, D.H., and Ringwood, A.E., 1969, *the origin of basalt magma: In Hart, J., (edit.), 1969. The Earth's crust and Upper Mantle : Pembroke*, 489-495.
- Gunn, B.M., 1962, *Differentiation in Ferrar Dolerites, Antarctica: New Zealand Jour. Geol. Geophys.*, 5, 820-863.
- Gunn, B.M., 1966, *Modal and element variation in Antarctic tholeiites: Geochim. Cosmochim. Acta.*, 30, 881-920.
- Hamilton, W., 1963, *Petrology of rhyolite and basalt, northwestern Yellowstone plateau: U.S. Geol. Surv. Profess. Papers*, 475 - c, 71-81.
- Holm, P.E., 1982, *Non-Recognition of continental tholeiites using the Ti-Y-Zr diagram : Contr. Min. Petr.*, 79, 308-310.
- Hyndman, D.W., 1972, *Petrology of igneous and metamorphic rocks: Mc Graw Hill, Edit, New York. 530 p.*
- Innocenti, R., Mazzuoli, R., Pasquara, G., Radicati, F., Brozolo, F., and Villari, L., 1976, *Evolved lavas from the Snake River plain: interaction between the Arabian, Anatolian and Iranian plates (Lake Van, Eastern Turkey): Jour. Volc. Geoth. Res.*, 1, 103-112.
- Irvine, T.N., Barager W., 1971, *A guide to the chemical classification of the common volcanic rocks: Canadian Journ. Earth Sci.*, 8, 523-548.
- Jakes, P., and White, A.J.R., 1971, *Composition of island arcs continental growth: Earth Planet. Sci. Lett.*, 12, 224-230.
- Jaron, J.J., Bougault, H., Treuil, M., and Allégre C.J., 1976, *Etude géochimique des roches magmatiques de la zone FAMOUS et de l'archipel des Açores: Bull. Soc. Géol. France.*, t. XVIII, no: 4, 811-818.
- Kalyoncuoğlu, A., Yaşar, M. ve Karabulut, A., 1975, *Reşadiye (Tokat) bentonit sahalarında ayrintılı çalışma raporu: M.T.A. Enst., Derleme Rap. no: 5395, Ankara, (Yayınlanmamış).*
- Kronberg, P., 1969, *Doğu Karadeniz dağlarının (Kuzeydoğu Türkiye) Tektoniği üzerine fotojeolojik veriler: M.T.A. Enst. Dergisi*, 74, 57-65, Ankara.
- Kuno, H., 1968, *Differentiation of basalt magmas : In Hess, H.H., and Poldervaart, A. (edit), 1968, Basalts, 2 (Interscience, New York)*, 623-688.
- Kyle, P.R., 1980, *Development of heterogeneities in the subcontinental mantle; Evidence from the Ferrar Group, Antarctica: Contr. Min. Petr.*, 73, 39-104.
- Macdonald, G.A., and Katsura, T., 1964, *Chemical composition of Hawaiian Lavas: J. Petrology*, 5, 82-133.
- Leeman, P.W., Vitaliano, J.C., and Prinz, M., 1976, *Evolution of the volcanism in the area of Crater of the Moon National Monument idaho: Contr. Min. Petr.*, 56, 35-60.
- Le Roex, A.P., Reid, D.L., 1978, *Geochemistry of Karroo dolerite sills: Contr. Min. Petr.*, 66, 361-366.

- Manson, V., 1967, *Geochemistry of basaltic rocks: Major elements: in Hess, H.H., and Poldervaart, A. (edit.), 1967, Basalts, 1 (Interscience, New York), 215-269.*
- Mc Dougal, I., 1976, *Geochemistry and origin of basalt of the Columbia River Group, Oregon and Washington: Geol. Soc. America Bull., 87, 777-792.*
- Mc Kenzie, D.P., 1970, *Plate tectonics of the Mediterranean region: Nature., 226, 239-249.*
- Mc Kenzie, D.P., 1972, *Active tectonics of Mediterranean region: Geophys., 30, 2, 109-189.*
- Middlemost, A.K.E., 1975, *The basalts clan: Earth Science Reviews, 11, 337-364.*
- Miyashiro, A., 1975, *Volcanic rock series and tectonic setting. In Donath, F. A., Stehli, F. G., (edit.), 1975: Annual review of earth and planetary, 3, 251-269.*
- Pearce, J.A., and Cann, J.R., 1973, *Tectonic setting of basic volcanic rocks determined using trace element analysis: Earth Planet. Sci. Lett., 19, 290-300.*
- Pearce, L.A., 1975, *Basalt geochemistry used to investigate past tectonic environments on Cyprus. Tectonophysics, 25, 41-67.*
- Pearce, J.A., 1976, *Statistical analysis of major element pattern in basalts: J. Petrology., 17, 15-43.*
- Pearce, J.A., and Gale, G.H., 1977, *Identification of ore deposition environment from trace element geochemistry of associated igneous host rocks: Geol. Soc. London Publ., 7, 14-24.*
- Pearce, J.A., and Norry, M.J., 1979, *Petrogenetic implications of Ti, Zr, Y and Nb variations in volcanic rocks: Contr. Min. Petr., 69, 33-47.*
- Pelin, S., 1977, *Alucra (Giresun) Güneydoğu yörenin petrol olanakları bakımından jeolojik incelenmesi: K.T.Ü. Yayın No: 87, Trabzon, 1035.*
- Powers, H.A., 1932, *The lavas of the Modoc Lava-Bed Quadrangle, California: Amer. Mineral., 17, 253-294.*
- Prinz, M., 1967, *Geochemistry of basaltic rocks; Trace elements: In Hess, H.H., and Poldervaart, A. (edit.), 1967, Basalts, 1 (Interscience, New York), 271-323.*
- Puffer, J.H., Lechner, P., 1980, *Geochemical cross section through the Watchung basalt of New Jersey: Geol. Soc. America Bull., 91, 7-10.*
- Richardson, S.H., 1979, *Chemical variation induced by flow differentiation in an extensive Karroo dolerite sheet, southern Namibia: Geochim. Cosmochim. Acta., 43, 1433-1441.*
- Roberts, J.L., 1970, *The intrusion of magma into brittle rocks. In Newall, G. and Rast N. (edit.), 1970, Mechanisms of igneous intrusion: Geol. J. special Issue., 2, 287-338.*
- Roger, N. W., 1977, *Granulite xenoliths from Lesotho kimberlites and the lower continental crust: Nature., 270, 681-4.*
- Rösler, H.J., and Lange, H., 1972, *Geochemical tables: Elsevier Publishing Company Amsterdam, 468 p.*
- Ruegg, N.R., Dutra, C.V., 1970, *Variation in the content of some trace elements in basaltic rocks from the Parana basin: Anais do XXIV Congr Bras Geol, Soc. Bras Geol., 219-226.*
- Schultze-Westrum, H.H., 1960, *Giresun-Aksudere (Doğu Pontos) Çevher bölgesi hinterlandında yapılan prospeksiyon ve jeoloji harita çalışmaları hakkında rapor: M.T.A. Enst., Derleme Rap. No: 3184. Ankara.*
- Schultze-Westrum, H.H., 1962, *Ordu-Pirazizçambası hinterlandı çevresinde 1961 senesinde yapılan çevher yatakları prospeksiyonu ve jeolojik yeni löveler (1:25.000): M.T.A. Enst., Derleme Rap. No: 3337, Ankara, (Yayınlanmış).*
- Seymen, I., 1975, *Kelkit vadisi kesiminde Kuzey Anadolu Fay Zonunun Tektonik Özelliği: İ.T.Ü. Maden Fakültesi, İstanbul, 192 s.*
- Smith, R.C.H., Rose, A.W., Lanning, R.M., 1975, *Geology and geochemistry of Triassic diabase in Pennsylvania: Geol. Soc. America Bull., 86: 943-955.*
- Sukheswala, R.N., and Poldervaart, A., 1958, *Deccan Basalts of the Bombay area, India: Geol. Soc. America Bull., 69, 1475-1494.*

- Sengör, C., 1979, *The North Anatolian transform Fault; its age, offset and tectonic significance: jour. Geol. Soc. London*, 136, 269-282.
- Sengör, A.M.C., 1980, *Türkiye'nin neotektoniğinin esasları: Türkiye Jeol. Kur. Konf. Ser.*, No: 2, 40 s.
- Taylor, S.R., and Mc Lennan S.M., 1979, In discussion on «Chemistry» thermal gradients and evolution of the lower continental crust' by Tarney, J., and Windley, B.F.J: *Geol. Soc. London.*, 497-500.
- Tchihatcheff, P. de., 1869, *Asie Mineure; Geologie II. Paris.*
- Terlemez, I. ve Yilmaz, A., 1980, Ünye-Ordu-Koyulhisar-Reşadiye arasında kalan yörenin stratigrafisi: *Türkiye Jeol. Kur. Bull.*, 23 (2): 179-191.
- Terzioğlu, M.N., 1983, *Reşadiye-Aybasti-Gölköy-Mesudiye-Koyulhisar ilçeleri arasındaki sahada yer alan Eosen volknitlerinin petrolojik-Petrokimyasal özelliklerinin incelenmesi: Türkiye Bilimsel ve Teknik Araştırma Kurumu, Temel Bilimler Araştırma Grubu, Proje No: TBAG-137*, (Yayınlanmamış).
- Tilley, C.E., and Muir, I.O., 1962, *The Hebridean Plateau Magma type: Trans. Edinburg Geol. Soc.*, 19, 208-215.
- Tokay, M., 1973, *Kuzey Anadolu Fay zonunun Gerede ve İlgaç arasındaki kısmında jeolojik gözlemler. Kuzey Anadolu fayı ve Deprem kuşağı simpozyumu: M.T.A. Yay.*, 12-29, Ankara.
- Tokel, S., 1979, *Erzurum-Kars yöresinde Neojen çöküntüyle ilgili Volkanizmanın incelenmesi: Kocatepe Üniversitesi Fen Fakültesi Dergisi*, 1, 1-10.
- Treuil, M., and Varet, J., 1973, Critères Volcanologiques, petrologiques, et géochimiques de la genèse et de la différenciation des magmas basaltiques. exemple de l'Afar: *Bull. Soc. Géol. Fr.*, XV, 6, 506-540.
- Turner, F.J., and Verhoogen, J., 1960, *Igneous and metamorphic Petrology*. 2 nd editions, Mc. Graw-Hill, New York, 694 p.
- Vail, J.R., Hornung, G., and Cox, K.G., 1969, Karroo basalts of the Tuli Syncline, Rhodesia: *Bull. volcanol.*, 33, 398-418.
- Vallance, T.G., 1974, Spilitic degradation of a tholeiitic basalt: *J. Petrology.*, 15, 79-96.
- Wager, L. R., 1960, The major element variation of the Layered series of the Skaergaard intrusion: *J. Petrology.*, 1, 364-398.
- Wedding, H., 1963, *Kelkit hattı jeolojisine ait düşünceler ve Kelkit-Bayburt (Gümüşhane) çevresindeki Jura Stratigrafisi: M.T.A. Enst. Dergisi*, 61, 31-66. Ankara.
- Weigand, P.W., and Ragland, P.C., 1970, Geochemistry of Mesozoic dolerites dykes from eastern North America: *Contr. Min. Petr.*, 39, 195-214.
- Yoder, H.S., and Tilley, C.E., 1962, Origin of basaltic magmas :an experimental study of natural and synthetic rocks systems: *J. Petrology.*, 3, 342-532.

Reşadiye (Tokat) Kuzeybatısındaki Hasandede Andezitinin Mineralojik-Petrografik ve Jeokimyasal İncelenmesi

MINERALOGICAL-PETROGRAPHICAL AND GEOCHEMICAL INVESTIGATION OF HASANDEDE ANDESITE IN THE NORTHWEST OF REŞADIYE (TOKAT, TURKEY).

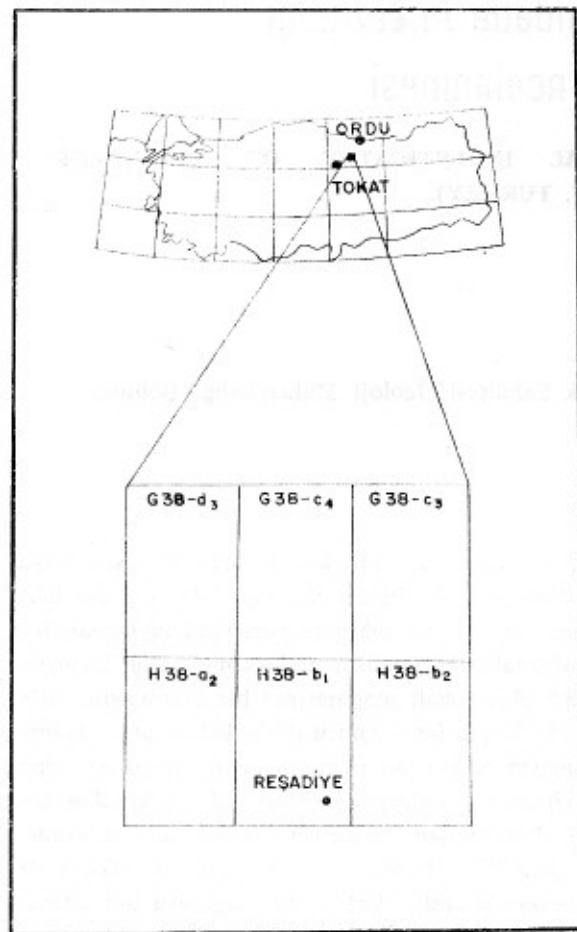
M. NURİ TERZİOĞLU, Cumhuriyet Üniversitesi, Mühendislik Fakültesi, Jeoloji Mühendisliği Bölümü
SİVAS.

ÖZ : Doğu Pontillerin orta kesiminde yer alan kalkalkalen volkanik seri karakterli, Orta Miyosen yaşı Hasandede andeziti, volkanolojik gelişimi açısından bir yitim zonu ile ilişkili olmayıp, kıtasal plaka içlerinde yayılım gösteren «kita içi andezitlere» petrografik, jeokimyasal ve tektonik yerleşimi açısından bir benzerlik göstermektedir. Petrografik ve Jeokimyasal çalışmalar Hasandede andezitinin yakın kuzeyinde yayılım gösteren kalkalkalen eğilimli toleyitik Hasanşeyh platobazalt magmasının bir ayrılma ürünü olduğunu vurgulamaktadır. Alt kabuk tabakalanması (Underplating) sonucu derin kabuksal sil kompleksi içinde gelişen ve Hasanşeyh platobazaltnın ana magmasını oluşturan toleyitik gabbro magması, içine yerleştiği alt kabuk-mafik granulit kayaçları tarafından kirlenerek onlara jeokimyasal bakımdan bir uyum sağlamış ve bunun sonucunda kalkalkalen bir eğilim kazanmıştır. İz element çalışmaları, Hasandede andezitinin Pasifik çevresi andezitlerinden daha çok, granitlere benzer olan element içerikleri ile farklılıklar gösterdiğini ve bu farklılığında ayrılma sürecinde andezitleri veren magmaya üst kıtasal kabuktan malzeme karışmış olmasından ileri geldiğini belirtmektedir. Üst kıtasal kabuğun etkisi altında gelişen kirlenme sonucu Hasandede andezitleri, kalkalkalen karakterli bir volkanik seri gibi gözlenmektedir.

ABSTRACT : The Hasandede andesite of Middle Miocene age, lies in the central part of the Eastern Pontides, and has characteristics of a calccalcaneous volcanic series. By using criteria of petrography, geochemistry, and tectonic setting it displays similarities to «intracontinental andesites» observed within continental plates, it is not related to a subduction zone by its volcanologic development. Petrographical and geochemical investigations strongly indicate that the Hasandede andesite is a differentiation product of the Hasanşeyh floodbasalt magma of tholeiitic character with calccalcaneous tendencies and Hasanşeyh floodbasalt crops out to the north of the Hasandede andesite. The tholeiitic gabbro magma, which developed within deep crustal sill complex due to underplating, and formed the parent magma of the Hasanşeyh floodbasalt, was contaminated by the lower crust-mafic granulitic rocks in which it was emplaced and as a result it gained a calccalcaneous tendency. Trace element studies indicate that the Hasandede andesite has element contents similar to granites and different from Circum-Pacific andesites, and this difference is due to addition of upper crustal material during differentiation process to the magma which gave rise to andesites. By contamination from upper continental crust, the Hasandede andesites are observed as a volcanic series of calccalcaneous character.

GİRİŞ

Bu çalışmanın konusunu oluşturan Hasandede andeziti, Doğu Pontidlerin orta kesiminde, Reşadiye (Tokat) kuzeybatısında Tokat G 38-c₃, c₄, d₃, H 38-a₂, b₁, b₂ paftaları içerisinde yer almaktadır (Şekil 1).



Şekil 1 : İnceleme alanının yer bulduru haritası.

Figure 1 : Location map of the investigated area.

Çalışma alanı ve yakın çevresi için ilk jeolojik çalışmalar Tchihatcheff (1869) ve Blumenthal (1945, 1950) tarafından başlatılmıştır. Daha sonraları bölgede Erentöz (1950), Göksu (1960), Wedding (1963), Ağrallı (1967), Kalyoncuoğlu ve diğ., (1975), Seymen (1975), Baş (1979), Terlemez ve Yılmaz (1980), Terzioğlu (1983) çeşitli ölçekte jeolojik harita alımı, cepheler yatakları prospeksiyonu, stratigrafi ve petrokimya çalışmaları yapmışlardır.

Yörede ilk petrokimyasal çalışma Baş (1979) tarafından yapılmıştır. (Baş (1979), Reşadiye-Niksar volkanitlerinin bazik kısımlarında alkali veya şoşonitik,

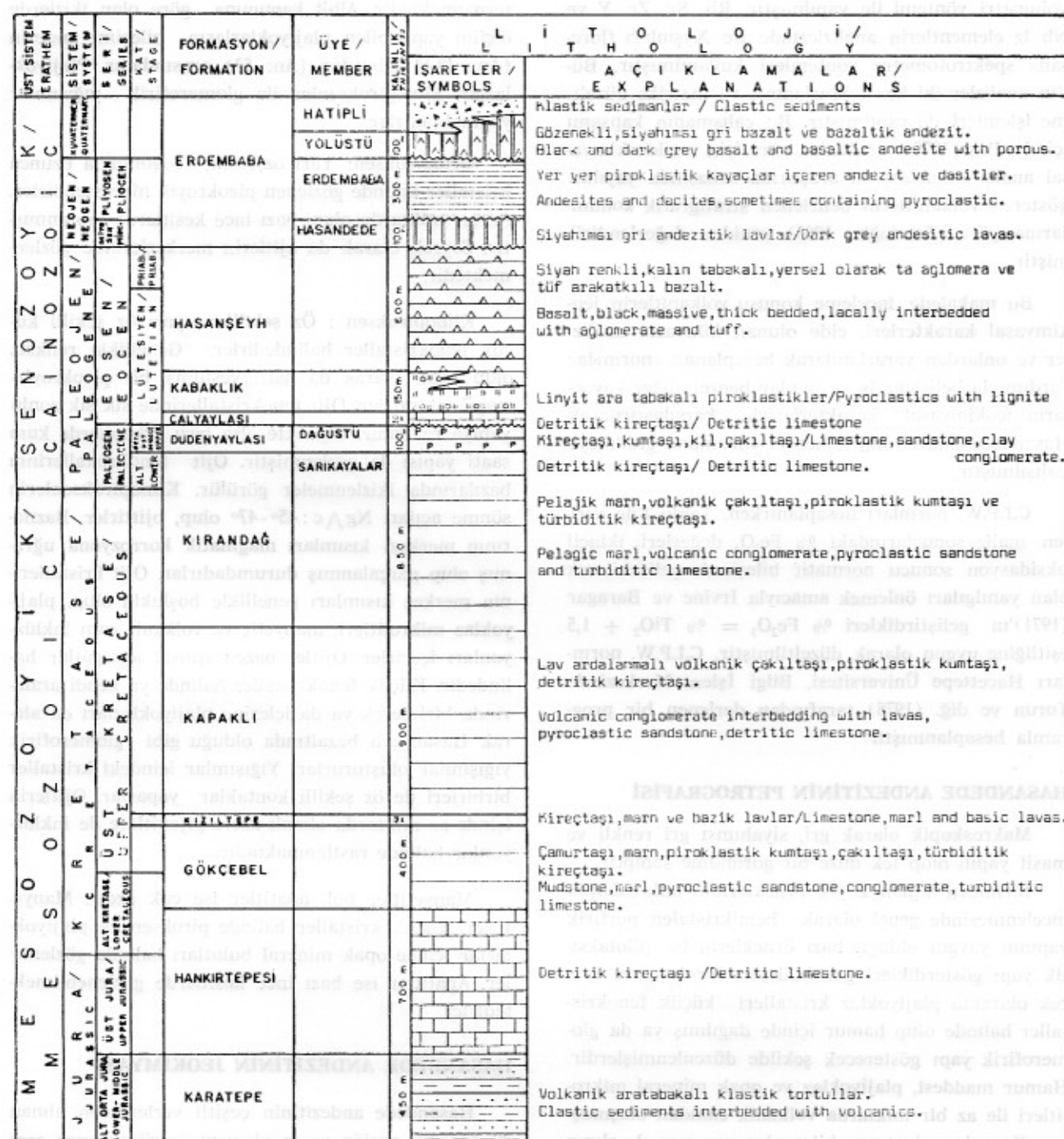
entermediyer kısımlarında kalkalkalen hatta kısmen toleyitik karekterde oldukları vurgulamaktadır. Araştırmacı, çalışmasında Reşadiye-Niksar volkanizmasının bazaltik bir ana magmanın kristal ayırmalasma yolu ile meydana geldiğini gösteren belirtilerini eksikliğini vurgulamaktadır. Üst manto malzemesinin ve belki de alt kabuk malzemesinin kısmi ergimesi ile meydana gelen magmanın, daha sonra magma ocaklarında ve/veya yüzeye çıkarken yan kayaçları assimile etmesini bu volkanitlerin kökeni hakkında bir görüş olabileceğini belirtmektedir.

Terzioğlu (1983), çalışma alanında geniş yayılım gösteren volkanik kayaçları (Şekil 2) stratigrafik açıdan Orta Miyosen yaşlı Hasandede andeziti ve Kuvaterner yaşlı Yolüstü volkanitleri olarak iki birim halinde ayrıtlamış ve bu volkanitlerin petrojenezine bir yaklaşımada bulunmuştur.

Hasandede andeziti, Neojen-Kuvaterner yaşı konağında bulunan Erdembaba Formasyonunun (Terzioğlu, 1983) bir üyesi olup (Şekil 3) tabanında yer alan ve Seymen (1975) tarafından adlanmalari ve tanımlanmalari yapılan Alt-Orta Jura yaşlı Karatepe, Üst Jura-Alt Kretase yaşlı Hankırıtepesi, Üst Kretase yaşlı Gökçebel, Kızıltepe, Kapaklı ve Kirandağ Formasyonları üzerinde uyumsuzdur. Paleosen yaşlı Düden yayası ile doğrudan bir ilişkisi yoktur. Birim ayrıca alta, Orta-Üst Lutesien yaşlı Kabaklı ve Üst Lutesien-Priabonyen (?) yaşlı Hasanşeyh platobazaltı ile de bir uyumsuzluk göstermektedir. Üstte ise, Erdembaba Formasyonuna ait Kuvaterner yaşlı Yolüstü volkanitleri tarafından uyumsuz olarak örtülüür. Yüzeydeki yerlerde yaklaşık 100 m. bir kalınlığa sahiptir. Reşadiye ve Niksar arasında yayılım gösteren ve büyük bir kısmı çalışma alanı içinde yer alan Hasandede andeziti, küçüklik büyüklik ve birbirinden bağımsız püskürme merkezleri şeklinde gözlenmektedir. Diğer birimlerle olan ilişkisine göre, birimin yaşı Orta Miyosen olarak belirlenmiştir.

Saha çalışmaları sırasında bu birimden petrografik ve jeokimyasal incelemeler için bozunmamış taze örnekler alınmıştır.

Petrografik incelemeler sonucu, jeokimyasal incelemeler için seçilen örnekler örtülüüp homogenleştirildikten sonra 105 ° de kurutularak analize hazırlanmıştır. Jeokimyasal çalışmalar için alınan örnek yerleri Şekil 2'de görülmektedir. Örneklerin kimyasal analizleri, Dokuz Eylül Üniversitesi Jeoloji Mühendisliği Bölümü, Merkez Kimya Laboratuvarında yapılmış clup, SiO_2 , TiO_2 ve P_2O_5 analizlerinde kolorimetrik spektrofotometre, Al_2O_3 , MgO , CaO , $\text{Fe}_2\text{O}_3\text{T}$, Na_2O ,



Sekil 3 : İnceleme alanının genelleştirilmiş dikme kesiti (Seymen, 1975; Terzioğlu, 1983'ten basitleştirilerek hazırlanmıştır).

Figure 3 : Generalized columnar section of the investigated area (Simplified after Seymen, 1975; Terzioğlu, 1983).

K_2O ve MnO analizlerinde atomik absorpsiyon spektrofotometre yöntemi kullanılmıştır. FeO analizleri volumetri yöntemi ile yapılmıştır. Rb, Sr, Zr, Y ve Nb iz elementlerin analizlerinde ise X-ışınları floresans spektrofotometre yöntemleri kullanılmıştır. Büttün analizler iki kez tekrarlanmış ve matriks düzeltme işlemleri de yapılmıştır. Bu çalışmanın kapsamı içinde, Baş (1979) tarafından yöre için verilen kimyasal analiz sonuçları da araştırma sahasında yayılım gösteren volkanitlerin belirlenen stratigrafik konumlarına göre (Terzioğlu, 1983) yeniden değerlendirilmiştir.

Bu makalede, inceleme konusu volkanitlerin jeokimyasal karakterleri, elde olunan kimyasal analizler ve onlardan yararlanılarak hesaplanan «norm»lar yardımıyla belirlenmiş ve bunlar benzer diğer kayaçların jeokimyasal karakterleriyle karşılaştırılarak Hasandede andezitinin kökensel yorumuna gidilmeye çalışılmıştır.

C.I.P.W. normları hesaplanırken, Tablo 1'de verilen analiz sonuçlarındaki % Fe_2O_3 değerleri, ikincil oksidasyon sonucu normatif bileşimde gelişebilecek olan yanılıqları önlemek amacıyla Irvine ve Baragar (1971)'ın geliştirdikleri % $Fe_2O_3 = \% TiO_2 + 1,5$ eşitliğine uygun olarak düzeltilmiştir. C.I.P.W. normları Hacettepe Üniversitesi, Bilgi İşlem Merkezinde Torun ve diğ. (1978) tarafından derlenen bir programla hesaplanmıştır.

HASANDEDE ANDEZİTİNİN PETROGRAFİSİ

Makroskopik olarak gri, siyahımsı gri renkli ve masif yapılı olup tek düz bir görünüme sahiptir.

Birimden alınan kayaç örneklerinin mikroskopik incelenmesinde genel olarak hemikristalen porfirik yapının yaygın olduğu bazı örneklerin ise pilotaksiyal yapı gösterdikleri görülmüştür. Piroksen ve seyrek olarak plajiyoklaz kristalleri küçük fenokristaller halinde olup hamur içinde dağılmış ya da glomerofirik yapı gösterecek şekilde düzenlenmişlerdir. Hamur maddesi, plajiyoklaz ve opak mineral mikrolitleri ile az bir miktarda volkanik camdan oluşmuştur. Kayaçları oluşturan bileşenler ayrı ayrı ele alınıp incelendiğinde şu özellikler gözlenmiştir;

Plajiyoklaz: Genellikle mikrolitler halinde olup, nadiren de öz şekilli veya yarı öz şekilli küçük fenokristal halindedirler. Plajiyoklazlar genellikle dalgınlı sönme göstermektedirler. Küçük fenokristaller magmanın korozif etkilerini taşırlar. Plajiyoklazlar, Albit, Karlsbad-Albit karmaşık ikizlerine sahiptirler. Bazan normal zonlu yapı gösterirler. Bunların merkez ki-

sımları serisitleşmiş ve opak mineral bulutları ile örtülümiş iken kenar kısımları hiçbir bozunma göstermemektedir. Albit kanununa göre olan ikizlerde ölçüm yapılabilen plajiyoklazların bileşimi andezin (An: 40-45)-labrador (An: 53) arasındadır. Plajiyoklazlar, klinopiroksenler ile glomerofirik yığışımalar yapmaktadır.

Ortopiroksen: Yarı özkekilli, çoğunlukla uzunca kristaller halinde gözlenen pleokroyik hiperstendirler. Az bir miktarda olup, bazı ince kesitlerde saptanmıştır. Seyrek olarak da ojitlerin merkezlerinde gözlenmektedir.

Klinopiroksen : Öz şekilli ve yarı öz şekilli küçük fenokristaller halinedirler. Genellikle rensiz olup nadir olarak da hafif yeşilimsi bir pleokroyizmaya sahiptirler. Ojit fenokristallerinde sık sık zonlu yapıya rastlanır. Seyrekte olsa bazı kristallerde kum saatı yapısı da gözlenmiştir. Ojit fenokristallerinin bazlarında ikizlenmeler görülür. Klinopiroksenlerin sönme açıları $Ng \wedge c : 45^\circ - 47^\circ$ olup, ojittirler. Bazlarının merkezi kısımları magmatik korrozyona uğramış olup parçalanmış durumdadırlar. Ojit kristallerinin merkez kısımları genellikle boşluklu olup, plajiyoklaz mikrolitleri, manyetit ve volkanit cam inklüzyonları içerirler. Ojitter bazen işinsal agregatlar halindedir. Küçük fenokristaller halinde ya kendi aralarında bireleşerek ya da içlerine plajiyoklazları da alarak Hasانeyh bazaltında olduğu gibi glomerofirik yığışımalar oluştururlar. Yığışımalar içindeki kristaller birbirleri ile öz şekilli kontaklar yaparlar. Ojitterin içinde az miktarda olmak üzere plijonitlere de inklüzyonlar halinde rastlanmaktadır.

Manyetitler bol, apatitler ise çok azdır. Manyetitler, küçük kristaller halinde piroksen ve plajiyoklazlar içinde opak mineral bulutları halinde gözlenirler. Apatitler ise bazı ince kesitlerde gözlenebilmektedirler.

HASANDEDE ANDEZİTİNİN JEOKİMYASI

Hasandede andezitinin çeşitli yerlerinden alınan 20 örneğin majör ve iz element içerikleri ayrı ayrı incelenerek, diyagramlar ve yorumlamalar majör ve iz element dağılımları şeklinde sunulmuştur. Örnek yerleri Şekil 2'de görülmektedir.

Majör Element Dağılımı

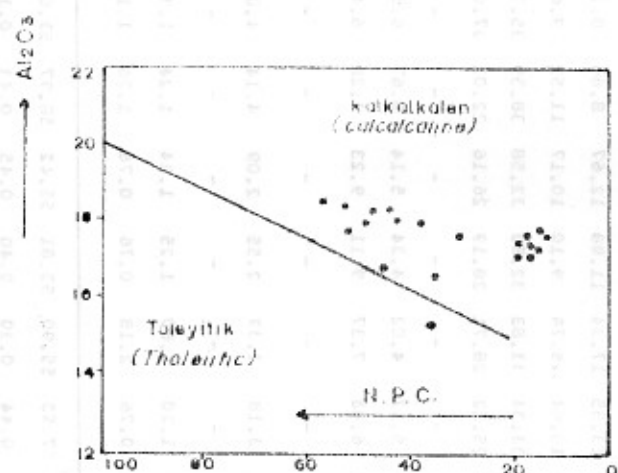
Hasandede andezitine ait örneklerin majör element kimyasal analiz sonuçları ve C.I.P.W. normları Tablo I'de verilmiştir. Örnekler % 58.03 - 63.15 ara-

Table I : Hasandede andezitinin major element kimyasal analiz sonuçları ve hesaplanmış bazı norm değerleri.
 Table I : Chemical analysis of the major elements of Hasandede andesite and some calculated norm values.

KAYAÇ GRUBU (Rock Group) : HASANDEDE ANDEZİTİ (HASANDEDE ANDESİTS)																			HASANDEDE ANDEZİTİ	
ÖRNEK NO (SAMPLE NO) :	1	1A	3	5	7	8A	9	10	11	14	15	16	17	24	26	33	36	36A	37	91
MAJOR ELEMENTLER (MAJOR ELEMENTS)																				
SiO ₂	59.34	58.86	60.45	58.03	61.50	63.15	59.79	59.93	60.73	62.02	59.51	60.07	58.51	56.95	58.58	60.06	62.03	58.81	59.22	62.18
Al ₂ O ₃	18.39	18.50	17.34	17.09	13.95	18.33	17.52	17.18	17.60	17.86	18.25	17.58	17.50	18.33	18.11	18.45	17.91	16.07	18.50	16.21
Fe ₂ O ₃	1.39	1.95	2.16	2.50	2.29	2.02	1.53	1.80	2.14	1.64	1.75	1.42	2.14	2.19	2.20	2.08	2.02	1.95	2.19	2.15
FeO	3.12	2.88	2.71	3.12	2.87	1.84	3.13	2.91	2.55	2.44	3.00	3.31	2.91	3.17	3.07	2.48	2.07	4.38	2.55	2.10
MnO	0.09	0.08	0.08	0.10	0.09	0.07	0.08	0.08	0.08	0.07	0.08	0.09	0.09	0.10	0.10	0.07	0.04	0.15	0.08	0.07
MgO	3.09	3.67	3.02	3.23	3.52	1.93	2.99	2.93	2.94	2.79	3.21	3.05	2.90	3.07	2.68	3.53	2.71	2.73	3.24	2.62
CaO	6.90	8.13	6.97	7.25	8.21	6.09	7.08	6.89	6.83	7.07	7.14	6.89	7.30	7.57	6.64	7.61	6.75	7.03	7.46	6.84
Na ₂ O	4.12	3.59	3.96	4.20	3.53	3.61	3.80	3.44	3.92	3.74	3.85	3.81	4.51	4.16	4.34	2.96	3.11	3.18	3.85	4.21
K ₂ O	1.60	0.87	1.39	1.92	1.53	1.58	1.78	2.04	1.74	1.14	1.53	1.70	1.93	1.61	1.97	0.98	1.17	2.25	1.17	1.58
TiO ₂	0.67	0.56	0.66	1.00	0.79	0.52	0.61	0.65	0.63	0.57	0.65	0.60	0.64	0.69	0.70	0.58	0.52	0.45	0.69	0.65
P ₂ O ₅	0.38	0.22	0.38	0.61	0.82	0.19	0.33	0.30	0.32	0.21	0.32	0.32	0.52	0.46	0.47	0.19	0.17	0.26	0.25	0.27
H ₂ O	1.32	0.30	0.66	1.23	0.64	0.64	1.40	1.84	0.50	0.66	0.43	1.04	1.04	1.55	0.98	0.42	0.67	2.08	0.62	0.94
TOPLAM	99.71	99.71	99.78	100.15	99.24	99.97	100.05	99.99	99.98	100.21	99.72	99.88	99.99	99.85	99.84	98.90	99.17	99.34	99.82	99.82
C.I.P.W. NORMLARI (C.I.P.W.NORMS)																				
q	9.75	14.41	15.21	9.44	16.81	20.27	12.57	12.65	13.55	17.34	11.83	12.67	8.86	8.11	9.65	17.76	21.20	12.83	12.95	-
or	9.63	5.14	8.27	10.93	9.11	9.34	10.64	10.64	10.64	6.74	9.10	10.17	11.52	9.69	11.76	5.83	6.97	13.33	6.98	9.34
ab	35.46	30.16	34.02	36.05	30.10	30.56	32.49	32.49	33.34	31.83	32.83	32.58	38.59	35.79	37.15	25.19	26.54	26.98	32.83	35.62
an	26.83	31.89	25.57	22.76	17.84	28.98	25.80	25.75	25.22	28.71	28.19	26.16	22.01	37.03	24.41	34.36	31.72	22.99	23.99	20.67
ne	-	-	-	-	-	-	-	-	-	-	-	-	-	-	-	-	-	-	-	
di	4.39	6.32	5.26	7.62	16.81	-	5.25	5.25	5.17	4.02	4.34	5.14	8.67	6.39	4.50	1.89	0.74	0.46	4.45	10.33
hy	9.00	8.61	5.16	5.26	3.09	5.79	8.60	8.59	6.83	7.37	9.11	9.23	3.28	6.45	6.01	9.97	7.81	8.62	7.40	1.74
ol	-	-	-	-	-	-	-	-	-	-	-	-	-	-	-	-	-	-	-	
mt	2.73	2.84	2.74	4.47	3.35	2.93	2.28	2.25	3.18	2.39	2.55	2.09	4.14	4.00	4.03	0.03	2.95	2.84	3.49	2.63
hm	-	-	-	-	-	-	-	-	-	-	-	-	-	-	-	-	-	-	-	
il	1.29	1.25	1.24	1.44	1.51	0.99	1.24	1.24	1.20	1.80	1.25	1.24	1.24	1.33	1.35	1.11	0.99	0.86	1.33	1.23
ap	0.92	0.52	0.90	1.47	0.74	0.45	0.78	0.78	0.76	2.18	0.76	0.76	1.26	1.11	1.24	0.45	0.41	0.62	0.78	0.88
D.T.	54.84	50.01	57.50	56.42	56.01	60.17	55.70	55.73	57.53	55.90	53.81	55.42	56.37	53.56	58.56	48.78	54.72	53.14	52.80	60.91
K ₂ O/Na ₂ O	0.39	0.24	0.35	0.43	0.43	0.44	0.47	0.59	0.44	0.30	0.40	0.45	0.43	0.39	0.45	0.33	0.38	0.71	0.30	0.38
Fe/(Fe+Mg)	0.62	0.57	0.62	0.64	0.59	0.67	0.61	0.62	0.61	0.59	0.60	0.65	0.64	0.66	0.56	0.60	0.70	0.59	0.62	

sında değişen ölçüde SiO_2 , içerirler. Al_2O_3 miktarları % 13.95 - 18.50 arasındadır. Fe_2O_3 miktarı % 1.42 - 2.85 ve hesaplanan FeO miktarları ise 1.40 - 4.38 arasında değişimler göstermektedir. MgO % 1.93 - 3.67 ve CaO % 6.09 - 8.21 arasında değişik değerler gösterirler. Na_2O % 3.11 - 4.51 ve K_2O % 0.87 - 2.25 arasında değişir. TiO_2 % 0.45 - 1.00 ve P_2O_5 % 0.17 - 0.61 arasında değerler verir. MnO değerleri ise % 0.04-0.15 arasındadır.

$\text{Na}_2\text{O} + \text{K}_2\text{O}/\text{SiO}_2$ diyagramında (Şekil 4) Hassandede andezitine ait örneklerin subalkaleni karakterli lavlar oldukları görülmektedir. Lavların «Ol'-Ne'-Q» diyagramında da (Şekil 5) subalkaleni nitelikte oldukları yinelenmektedir.

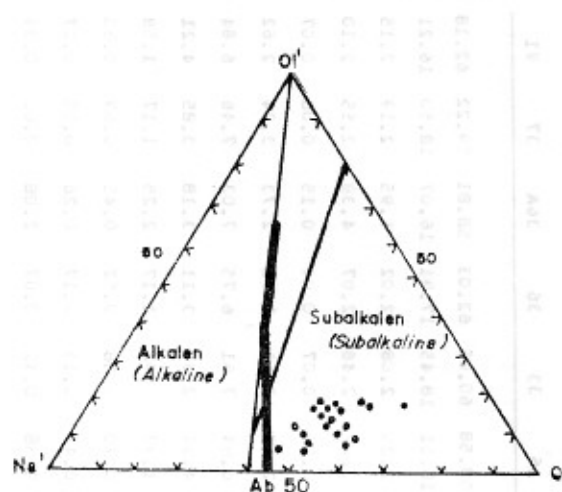


Şekil 4 : Alkali ($\text{Na}_2\text{O} + \text{K}_2\text{O}$) - SiO_2 diyagramı.
A₁ çizgisi : Irvine ve Baragar'a (1971) göre sınır.

- A₂ çizgisi : MacDonald ve Katsura'ya (1964) göre sınır.
- A₃ çizgisi : Hyndman'a (1972) göre sınır.
- A₄ çizgisi : Kuno'ya (1968) göre sınır.
- B çizgisi : Kuno'ya (1968) göre sınır.

Figure 4 : Alkali - Silica Diagram.

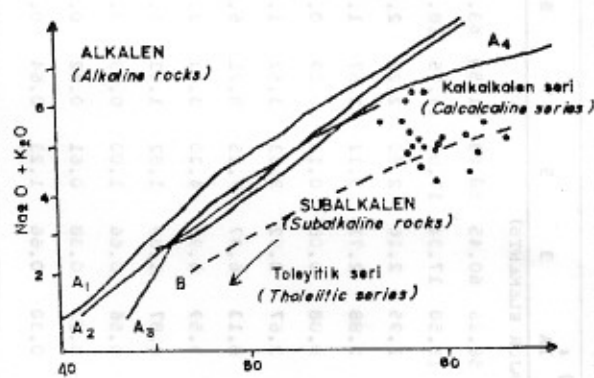
- A₁ line : Dividing line after Irvine and Baragar (1971).
- A₂ line : Dividing line after MacDonald and Katsura (1964).
- A₃ line : Dividing line after Hyndman (1972).
- A₄ line : Dividing line after Kuno (1968).
- B line : Dividing line after Kuno (1968).



Şekil 5 : Ol'-Ne'-Q üçgen diyagramı.
Kalin çizgi : Irvine ve Baragar'a (1971) göre alkalen kayaçlarla subalkaleni kayaçların sınırı.

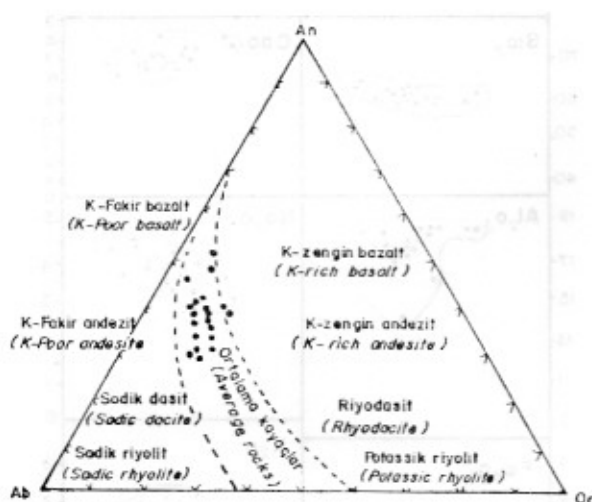
Figure 5 : Ol'-Ne'-Q Triangle diagram.
Heavy solid line : Dividing line for alkaline and subalkaline rocks (Irvine and Baragar, 1971).

Subalkaleni oldukları belirlenen lavların Al_2O_3 - NPC diyagramında (Şekil 6) kalkalkalen karakterde oldukları kanıtlanmıştır. Ayrıca örneklerin Irvine ve Baragar (1971)'in «An-Ab'-Or» üçgen diyagramında (Şekil 7) «Ortalama Kayaç» alanında yer aldığı görülmektedir.



Şekil 6 : Irvine ve Baragar'a (1971) göre kalkalkalen ve toleyitik kayaçların ayırt edilmeleri.

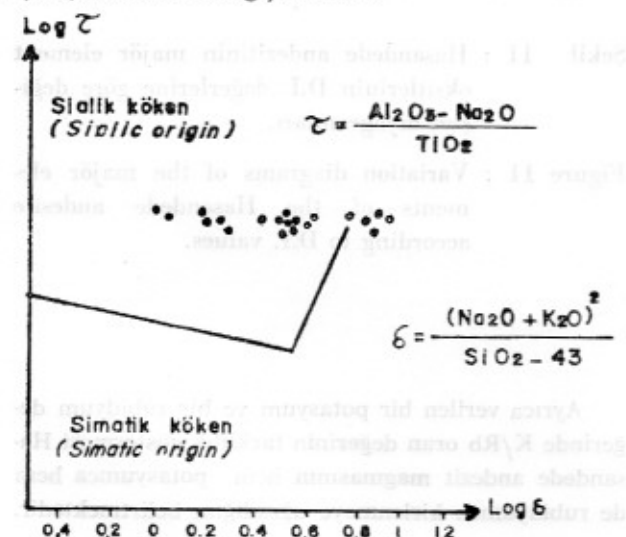
Figure 6 : Dividing of calc-alkaline and tholeiitic rocks after Irvine and Baragar (1971).



Şekil 7 : An-Ab'-Or üçgen diyagramı.
Figure 7 : An-Ab'-Or triangle diagram.

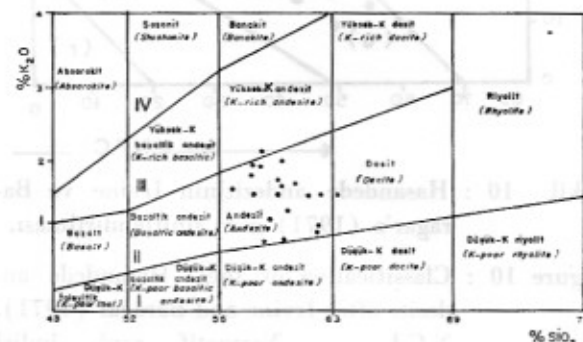
Yerel magmanın kökenini araştırmak için Gottoni (1968)'in geliştirdiği $\tau = \text{Al}_2\text{O}_3/\text{Na}_2\text{O}/\text{TiO}_2$ değeri ortalama 26 olup bu özellik, Hasandede andezitinin sialik kökenli olduğunu belirtir. $\log \tau$ ve $\log \delta$ diyagramı da (Şekil 8) bu özelliği yinelemektedir.

Örneklerin, Peccerillo ve Taylor (1976)'nın $\text{K}_2\text{O}-\text{SiO}_2$ (Şekil 9); Irvine ve Baragar (1971)'ın N.P.C. (Normalif plajiyoklaz bileşimi) - N.C.I. (normalif renk göstergesi) içeriklerine (Şekil 10) göre yapılan sınıflamalarında andezitik bileşimde lavlar oldukları saptanmıştır. Örneklerin $\text{K}_2\text{O}/\text{Na}_2\text{O}$ oranları, 0,24-0,59 arasında değişmektedir.



Şekil 8 : Volkanitlerde log τ'nun log δ'ya göre değişimi.
Figure 8 : Variation of $\log \tau$ with $\log \delta$ in the volcanics.

Hasandede andezitinden alınan örneklerde oksitlerin diferansiyasyon indeksine göre değişimleri incelediğinde (Şekil 11) diferansiyasyon indeksi arttıkça SiO_2 , Na_2O , K_2O ve P_2O_5 yüzdeslerinin arttıkları buna karşın FeO , MgO , CaO da bir azalma olduğu gözlenmektedir. Al_2O_3 , Fe_2O_3 ve TiO_2 yüzdeslerinde ise belli bir yönelik gözlenmemektedir. Hasandede andezitine ait örneklerin diferansiyasyon indeksi 50,01 - 60,91 arasında değişimler göstermekte olup, Thornton ve Tuttle (1960)'ın andezitik lavlar için öngördüğü diferansiyasyon indeksine (50-65) de bir uyum sağlamaktadır.



Şekil 9 : Peccerillo ve Taylor'ın (1976) $\text{K}_2\text{O}-\text{SiO}_2$ diyagramında Hasandede andezitinin sınıflandırılması.

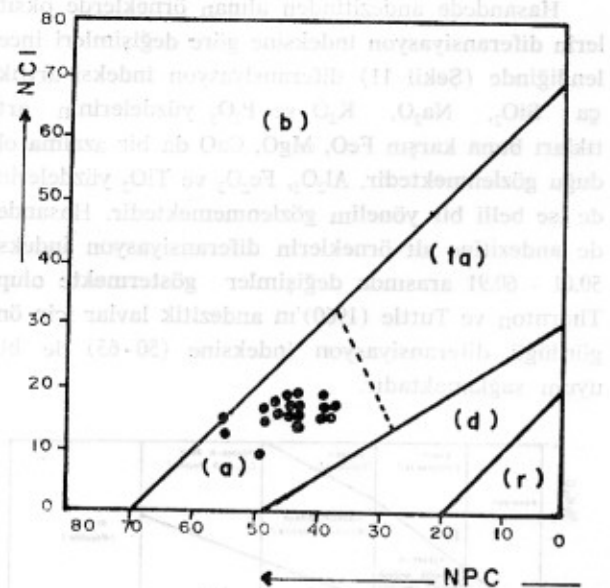
- I — Toletitik seri
- II — Kalkalkalen seri
- III — Yüksek-K kalkalkalen seri
- IV — Şoşonotik seri

Figure 9 : Classification of the Haandede andesite in $\text{K}_2\text{O}-\text{SiO}_2$ diagram of Pecerillo and Taylor (1976).

- I — Tholeiitic series
- II — Calc-alkaline series
- III — K-rich calc-alkaline series
- IV — Shoshonitic series

İz Element Dağılımı

Hasandede andezitine ait örneklerin iz element içerikleri Tablo II'de verilmiştir. Ayrıca ortalama iz element içerikleri, değişik araştırmacılar tarafından verilen diğer benzer volkanik kayaçların ortalama iz element içerikleri ile ortalama kabuk, üst kabuk, granit, alt kabuk ve alt kıtasal kabuğun mineralojik bileşimi olarak kabul edilen granulit ortalama iz element kapsamları ile karşılaştırılmıştır (Tablo III). Buna göre;



Şekil 10 : Hasandede andezitinin Irvine ve Baragar'a (1971) göre sınıflandırılması.

Figure 10 : Classification of the Hasandede andesite after Irvine and Baragar (1971).

N.C.I. — Normatif renk indisi
(=N.C.I. — Normative color index).

N.P.C. — Normatif plajiyoklaz bileşimi
(=N.P.C. — Normative plagioclase composition).

b = bazalt / basalt

a = andezit / andesite

ta = toleyitik andezit / tholeiitic andesite

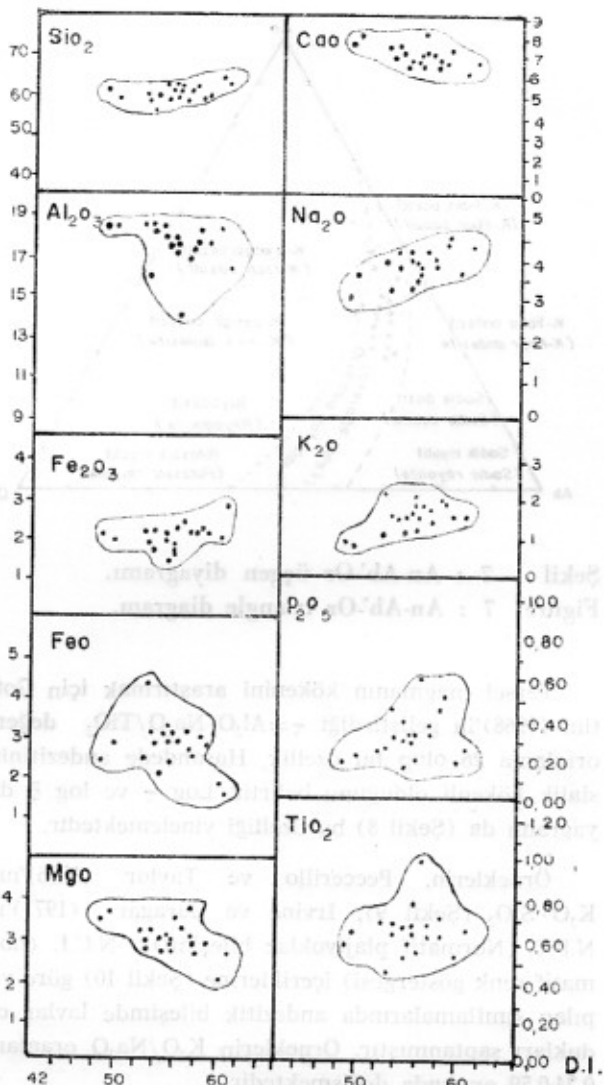
d = dasit / dacite

r = riyolit / rhyolite

İnceleme şablonu — 1
Birim şablonu — 1

Rubidyum, Hasandede andezitinde ortalama 35 ppm ile adayayı andezitine (31 ppm) bir uyum göstermektedir. Rubidyum ile D.I. arasında belirli bir ilişki görülmemektedir (Şekil 12 A). Buna karşın rubidyum ile potasyum arasında (Şekil 12 B) istatistiksel olarak düzenli ve artan bir ilişki vardır.

K/Rb oran değeri, 387 ortalama ile adayayı andezitine (430) bir benzerlik göstermektedir. K/Rb oran değeri ile diferansiyasyon indeksi (Şekil 12 C), rubidyum (Şekil 12 D) ve de potasyum (Şekil 12 E) arasında belirli bir ilişki görülmemekte, oldukça geniş bir dağılım dikkati çekmektedir. K/Rb oran değeri ile diferansiyasyon indeksi ve rubidyum arasındaki bu durum bir kirlenmeye işaret eder - özellikle Jakes ve White, 1971).



Şekil 11 : Hasandede andezitinin majör elementlerinin D.I. değerlerine göre değişim diyagramları.

Figure 11 : Variation diagrams of the major elements of the Hasandede andesite according to D.I. values.

Ayrıca verilen bir potasyum ve bir rubidyum değerinde K/Rb oranının farklılık göstermesi Hasandede andezit magmasının hem potasyumca hem de rubidyumca kirlenmeye uğradığını belirtmektedir.

Stronsiyum, Hasandede andezitinde ortalama 651 ppm ile (Tablo III) adayayı andeziti (385 ppm), kıtasal kabuk (375 ppm) ve granit (285 ppm) ortalamalarına göre çok yüksektir.

Tablo III : Hasandede andezitinin iz element kapsamı yönünden diğer benzer kayaçlarla karşılaştırılmaları.

Table III : Comparison list of the trace elements of Hasandede andesite with the other similar volcanics of the different areas.

ÖRNEK NO (SAMPLE NO)	1	2	3	4	5	6	7	8	9	10	11	12
Rb	35	31	88	18.8 (8-31)	20	44	108	110	145	85	50	110
Sr	651	385	620	780 (195-1050)	425	460	125	440	285	375	400	350
Zr	153	110	170	34.5 (13-103)	30	100	160	140	180	145	100	240
Y	14	21	20	11.0 (4-27)	20	20	25	35	40	33	22	27
Nb	20	4.3	11	5.3 (2-13)	4	6	—	20	20	20	11	25
K/Rb	387	430	297	486 (237-747)	249	386	250	230	250	240	249	33
Rb/Sr	0.05	0.08	0.14	0.02(0.01-0.07)	0.05	0.10	0.86	0.25	0.51	0.23	0.13	0.31

1- "17" Hasandede andezit ortalaması

1- Average of 17 Hasandede andesite

2- Andezit ortalaması (Taylor, 1969)

2- Average of andesite (Taylor, 1969)

3- Yüksek K-andezit ortalaması (Taylor, 1969)

3- Average of High-K andesite (Taylor, 1969)

4- Lesotho granulit ksenoliti ortalaması ve bileşimsel aralığı (Roger, 1977) 4- Average and ranges (inbrackets) for Lesotho granulite xenoliths (Roger, 1977)

5- Alt kıtasal kabuk ortalaması (Taylor ve Mc Lennan, 1979)

5- Average of the lower continental crust (Taylor and Mc Lennan)

6- Dacit ortalaması (Taylor, 1969)

6- Average of dacites (Taylor, 1969)

7- Rhyolit ortalaması (Taylor, 1969)

7- Average of rhyolite (Taylor, 1969)

8- Granodiorit ortalaması (Taylor ve White, 1966)

8- Average of granodiorite (Taylor and White, 1966)

9- Granit ortalaması (Taylor ve White, 1966)

9- Average of granite (Taylor and White, 1966)

10- Ortalama kabuk bileşimi (Taylor ve White, 1966)

10- Average composition of continental crust (Taylor and White, 1966)

11- Kıtasal kabuğun kaba bileşimi (Taylor ve Mc Lennan, 1979)

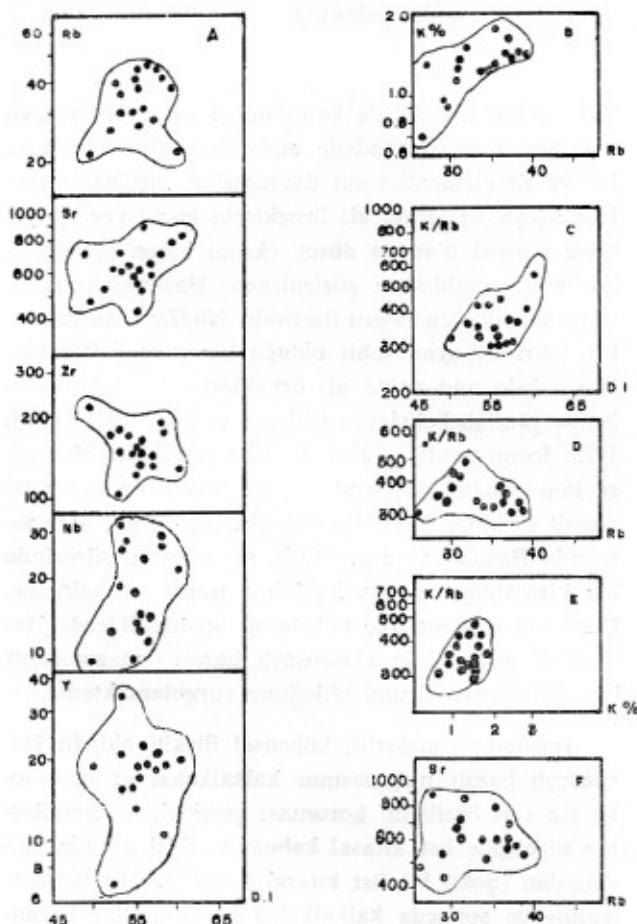
11- Average composition of the bulk continental crust (Taylor and Mc Lennan, 1979)

12- Üst kıtasal kabuk ortalaması (Taylor ve Mc Lennan, 1979)

12- Average composition of the upper continental crust (Taylor and Mc Lennan, 1979)

Batum (1978), Keller ve diğ., (1977) tarafından incelenen Göllüdağ (Nevşehir) ve Konya andezit serileri de aynı şekilde yüksek Sr değerleri (782-743 ppm) içermektedir. Hasandede andezitinin stronsiyum içeriği Sieger ve diğ., (1969)'ce verilen Kuzey Şili andezit değerine (800 ppm) yaklaşık olduğu gibi aynı zamanda mafik granulit ksenolitleri (780 ppm) değerine de (Tablo III; analiz 4) benzerlik göstermektedir.

Stronsiyum, diferansiyasyon indeksi (Şekil 12 A) ile düzenli ve artan bir ilişki; rubidyum ile (Şekil 12 F) geniş bir dağılım sunmaktadır. Stronsiyum ile rubidyum arasında gözlenen geniş dağılım durumu da bir kirlenmeye işaret eder özelliktedir. Ayrica stronsiyum ile CaO arasında da geniş bir dağılım mevcuttur. Örneklerin, Rb/Sr oran değeri ortalama 0.05 olup, alt kabuk değeri (0.05) ile uyum halindedir. Bu uyumluluk Hasandede andezitinin alt kabuk (0.05) ile ilişkili olduğunu belirtmektedir.



Şekil 12 : Hasandede andezitinin iz elementlerinin değişim diyagramları.

Figure 12 : Variation diagrams of trace elements of Hasandede andesite.

Zirkon içeriği, ortalama 153 ppm ile adayayı andeziti ortalama değerinin (110 ppm) üzerinde olup, ortalama kabuk değeri (145 ppm) ile riyolit ortalama (160 ppm) değerine uyum sağlamaktır ve Hasandede andezit magması üzerinde kitasal kabuk ile granitin etkisini göstermektedir. Zirkon ile diferansiyasyon indeksi arasında (Şekil 12 A), hatta Zr ile Ti arasında dağınık bir dağılım gözlenmektedir.

Niyobium içeriği, ortalama 20 ppm ile adayı andezit ortalamasının (4.3 ppm) üzerinde olup, Hasandede andeziti üzerinde kabuk (20 ppm), granit (20 ppm) ve granodioritin (20 ppm) etkisini vurgulamaktadır. Niyobium diferansiyasyon indeksi ile dağınık bir dağılım sunmaktadır.

Yitriyum içeriği, ortalama 14 ppm ile adayı andezit ortalaması (21 ppm) ve kabuk, kabuk türevi kayaçların ortalamalarının (Tablo III; analiz 8, 9, 10, 11, 12) altında kalmakta ve granulit ksenolitleri ortalama (11 ppm) değerine uyum sağlamaktadır. Bilindiği gibi yüksek katyon değerli bu element, magmatik eriyiklerde kristalleşmenin ilerlemesi ile bir zenginleşme göstermektedir. Ringwood (1967)'a göre, bu element aynı zamanda magmatik kristalleşmenin erken evrelerinde Ca'yumun yerini alabilmektedir.

HASANDEDE ANDEZİTİNİN PETROJENEZİ

Petrografik ve jeokimyasal incelemeler sonucu, kalkalkalen volkanik seride ait olduğu belirtilen Orta Miyosen yaşı Hasandede andezitinin tektonik yerleşimi bir yitme zonunun varlığı ile ilişkili gözükmemektedir. Zira Üst Paleosenden sonra, kita (Anatolid) - adayı (Pontid) çakışması sonrası adayı özelliğini kaybederek kitasal bir kabuğa dönüßen Doğu Pontidlerde Orta Miyosende artık bir yitme zonunun varlığı kabul edilemez. Bu açıdan Hasandede andeziti, kitasal plaka içerisinde gözlenen andezit kayaçlar gibi dikkate alınabilir. Kitasal plaka içerisinde gözlenen subalkalen karakterli andezitler, ya sıkışma rejimi altında kalınlaşan kitasal kabuğun alt kısımlarının kısmi ergimeye uğraması sonucu Tibet-tipi kalkalkalen karakterli andezitler; yada yakın çevresinde bulunan toleyitik karakterli platobazaltlarının kristal ayrılma ürünü olarak ve/veya bu ayrılma ürünü kitasal kabuk etkisi altında kalarak kirlenmesi sonucu «kalkalkalen benzeri» orta kayaçlar şeklinde gelişmektedir.

Hasandede andezitine ait örneklerde, Hasanşeyh bazaltında gözlediği gibi özellikle küçük plajiyoklaz ve ojit fenokristallerinin oluşturduğu glomerofirik yoğunluksız dokular ile magmatik korozyon sonucu merkez

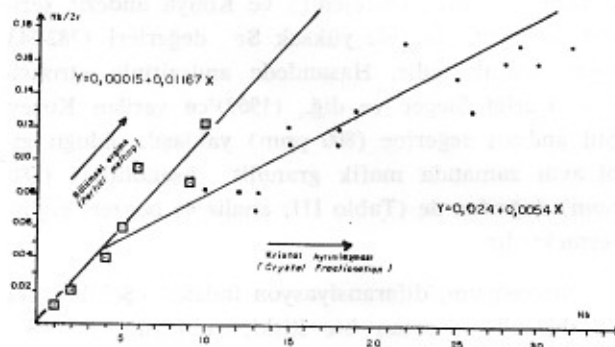
kısımları parçalanmış bazı ojit fenokristallerinin gözlenmesi Hasandede andezitinin, yakın kuzeyinde yayılmış gösteren Hasanşeyh platobazaltı (Terzioğlu, 1985) ile mineralojik ve petrografik açıdan kökensel ilişkili olduğunu ve Hasanşeyh bazalt magmasının magmatik bir devamını oluşturduğunu belirtmektedir.

Hasandede andezitinin kuzeyinde yer alan Üst Lütisen - Priabonyen (?) yaşı Hasanşeyh platobazaltı, üst mantonun kısmi ergimesi sonucu oluşan ana pikritik magmanın, tektonik sıkışma rejimi altında, alt kabuk-manto sınırına derin kabuksal sil kompleksi halinde yerleşmesi ve alt kabuk tabakanması (Underplating) mekanizmasına uyumlu olarak alta ultramafik kümülatlar, üstte ise toleyitik gabro magması olarak iki kısım halinde ayrılmaası sonucu oluşmuştur (Terzioğlu, 1985). Üstte oluşan toleyitik karakterli gabroyik magma içine yerleştiği granulit bileşiminde olan alt kıtasal kabuk tarafından kirlenmiş ve bazı iz elementlerce, alt kabuk-mafik granulit bileşimine ve hatta bunlarla benzer bileşimde olabilen kalkalkalen bazalt bileşimine uyumlu hale gelmiştir (Terzioğlu, 1985). Alt kıtasal kabuktan kirlenme sonucu, Hasanşeyh bazalt magması, kalkalkalen eğilim kazanarak kalkalkalen eğilimli toleyitik seri ve/veya kalkalkalen benzeri volkanik seri özelliği kazanmıştır.

Hasandede andeziti jeokimyasal özellikleri ile genelde kıtasal kabuğa bir uyum göstermektedir. Benzer değerlerde olan Sr, Y iz element içerikleri ve düşük Rb/Sr ve yüksek K/Rb olan değerleri ile alt kıtasal kabuk ve onun mineralojik bileşimi olarak kabul edilen granulitlere bir uyum gösterirken, diğer iz elementlerce (Nb ve Zr) üst kıtasal kabuk kimyasına bir benzerlik sunmaktadır. Bu jeokimyasal veriler, Hasandede andezit magmasının bir yandan alt kıtasal kabuk ile ilişkili olduğunu belirttiği gibi, diğer yandan alt kabuk tabakalanması sonucu oluşan ve alt kıtasal kabuktan kaynaklanmış gibi bir görünüm sunan Hasanşeyh bazalt magması (gabro) ile de kökensel bir ilişkide olduğunu vurgulamaktadır.

Petrolojik veriler, Hasandede andezitinin genelde nötr bileşimde ve susuz koşullarda bulunan granulit bileşiminde olan alt kıtasal kabuğun kısmi ergimesi sonucu oluşmayıp, Hasanşeyh bazalt magmasının bir ayrılma ürünü olduğunu belirtmektedir. Bu durum uyumsuz elementler (Green ve Ringwood, 1967; Treuil, 1973) olarak kabul edilen Nb ve Zr iz element-

$\frac{\text{Ch}^+}{\text{Ch}^-} = F(\text{Ch}^+)$ eşitliğindeki davranışının

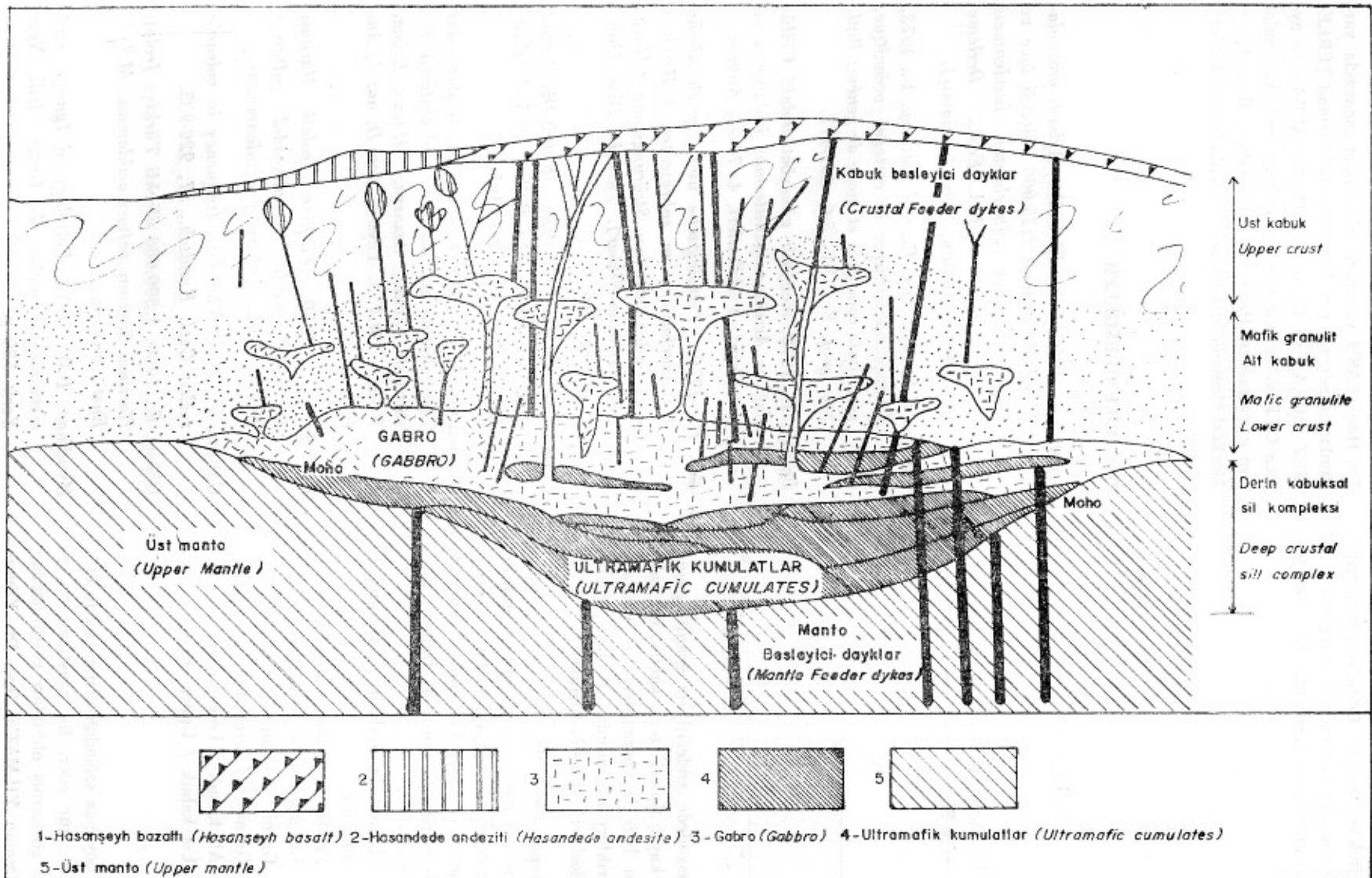


Şekil 13 : Hasandede andezitinde Nb/Zr oranının Nb'ye göre değişimi (■ : Hasanşeyh bazaltı; ● : Hasandede andeziti).

Figure 13 : Variation diagram of Nb/Zr of Hasandede basalt according to Nb value. (■ : Hasanşeyh basalt; ● : Hasandede andesite).

ları (Şekil 13) ile de kanıtlanmaktadır. Hasanşeyh platobazalt ve Hasandede andezitine ait örneklerde Nb ve Zr elementlerinin davranışları incelendiğinde, Hasanşeyh bazaltına ait örneklerin kısmi ergime yönüne paralel olan ve düşey ekseni kesen bir doğru ile temsil edildikleri gözlenirken, Hasanşeyh bazaltının temsil eden doğru üzerinde, Nb/Zr oranının takriben aynı, sabit olduğu bir yerden itibaren, Hasandede andezitine ait örneklerin, kristal ayrılma yönünü belirleyen (Allegre ve diğ., 1973; Treuil, 1973; Jeron ve diğ., 1976) X (Nb) yatak eksenine göre tam olmamakla beraber paralelimsi bir doğru ile temsil edildikleri gözlenmektedir. Bu durum aynı zamanda Hasandede andezitinin ayrılma sürecinde bir kirlenmeye maruz kaldığını işaret etmektedir. Uyumsuz elementlerce belirlenen bu özelliklerde Hasandede andezitin Hasanşeyh bazalt magmasının bir ayrılma ürünü olduğunu vurgulamaktadır.

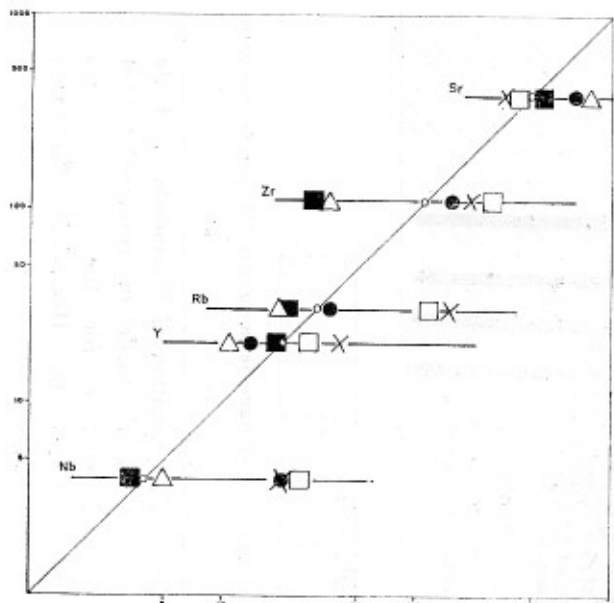
Hasandede andeziti, kökensel ilişkili olduğu Hasanşeyh bazalt magmasının kalkalkalen eğilimli toleyitik seri özelliğini koruması gereklidir, ayrılma sürecinde üst kıtasal kabuğun etkisi altında kaldığından (Şekil 14) üst kıtasal kabuk tarafından kirlenmiş ve sonuçda kalkalkalen bir karakter kazanmıştır. Hasandede andeziti Pasifik çevresi andezitlerinden (Taylor, 1966) daha çok, granitlere benzer olan iz element içerikleriyle farklılıklar göstermektedir (Şekil 15). Bu durum andezitleri veren magmanın oluşumuna «sialik» kabuk malzemesini karışmış ol-



Şekil 14 : Hasanşeyh platobazalt volkanizması tarafından etkilenen araştırma sahası için benimsenen kitasal kabuk modeli içinde Hasandede andezitinin konumu.

Figure 14 : The position of Hasandede andesite inside the model of continental crust appropriate for the research area affected by Hasanşeyh floodbasalt volcanism.

duğunu vurgulamaktadır. Zaten K/Rb oran değerinin diferansiyasyon indeksi ve Rb fonksiyonunda geniş bir dağılım göstermesi de Hasandede andezitini oluşturan magmanın sialik kabuk tarafından kirletildiğini göstermektedir.



Şekil 15 : Hasandede andeziti ile granit, granulit kayaç tipleri ve alt kabuk, üst kabuk gibi bazı iz elementlerinin ortalama içerikleri bakımından Pasifik çevresi andezitlerle karşılaştırılması.

Figure 15 : Comparison of the average concentrations of some trace elements of granite, granulite rocks types, lower crust, upper crust and Hasandede andesite with respect to those of circum - Pasific andesites.

- Hasandede andeziti /Hasandede andesite
- Pasifik çevresi anzeditleri / Circum-Pasific andesites
- X Granit / Granite
- △ Granulit / Granulite
- Alt kabuk / Lower crust
- Üst kabuk / Upper crust

TEŞEKKÜR :

Yazar, araştırma boyunca sağladığı olanaklardan ötürü TÜBİTAK'a teşekkür eder. Bu araştırmanın çeşitli aşamalarında göstermiş oldukları yardımlarından ötürü Doç. Dr. Osman YILMAZ'a, Doç. Dr. Yılmaz

SAVAŞÇIN'a, Doç. Dr. İhsan SEYMEN'e, Yrd. Doç. Dr. Halil BAŞ'a ve arazi çalışmaları esnasında yardımını esirgemeyen Jeo. Yük. Müh. İsmail TERLEMEZ (M.T.A.) ve Dr. Ali YILMAZ'a (M.T.A.) ve ayrıca C.I.P.W. normlarının hesaplanması sırasında yardımını esirgemeyen Hacettepe Üniversitesi Bilgi İşlem Merkezi elemanlarına da yazar içtenlikle teşekkürlerini sunar.

DEĞİNİLEN BELGELER

- Ağralı, B., 1967, *Ordu ili Gölköy-Aybasti arasındaki sahada yapılan 1:25.000 ölçekli löve ve bölgedeki kömür zehurlarının incelenmesi hakkında rapor: M.T.A. Enst., Derleme Rap., 4262, Ankara, (yayınlanmamış).*
- Allègre, C.J., Montigny, R., and Bottinga, Y., 1973, *Cortege ophiolitique et cortege océanique, géochimie comparée et mode de genèse: Bull. Soc. geol. Fr., XV, 5-6, 461-477.*
- Batum, İ., 1978, *Nevşehir güneybatısındaki Göllüdağ ve Acıgöl volkanitlerinin jeokimyası ve petrolojisi: Yerbilimleri, 4, 70-94, Ankara.*
- Baş, H., 1979, *Petrologische und geochemische Untersuchungen an subrezenten Vulkaniten der nordanatolischen Strörungszone (Abschnitt: Erzincan-Niksar). Turkei: Diss. Univ. Hamburg, 116 s.*
- Blumenthal, M.M., 1945, *Die Kelkit-Dislakation und ihre tektonische Rolle: M.T.A. Enst. Dergisi, 2-34, 372-386, Ankara.*
- Blumenthal, M.M., 1950, *Beitrag zur Geologie des Landschaften am Mittleren und Unteren Yesilirmak (Tokat, Amasya, Havza, Erbaa, Niksar): M.T.A. Yayınl., Seri D, no: 4, Ankara.*
- Erentöz, C., 1950, *Türkiye Jeoloji Haritası 1:100.000 ölçekli Reşadiye 44-2 paftası: M.T.A. Enst., Ankara, (yayınlanmamış).*
- Gottini, V., 1968, *The TiO₃ frequency in volcanic rocks: Geol. Rundsch., 57, 920-935.*
- Göksu, E., 1960, *1:500.000 ölçekli Türkiye Jeoloji Haritası, Samsun paftası açıklaması: M.T.A. Enst., Ankara.*
- Hyndman, D.W., 1972, *Petrology of Igneous and metamorphic rocks: Mc Graw Hill, New York. 530 p.*

- Irvine, T.N., Barager, W., 1971, *A guide to the chemical classification of the common volcanic rocks: Canadian Journ. Earth Sci.*, 8, 523-548.
- Jakes, P., and White, A.J.R., 1971, *Composition of island arcs continental growth: Earth Planet. Sci. Lett.*, 12, 224-230.
- Joron, J.L., Bougault, H., Treuil, M., and Allégre C.J., 1976, *Etude géochimique des roches magmatiques de la zone FAMOUS et de l'archipel des Açores: Bull. Soc. Géol. France.*, t. XVIII, no. 4, 811-818.
- Kalyoncuoğlu, A., Yaşar, M. ve Karabulut, A., 1975, *Reşadiye (Tokat) bentonit sahalarında ayrıntılı çalışma raporu: M.T.A. Enst., Derleme Rap. no: 5395, Ankara, (Yayınlanmamış).*
- Keller, J., Jung, D., Burckhardt, K., Wolff, F., 1977, *Geologie und Petrologie des neogenen Kalkalkali-Vulkanismus von Konya (Erenler Dağ-Alacadağ Massiv, Zentral-Anatolien): Geologisches Jahrbuch*, 25, 37-117.
- Kuno, H., 1968, *Differentiation of basalt magma. In Hess, H.H. and Poldervaart, A. (edit.), 1968. Basalts, 2 (Interscience, New York)*, 623-688.
- MacDonald, G.A., and Katsura, T., 1964, *Chemical composition of Hawaiian Lavas: J. Petrology* 5, 82-133.
- Peccerillo, A., and Taylor, S.R., 1976., *Geochemistry of Eocene calc-alkaline volcanic rocks from the Kastamonu area, Northern Turkey: Contr. Min. Petr.*, 58, 63-81.
- Roger, N.W., 1977, *Granulite xenoliths from Lesotho kimberlites and the lower continental crust: Nature.*, 270, 681-4.
- Seymen, I., 1975, *Kelkit vadisi kesiminde Kuzey Anadolu Fay Zonunun Tektonik Özelliği : İ.T.Ü. Maden Fakültesi, İstanbul, 192 s.*
- Siegers, A., Pichler, H., Zeil, W., 1969, *Trace element abundances in the «Andesite» formation of Northern Chile: Geochim. Cosmochim. Acta.*, 33, 882-887.
- Taylor, S.R., White, A.J.R., 1966, *Trace element abundances in Andesites. Bull. volcanol.*, 29, 172-194.
- Taylor, S.R., 1969, *Trace element chemistry of Andesites and associated calc-alkaline rocks. Proceedings of the Andesite Conference: Oregon Dept. Geol. Mineral. Ind. Bull.*, 65, 43-63.
- Taylor, S.R., and Mc Lennan S.M., 1979, *In discussion on «Chemistry» thermal gradients and evolution of the lower continental crust by Tarney, J., and Windley, B.F.J.: Geol. Soc. London*, 497-500.
- Tchihatcheff, P. de., 1869, *Asie Mineure; Geologie II. Paris.*
- Terlemez, İ. ve Yılmaz, A., 1980, *Ünye-Ordu-Koyulhisar-Reşadiye arasında kalan yörenin stratigrafisi: Türkiye Jeol. Kur. Bull.* 23 (2): 179-191.
- Terzioğlu, M. N., 1983, *Reşadiye-Aybasti-Gölköy-Mesudiye-Koyulhisar ilçeleri arasındaki sahada yer alan Eosen volkanitlerinin petrolojik-Petrokimyasal özelliklerinin incelenmesi : Türkiye Bilimsel ve Teknik Araştırma Kurumu, Temel Bilimler Araştırma Grubu, Proje No: TBAG-137, (yayınlanmamış).*
- Terzioğlu, M.N., 1985, *Reşadiye (Tokat) kuzeyindeki Eosen yaşı Hasanşeyh platobazaltnın mineralojik-petrografik ve jeokimyasal incelenmesi: Cum. Üniv. Müh. Fak. Dergs., Seri A - Yerbilimleri, Sivas, (in press).*
- Torun, A.F., Yılmaz, O. ve Batum, İ., 1978, *Petrokimyasal işlem programı: Hacettepe Üniversitesi Bilgi İşlem Merkezi, Ankara.*
- Treuil, M., and Varet, J. 1973, *Critères Volcanologiques, pétrologiques, et géochimiques de la genèse et de la différenciation des magmas basaltiques. exemple de l'Afar: Bull. Soc. Géol. Fr.*, XV, 5, 6, 506-540.
- Wedding, H., 1963, *Kelkit hattı jeolojisine ait düşünceler ve Kelkit-Bayburt (Gümüşhane) çevresindeki Jura Stratigrafisi: M.T.A. Enst., Dergisi.* 61, 31-66, Ankara.

Figure 2 : Geological map of the investigated area
 (Simplified after Seymenen, 1975; Terzioğlu, 1983; en
 basileşirlerle haritalanmıştır).
 1 — Hattipli alluvium, 2 — Volusit
 3 — Hasmande andesite, 4 — Hasan-
 volcanics, 5 — Ertembaşa volcanics,
 6 — Kabaklık formation, 7 — Galaylaş
 geyh basalt, 8 — Dünden-
 tıceous volcanics (kriv) and flysch
 yayaşlı formation, 9 — Upper Cre-
 taceous limestone, 10 — Hankırı limestone,
 11 — Karagçape formation, 12 — Con-
 tact, 13 — Fault, 14 — North Anatolian
 Fault, 15 — Sample locations for
 chemical analyses.

Kuzey Anadolu Fayı, 15 — Kırımsal
 nu, 12 — Dokanak, 13 — Fay, 14 —
 Kırıgeçası, 11 — Karabük type-
 lı (kriv) faylıs, 10 — Hankırı type-
 lı (kriv) faylıs (kriv) ve fi-
 liş (kriv) faylıs, 9 —
 Üst kretase volkumları (kriv) ve fi-
 liş (kriv) faylıs formasyonu, 8 —
 8 — Dünden yayaşlı limestone, 7 — Galaylaş
 massyonu, 7 — Galaylaş kireçtaşı,
 Hasançaylı bazaltı, 6 — Kabaklık For-
 ler, 4 — Hasmande andeziti, 5 —
 volkanitler, 3 — Ertembaşa volkanitler,
 2 — Volusit
 1 — Hattipli alluvium, 2 — Yolustu
 basileşirlerle haritalanmıştır).

Şekil 2 :

